REPUBLIQUE ALGERIENNE DEMOCRATIQUEET POPULAIRE MINISTERE DE L'ENSEIGNEMENT SUPERIEUR ET DE LA RECHERCHE SCIENTIFIQUE

UNIVERSITE MOULOUD MAMMERI DE TIZI OUZOU

Faculté du Génie de la construction Département de Génie Civil



Memoire de fin d'etude

Pour l'Obtention du Diplôme de Master professionnel en Génie Civil Option : Construction Civile et Industrielle

Thème:

ETUDE D'UN BATIMENT(R+9+S/SOL) A USAGE HABITATION ET COMMERCIAL

Présenté par :

> NOUARI Mehadji

> LACENE yacine

<u>Encadré par</u> :

- Mr. ILLOULI Saîd

Devant le jury:

Président : Mani Aomar Examinateur : Haddad Ourdia

CR Promotion: 2019-2020 \$5

Remerciement

Je remercie en premier lieu Allah.

Un très grand merci à;

- nos parents qui nous ont suivis pendant nos études et tous les enseignants qui ont contribué à notre formation spécialement le département de Génie Civil.
 - Toute personne ayant contribuée de près ou de loin à achever ce travail, en particulier notre encadreur; Mr.ILLOULI SAÏD et L'ingénieur NESNAS Abbes, qui nous tenons en premier à remercier pour leur orientations, aides et précieux conseils.

Nos remerciements s'adressent aussi à ceux de :

- Faculté du génie de la construction.
 - ® Département de génie civil.

En fin, no vifs remerciements aux membres de jury et à son président qui évaluerons ce mémoire et juger de sa qualité.



Dédicace

Je dédie ce modeste travail à :

- * Mes très chers parents qui m'ont soutenu moralement durant toute ma vie avec leurs conseils précieux et leurs encouragements pour réaliser mon but.
- 苯 Mon frères ; MOHAMED Amine.
- 🧩 Mes très chère sœur ; Fatima Zohra, Chaima.
- *Mon binôme LACENE Yacine et à toute sa famille.
- * Ceux qui ont pris une grande partie de mon cœur et l'occuper à jamais.
- * Mes très chers amis ; N. Abes, D.Kadda, B. Omar, B. Djamel, M. Redha, , A. Sofiane,
- * A.TAHAR J., DALILA
- * Tous les autres qui je n'ai pas cité nommément et qui se reconnaître dans ma dédicace.

MEHADJI

Dédicace

Je dédie ce modeste travail à :

- Mes très chers parents qui m'ont soutenu moralement et financièrement et de tendresse qu'Allah me les garde durant toute ma vie.
- 🧩 Mes très chère sœur ; karima, melha
- ᢜEt toute la famille de LACENE.
- * Mon binôme NOUARI Mehadji et à toute sa famille.
- * Tous les autres qui je n'ai pas cité nommément et qui se reconnaître dans ma dédicace.

YACINE

SOMMAIRE

♣ Chapitre I : Généralités.
1.1) Introduction
1.2) Présentation du projet
1.3) Caractéristiques de la structure
1.4) Données du site
1.5) Hypothèse de calcul
1.6) Description de l'ossature
1.7) Règlements utilisés
1.8) Caractéristiques mécaniques des matériaux
Chapitre II : Pré dimensionnement des éléments résistants.
2.1) Introduction
2.2) Prédimensionnement des poutres
2.2.1) Prédimensionnement des poutres principales
2.2.2) Prédimensionement des poutres secondaires
2.3) Prédimensionement des planchers
2.3.1) Plancher à corps creux
2.3.2) Plancher à dalle pleine
2.4) Descente des charges
2.5) Prédimensionnement des poteaux
2.6) Prédimensionement des voiles
2.6.1) Voile périphérique de sous-sol
2.6.2) Voile de contreventement
Chapitre III : Étude des planchers.
3.1) Introduction
3.2) Calcul des planchers
3.2.1) Plancher à corps creux
3.2.1.1) Etude de la dalle de compressions
3.2.1.2) Etude des poutrelles
3.2.2) Plancher à dalle pleine
3.2.2.1) Dalle pleine pour sous-sol
3.2.2.2) Dalle pleine pour toiture
Chapitre IV : Etude des éléments non structuraux.
4.1) Etude des escaliers
4.2) Étude des balcons
4.3) Etude d'ascenseur
4.41 cinge de l'acroière

♣ Chapitre V : Étude sismique.
5.1) Introduction
5.1.1) Méthode statique équivalente
5.1.2) Méthode dynamique
5.2) définition des valeurs des coefficients
5.3) Nombre de modes à considérer
5.4) Vérification de la période
5.5) Calcul et vérification des déplacements
Chapitre VI: Étude des éléments structuraux.
6.1) Introduction
6.2) Ferraillage des portiques
6.2.1) Ferraillage des poteaux
6.2.2) Ferraillage des poutres
6.3) Ferraillage des voiles
Chapitre VII : Etude de l'infrastructure.
7.1) Introduction
7.2) Etude du voile périphérique
7.3) Voile périphérique de la cage d'ascenseur
7.4) Etude des fondations
7.5) Etude du radier
7.5.1) Détermination des sollicitations
7.5.2) Ferraillage du radier.

- > Conclusion générale
- > Bibliographie
- > Annexe

Liste des tableaux

4 Chapitre II : pré dimensionnement des éléments résistants.	
Tableau (2.1): Descente des charges du plancher à corps creux (terrasse)	12
Tableau (2.2): Descente des charges du plancher à corps creux (étage curant)	12
Tableau (2.3): Descente des charges du plancher RDC	13
Tableau (2.4): Chargement (permanent et d'exploitation) de la toiture	13
Tableau (2.5): Evaluation des charges	16
Tableau (2.6): Tableau récapitulatif des sections des poteaux	18
4 Chapitre III : Étude des planchers.	
Tableau (3.1) : Tableau récapitulatif des moments fléchissant en appui et en travée (N.m)	
pour E.L.U	28
Tableau (3.3): Tableau récapitulatif des efforts tranchants en appui	31
Tableau (3.4) : Tableau récapitulatif des moments fléchissant suivant x et y	47
Tableau (3.5): Tableau récapitulatif des moments en travée et sur appuis	47
Tableau (3.6): Tableau récapitulatif des moments maximaux	48
♣ Chapitre IV : Étude des éléments non structuraux.	
Tableau (4.1): Tableau récapitulatif des charges appliquées sur la paillasse	63
Tableau (4.2) : Tableau récapitulatif des charges appliquées sur le palier	63
Tableau (4.3): Les moments fléchissant et d'efforts tranchant	69
Tableau (4.4): descente des charges du balcon.	7 4
Tableau (4.5): Tableau récapitulatif des sollicitations à E.L.U.	80
Tableau (4.6): Tableau récapitulatif des sollicitations à E.L.S.	84
Tableau (4.7): Tableau récapitulatif de vérification des contraintes à E.L.S	84
♣ Chapitre V : Étude sismique.	
Tableau (5.1): Tableau valeurs des pénalités	91
Tableau (5.2): Tableau de résultat dynamique	93

♣ Chapitre VI : Étude des éléments structuraux.

Tableau (6.1): Récapitulation du ferraillage des poteaux	100
Tableau (6.2): Tableau récapitulatif des moments maximums et des efforts tranchants	101
Tableau (6.3): Tableau récapitulatif du ferraillage des poutres principales	106
Tableau (6.4): Tableau récapitulatif des moments maximums et des efforts tranchants	106
Tableau (6.5): Tableau récapitulatif du ferraillage des poutres secondaire	107
♣ Chapitre VII : Étude de l'infrastructure.	
Tableau (7.1): Tableau récapitulatif des sollicitations	113
Tableau (7.2): Dimensions des poutres.	125

Liste des figures

+ Chapi	tre 1 : Généralités							
Figure (1.1): I	Diagramme de contrainte - déformation	4						
	Diagramme de déformation contrainte (σ_s)							
8 ()								
<mark>4</mark> Chapi	tre II : pré dimensionnement des éléments résistants							
Figure (2.1): 1	es dimensions de la poutre principale	7						
Figure (2.2): 1	es dimensions de la poutre secondaire	8						
Figure (2.3): D	Dalle à corps creux	9						
Figure (2.4): s	chéma des poutrelles	9						
Figure (2.5): 1	es dimensions adoptées pour les poutrelles	10						
Figure (2.6): v	rue en plan du dalle pleine	10						
Figure (2.7): d	létail des constituants du plancher terrasse inaccessible	11						
Figure (2.8): d	létail des constituants du plancher d'étages courants	12						
Figure (2.9): d	létail des constituants du plancher RDC	12						
Figure (2.10): 1	Hauteur libre d'un étage	14						
Figure (2.11): 3	Schéma de la loi de dégression	15						
Figure (2.12):	surface afférente d'un poteau de centre	16						
Figure (2.13):	coupe verticale du voile en élévation	19						
↓ Chapi	tre III : Étude des planchers							
Figure (3.1) :	•							
Figure (3.2) :	•	21						
Figure (3.3) :	- · · · · · · · · · · · · · · · · · · ·	24						
Figure (3.4) :	Diagramme des moments fléchissant à l'E.L.U [Mu] (N.m)	27						
Figure (3.5) :	Diagramme des moments fléchissant à l'E.L.S [Ms] (N.m)	27						
Figure (3.6) :	Diagramme des efforts tranchants à l'ELU [Vu] (N.m)	30						
Figure (3.7) :	la section calculée	32						
Figure (3.8):	Ferraillage du plancher terrasse	44						
Figure (3.9) :	Ferraillage du plancher étage courant	44						
	Schéma statique des panneaux toiture	53						
Figure (3.11) :	Ferraillage de la dalle pleine en plancher RDC	60						

Figure (3.12): Ferraillage de la dalle pleine pour toiture

4 Chapitre IV : Étude des éléments non structuraux.

Figure (4.1): 5	Schéma de l'escalier	61
Figure (4.2) : 5	Schéma statique de volée	64
Figure (4.3) : I	Poutre Palière	71
Figure (4.4) : 5	Schéma statique de la poutre palière	71
Figure (4.5): 1	Ferraillage de la volée	73
Figure (4.6): 5	Schéma simplifié du mécanisme d'un ascenseur	76
Figure (4.7) : \$	Schéma de l'appui du moteur de l'ascenseur	79
Figure (4.8) : (Charge des panneaux	80
Figure (4.9) : 1	Panneau de la dalle	81
Figure (4.10):	Schéma statique	85
Figure (4.11):	Coupe verticale sur l'acrotère	85
Figure (4.12) :	Section de calcul	86
Figure (4.13) ::	Schéma de ferraillage de l'acrotère	88
♣ Chapit	tre VI : Étude des éléments structuraux.	
Figure (6.1):	1	95
Figure (6.2):	Ferraillage du poteau (50x 50) cm ²	99
Figure (6.3):	Schéma de la zone nodale	100
Figure (6.4):	Schéma d'une section de calcul	102
Figure (6.5):	Schéma de ferraillage de la poutre principale	105
Figure (6.6):	Schéma de ferraillage de la poutre secondaire	107
Figure (6.7):	•	108
Figure (6.8):	Schéma traduire des sollicitations M ₁ et N	108
Figure (6.9):	Position des efforts N'et N	109
Figure (6.10):	Ferraillage des voiles de contreventement	110
♣ Chapit	tre VII : Étude de l'infrastructure.	
Figure (7.1):	Coupe sur voile périphérique	112
Figure (7.2) :	Schéma statique du panneau	113
Figure (7.3) :	Ferraillage du voile périphérique	119
Figure (7.4):	Ferraillage du voile périphérique de la cage d'ascenseur	120
Figure (7.5):	Dimensions du radier	124
Figure (7.6) :	Dimensions des poutres	125
Figure (7.7) :	Ancrage du bâtiment	126
Figure (7.8) :	Cheema de voile	127
Figure (7.9):	Répartition des charges sur les poutres	128
Figure (7.10):	Répartition des charges sur les poutres	129
Figure (7.11) :	schéma statique de débord	131

4 Abréviations :

 \mathcal{RPA} : règles parasismiques Algériennes.

B.A.E.L: béton armé aux états limite.

C.B.A: comité de béton Algériennes.

 $\mathcal{E}.\mathcal{L}.\mathcal{U}$: état limite ultime.

E.L.S: état limite de service.

ACC: accidentelle.

C.V: condition vérifié.

P.P: poutre principale.

P.S: poutre secondaire.

SYMBOLES

Lettres majuscules:

Es : module d'élasticité de l'acier

F : force en générale

G : action des charges permanentes

I : moment d'inertie

M_{tab} : moment fléchissant équilibre par la table de compression

Ms : moment de calcul service

Mu : moment de calcul ultime

N : effort normal

P : action de la charge variable

Pq : pénalité à retenir dans la détermination du coefficient Q

Q : facteur de qualité ; action des charges d'exploitation

Lettres minuscules :

a : une dimension (en générale longitudinale)

b : une dimension transversale (longueur d'une section)

 b_0 : épaisseur brute de l'âme d'une poutre en "T"

f : résistance d'un matériaux (avec indice), flèche

f_e : limite d'élasticité de l'acier

 f_{cj} : résistance caractéristique à la compression du béton âge de "j" jours

f_{ti} : résistance caractéristique à la traction du béton âge de "j" jours

 f_{c28} , f_{t28} : grand deux précédentes avec j = 28 jours

h₀ : épaisseur de la dalle de compression

h_e: hauteur d'étage

h_t: hauteur de la nervure

i : rayon de giration d'une section

i : nombre de jours

k : coefficient en générale

l_f : longueur de flambement

n : coefficient d'équivalence acier – béton; grandeur exprimée par nombre entier

 δ_t : La valeur de l'espacement des armatures transversales

↓ Lettres grecques :

γ_s : Coefficient de sécurité

φ : Diamètre des armatures longitudinales

 σ_{bc} : Contrainte de compression du béton

 σ_s : Contrainte admissible du sol

σ : Contrainte normale en générale

τ : Contrainte tangente (de cisaillement)

β : Coefficient dépend de l'élancement du poteau

B : coefficient de pondération

λ : Élancement mécanique d'une pièce comprimée

 Σ : Somation

ε : Déformation relative

 ε_{S} : Allongement relatif

Introduction général

Le genie civil represente l'ensemble des techniques de construction civiles qui englobe la conception, la construction et la gestion des immeubles résidentiels et commerciaux et des structures et des installations d'approvisionnement en eau.

Les ingénieures civiles ou masters en genie civil s'occupent de la conception, la réalisation, l'exploitation et la réhabilitation d'ouvrage de construction et d'infrastructure dont ils assurent la gestion afin de répondre aux besoins de la société, tout en assurant la sécurité du public, la protection de l'environnement et surtout assurer la securité des usagers pendant et après le séisme.

Dans l'analyse et le dimensionnement des structures, l'ingénieur doit prendre conscience de l'importance des risques et mettre en application la disposition et les réglements qui s'imposent afin d'assurer le bon fonctionnement de l'ouvrage, son choix du système de contreventement dépend de certaines considérations à savoir la catégorie du site ; la hauteur et l'usage de la construction ainsi que les contraintes architecturales.

Tout ouvrage en génie civil doit être calculé d'une manière à assurer la stabilité et la résistance de ses éléments structuraux et aussi la sécurité des usages pendant et après la réalisation. Pour cela, nos calculs seront vérifiés selon les règlements en vigueur, à savoir le règlement parasismique Algérien RPA (version 2003) et les règlements du béton aux états limites BAEL 91 modifiée 99.

Les ingénieurs disposent actuellement de divers outils informatiques et de logiciels de calculs rapides et précis permettant la maîtrise de la technique des éléments finis adoptée au Génie Civil, ainsi que le calcul de diverses structures en un temps réduit.

Dans notre projet de fin d'etude nous avant choisi d'etudier un batiment R+9+ sous sol a contreventement mixte portiques voiles à usage d'habitations et commercials, nous utiliserent le logiciel Robot pour tous les besoin de nos calculs

Chapitre I

Généralités

1.1) <u>Introduction</u>:

Ce présent chapitre est sacré pour la présentation de notre ouvrage de point de vu :

- Lieu d'implantation du projet.
- Présentation de l'architecture en élévation et en plan.
- Description globale des différents éléments de la structure.
- Les règlements utilisés dans les calculs.
- Présentation des matériaux utilisés et leurs caractéristiques.
- Les outils informatiques utilisés dans les modélisations et les calculs.

1.2) Présentation du projet :

Notre projet a pour objet l'étude d'un bâtiment (sous-sol+R+9) en béton armé, Cet ouvrage est implanté à la wilaya de Tizi ouzou, considérée par le R.P.A.99 version 2003 comme zone IIa. L'ouvrage est de groupe d'usage 2.

- **.** Le sous-sol comporte de stockage.
- Le rez de chaussée comporte des locaux commerciaux.
- Les autres étages seront à usage d'habitation avec quatre appartements dans chaque étage.

1.3) Caractéristiques de la structure :

Les caractéristiques géométriques de la structure à étudier sont:

- Largeur en plan 20,5 m.
- Longueur en plan 24,25 m.
- ➤ Hauteur totale du bâtiment (sans acrotère) 34,21 m
- ➤ Hauteur du sous sol 3m.
- ➤ Hauteur de RDC 4,13 m.
- ➤ Hauteur de l'étage courant 3,06 m.

1.4) Données du site :

- Le bâtiment est implanté dans une zone classée par le RPA 99/version 2003 comme zone de moyenne sismicité (zone IIa).
- Contrainte admissible du sol $\sigma = 2$ bars.

1.5) Hypothèse de calcul:

Le calcul de bâtiment sera fait selon les hypothèses suivantes :

- ◆ La résistance du béton à la compression à 28 jours fc28 = 25 Mpa.
- La résistance du béton à la traction ft28 = 2,1 Mpa.
- Module de déformation longitudinal différé : $E_{vj} = 3700 \times \sqrt[3]{f_{cj}} = 10818,86MPa$
- Module de déformation longitudinal instantanée : $E_{ij} = 11000 \times \sqrt[3]{f_{cj}} = 32164,20 MPa$
- Acier avec un limite d'élasticité f_e = 400 Mpa.

1.6) Description de l'ossature :

1.6.1) Plancher:

Nous avons opté pour deux types de dalles : en corps creux et en dalle pleine pour les raisons suivantes :

1.6.1.a) Plancher en corps creux :

- Facilité de réalisation.
- Les portées de notre projet ne sont pas grandes.
- Réduire le poids du plancher et par conséquent l'effet sismique.
- Raison économique.

1.6.1.b) plancher en dalle plaine :

Le plancher du RDC est en dalle pleine à cause de la charge importante des locaux commerciaux.

1.6. 2) Conception structurale:

L'ouvrage considéré est en ossature mixte constitué de portiques auto-stables en béton armé et de voiles de contreventement dans les deux directions.

1.6. 3) Escaliers:

Le bâtiment comporte un seul type d'escalier (escalier avec 2 volées)

1.6. 4) Maçonneries:

La maçonnerie du bâtiment est réalisée en briques creuses :

- Les murs extérieurs sont constitués de doubles parois de briques (10cm et 15cm d'épaisseur) séparées par une lame d'air de 5cm d'épaisseur.
- Les murs cloison sont constitués d'une seule paroi de briques d'épaisseur 10 cm.

1.6. 5) Acrotère :

Au niveau de la terrasse, le bâtiment est entouré d'un acrotère réalisé en béton armé de 100cm de hauteur et de 10cm d'épaisseur.

1.6. 6) Terrasse:

La terrasse du bâtiment est inaccessible.

1.6.7) Ascenseur:

L'ascenseur est de type 630 kg de huit personnes.

1.7) Règlements utilisés :

L'étude de ce bâtiment est effectuée conformément aux règlements suivants :

- 1.7.1) Le règlement BAEL 91 m 99 et CBA 93 (Béton Armé aux Etats Limites) : basé sur la théorie des états limites.
- **1.7.1.a)** Etats limites ultimes (ELU) : correspondent à la valeur maximale de la capacité Portante de la construction, soit :
 - Equilibre statique.
 - Résistance de l'un des matériaux de la structure.
 - · Stabilité de forme.
- 1.7.1.b) Etats limites de service (ELS) : constituent les frontières aux delà desquelles les conditions normales d'exploitation et de durabilité de la construction ou de ses éléments ne sont plus satisfaits à savoir :
 - · Ouverture des fissures.
 - Déformation des éléments porteurs.
 - · Compression dans le béton.
- 1.7.2) Le RPA99/version2003 (Règles Parasismiques Algériennes) : c'est le code algérien en vigueur pour le calcul parasismique.

1.8) Caractéristiques mécaniques des matériaux :

1.8.1) Béton:

1.8.1.a) Définition:

Le béton est préparé en mélangeant granulats, ciment, et l'eau; le mélange donne une pâte qui durcit rapidement.

1.8.1.b) Caractéristiques du béton :

• La résistance caractéristique du béton à la compression à l'age de 28 jours : $f_{c28} = 25MPa$

- La résistance caractéristique du béton à la traction après 28 jours est donnée par la formule suivante : $f_{t28} = 0.6 + 0.06 \times f_{c28} = 2.1 MPa$
- Module de déformation longitudinale :

$$\begin{cases} E_{ij} = 11000 \times \sqrt[3]{f_{cj}} = 32164,20 MPa & \longrightarrow \text{Instantan\'e}. \\ E_{vj} = 3700 \times \sqrt[3]{f_{cj}} = 10818,86 MPa & \longrightarrow \text{Diff\'er\'e}. \end{cases}$$

1.8.1.c) Contrainte admissible de compression de béton :

E.L.U:

La contrainte de compression du béton doit être au plus égale à :

$$\sigma_{bc} = \frac{0.85 \times f_{c28}}{\theta \times \gamma_b}$$

Avec γ_h : Coefficient de sécurité

$$\begin{cases} \gamma_b = 1.5 \text{ (Situation normale)} \Rightarrow \sigma_{bc} = 14.2 MPa \\ \gamma_b 1.15 \text{ (Situation accidentelle)} \Rightarrow \sigma_{bc} = 18.5 MPa \end{cases}$$

0,85 : Coefficient réducteur qui tient compte des risques d'interaction béton sur l'acier.

 θ = 1 : La durée d'application des charges inférieure à 24 heures.

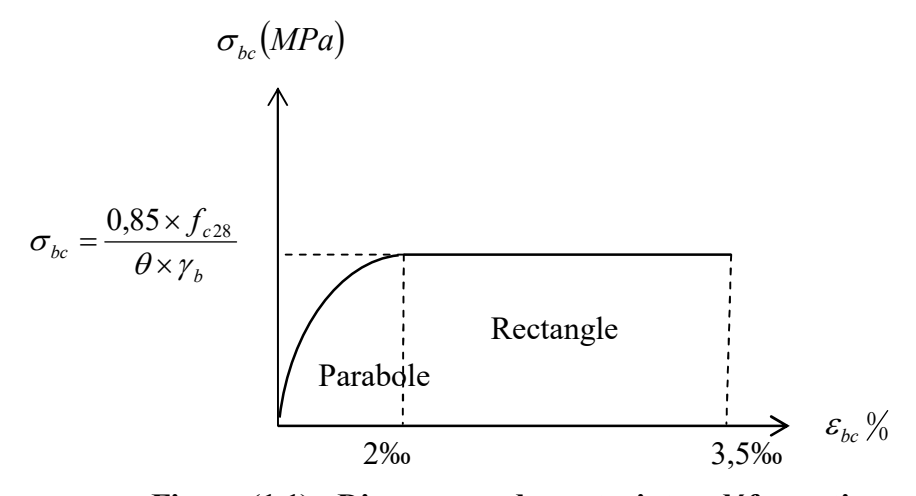


Figure (1.1) : Diagramme de contrainte - déformation

➤ E.L.S:

La contrainte de compression est limitée à : $\sigma_{bc} = 0.6 \times f_{c28} = 15MPa$

1.8.1.d) Contrainte limite ultime de cisaillement :

Pour une contrainte tangente conventionnelle : $\tau_u = \frac{T_u}{b_0 \times d}$

Avec T_u : Effort tranchant.

 b_0 : Largeur de la pièce.

d : Hauteur utile de la pièce.

Pour les armatures droites ($\alpha = 90^{\circ}$) on doit vérifier les conditions suivantes :

• Fissuration non préjudiciable :

$$\tau_u \le \overline{\tau}_u = \min \left\{ 0.2 \times \frac{f_{cj}}{\gamma_b} ; 5MPa \right\}$$

• Fissuration préjudiciable ou très préjudiciable :

$$\tau_u \le \overline{\tau}_u = \min \left\{ 0.15 \times \frac{f_{cj}}{\gamma_b} ; 4MPa \right\}$$

1.8.2) Acier:

1.8.2.a) Définition:

L'acier est un alliage fer carbone en faible pourcentage, son rôle est d'absorber les efforts de traction, de cisaillement et de torsion.

On distingue dans notre projet:

- Barres à haute adhérence (H.A) de nuance feE400 pour les armatures longitudinales.
- Rond lisse de nuance feE235 pour les armatures transversales (cadres, étriers, épingles).
- Treillis soudés (TS) de nuance TLE 520 ($\Phi \ge 6$ mm).

1.8.2.b) Caractéristiques des aciers :

La contrainte admissible de l'acier sont défini par :

$$\triangleright$$
 E.L.U: $\sigma_s = \frac{f_e}{\gamma_s}$

Avec f_e : limite d'élasticité de l'acier.

$$\gamma_s$$
: Cœfficient de sécurité avec
$$\begin{cases} \gamma_s = 1,15 \text{ Combinaison fondamentale} \\ \gamma_s = 1 \text{ Combinaison accidentelle} \end{cases}$$

Pour l'acier (H.A) feE400 :
$$\begin{cases} \sigma_s = 348MPa \text{ Combinaison fondamentale} \\ \sigma_s = 400MPa \text{ Combinaison accidentelle} \end{cases}$$

> E.L.S:

Fissuration non préjudiciable : $\overline{\sigma}_s = \min \left\{ \frac{2}{3} \times f_e ; 110 \times \sqrt{\eta \times f_{c28}} \right\}$

Avec:
$$\begin{cases} \eta = 1.6 \\ \eta = 1 \end{cases}$$
 Pour les barres H.A Pour les barres R.L

Fissuration très préjudiciable :
$$\overline{\sigma}_s = \min\left\{\frac{1}{2} \times f_e ; 90\sqrt{\eta \times f_{c28}}\right\}$$

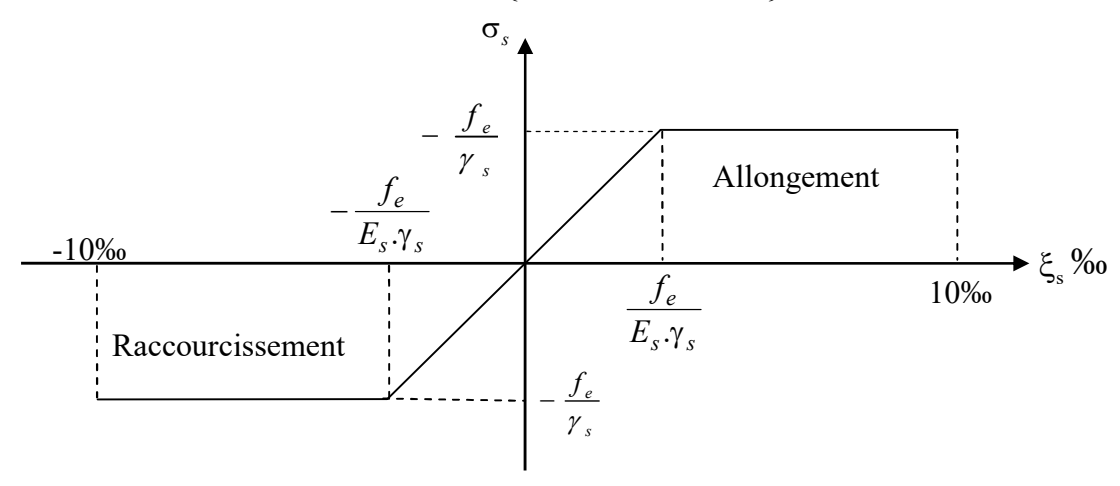


Figure (1.2) : Diagramme de déformation contrainte (σ_s)

Le module d'élasticité longitudinale de l'acier est pris égale à : $E_s = 200\,000\,MPa$.

Chapitre II

Prédimensionnement des éléments résistants

2.1) Introduction:

Ce chapitre est consacré au prédimensionnement des différents éléments de la construction (plancher; poutres; poteaux; voiles) selon les règlements B.A.E.L. 91 modifié 99 et .R.P.A.99 version 2003.

2.2) Pré dimensionnement des poutres :

Les poutres sont des pièces fléchies généralement de section rectangulaire transmettant les charges verticales aux poteaux. Le calcul de Leurs sections est basé essentiellement sur deux conditions :

• Condition de rigidité :

$$\begin{cases} \frac{L}{15} \le h \le \frac{L}{10} \\ 0.3h \le b \le 0.4h \end{cases}$$

Avec .

h: hauteur de la poutre

L : la plus grande portée de la poutre

b : la largeur de la poutre

• Condition du R.P.A 99:

$$\begin{cases} h \ge 30cm \\ b \ge 20cm \\ \frac{h}{b} \le 4 \end{cases}$$

2.2.1) Prédimensionnement des poutres principales :

• Condition de la rigidité :

Pour L = 500cm
$$= 500cm + 500cm = 50$$

• Condition du R.P.A 99:

$$\begin{cases} h = 45 \ge 30 \text{cm} & ... \text{condition v\'erifi\'e} \\ b = 30 \ge 20 \text{cm} & ... \text{condition v\'erifi\'e} \\ \frac{h}{b} = \frac{45}{30} = 1,5 \le 4 & ... \text{condition v\'erifi\'e} \end{cases}$$

Donc on adopte une section de (30x45) cm².

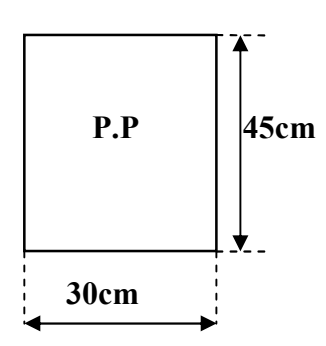


Figure (2.1): les dimensions de la poutre principale.

2.2.2) Prédimensionnement des poutres secondaires :

• Condition de la rigidité :

• Condition du R.P.A 99:

$$\begin{cases} h = 40 \ge 30 \text{cm} \dots \text{condition v\'erifier} \\ b = 30 \ge 20 \text{cm} \dots \text{condition v\'erifier} \\ \frac{h}{b} = \frac{40}{30} = 1,33 \le 4 \dots \text{condition v\'erifier} \end{cases}$$

Donc on adopte une section de (30x40) cm².

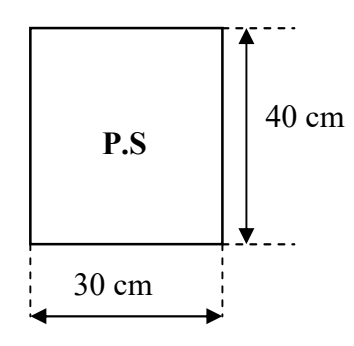


Figure (2.2): les dimensions de la poutre secondaire.

2.3) Prédimensionement des planchers :

Les planchers sont des aires horizontales utilisées pour limiter les étages, ils ont une épaisseur "e" faible par rapport à leur dimension en plan, est de résister et supporter les charges et surcharges afin de les transmettre aux éléments porteurs.

La charge d'exploitation sera fixée en fonction de l'utilité de l'étage :

• Une terrasse non accessible: $Q = 100 \text{ kg/m}^2$

• Plancher d'étage courant : $Q = 150 \text{ kg/m}^2$

• Plancher RDC: $Q = 500 \text{ kg/m}^2$

Dans notre construction on utilise deux types des planchers :

- Plancher à corps creux [étage courant].
- Plancher à dalle plein [RDC et S/Sol].

2.3.1) Plancher à corps creux :

Les planchers sont constitués de poutrelles préfabriquées associées aux corps creux. Pour le Pré dimensionnement de la hauteur des poutrelles en utilisera la formule empirique suivante :

$h \ge L/22.5$

Avec h: la hauteur totale du plancher.

L : la plus grande portée entre nus d'appuis dans la direction de la Position de la poutrelle.

L = (500-50) = 450cm.

$$h \ge \frac{450}{22.5} = 20cm \implies h \ge 20cm \implies h = 21cm$$

Donc on prend un plancher à corps creux d'épaisseur (16+5) cm.

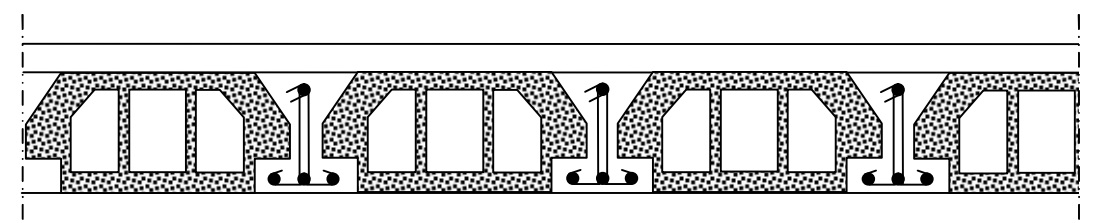


Figure (2.3): Schéma réel d'un plancher à corps creux

• Les poutrelles :

Les poutrelles sont des pièces fléchies de section en Té.

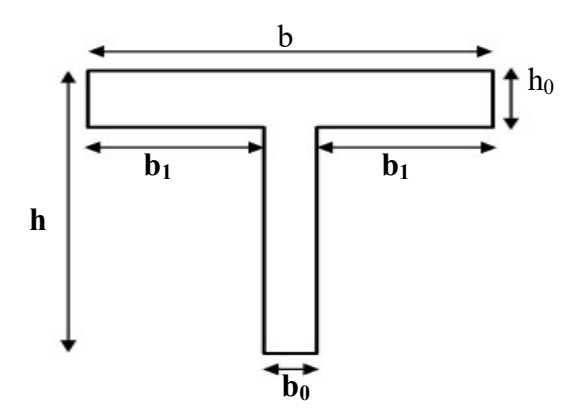


Figure (2.4): schéma des poutrelles

D'après le B.A.E.L. 91 modifié 99 :les dimension de la poutrelles doivent vérifier :

$$b = 2b_1 + b_0 \quad \text{Avec} : \begin{cases} b_1 \le \frac{L_n - b_0}{2} \\ b_1 \le \frac{L}{10} \\ 6 \times h_0 \le b_1 \le 8 \times h_0 \end{cases}$$

$$h=16\text{cm}: \text{épaisseur du corps creux.}$$

$$h=21\text{cm} \qquad \qquad h_0=5\text{cm}: \text{épaisseur de la dalle de compression.}$$

L : la plus grande portée entre nus d'appuis de la travée considérée.

 L_n : la distance entre axes des poutrelles.

Dimension du corps creux on prend la distance $L_n = 60$ cm.

La largeur de la nervure est fixée généralement à $b_0 = 12$ cm.

Donc pour L_n =60cm; b_0 =12cm; L=500cm on adopte:

$$\begin{cases} b_1 \le 24cm \\ b_1 \le \frac{500}{10} = 50cm \\ 30 \le b_1 \le 40cm \end{cases}$$

 $b_1 = \min (24; 50; 40) \text{ donc } b_1 = 24\text{cm}.$

$$b = 2b_1 + b_0 = 60$$
cm.

Donc les dimensions des poutrelles étudiées sont :

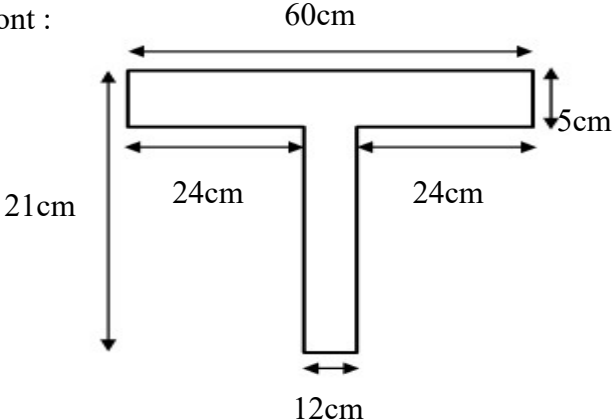
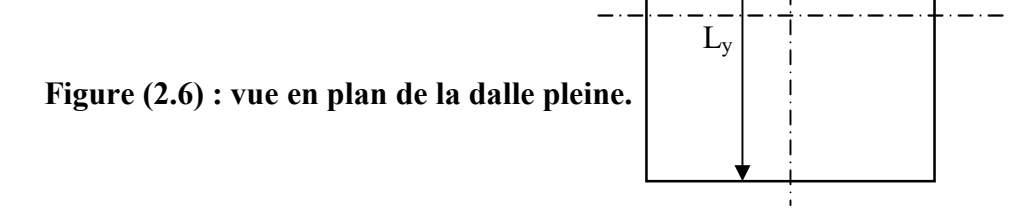


Figure (2.5): les dimensions adoptées pour les poutrelles.

2.3.2) Plancher à dalle pleine :

• L'importance de la surcharge d'exploitation qui doit supporter notre ouvrage exige d'utiliser des dalles pleines pour plancher sous-sol.



Le dimensionnement de la dalle pleine basé sur des conditions imposées par le R.P.A 99 :

• Condition de résistance à la flexion :

On distingue la hauteur de la dalle pleine dépend de l'élancement du panneau de dalle le plus défavorable.

On distingue à vue 2 cas :

ullet Cas d'une dalle reposant sur deux appuis (travail de la dalle à un seul sens $[L_x]$).

$$\rho = \begin{pmatrix} L_x / L_y \end{pmatrix} < 0.4 \rightarrow h_d = \begin{pmatrix} L_x / 35 \sim \frac{L_x}{30} \end{pmatrix}.$$

• Cas d'une dalle pleine reposant sur quatre appuis (travail de la dalle dans les deux sens $\lfloor L_x, L_y \rfloor$).

$$0.4 \le \rho = \left(\frac{L_x}{L_y}\right) \le 1 \quad \rightarrow \quad h_d = \left(\frac{L_x}{50} \sim \frac{L_x}{40}\right).$$

Avec:

* L_x , L_y : respectivement, la petite et la grande dimension du plus grand panneau de la dalle $(L_x \le L_y)$.

*
$$\rho = \frac{L_x}{L_y} \le 1$$
.

• Pour notre construction les panneaux reposant sur quatre appuis :

Pour $L_X = 500cm$; $L_Y = 500cm$ on trouve:

$$\alpha = \frac{L_X}{L_Y} = \frac{500}{500} = 1 > 0.4$$
 La dalle travaille dans les deux sens

Donc:

$$\frac{L_X}{50} \le h_d \le \frac{L_X}{40} \implies 10 \le h_d \le 12,5cm$$

• Condition d'isolation acoustique :

Contre le bruit d'impacte : $2500h_d \ge 400 \frac{\text{kg}}{\text{m}^2}$

Contre le bruit aérien : $2500h_d \ge 350 \frac{\text{kg}}{\text{m}^2}$

• Condition de sécurité contre l'incendie :

 $h_d \ge 7cm$: Pour une heure de coupe feu.

 $h_d \ge 1 \, 1 \, cm$: Pour deux heures de coupe feu.

Alors on adopte pour une dalle pleine une épaisseur $h_d = 15 \, cm$ pour le plancher R.D.C.

2.4) Descente des charges :

2.4.1) Plancher terrasse inaccessible :

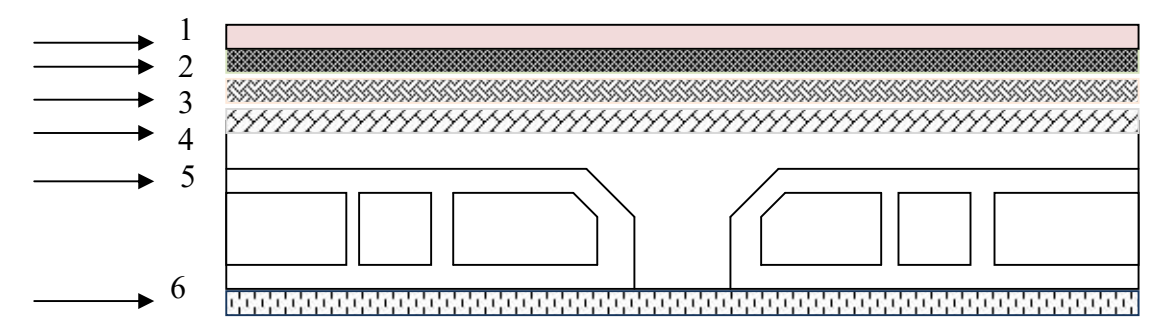


Figure (2.7): détail des constituants du plancher terrasse inaccessible.

	Plancher terrasse inaccessible						
r	1-	Gravions roule de protection (4 cm).	80 Kg/m^2				
L	2-	Étanchéité multicouche (2 cm).	12 Kg/m^2				
EMI	3-	Forme de pente (10 cm).	220 Kg/m^2				
CHARGEMENT	4-	Isolation thermique en liège (4 cm).	20 Kg/m^2				
	5-	Plancher à corps creux (16 + 5) cm.	290 Kg/m^2				
	6-	Enduit sous plafond en plâtre (2 cm).	30 Kg/m^2				
	- Charge permanente totale $G = 652 kg/m^2$.						
	- Charge d'exploitation $P = 100 kg / m^2$.						

Tableau (2.1): descente des charges du plancher à corps creux (terrasse).

2.4.2) Plancher étage courant :

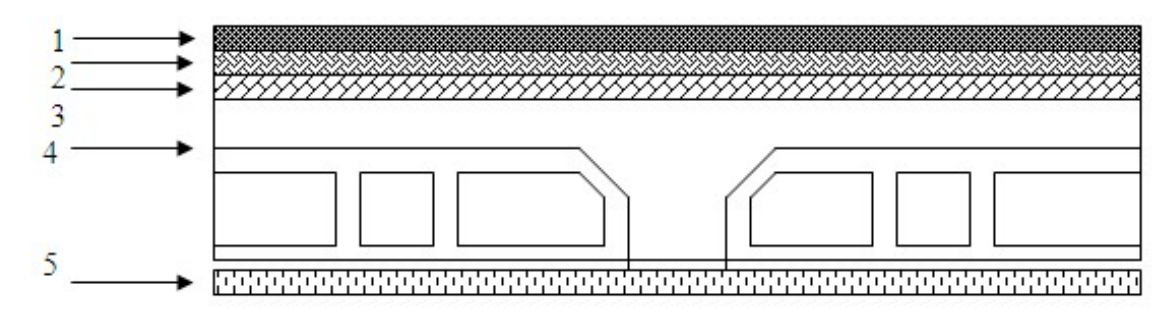


Figure (2.8): détail des constituants du plancher étage courant.

	Plancher étage courant					
נד)	1-	Carrelage (2 cm).	44 Kg/m^2			
M	2-	Mortier de pose (2 cm).	40 Kg/m^2			
GE	3-	Lit de sable (1 cm).	20 Kg/m^2			
4R	4-	Plancher à corps creux (16 + 5) cm.	290 Kg/m^2			
CHARGEME	5-	Enduit en plâtre (2 cm).	30 Kg/m^2			
Cloison légère. 75 Kg/m ²						
	- Charge permanente totale : $G = 499 kg / m^2$.					
	- Charge d'exploitation : $P = 150 \text{ kg}/\text{m}^2$.					

Tableau (2.2): descente des charges du plancher à corps creux (étage courant).

2.4.3) Dalle pleine:

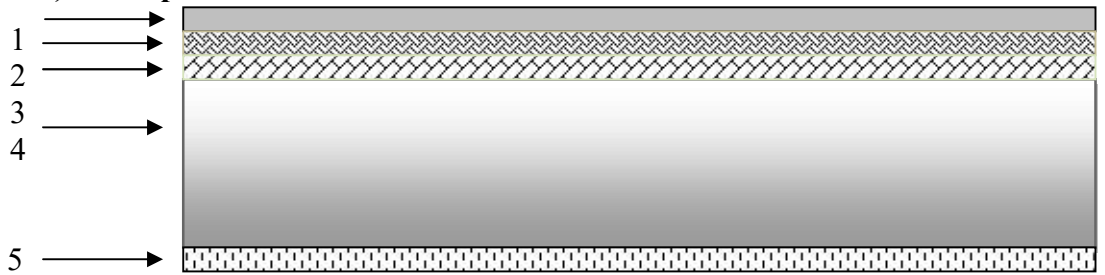


Figure (2.9): détail des constituants du plancher RDC.

	Plancher R.D.C						
נדו	1-	Carrelage (2 cm).	44 Kg/m^2				
M	2-	Mortier de pose (2 cm).	40 Kg/m^2				
GE	3-	Lit de sable (1cm).	20 Kg/m^2				
CHARGEME NT	4-	Dalle pleine en béton armé (15 cm).	375 Kg/m^2				
	5-	Enduit en plâtre (2 cm).	30 Kg/m^2				
		Cloison légère.	75 Kg/m^2				
	- La charge permanente : $G = 584 kg / m^2$.						
- La charge d'exploitation : $P = 500 \text{ kg} / \text{m}^2$.							

Tableau (2.3): descente des charges du plancher RDC

	Toiture						
斑	1-	Tuile.	60 Kg/m^2				
RG NT	2-	Sable et Mortier de pose (5 cm)	60 Kg/m^2				
HA] ME]	3-	Dalle pleine (15 cm)	375 Kg/m^2				
\sim CH \sim	4-	Enduit en ciment (2 cm)	36 Kg/m^2				
	- La charge permanente : $G = 531 kg/m^2$.						
	- La charge d'exploitation : $P = 100 \text{ kg} / \text{m}^2$.						

Tableau (2.4): Chargement (permanent et d'exploitation) de la toiture.

2.5) Prédimensionnement des poteaux :

Pour le Prédimensionement on pose que les poteaux sont soumis uniquement à la compression simple centrée. Le calcul est basé sur trois conditions sont :

• Condition de résistance :

D'après B.A.E.L. 91 on a la formule suivante :

$$B_{r} \ge \frac{K \times \beta \times N_{U}}{\left[\theta \times \left(\frac{\sigma_{bc}}{0.9}\right) + 0.85 \times \left(\frac{A}{B_{r}}\right) \times \sigma_{s}\right]}$$

Avec:

- B_r : section réduite du béton; $B_r = (b_1 2) \times (h_1 2) cm^2$
- K: facteur correcteur pour la durée d'application des charges et les surcharges qui sont appliquées généralement après 90 jours donc K = 1.
- N_U : L'effort normal que peut supporter le poteau à l'état limite ultime ; $N_U = 1{,}35N_g + 1{,}5N_q$

 $N_{\rm g}\,$: L'effort normal de la charge permanente.

 N_q : L'effort normal de la charge d'exploitation.

- θ : facteur de durée d'application des charges $\theta = 1$.
- β : coefficient dépend de l'élancement du poteau.

$$\beta = 1 + 0.2 \times \left(\frac{\lambda}{35}\right)^2 \quad \text{Pour } \lambda \le 50$$

$$\beta = \frac{0.85 \times \lambda^2}{1500} \quad \text{Pour } 50 \le \lambda \le 70$$

- $\frac{A}{B_{a}} = 1\%$ (B.A.E.L. 91)
- σ_{s} : résistance de calcul les aciers à l'ELU :

$$\sigma_S = \frac{f_e}{\gamma_S} = \frac{400}{1,15} = 348 \text{ MPa}$$

$$\sigma_{bc} = \frac{0.85 \times f_{c28}}{\theta \cdot \gamma_b} = \frac{0.85 \times 25}{1.1,5} = 14,2 \text{ MPa}$$

Pour toutes les armatures participent à la résistance on prend :

$$\lambda = 35 \implies \beta = 1 + 0.2 \times \left(\frac{35}{35}\right)^2 \implies \beta = 1.2$$

La formule (2-7) [1] sera simplifiée :

$$B_r \ge \frac{1 \times 1.2 \times N_U}{\left[1 \times \left(\frac{14.2}{0.9}\right) + 0.85 \times 0.01 \times 348\right]}$$

D'où:

$$B_r \ge 0.064 \times N_U$$

• Condition du R.P.A. 99:

Notre construction est classée en zone IIa, on doit vérifier les conditions suivantes :

$$\operatorname{Min} (h_1, b_1) \ge 25cm$$

$$\operatorname{Min} (h_1, b_1) \ge \frac{h_e}{20}$$

$$\frac{1}{4} < \frac{b_1}{h_1} < 4$$

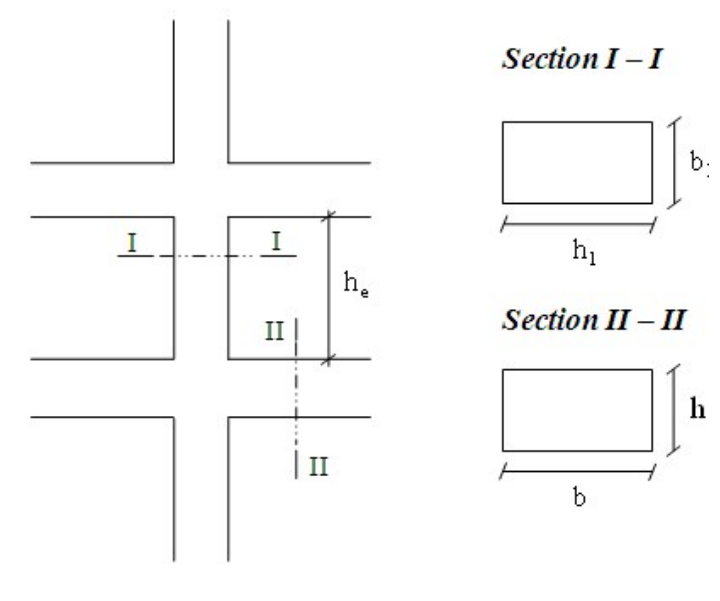


Figure (2.10) : Hauteur libre de l'étage.

• Condition de stabilité de forme (flambement) :

Il faut vérifier la condition suivante :

$$\lambda = \frac{L_f}{i} \le \overline{\lambda} = 35$$

Avec

 λ : L'élancement d'un poteau.

 L_f : Langueur de flambement $L_f = 0.7 \times L_0$.

i: Rayon de giration $i = \sqrt{\frac{I}{R}}$

I: Moment d'inertie $I = \frac{b_1 \times h_1^3}{12}$

B: Section du poteau $B = b_1 \times h_1$

2.5.1) Exemple de calcul:

On va calculer la section d'un poteau de centre pour le sous sol.

• Evaluation des charges :

Cas des charges identiques

Cas des charges différentes

Figure (2.11) : Schéma de la loi de dégression

Pour $n \ge 5$

	La charge d'exp	ploitation (Kg/m²)	La charge permanente (Kg/m²)		
NIVEAUX	Valeur non cumulé	Valeur cumulé	Valeur non cumulé	Valeur cumulé	
terrasse	100	100	652	652	
9 ^{ème} étage	150	250	499	1151	
8 ^{ème} étage	150	385	499	1650	
7 ^{ème} étage	150	505	499	2149	
6 ^{ème} étage	150	610	499	2648	
5 ^{ème} étage	150	700	499	3147	
4 ^{ème} étage	150	775	499	3646	
3 ^{ème} étage	150	850	499	4145	
2 ^{ème} étage	150	925	499	4644	
1 ^{ère} étage	150	1000	499	5143	
RDC	500	1302,5	584	5727	

Tableau (2.5): Evaluation des charges

• Condition de résistance :

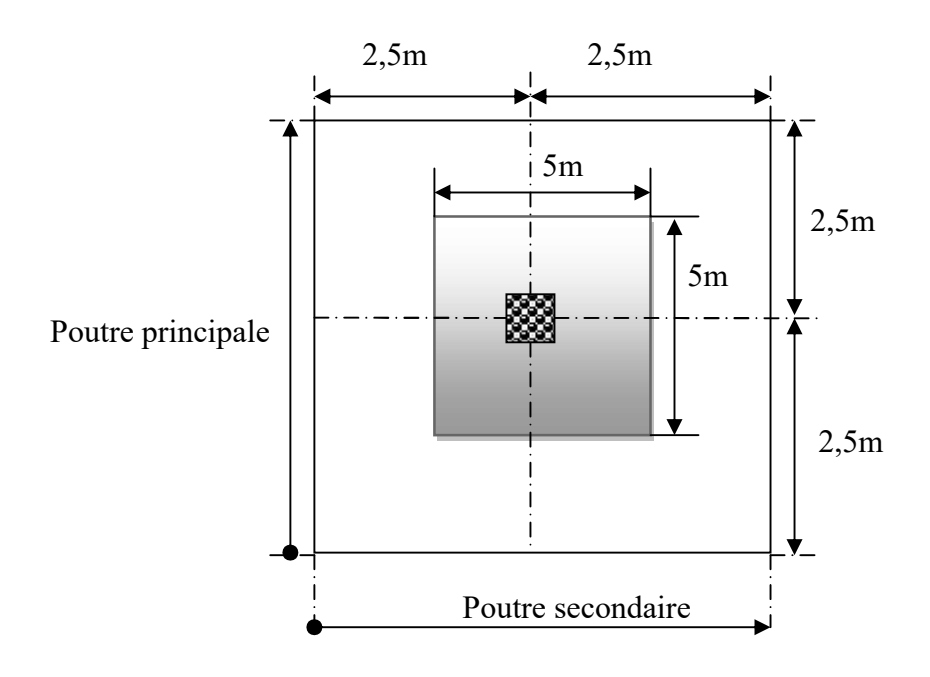


Figure (2.12) : Surface afférente d'un poteau de centre

• Calcul de la section du poteau : (sous sol)

$$B_r \ge 0.064 \times N_U$$
 Avec $N_U = 1.15 \times N_{U_0}$

•
$$Nu_0 = N_{1 \, plancher} \times S_{aff \, (plancher)} + N_2 (P.P) \times L_{aff \, (P.P)} + N_3 (P.S) \times L_{aff \, (PS)}$$

- La section afférente du plancher : $S_{aff(plancher)} = 25m^2$
- La longueur afférente de la poutre principale : $L_{aff(P,P)} = 2.5 + 2.5 = 5.5m$
- La longueur afférente de la poutre secondaire : $L_{aff(P.S)} = 2,5 + 2,5 = 5m$
- $N_{1(plancher)} = 1.35 \times G + 1.5 \times Q = 1.35 \times 5727 + 1.5 \times 1302.5$

$$N_{1(plancher)} = 9685,2 \text{ Kg/m}^2$$

• $N_2(P.P) = 1.35 \times 2500 \times b \times h \times n = 1.35 \times 2500 \times 0.3 \times 0.45 \times 11$

$$N_2(P.P) = 55011,875 \text{ Kg/ml}$$

• $N_3(P.S) = 1,35 \times 2500 \times b \times h \times n = 1,35 \times 2500 \times 0,3 \times 0,4 \times 11$

$$N_3(P.S) = 4455 \text{ Kg/ml}$$

• $Pu = 9685,2 \times 25 + 5011,875 \times 5 + 4455 \times 5$

$$Pu = 289464,38 \text{ Kg/m}^2$$

• $N_U = 1.15 \times Pu = 332884.03 \text{ kg/m}^2$

Donc:

$$B_r \ge 0.064 \times N_U = 0.064 \times 332884,03 \implies B_r \ge 2130,4578 \text{cm}^2$$

Soit
$$b_1 = h_1 = 50 \text{ cm}$$

• Condition du R.P.A 99:

Min $(50) \ge 25cm$ condition vérifier.

Min
$$(50) \ge \frac{250}{20} = 12,5cm$$
condition vérifier.

• Condition de stabilité de forme (flambement) :

$$\lambda = \frac{L_f}{i} = \frac{0.7 \times L_0}{\sqrt{\frac{I}{B}}}$$
 \Rightarrow $\lambda = \frac{0.7 \times 250}{\sqrt{\frac{50 \times (50)^3}{12 \times 50 \times 50}}} = 12.6$

Donc
$$\lambda = 12, 6 \le \overline{\lambda} = 35$$
.....condition vérifier.

Le tableau suivant nous résume les dimensions des poteaux des autres blocs avec la même démarche de calcul précédent.

Niwaany	Poutres (kg)	Plancher (kg/m ²)		Surface	P _u (kg)	$N_{\rm u} = 1,15 P_{\rm u}$	$B_r = 0.064 \cdot N_u$	Choix $B = b_1 \times h_1$			
Niveaux	P.P	P.S	Ng	Nq	afférente (m ²)	T _u (kg)	T _u (kg)	T _u (kg)	(kg)	(cm ²)	$\begin{array}{ c c c c c c c c c c c c c c c c c c c$
9 ^{ième}	1687,5	1500	652	100	25	30058,125	34566,844	221,2278	35x35		
8 ^{ième}	3375	3000	1151	250	25	56827,5	65351,625	418,2504	35x35		
7 ^{ième}	5062,5	4500	1650	385	25	83034,375	95489,531	611,133	40x40		
6 ^{ième}	6750	6000	2149	505	25	108678,75	124980,56	799,8756	40x40		
5 ^{ième}	8437,5	7500	2648	610	25	133760,63	153824,72	984,4782	40x40		
4 ^{ième}	10125	9000	3147	700	25	158280	182022	1164,9408	45x45		
3 ^{ième}	11812,5	10500	3646	775	25	182236,88	209572,41	1341,2634	45x45		
2 ^{ième}	13500	12000	4145	850	25	206193,75	237122,81	1517,586	45x45		
1 ^{ière}	15187,5	13500	4644	925	25	230150,63	264673,22	1693,9086	50x50		
R.D.C	16875	15000	5143	1000	25	254107,5	292223,63	1870,2312	50x50		
Sous-sol	18562,5	16500	5727	1302,5	25	289464,38	332884,03	2130,4578	50x50		

Figure (2.6): Tableau récapitulatif des sections des poteaux.

2.6) Prédimensionement des voiles :

2.6.1) Voile périphérique de sous-sol:

Pour l'augmentation de la rigidité de la partie inférieur du construction (sous-sol) contre la poussé de la terre, il est nécessaire de prévoir un voile périphérique en béton armée.

Leurs prédimensionnement doit satisfaire aux conditions imposées par R.P.A 99 versions 2003 :

$$\begin{cases} a \ge 15cm \\ a \ge \frac{h_e}{25} \end{cases}$$

Les armatures sont constituées de deux nappes.

Avec *a* : épaisseur du voile.

 h_e : Hauteur libre d'étage.

$$\begin{cases} a \ge 15cm \\ a \ge \frac{255}{25} = 10,2cm \end{cases}$$
 On prend: $a = 20cm$

2.6.2) Voile de contreventement :

Les voiles de contreventements sont des voiles réalisés en béton armé pour augmenter la rigidité des portiques contre les efforts horizontaux tel que le séisme.

Leur pré dimensionnement doit satisfaire aux conditions imposées par R.P.A 99 versions 2003 :

$$\begin{cases} a \ge 15cm \\ a \ge \frac{h_e}{20} \\ a \le \frac{l}{4} \end{cases}$$

Avec:

l : La longueur du mur voile.

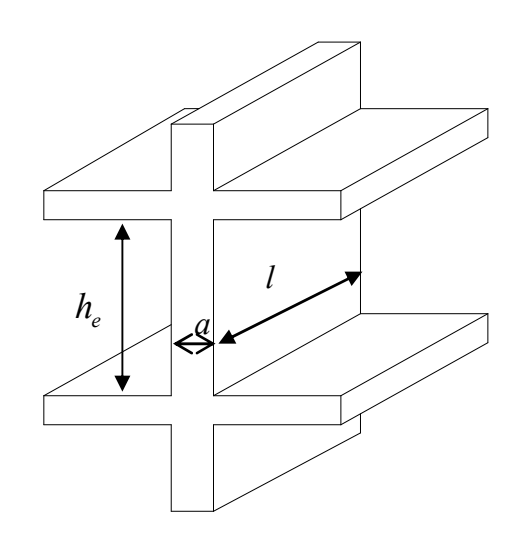


Figure (2.13) : coupe verticale du voile en élévation.

$$\begin{cases} a \ge 15cm \\ a \ge \frac{261}{20} = 13,05cm \end{cases}$$
 On prend: $a = 15cm$

Chapitre III

Étude des planchers

3.1) Introduction:

Les planchers choisis dans cette étude sont des planchers à corps creux de (16 + 5) cm avec une dalle de compression et des planchers en dalle pleine ayant 15 cm d'épaisseur.

Le calcule effectué dans ce chapitre consiste à évaluer les moments fléchissant et les efforts tranchants sollicitant les poutrelles afin de déterminer le ferraillage nécessaire à adopter dans les sections d'aciers longitudinales et transversales.

3.2) Calcul des planchers :

3.2.1) Plancher à corps creux :

3.2.1.1) Étude de la dalle de compression :

Pour le ferraillage de la dalle de compression, les conditions suivantes doivent être respectées:

- La dalle de compression doit avoir une épaisseur minimale de 4 cm et être armée d'un quadrillage des barres dont les dimensions des mailles ne doivent pas dépasser :
 - 20 cm : pour les armatures perpendiculaires aux nervures (A_{\perp}) .
 - 30 cm : pour les armatures parallèles aux nervures $(A_{//})$.
- La section minimale des armatures doit être :
 - Pour l'écartement des axes des nervures L_n inférieure ou égal à 50 cm, on a :

$$A_{\perp} \ge 200 \ f_e \ ; \ A_{//} \ge \left(\frac{A_{\perp}}{2}\right)$$

• Pour l'écartement des axes des nervures L_n comprises entre 50 et 80 cm, on a :

$$A_{\perp} \ge 4 \cdot \left(\frac{L_n}{f_e}\right); A_{//} \ge \left(\frac{A_{\perp}}{2}\right)$$

Avec:

 L_n : Distance entre axes des nervures en (cm).

 f_e : La limite d'élasticité.

La limite d'élasticité de treillis soudés pour un treillis de diamètre $\phi \le 6 \, mm$ est :

$$f_e = 520 MPa.$$

• Armature perpendiculaire aux nervures :

$$50 \ cm \le L_n = 60 \ cm \le 80 \ cm$$

Donc on a:
$$A_{\perp} \ge 4 \cdot \left(\frac{L_n}{f_e}\right) \Rightarrow A_{\perp} \ge 4 \cdot \left(\frac{60}{520}\right) \Rightarrow A_{\perp} \ge 0.46 \ cm^2/ml$$
.

On prend
$${}^{5\phi6}/_{ml} \Rightarrow A_{\perp} = 1,41 \, cm^2/ml$$
.

• Armatures parallèles aux nervures :

$$A_{//} \ge \frac{A_{\perp}}{2} \implies \frac{1,41}{2} \implies A_{//} \ge 0,70 \text{ cm}^2/\text{ml}.$$
On prend $5\phi6/\text{ml} \Rightarrow A_{//} = 1,41 \text{ cm}^2/\text{ml}.$

Donc on adoptera un treillis soudés de : $\phi 6 (200 \times 200) mm^2$.

3.2.1.2) Etude des poutrelles:

a) Géométrie : d'après le dimensionnement effectué dans le chapitre II, les dimensions de la

poutrelle sont:

$$h_t = 21 cm;$$

 $h_0 = 5 cm;$
 $b = 60 cm;$
 $b_0 = 12 cm;$
 $b_1 = 24 cm.$

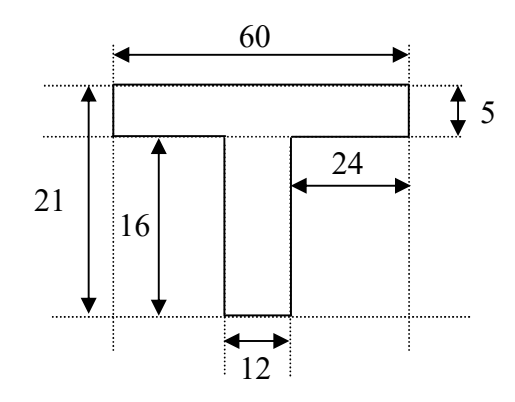


Figure (3.1) : Schéma de poutrelle.

• Types des poutrelles : Vu la disposition des poutrelles, nous distinguons deux types :

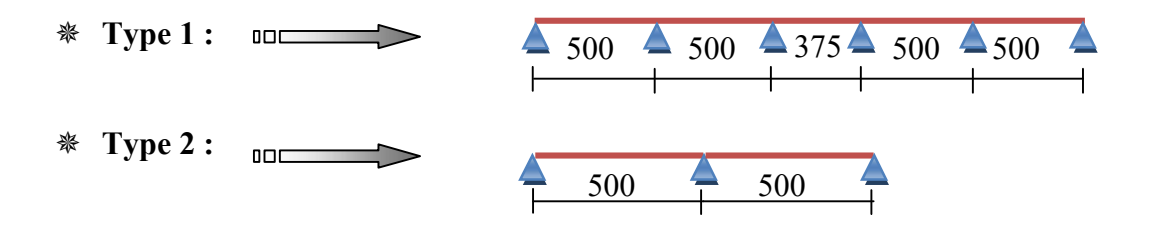


Figure (3.2) : schéma statique des poutrelles

- b) Evaluation des charges :
- Plancher terrasse: G=6,52 KN/ml; Q=1 KN/ml

$$\triangleright$$
 E.L.U: qu = (1,35G+1,5Q).0, 6 = (1,35.6,52+1,5.1,00).0, 6 = 6,1812 KN/ml

$$\triangleright$$
 E.L.S: qs = (G+Q).0, 6 = (6.52 + 1.00).0, 6 = 4.512KN/ml

• Plancher étage courant : G=4,99 KN/ml ; Q=1,5 KN/ml

$$\triangleright$$
 E.L.U: qu = (1,35G+1,5Q).0, 6 = (1,35.4,99+1,5.1,50).0, 6 = 5,3919 KN/ml.

$$\triangleright$$
 E.L.S: **qs** = (G+Q).0, 6 = (4,99 + 1,50).0, 6 = 3,894 *KN/ml*.

c) Détermination des sollicitations

• Les méthodes des calcules :

On utilisé généralement dans les calcules de béton armé la méthode simplifier (méthode à charges d'exploitation modérée) en méthode de la résistance de matériau par exemple (méthode de trois moment –Caquot) dans notre cas nous avons utilisé pour des calcules des poutrelles la méthode à charge d'exploitation modérée (**Forfaitaire**).

• Vérification des conditions d'applications de la méthode :

Selon le BAEL 91 modifié 99 :

1. La méthode s'applique aux constructions courantes ou la charge d'exploitation est au plus ou égale à deux fois la charge permanente en KN/m².

$$Q \leq \max(2.G;5000N/m^2) \rightarrow \text{CV}?$$

- Plancher terrasse Q=1000 N/m² \leq 5000 N/m² \rightarrow C.V
- Plancher étage courant \rightarrow Q=1500 N/m² \leq 5000 N/m² \rightarrow C.V
- Plancher RDC \rightarrow Q=5000 N/m² \leq 5000 N/m² \rightarrow C.V
- 2. Les moments d'inerties des sections transversales sont les même dans les différents travées en continuité → CV
 - 3. Le rapport entre deux travées successives doit être compris entre 0,8 et 1,25.

• Plancher terrasse :
$$0.8 \le \frac{L_i}{L_{i+1}} = \frac{375}{500} = 0.75 \le 1.25 \rightarrow C.N.V$$

• Plancher étage courant :
$$0,8 \le \frac{L_i}{L_{i+1}} = \frac{375}{500} = 0,75 \le 1,25 \rightarrow C.N.V$$

• Plancher RDC:
$$0.8 \le \frac{L_i}{L_{i,i+1}} = \frac{375}{500} = 0.75 \le 1.25 \rightarrow C.N.V$$

4. La fissuration est considérée comme peu nuisible → C.V

Donc la méthode de forfaitaire n'est pas applicable pour tous les types de poutrelles.

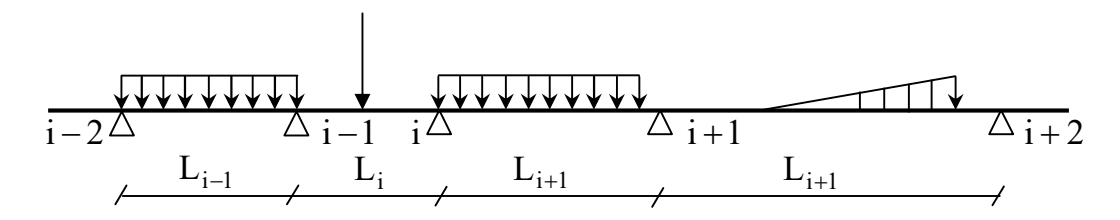
Donc on utilise notre méthode de calcule (méthodes des trois moments).

c.1) Méthode de calcul (méthodes des trois moments):

Principe de la méthode:

• En appui:

Soit une poutre continue quelconque on considère l'appui (i), ou on cherche le moment d'appui $M_{\rm i}$:



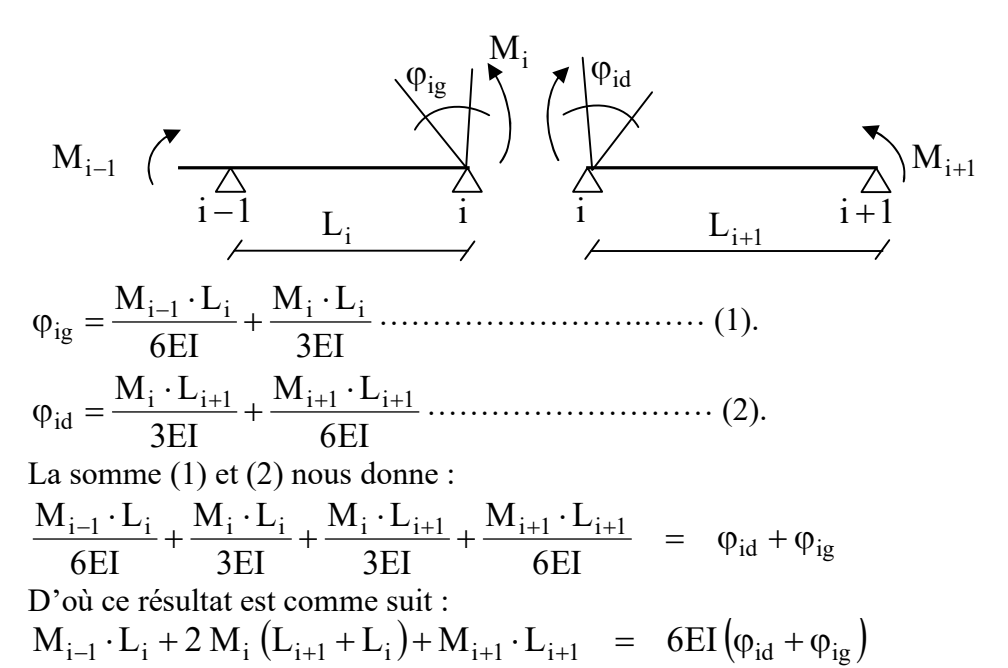
On décompose l'appui (i):

$$\begin{array}{c|c} & \phi_{ig} & \phi_{id} \\ \hline & \lambda_{i-1} & \lambda_{i-1} & \lambda_{i+1} \\ \hline \end{array}$$

 $\textit{Avec}: \phi_{ig}: Rotation \ en \ (i) \ \grave{a}$ gauche.

 φ_{id} : Rotation en (i) à droite.

 ϕ_{ig} et ϕ_{id} Sont dues aux charges extérieures sachant que dans les appuis intermédiaires, il existe des moments intérieurs.



• En travée:

$$Ra = \frac{q \cdot L}{2} + \frac{M_g - M_d}{L}$$

$$T = Ra - q \cdot x$$

$$M_t^{max} = Ra \cdot x - \frac{q \cdot x^2}{2} - M_g$$

c.2) Exemple de calcul:

Étage courant (Type I):

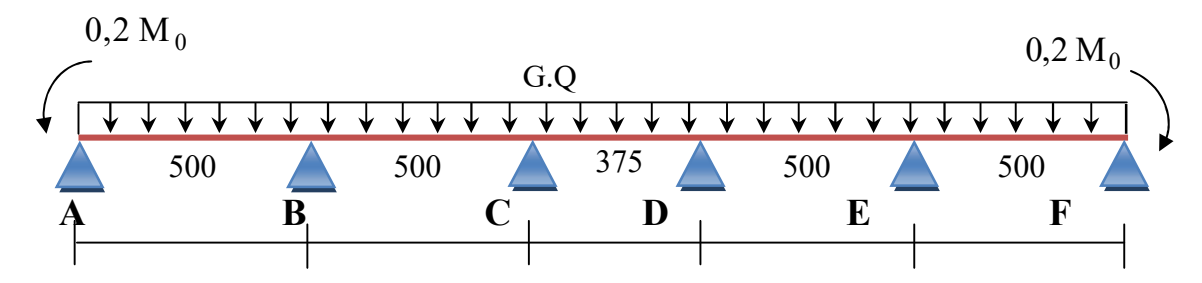


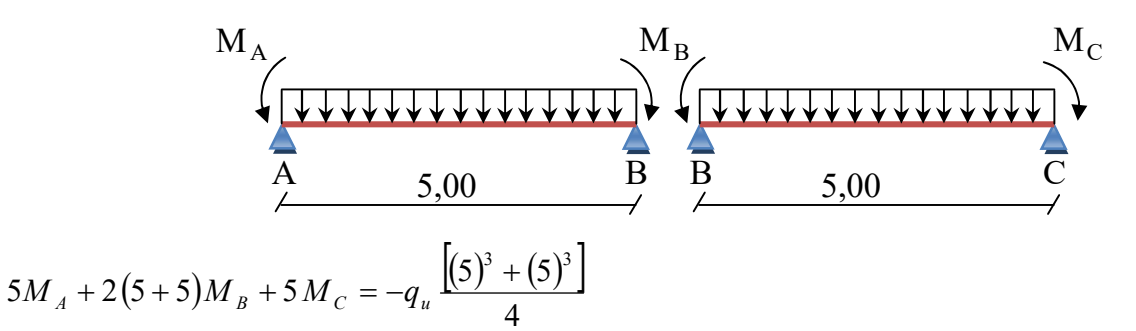
Figure (3.3): Schéma de la poutrelle (type I).

<u>E.L.U</u>: $q_u = 5391.9 \ N/ml$ <u>E.L.S</u>: $q_s = 3894 \ N/ml$

► E.L.U:

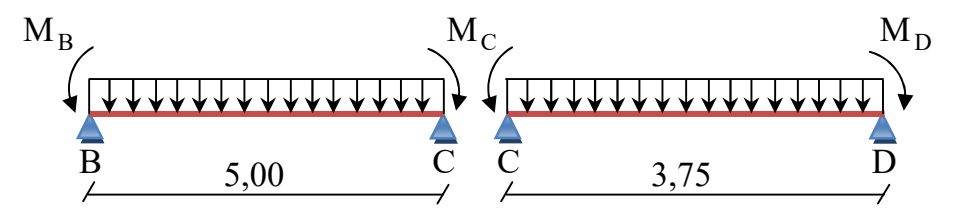
$$M_{0_u}^{AB} = q_u \frac{L^2}{8} = 5391.9 \times \frac{(5)^2}{8} = 16849.68 \ N.m = M_{0_u}^{EF}$$

- Calcul des moments au niveau de l'appui :
- En appui A: $M_A = -0.2 M_{0_u}^{AB} = -3369.93 N.m$
- En appui B:

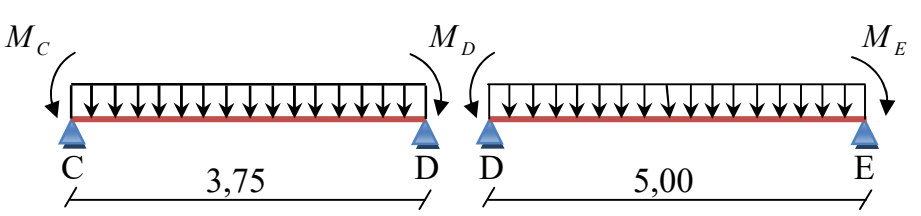


$$20M_B + 5M_C = -320144,06$$

• En appui C:

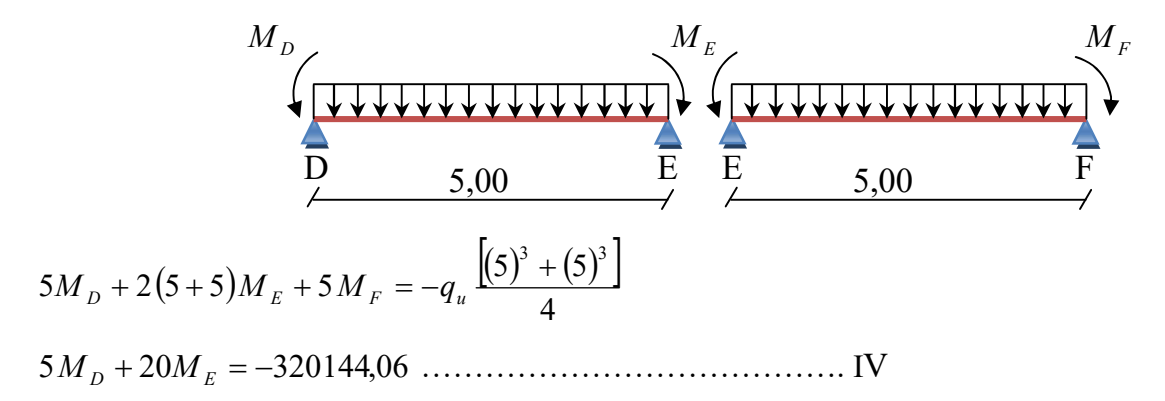


• <u>En appui D</u>:



$$3,75M_C + 2(5+3,75)M_D + 5M_E = -q_u \frac{[(3,75)^3 + (5)^3]}{4}$$

• En appui E:



En présentation matricielle, le système d'équation linéaire se simplifie comme suit :

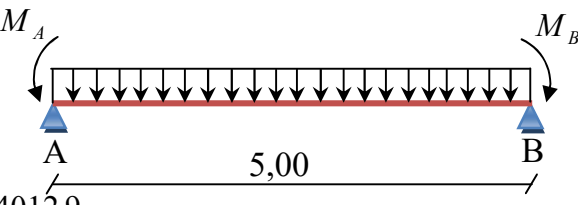
$$\begin{pmatrix}
20 & 5 & 0 & 0 \\
5 & 17,5 & 3,75 & 0 \\
0 & 3,75 & 17,5 & 5 \\
0 & 0 & 5 & 20
\end{pmatrix}
\begin{pmatrix}
M_B \\
M_C \\
M_D \\
M_E
\end{pmatrix} =
\begin{pmatrix}
-320144,06 \\
-239581,49 \\
-320144,06
\end{pmatrix}$$

On obtient:

$$M_A = -3369,93 \ N.m$$
 $M_D = -7977,3 \ N.m$ $M_B = -14012,9 \ N.m$ $M_E = -14012,9 \ N.m$ $M_C = -7977,3 \ N.m$ $M_F = -3369,93 \ N.m$

• Calcul des moments au niveau de la travée :

• Travée AB:



$$Ra = \frac{q_u \cdot L}{2} + \frac{M_A - M_B}{L} = \frac{5391,9 \times 5}{2} + \frac{3369,93 - 14012,9}{5} = 11351,156 \, N$$

•
$$T = Ra - q_u \cdot x$$
 pour $T = 0 \implies x = \frac{Ra}{q_u} = \frac{11351,156}{5391,9} = 2,10 m$

•
$$M_t^{AB}(x) = Ra \cdot x - \frac{q_u \cdot x^2}{2} - M_A$$

$$M_t^{AB}(2,10) = 11351,156 \cdot 2,1 - \frac{5391,9 \cdot (2,1)^2}{2} - 3369,93$$

$$M_t^{AB} = 8578,432 \ N.m$$

• Travée BC:

$$R_B = 14686,870 \ N$$

$$x = 2,72 m$$

$$M_t^{BC} = 5989,710 \ N.m$$

◆ Travée CD:

$$R_C = 10109,813$$
 N

$$x = 1.87 m$$

$$M_t^{CD} = 1500,649 N.m$$

◆ Travée DE:

$$R_D = 12272,630 \ N$$

$$x = 2,27 m$$

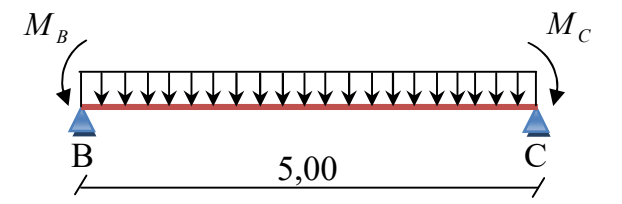
$$M_t^{DE} = 5989,710 \ N.m$$

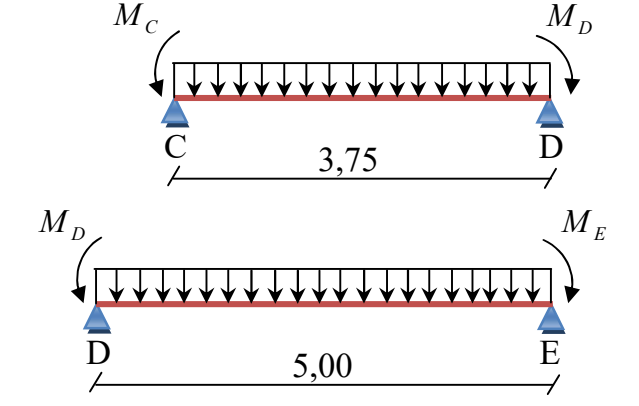
◆ Travée EF:

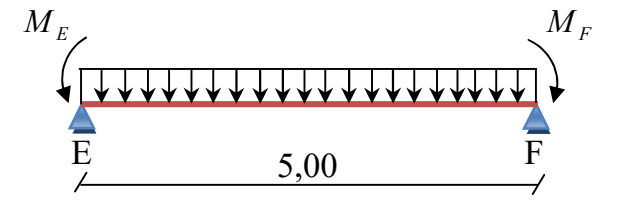
$$R_E = 15608,344 N$$

$$x = 2.89 m$$

$$M_t^{EF} = 8578,432 N.m$$







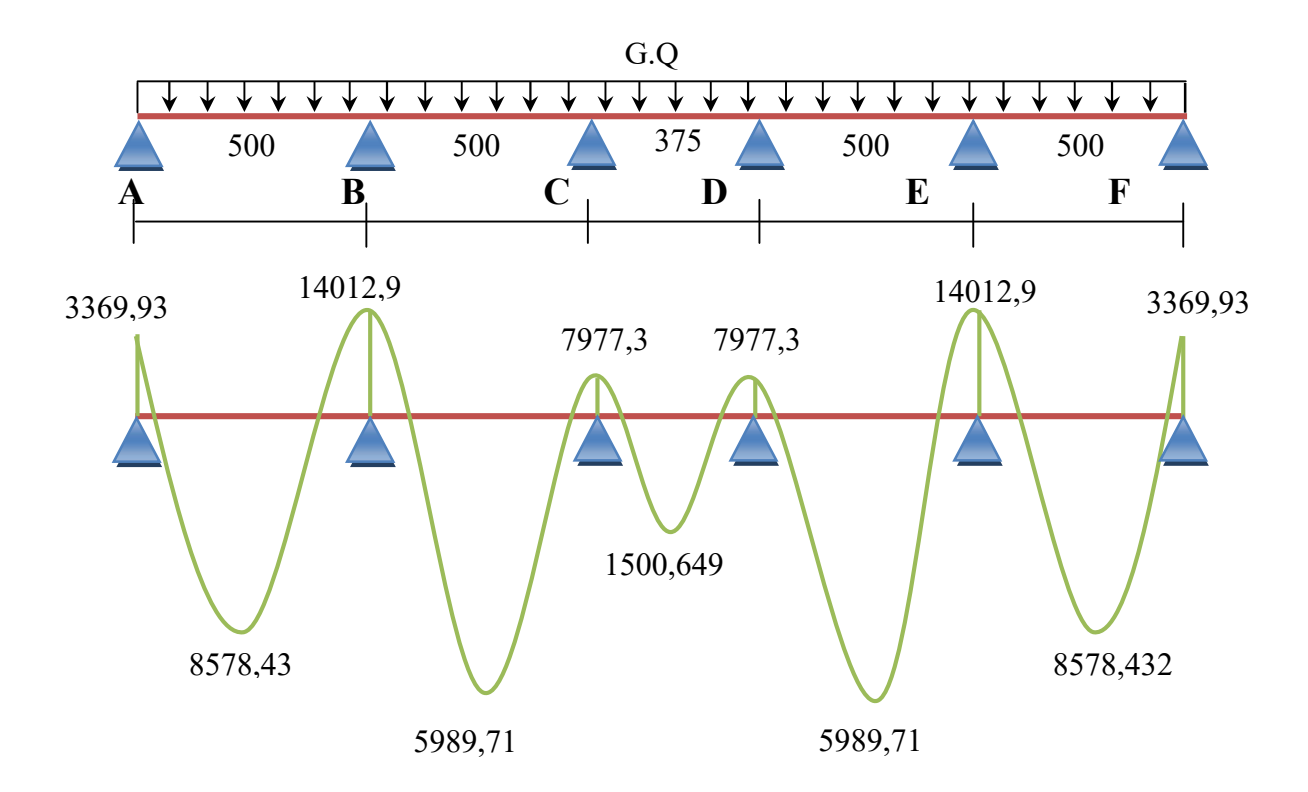


Figure (3.4) : Diagramme des moments fléchissant à l'ELU $[M_u]$ (N.m)

ELS: $q_{ser} = 3894 \text{ N/ml}$

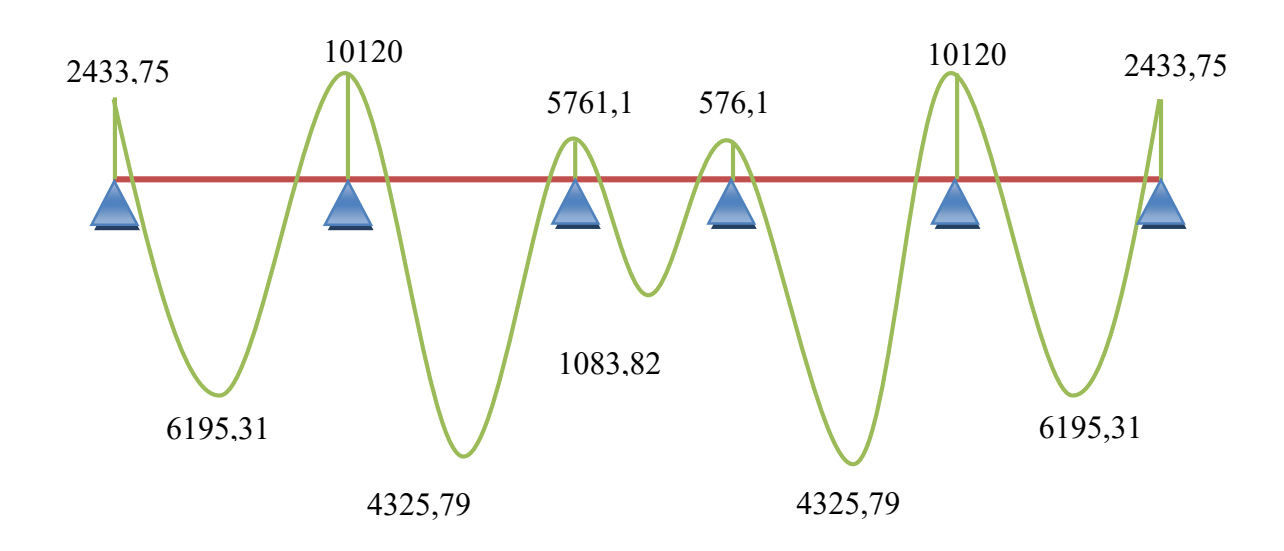


Figure (3.5) : Diagramme des moments fléchissant à l'ELS $[M_{ser}]$ (N.m)

Étage courant		Terr	asse			
Type II	Type I	Type II Type I				
3369,93	3369,93	3863,25	3863,25	A_A		
10109,813	14012,9	11589,75	16064,2	A_{B}		
3369,93	7977,3	3863,25	9145	$A_{\rm C}$	En a	
_	7977,3	_	9145	A_{D}	appui	
_	14012,9	_	16064,2	A _E	_ .	H
_	3369,93	_	3863,25	A_{F}		L
11278,813	8578,43	12360,345	9834,189	T_{AB}		
11278,813	5989,71	12360,345	6866,556	T_{BC}	En	
_	1500,649	_	1720,391	T _{CD}	tra	
_	5989,71	_	6866,556	$T_{ m DE}$	travée	
_	8578,43	_	9834,189	$T_{\rm EF}$		

Tableau (3.1) : Tableau récapitulatif des moments fléchissant en appui et en travée (N.m) pour E.L.U

Étage	courant					
Type II	Type I	Type II	Type I			
2433,75	2433,75	2820	2820	A _A		
7301,25	10120	8460	11726,1	A _B	H	
2433,75	5761,1	2820	6675,5	$A_{\rm C}$	En a	
_	5761,1	_	6675,5	A _D	appui	
_	10120	_	11726,1	A _E	111	
_	2433,75	_	2820	A_{F}		E.L.S
8145	6195,31	9022,5	7178,54	T_{AB}		N
8145	4325,79	9022,5	5012,27	$T_{ m BC}$	En	
_	1083,82	_	1255,75	T_{CD}	tra	
_	4325,79	_	5012,27	$T_{ m DE}$	travée	
_	6195,31	_	7178,54	$T_{\rm EF}$		

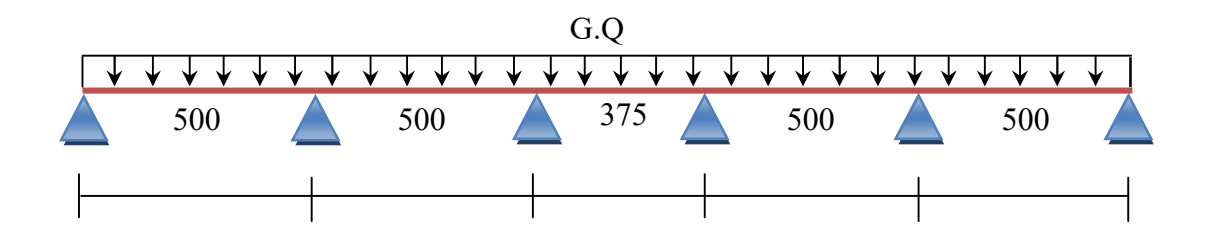
Tableau (3.2) : Tableau récapitulatif des moments fléchissant en appui et en travée (N.m) pour E.L.S

Les efforts tranchants:

Pour le calcul des efforts tranchants, on utilise les formules suivantes :

$$\begin{cases} T_{w} = \frac{M_{w} - M_{e}}{L} + q \cdot \frac{L}{2} \\ T_{e} = \frac{M_{w} - M_{e}}{L} - q \cdot \frac{L}{2} \end{cases}$$

Qui nous donne les valeurs présentées ci-dessous :



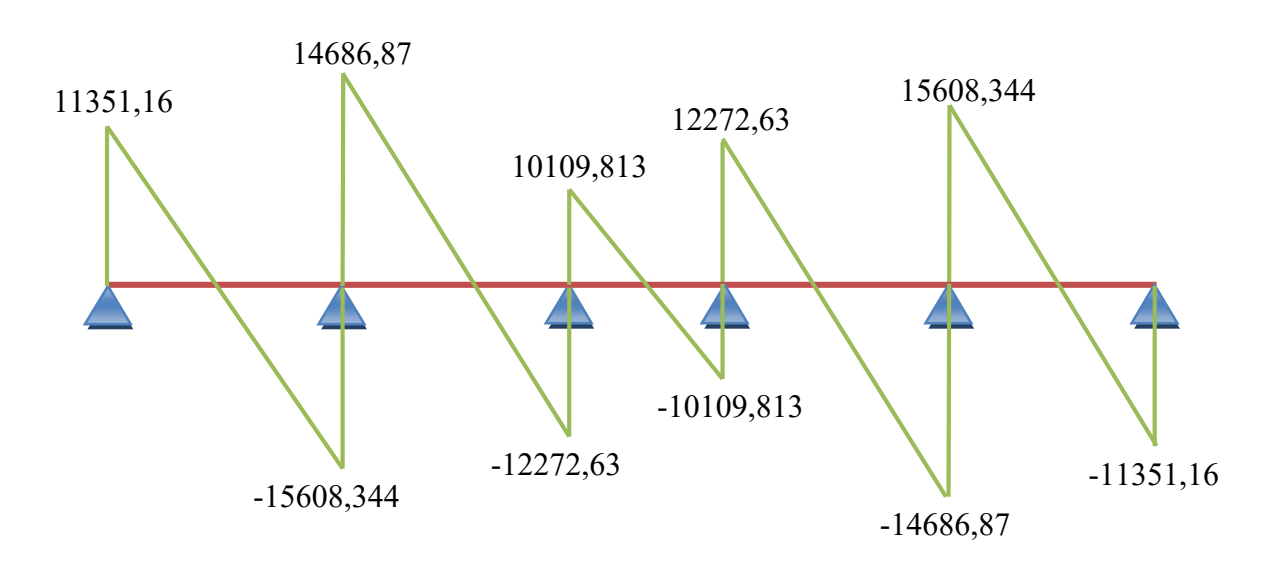


Figure (3.6): Diagramme des efforts tranchants à l'ELU [Vu] (N)

Étage	courant				
Type II	Type I	Type II	Type I		
12131,775	11351,16	13907,7	13012,81	T	
14827,725	15608,344	16998,3	17893,19	T_{AB}	
14527,725	14686,87	16998,3	16836,84	T	
12131,775	12272,63	13907,7	14069,16	T_{BC}	
_	10109,813	_	11589,75	T	\Box
_	10109,813	_	11589,75	T_{CD}	Appui
_	12272,63	_	14069,16	T	
_	14686,87	_	16836,84	T_{DE}	
_	15608,344	_	17893,19	T	
	11351,16	_	13012,81	T_{EF}	

Tableau (3.3): Tableau récapitulatif des efforts tranchants aux appuis.

d) Calcul de ferraillage:

d.1) Ferraillage Plancher terrasse:

	E.L.U	E.L.S
Mt max	12630,345	9022,500
Ma max	16064,200	11726,100
T max	17893,775	-

Theorem 2. En travée :
$$M_{tmax} = 12630,345 \text{ N.m}$$

> ELU:

Soit M_i moment repris par la table de compression donner par l'expression suivante :

$$M_{tab} = u_0.b.d^2.f_{bc} .$$

Paramètre de calcul:

$$f_{bc} = 14,2MPa; b = 60cm; h_0 = 5cm; d = 0,9.h = 19cm$$

 $d' = 0,1.h = 2cm; b_0 = 12cm.$

• Vérification de l'étendue de la zone comprimée :

$$M_{tab} = \sigma_{bc} \cdot b \cdot h_0 \left(d - \frac{h_0}{2} \right)$$

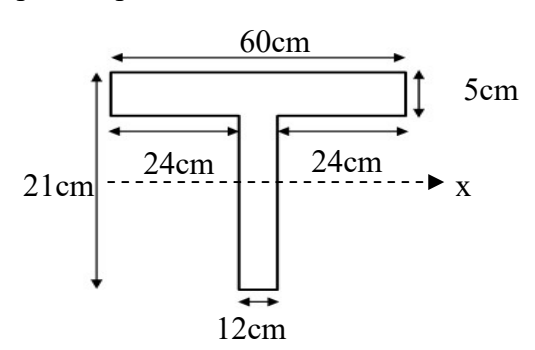


Figure (3.7): la section calculée

$$\begin{split} &\sigma_{bc} = 14,\!20 \; MPa. \quad ; \quad b = 60 \, cm \quad ; \quad h_0 = 5 \, cm \quad ; \quad d = 19 \, cm \\ &M_{tab} = 14,\!20 \times 60 \times 5 \times \left(19 - \frac{5}{2}\right) = 70290 \; N.m \\ &M_{tab} = 70290 \; N.m > M_{t}^{\rm max} = 12360,\!345 \; N.m. \end{split}$$

Donc, la zone de compression se trouve dans la table de compression et la section de calcul sera une section rectangulaire de dimension : $(b \times h) = (60 \times 21) cm^2$

• Vérification de l'existence des armatures comprimées (A') :

$$\mu = \frac{M_t^{\text{max}}}{b \cdot d^2 \cdot \sigma_{bc}} = \frac{12360,345}{60 \times (19)^2 \times 14,20} = 0,04 \le \mu_{AB} = 0,186$$

Donc (A') n'existe pas.

$$\alpha = 1,25 \left(1 - \sqrt{1 - 2 \,\mu} \right) = 0,051$$

$$\beta = 1 - 0,40 \,\alpha = 0,979$$

$$\sigma_{s} = \frac{f_{e}}{\gamma_{s}} = 348 \text{ MPa.}$$

$$A = \frac{M_{t}^{\text{max}}}{\beta \cdot d \cdot \sigma_{s}} = \frac{12360,345}{0,979 \times 19 \times 348} = 1,909 \, \text{cm}^{2}$$

• Condition de non fragilité :

$$\begin{split} A_{\min} &= 0.23 \times b \times d \times \frac{f_{t28}}{f_e} = 0.23 \times 60 \times 19 \times \frac{2.1}{400} = 1.38 \ cm^2 \\ A_{adoptif} &= \max \left(A_{cal} \ ; A_{\min} \right) = 1.909 \ cm^2 \end{split}$$

$$A_{adoptif} = \max(A_{cal}; A_{min}) = 1,909 cm$$

$$\underline{\text{Choix}}: 3\text{T}12 \longrightarrow A = 3,39 \text{ cm}^2$$

> E.L.S:

Comme la fissuration est considéré comme peu nuisible il n' ya aucune vérification à Concernant σ_s :

On doit vérifier que $\sigma_{bc} = K.y \le 0, 6.f_{c28} = 15MPa$

• Position de l'axe neutre :

$$b_0 y_2^2 + \left[2(b - b_0)h_0 + 30(A_s + A_s') \right] y_2 - \left[(b - b_0)h_0^2 + 30(dA_s + d'A_s') \right] = 0$$

$$b_0 y_2^2 + \left[2(b - b_0)h_0 + 30A_s \right] y_2 - \left[(b - b_0)h_0^2 + 30dA_s \right] = 0$$

$$12y_2^2 + \left[2(60 - 12)5 + 30 \times 339 \right] y_2 - \left[(60 - 12) \times 5^2 + 30 \times 19 \times 339 \right] = 0$$

$$12y_2^2 + 5817y_2 - 31323 = 0 \implies y_2 = 489cm$$

 $y_2 = 4.89cm < h_0 = 5cm \implies$ L'axe neutre se trouve dans la table.

• Moment d'inertie :

$$I_{2} = \frac{b_{0}y_{2}^{3}}{3} + \frac{(b - b_{0})h_{0}^{3}}{12} + (b - b_{0})h_{0}(y_{2} - \frac{h_{0}}{2})^{2} + 15\left[A_{s}(d - y_{2})^{2} + A_{s}^{'}(y_{2} - d^{'})^{2}\right]$$

$$I_{2} = \frac{b_{0}y_{2}^{3}}{3} + \frac{(b - b_{0})h_{0}^{3}}{12} + (b - b_{0})h_{0}(y_{2} - \frac{h_{0}}{2})^{2} + 15\left[A_{s}(d - y_{2})^{2}\right]$$

$$I_{2} = \frac{12 \times (4,89)^{3}}{3} + \frac{(60 - 12) \times (5)^{3}}{12} + (60 - 12) \times 5 \times (4,89 - \frac{5}{2})^{2} + 15\left[3,39(19 - 4,89)^{2}\right]$$

$$I_{2} = 12462,458 \text{ cm}^{4}$$

• Vérification des contraintes :

$$\begin{cases} \sigma_{bc} = K.y \le \overline{\sigma}_{bc} = 0.6f_{c28}... & \text{contrainte du béton} \\ \sigma_{s} = 15.K.(d-y) \le \overline{\sigma}_{s} & \text{(Fissuration)}. & \text{contrainte de l'acier} \end{cases}$$

La fissuration est non préjudiciable donc la contrainte de l'acier est vérifier c à d : $\sigma_s \leq \overline{\sigma}_s$

$$K = \frac{Mt_{ser}}{I_2} = \frac{902250}{12462,458} = 72,397 \text{ N/cm}^3$$

$$\sigma_{bc} = K.y_2 = 72,397 \times 4,89 = 3,54MPa$$

$$\sigma_{bc} = 3,54MPa \le \overline{\sigma}_{bc} = 15MPa$$
.....condition vérifier. — E.L.S vérifier

• En appui:

> ELU:

La section sera calculée comme une section rectangulaire de dimension :

$$(b_0 \times h) = (12 \times 21) \text{ cm}^2.$$

• Vérification de l'existence des armatures comprimées (A'):

$$\mu = \frac{M_a^{\text{max}}}{b_0 \cdot d^2 \cdot \sigma_{bc}} = \frac{16064.2}{12 \times (19)^2 \times 14.20} = 0,261 > \mu_{AB} = 0,186$$

$$\xi_{s\ell} = \frac{f_e}{\gamma_s \cdot E_s} = \frac{400}{1,15 \cdot 2 \cdot 10^5} = 0,0017 \qquad E_s = 2,10^5 \text{ MPa}$$

$$\alpha_{\ell} = \frac{3,5}{35 + 1000\xi_{s\ell}} = 0,67$$

$$\mu_{\ell} = 0,8\alpha_{\ell} \left(1 - 0,4\alpha_{\ell}\right) = 0,392$$

$$\mu = 0,204 \le \mu_{\ell} = 0,392 \quad donc \quad (A') \quad n'existe \ pas$$

$$\alpha = 0,386 \quad , \quad \beta = 0,846$$

$$A = \frac{16064.2}{0.846 \cdot 19 \cdot 348} = 2,873 \ cm^2$$

• Condition de non fragilité

$$A_{\min} = 0.23 \times b \times d \times \frac{f_{t28}}{f_e} = 0.23 \cdot 12 \cdot 19 \cdot \frac{2.1}{400} = 0.28 \text{ cm}^2$$

$$A_{adoptif} = \max (A_{\min}, A_{cal}) = 2.873 \text{ cm}^2$$

$$Choix : 2T14 \longrightarrow A = 3 \text{ cm}^2$$

$$\triangleright$$
 ELS: (As' =0)

• Centre de gravité :

$$y = \frac{15 \times (A_S + A_S')}{b} \left[\sqrt{1 + \frac{b \times (d \times A_S + d' \times A_S')}{7.5 \times (A_S^2 + A_S'^2)}} - 1 \right]$$

Pour
$$A_S = 3cm^2$$
; $A'_S = 0$

$$y = \frac{15 \times 3}{12} \left[\sqrt{1 + \frac{12 \times 19}{7,5 \times 3}} - 1 \right] \implies y = 8,762 \text{ cm}$$

• Moment d'inertie :

$$I = \frac{b \times y^3}{3} + 15 \times \left[A_s \times (d - y)^2 + A_s' (y - d')^2 \right]$$

$$I = \frac{12 \times (8,762)^3}{3} + 15 \times 3 \times (19 - 8,762)^2 \implies I = 7407,477 \text{ cm}^4$$

$$K = \frac{Ma_{ser}}{I_2} = \frac{1172610}{7407,477} = 158,301 \, \text{N/cm}^3$$

$$\sigma_{bc} = K.y_2 = 0,08762 \times 158,301 = 13,87 MPa$$

$$\sigma_{bc} = 13,87 MPa \le \overline{\sigma}_{bc} = 15 MPa \dots \text{condition v\'erifier}$$

$$\sigma_s = 15 \times k \times (d - y) = 15 \times 158,301 \times (190 - 87,62) \implies \sigma_s = 190,8 \, \text{MPa}$$

$$\begin{cases} \sigma_{bc} = 13,87 \le \overline{\sigma}_{bc} = 15 \, \text{MPa} \dots \text{condition v\'erifi\'ee} \\ \sigma_s = 190,8 < \overline{\sigma}_s = 201,63 \, \text{MPa} \dots \text{condition v\'erifi\'ee} \end{cases}$$

E.L.S vérifier

Conclusion : les armatures calculées à E.L.U sont maintenues.

• Vérification vis-à-vis l'effort tranchant :

Pour des armatures transversales perpendiculaires à la ligne moyenne. D'après le B.A.E.L 83,

la condition suivante doit être vérifiée :

$$\tau_{u} \leq \overline{\tau}_{ad} = min \left(0.2 \frac{f_{c28}}{\delta_{b}} ; 5 MPa \right)$$

$$\overline{\tau}_{ad} = min \left(3.33 ; 5 MPa \right) = 3.33 MPa$$

$$\tau_{u} = \frac{T_{\text{max}}}{b_{0} \cdot d} = \frac{17893.19}{120 \times 190} = 0.785 MPa$$

$$\tau_{u} = 0.785 MPa \leq \overline{\tau}_{ad} = 3.33 MPa \rightarrow c.v$$

• Diamètre des armatures transversales.

Le diamètre ϕ_t des armatures d'âme doit être inférieur ou égal à la plus petite des trois quantités suivantes :

$$\phi_{t} \leq \min\left(\frac{h}{35}; \phi_{L}; \frac{b_{0}}{10}\right)$$

Avec:

h : Hauteur totale de la poutrelle.

 ϕ_L : Diamètre maximal des armatures longitudinales.

b₀: Largeur de l'âme de la nervure.

 $\phi_t \le \min(0.60; 1.4; 1.2)$

On prend $\phi_t = 8 mm$

 $\underline{\text{Choix}}: 2\phi 8 \longrightarrow A_t = 1.01 \text{ cm}^2$

• Calcul de l'espacement des armatures transversales :

D'après le B.A.E.L 91 [2]:
$$\frac{A_{t}}{b_{0} \cdot \delta_{t_{1}}} \geq \frac{\tau_{u} - 0.3 f_{t28}}{0.9 \frac{f_{e}}{\gamma_{s}} (\sin \alpha + \cos \alpha)}$$

$$f_{t28} = 0.6 + 0.06 f_{c28} = 2.1 MPa.$$

$$\alpha = 90^{\circ}$$
Donc:
$$\delta_{t1} \leq \frac{A_{t} \cdot 0.9 fe}{b_{0} \cdot \gamma_{s} (\tau_{u} - 0.3 f_{t28})} \Rightarrow \delta_{t1} \leq 51.634 cm$$

$$\delta_{t2} \leq \min (0.9d : 40 cm)$$

$$\delta_{t2} \leq \min (17.1 : 40 cm) \Rightarrow \delta_{t2} \leq 17.1 cm$$

$$\delta_{t3} \leq \frac{At \cdot fe}{b_{0} \cdot \sin \alpha \cdot 0.4}$$

$$\delta_{t3} \leq \frac{At \cdot fe}{b_{0} \cdot \sin \alpha \cdot 0.4}$$

$$\delta_{t3} \leq \frac{0.57 \cdot 215}{12 \times 0.4} \Rightarrow \delta_{t3} \leq 25.53 cm$$

$$\delta_{t} \leq \min (\delta_{t1}, \delta_{t2}, \delta_{t3}) \Rightarrow \delta_{t} \leq \min ((51.634); (17.1), (25.531))$$
On prend:
$$\delta_{t} = 15 cm$$

• Calcul de la flèche:

• Dispositions générales : Les déformations des différents éléments de plancher doivent rester suffisamment faibles pour ne pas nuire à l'aspect et à l'utilisation de la construction, pour ne pas occasionner de désordres dans les éléments porteurs, et pour que les revêtements, les cloisons ou autres ouvrages supportés, s'il en existe, ne soient pas endommagés d'une façon inadmissible par suite de déformation excessives de leurs supports. Les déformations ne doivent également pas conduire par leurs effets à une redistribution des efforts susceptible de remettre en cause certaines des hypothèses des calculs. S'il y a lieu de se prémunir contre l'un des risques précédents, on doit justifier de l'état limite de déformation par un calcul de flèche. Toute fois, il n'est pas indispensable de procéder à ce calcul pour des poutres de constructions courantes associées à un hourdis.

D'après (C.B.A93) pour faire la vérification de la flèche il faut que les conditions suivantes soient satisfaites :

$$1/\frac{h}{l} \geq \frac{M_t^{ser}}{10 \times M_0^{ser}}$$

Avec

 M_t^{ser} : Moment service maximale en travée.

 M_0^{ser} : Moment dans la travée isostatique équivalente.

2/
$$\rho = \frac{A}{b_0 \times d} \le \frac{4.2}{f_e}$$

Avec

 ρ : le pourcentage d'armature

 b_0 : La largeur de la nervure.

 f_e : La limite d'élasticité de l'acier.

A: La section d'armature.

$$3/\frac{h}{l} \ge \frac{1}{16}$$

Avec

h: la hauteur totale de la section droite

l : La portée de la travée entre nus d'appuis.

• Vérifications des conditions:

1/
$$\frac{h}{l} = \frac{19}{450} = 0.042 \ge \frac{M_t^{ser}}{10 \times M_a^{ser}} = \frac{9022.5}{10 \times 11726.1} = 0.076 \dots$$
 C.N.V

2/
$$\rho = \frac{A}{b_0 \times d} = \frac{3,39}{12 \times 19} = 0,014 \le \frac{4,2}{400} = 0,01$$
.....C.N.V

$$3/\frac{h}{l} = \frac{21}{450} = 0.046 \ge \frac{1}{16} = 0.0625 \dots$$
 C.N.V

• Flèche à calculer: Selon la méthode générale (B.A.E.L 91 modifié 99):

Calcul de σ_{bc} , σ_{s} : $I = 12462,458 \text{ m}^{4}$; y = 4,89 cm

$$\sigma_{bc} = \frac{M_t^{ser}}{I}.y = \frac{902250}{12462,458}.4,89 = 3,54 \text{ MPa}$$

$$\sigma_{\rm s} = 15. \frac{M_t^{ser}}{I}.(d-y) = 15. \frac{9022.5}{12462.458}.(19-4.89) = 153.23 \text{ MPa}$$

$$E_i = 11000 . \sqrt[3]{(f_{c28})} = 32164,20 \text{ MPa}$$

$$\varepsilon_{\rm bc} = \frac{\sigma_{bc}}{E_i} = 1,1 \times 10^{-4}$$

$$\varepsilon_{\rm s} = \frac{\sigma_{\rm s}}{15.E_i} = 3,17 \times 10^{-4}$$

$$\rho_f = \frac{A_s}{h_0 c_0}$$
; $c_0 = \max(0.3d, 2d'') = 5.7cm$

$$\rho_f = \frac{3,39}{12.5,7} = 0,049$$

$$\frac{f_{ij}}{\sigma_s} = \frac{2,1}{153,23} = 0,013$$

On a
$$\rho_f > \frac{f_{ij}}{\sigma_s}$$
 $\Delta \epsilon_s = \frac{f_{ij}}{2.Es.\rho_f} = \frac{2,1}{2.200000.0,049} = 1,07.10^{-4}.$

$$\varepsilon_{s}^{*} = \varepsilon_{s} - \Delta \varepsilon_{s} = 3,17 \times 10^{-4} - 1,07 \times 10^{-4} = 2,1 \times 10^{-4}$$

$$\frac{1}{r} = \frac{\varepsilon \, s^{*} + \varepsilon \, bc}{d} = \frac{(2,1+1,1)}{19} \cdot 10^{-4} = 1,68 \cdot 10^{-5} \, \text{cm}^{-1}$$

$$f_{2} = (\frac{3}{r} + \frac{14}{r} + \frac{12}{r} + \frac{6}{r} + \frac{1}{r}) \cdot L^{2} / 384 = 0,39 \, cm$$

$$L = 500 \, cm$$

$$f_{3} = (\frac{2}{r} + \frac{12}{r} + \frac{20}{r} + \frac{12}{r} + \frac{2}{r}) \cdot L^{2} / 384 = 0,53 \, cm$$

$$f_{3} = (\frac{1}{r} + \frac{6}{r} + \frac{12}{r} + \frac{14}{r} + \frac{3}{r}) \cdot L^{2} / 384 = 0,39 \, cm$$

$$f_{calcul\'{e}} = max \, (f_{2}, f_{3}, f_{4}) = max \, (0,39cm, 0,53cm, 0,39cm) = 0,53 \, cm$$

$$f_{adm} = L / 500 = 500 / 500 = 1 \, cm \qquad f_{adm} \ge f_{calcul\'{e}} \longrightarrow c.v$$

d.2) Ferraillage Plancher étage courant :

	E.L.U	E.L.S
Mt max	11278,127	8145
Ma max	14012,9	10120
T max	15608,344	-

• En travée :

> E.L.U:
$$M_{tmax} = 11278,127 \text{ N.m}$$

 $M_{tab}\,$: Le moment fléchissant équilibré par la table de compression.

Si $M_{tab} < M^{max}$: La zone comprimée se trouve dans la nervure et la section des calculs sera une section en "Té".

Si $M_{tab} > M^{max}$: La zone comprimée se trouve dans la table de compression et la section en "Té" sera calculée comme une section rectangulaire de dimension $(b \times h)$.

• Vérification de l'étendue de la zone comprimée :

$$\begin{split} M_{tab} &= \sigma_{bc} \cdot b \cdot h_0 \left(d - \frac{h_0}{2} \right) \\ \sigma_{bc} &= 14,20 \; MPa. \quad ; \quad b = 60 \, cm \quad ; \quad h_0 = 5 \, cm \quad ; \quad d = 19 \, cm \\ M_{tab} &= 14,20 \times 60 \times 5 \times \left(19 - \frac{5}{2} \right) = 70290 \; N.m \\ M_{tab} &= 70290 \; N.m > M_t^{\text{max}} = 11278,127 \; N.m. \end{split}$$

Donc, la zone de compression se trouve dans la table de compression et la section de calcul sera une section rectangulaire de dimension : $(b \times h) = (60 \times 21) cm^2$

• Vérification de l'existence des armatures comprimées (A') :

$$\mu = \frac{M_t^{\text{max}}}{b \cdot d^2 \cdot \sigma_{bc}} = \frac{11278,127}{60 \times (19)^2 \times 14,20} = 0,037 \le \mu_{AB} = 0,186$$

Donc (A') n'existe pas.

$$\alpha = 1,25 \left(1 - \sqrt{1 - 2\mu}\right) = 0,047$$

$$\beta = 1 - 0,40 \alpha = 0,981$$

$$\sigma_{s} = \frac{f_{e}}{\gamma_{s}} = 348 \text{ MPa.}$$

$$A = \frac{M_{t}^{\text{max}}}{\beta \cdot d \cdot \sigma_{s}} = \frac{11278,127}{0,981 \times 19 \times 348} = 1,738 \text{ cm}^{2}$$

• Condition de non fragilité :

$$A_{\min} = 0.23 \times b \times d \times \frac{f_{t28}}{f_e} = 0.23 \times 60 \times 19 \times \frac{2.1}{400} = 1.38 \text{ cm}^2$$

$$A_{adoptif} = \max(A_{cal}; A_{\min}) = 1.738 \text{ cm}^2$$

$$Choix : 3T12 \longrightarrow A = 3.39 \text{ cm}^2$$

> E.L.S :

La fissuration est considérée comme peut nuisible, donc il n'y a aucune vérification à effectuer concernant σ_s .

$$\begin{cases} \text{section rectangulaire} \\ \text{flexion simple} & \Rightarrow \quad \alpha \leq \frac{\gamma - 1}{2} + \frac{f_{c28}}{100} \\ \text{Acier Fe E400} \end{cases}$$

Si cette inégalité est vérifiée, donc la vérification de $\,\sigma_{_b}\,$ n'est pas nécessaire :

Avec:
$$\gamma = \frac{M_u}{M_{ser}}$$
.
 $\gamma = \frac{11278,127}{8145,000} = 1,385$
 $\alpha = 0,028 < \frac{1,385 - 1}{2} + \frac{25}{100}$
 $\alpha = 0,0475 < 0,442 \rightarrow c.v$

• En appui:

> E.L.U:

La section sera calculée comme une section rectangulaire de dimension :

$$(b_0 \times h) = (12 \times 21) \text{ cm}^2.$$

• Vérification de l'existence des armatures comprimées (A'):

$$\mu = \frac{M_a^{\text{max}}}{b_0 \cdot d^2 \cdot \sigma_{bc}} = \frac{14012.9}{12 \times (19)^2 \times 14.20} = 0,228 > \mu_{AB} = 0,186$$

$$\xi_{s\ell} = \frac{f_e}{\gamma_s \cdot E_s} = \frac{400}{1,15 \cdot 2 \cdot 10^5} = 0,0017 \qquad E_s = 2,10^5 \text{ MPa}$$

$$\alpha_\ell = \frac{3,5}{35 + 1000\xi_{s\ell}} = 0,67$$

$$\mu_\ell = 0,8 \alpha_\ell (1 - 0,4\alpha_\ell) = 0,392$$

$$\mu = 0,204 \le \mu_\ell = 0,392 \quad donc \quad (A') \quad n'existe \ pas$$

$$\alpha = 0,328 \quad , \quad \beta = 0,869$$

$$A = \frac{14012.9}{0.869 \cdot 19 \cdot 348} = 2,439 \ cm^2$$

• Condition de non fragilité

$$A_{\min} = 0.23 \times b \times d \times \frac{f_{t28}}{f_e} = 0.23 \cdot 12 \cdot 19 \cdot \frac{2.1}{400} = 0.28 \text{ cm}^2$$

$$A_{adoptif} = \max (A_{\min}, A_{cal}) = 2.43 \text{ cm}^2$$

$$\underline{\text{Choix}} : 1T14 + 1T12 \longrightarrow A = 2.67 \text{ cm}^2$$

> E.L.S:

La fissuration est considérée comme peut nuisible, donc il n'y a aucune vérification à effectuer concernant σ_s .

$$\begin{cases} \text{section rectangulaire} \\ \text{flexion simple} \\ \text{Acier Fe E400} \end{cases} \Rightarrow \alpha \leq \frac{\gamma - 1}{2} + \frac{f_{c28}}{100}$$

Si cette inégalité est vérifiée, donc la vérification de σ_b n'est pas nécessaire :

Avec:
$$\gamma = \frac{M_u}{M_{ser}}$$
.
 $\gamma = \frac{14012.9}{10120} = 1,385$
 $\alpha = 0.328 < 0.442 \rightarrow c.v$

Donc les armatures calculées à l'E.L.U conviennent à l'E.L.S

• Vérification vis-à-vis l'effort tranchant :

Pour des armatures transversales perpendiculaires à la ligne moyenne. D'après le B.A.E.L 99, la condition suivante doit être vérifiée :

$$\tau_{u} \leq \overline{\tau}_{ad} = min\left(0.2 \frac{f_{c28}}{\delta_{b}}; 5 MPa\right)$$

$$\overline{\tau}_{ad} = min\left(3.33; 5 MPa\right) = 3.33 MPa$$

$$\tau_{u} = \frac{T_{\text{max}}}{b_{0} \cdot d} = \frac{15608,344}{120 \times 190} = 0.685 MPa$$

$$\tau_{u} = 0.685 MPa \leq \overline{\tau}_{ad} = 3.33 MPa \rightarrow c.v$$

• Diamètre des armatures transversales.

Le diamètre ϕ_t des armatures d'âme doit être inférieur ou égal à la plus petite des trois quantités suivantes :

$$\phi_{t} \leq \min\left(\frac{h}{35}; \phi_{L}; \frac{b_{0}}{10}\right)$$

Avec:

h: Hauteur totale de la poutrelle.

 ϕ_L : Diamètre maximal des armatures longitudinales.

b₀: Largeur de l'âme de la nervure.

$$\phi_t \le \min(0.60; 1.4; 1.2)$$

On prend
$$\phi_t = 8 mm$$

$$\underline{\text{Choix}}: 2\phi 8 \longrightarrow A_t = 1.01 \text{ cm}^2$$

• Calcul de l'espacement des armatures transversales :

$$\frac{A_{t}}{b_{0} \cdot \delta_{t_{1}}} \geq \frac{\tau_{u} - 0.3 \ f_{t28}}{0.9 \frac{f_{e}}{\gamma_{c}} \left(\sin \alpha + \cos \alpha\right)}$$

$$f_{t28} = 0.6 + 0.06 f_{c28} = 2.1 MPa$$
.

$$\alpha = 90^{\circ}$$

Donc:
$$\delta_{t1} \le \frac{A_t \cdot 0.9 fe}{b_0 \cdot \gamma_s (\tau_u - 0.3 f_{t28})} \implies \delta_{t1} \le 146,44 cm$$

$$\delta_{t2} \le \min \left(0.9d ; 40 \ cm \right)$$

$$\delta_{t2} \leq \min(17,1;40 \ cm) \implies \delta_{t2} \leq 17,1 \ cm$$

$$\delta_{t3} \le \frac{At \cdot fe}{b_0 \cdot \sin \alpha \cdot 0.4}$$

$$\delta_{t3} \leq \frac{0.57 \cdot 215}{12 \times 0.4} \quad \Rightarrow \quad \delta_{t3} \leq 25.53 \ cm$$

$$\delta_t \le \min(\delta_{t1}, \delta_{t2}, \delta_{t3}) \quad \Rightarrow \quad \delta_t \le \min((146,44), (17,1), (25,53))$$

On prend: $\delta_t = 15 \, cm$

- Calcul de la flèche:
- Dispositions générales : Les déformations des différents éléments de plancher doivent rester suffisamment faibles pour ne pas nuire à l'aspect et à l'utilisation de la construction, pour ne pas occasionner de désordres dans les éléments porteurs, et pour que les revêtements, les cloisons ou autres ouvrages supportés, s'il en existe, ne soient pas endommagés d'une façon inadmissible par suite de déformation excessives de leurs supports. Les déformations ne doivent également pas conduire par leurs effets à une redistribution des efforts susceptible de remettre en cause certaines des hypothèses des calculs. S'il y a lieu de se prémunir contre l'un des risques précédents, on doit justifier de l'état limite de déformation par un calcul de flèche.

Toute fois, il n'est pas indispensable de procéder à ce calcul pour des poutres de constructions courantes associées à un hourdis.

D'après (C.B.A93) pour faire la vérification de la flèche il faut que les conditions suivantes soient satisfaites :

$$1/\frac{h}{l} \geq \frac{M_t^{ser}}{10 \times M_0^{ser}}$$

Avec

 M_{t}^{ser} : Moment service maximale en travée.

 M_0^{ser} : Moment dans la travée isostatique équivalente.

2/
$$\rho = \frac{A}{b_0 \times d} \le \frac{4,2}{f_e}$$

Avec

 ρ : le pourcentage d'armature

 b_0 : La largeur de la nervure.

 f_e : La limite d'élasticité de l'acier.

A: La section d'armature.

$$3/\frac{h}{l} \ge \frac{1}{16}$$

Avec

h: la hauteur totale de la section droite

l : La portée de la travée entre nus d'appuis.

• Vérifications des conditions:

1/
$$\frac{h}{l} = \frac{21}{450} = 0.046 \ge \frac{M_t^{ser}}{10 \times M_0^{ser}} = \frac{8145,000}{10 \times 12168,75} = 0.067 \dots$$
 C.N.V

2/
$$\rho = \frac{A}{b_0 \times d} = \frac{3,39}{12 \times 19} = 0,014 \le \frac{4,2}{400} = 0,01 \dots$$
 C.N.V

$$3/\frac{h}{l} = \frac{21}{450} = 0.046 \ge \frac{1}{16} = 0.0625 \dots$$
 C.N.V.

Ces trois conditions ne sont pas vérifiées, donc le calcul de la flèche est nécessaire.

• Flèche à calculer: Selon la méthode générale (B.A.E.L 91 modifié 99):

Calcul de
$$\sigma_{bc}$$
, σ_{s} : $I = 12462,458 \text{ m}^4$; $y = 4,89 \text{ cm}$

$$\sigma_{bc} = \frac{M_t^{ser}}{I}.y = \frac{814500}{12462,458}.4,89 = 3,19 \text{ MPa}$$

$$\sigma_{\rm s} = 15. \frac{M_t^{ser}}{I}.(d-y) = 15. \frac{814500}{12462,458}.(19-4,89) = 138,32 \text{ MPa}$$

$$E_i = 11000 . \sqrt[3]{(f_{c28})} = 32164,20 \text{ MPa}$$

$$\varepsilon_{\rm bc} = \frac{\sigma_{bc}}{E_i} = 0.99 \times 10^{-4}$$

$$\varepsilon_{\rm s} = \frac{\sigma_{\rm s}}{15.E_i} = 2,86 \times 10^{-4}$$

$$\rho_f = \frac{A_s}{b_0.c_0}$$
; $c_0 = \max(0.3d, 2d'') = 5.7cm$

$$\rho_f = \frac{3,39}{12.5.7} = 0,049$$

$$\frac{f_{tj}}{\sigma_s} = \frac{2,1}{138,32} = 0,015$$

On a
$$\rho_f > \frac{f_{ij}}{\sigma_s}$$
 $\Delta \epsilon_s = \frac{f_{ij}}{2.Es.\rho_f} = \frac{2.1}{2.200000.0,049} = 1,07.10^{-4}.$

$$\epsilon_{s}^{*} = \epsilon_{s} - \Delta \epsilon_{s} = 2,86 \times 10^{-4} - 1,07 \times 10^{-4} = 1,79 \times 10^{-4}$$

$$\frac{1}{r} = \frac{\varepsilon_s * + \varepsilon bc}{d} = \frac{(1.79 + 0.99)}{19} .10^{-4} = 1,46.10^{-5} \text{ cm}^{-1}$$

$$f_2 = (\frac{3}{r} + \frac{14}{r} + \frac{12}{r} + \frac{6}{r} + \frac{1}{r}) \cdot L^2 / 384 = 0, 34 \text{ cm}$$
 $L = 500 \text{ cm}$

$$f_3 = (\frac{2}{r} + \frac{12}{r} + \frac{20}{r} + \frac{12}{r} + \frac{2}{r}). L^2/384 = 0, 46 cm$$

$$f_3 = (\frac{1}{r} + \frac{6}{r} + \frac{12}{r} + \frac{14}{r} + \frac{3}{r}) \cdot L^2 / 384 = 0, 34 \text{ cm}$$

$$f_{calcul\acute{e}} = max\left(f_{2}, f_{3}, f_{4}\right) = max\left(0.34cm, 0.46cm, 0.34cm\right) = 0.46 cm$$

$$f_{adm} = L/500 = 500/500 = 1 \text{ cm}$$
 $f_{adm} \ge f_{calcul\acute{e}} \longrightarrow c.v$

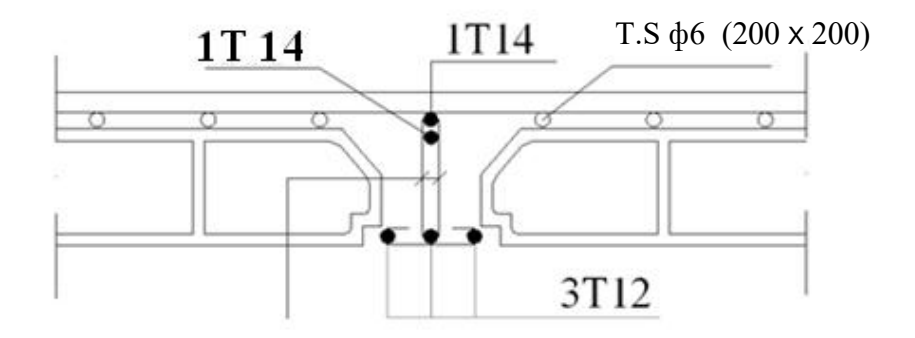


Figure (3.8): ferraillage du plancher terrasse.

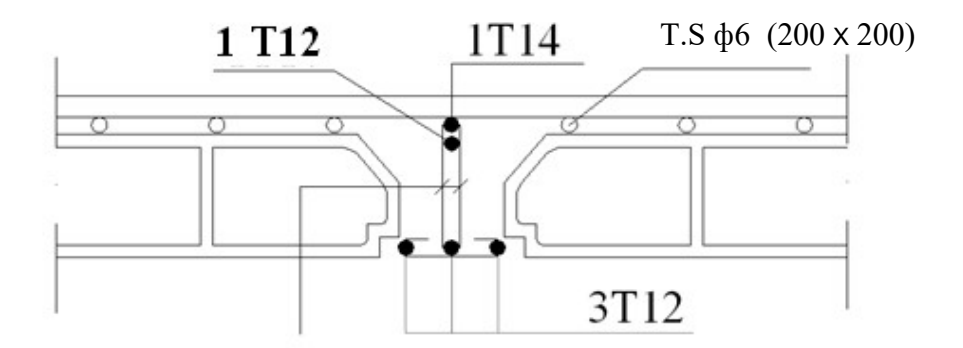


Figure (3.9): ferraillage du plancher étage courant.

3.2.2) Plancher à dalle pleine :

Les dalles pleines sont des éléments rectangulaires de dimensions L_x et L_y tel que $L_x < L_y$

$$\phi \le \frac{h_d}{10} = 15 \text{ mm}$$
 On prend $\phi = 12 \text{ mm}$;

Avec : h_d : l'épaisseur de la dalle h_d=15cm

La dalle pleine sera utilisée pour plancher sous-sol et pour la toiture

3.2.2.1) Dalle pleine pour sous-sol:

D'après la descente de charges effectuée au chapitre précédent on à :

$$Plancher \ sous - sol: \quad \begin{cases} G = 584 \ kg/m^2 \\ P = 500 \ kg/m^2 \end{cases}$$

a) Évaluation des charges :

Le calcule se fait pour une bande de 1 m

ELU:
$$q_u = 1,35 \text{ G} + 1,5 \text{ P} = 1,35.5840 + 1,5 5000 = 15384 \text{ N/ml}$$

$$ightharpoonup$$
 ELS: $q_{ser} = G + P = 6150 + 5000 = 10840 \text{ N/ml}$

b) Détermination des sollicitations:

> **ELU**:
$$M_{ux} = \mu_{ux} \cdot q_u \cdot l_x^2$$

$$M_{uy} = \mu_{uy}$$
 . M_{ux}

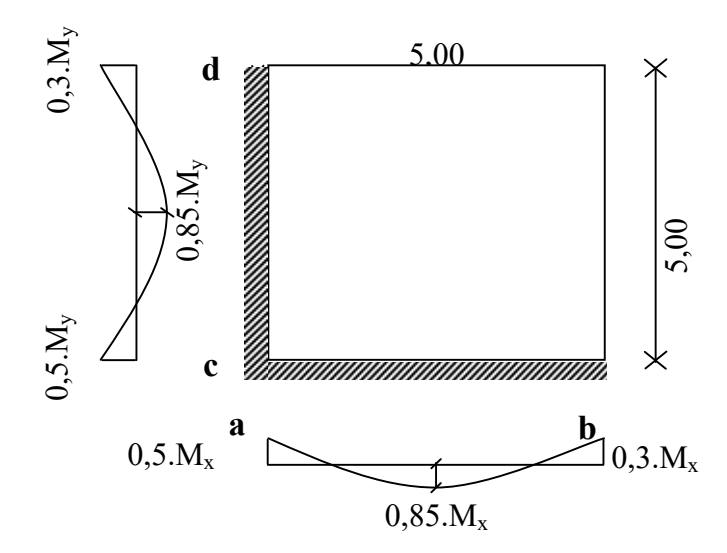
 μ_x et μ_y sont fonction de ρ et ν (coefficient de Poisson)

> **ELS**:
$$M_{Sx} = \mu_{Sx} \cdot q_S \cdot l_x^2$$

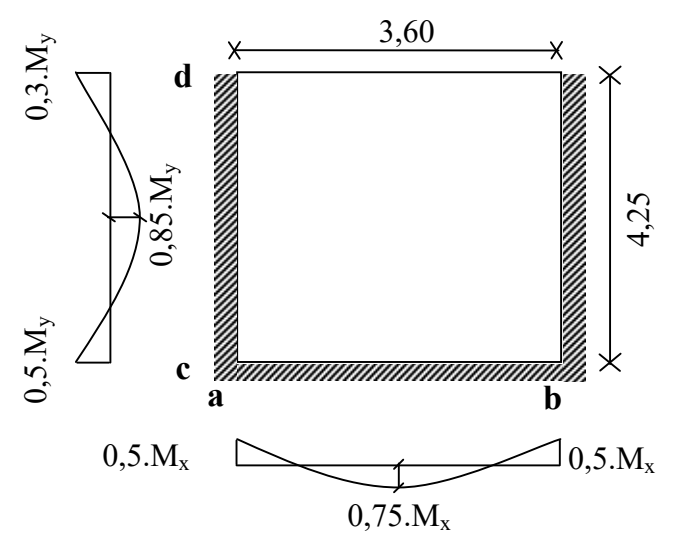
$$M_{Sv} = \mu_{Sv}$$
. M_{Sx}

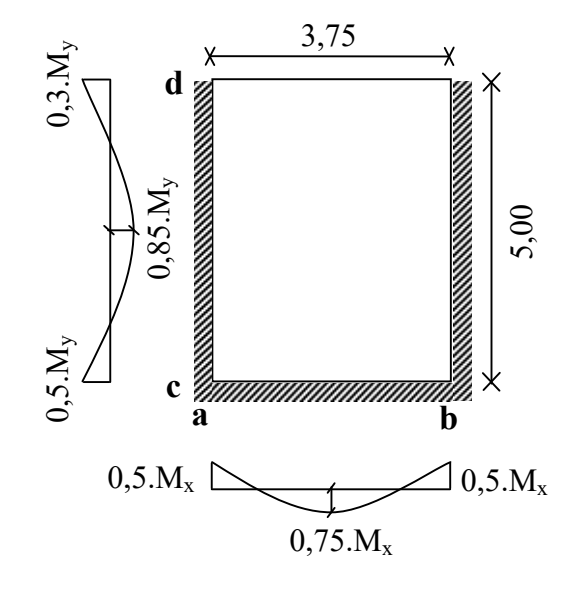
• Les différents types des panneaux sont :

Type I: panneaux d'angle

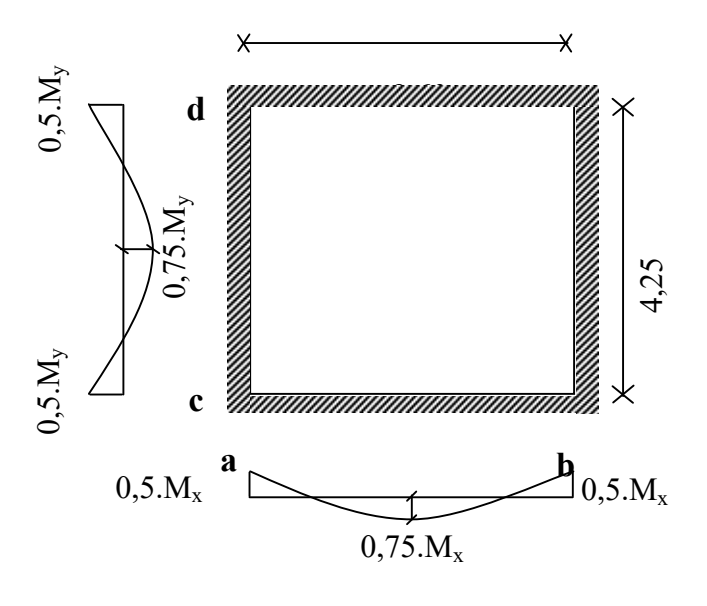


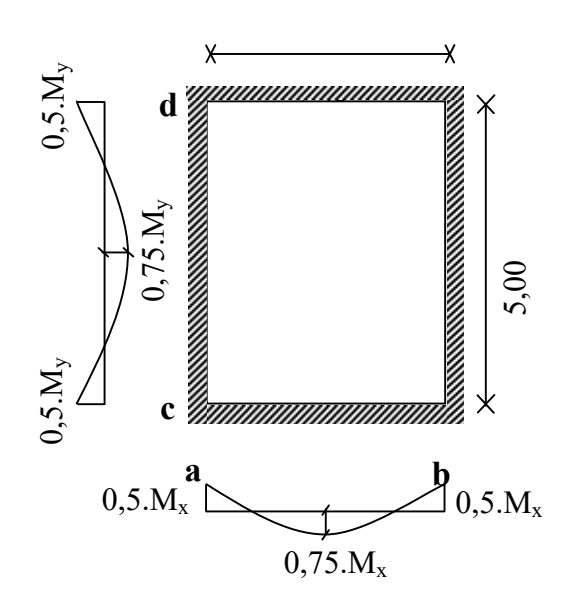
Type II: panneaux de rive





Type III : panneaux intermédiaire





Туре	Lx	Ly	P=Lx/Ly		LU	EI	LS	El	LU	E	LS
				μx	μу	μx	μу	Mx	My	Mx	My
1	5	5	1	0,0368	1	0,0441	1	14153,3	14153,3	11951,1	11951,1
	5	5	1	0,0368	1	0,0441	1	14153,3	14153,3	11951,1	11951,1
2	3,75	5	0,75	0,0622	0,509	0,0685	0,644	13456,2	6849,2	10441,97	6724,63
	5	5	1	0,0368	1	0,0441	1	14153,3	14153,3	11951,1	11951,1
3	3,75	5	0,75	0,0622	0,509	0,0685	0,644	13456,2	6849,2	10441,97	6724,63

Tableau (3.4): Tableau récapitulatif des moments fléchissant suivant x et y.

		N 4()	M	1 ()		Ma	a(x)			M	a(y)	
Type	IV	It(x)	IVI	Mt(y)		Mb	Ma	Mb	Mc	Md	Mc	Md
	ELU	ELS	ELU	ELS	El	ELU ELS		ELU		ELS		
1	12030,3	10158,435	12030,3	10158,4	7076,64	4245,98	5975,6	3585,33	7076,64	4245,984	5975,55	3585,33
	10615	8963,325	12030,3	10158,4	7076,64	7076,64	5975,6	5975,55	7076,64	4245,984	5975,55	3585,33
2	10092,1	7831,47656	5821,82	5715,93	6728,1	6728,1	5221	5220,984	3424,6	3424,601	3362,31	3362,31
2	10615	8963,325	10615	8963,33	7076,64	7076,64	5975,6	5975,55	7076,64	7076,64	5975,55	5975,55
3	10092,1	7831,47656	5136,9	5043,47	6728,1	6728,1	5221	5220,984	3424,6	3424,601	3362,31	3362,31

Tableau (3.5): Tableau récapitulatif des moments en travée et sur appuis.

100

	Panneau d'angle			Panneau de rive			Panneau intermediat					
	Mt		Ma		N	1t	Ma]	Mt	Ma	
	ELU	ELS	ELU	ELS	ELU	ELS	ELU	ELS	ELU	ELS	ELU	ELS
sens x-x	12030,29	10158	7076,64	5975,55	10615	8963,33	7076,6	5975,55	10615	8963,325	7076,64	5975,55
sens y-y	12030,29	10158	7076,64	5975,55	12030,3	10158,4	7076,6	5975,55	5136,9	5043,471	3424,6	3362,314

	N	I t	Ma	
	ELU	ELS	ELU	ELS
sens x-x	12030,3	10158,4	7076,6	5975,55
sens y-y	12030,3	10158,4	7076,6	5975,55

Tableau (3.6): Tableau récapitulatif des moments maximaux

c) Calcul de ferraillage :

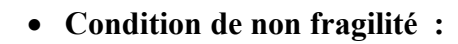
❖ Sens x-x

► E.L.U:

• En travée:
$$M_t = 12030,3$$
 N.m

$$\mu = \frac{M_t}{b.d_x^2.\sigma_{bc}} = \frac{12030,3}{100.13,5^2.14,2} = 0,046 < \mu_{AB} = 0,186 \Rightarrow A' = 0$$

$$\alpha = 0.06$$
 ; $\beta = 0.976$
 $\Rightarrow A_s = \frac{12030.3}{348.0.976.13.5} \Rightarrow A = 2.623 \text{ cm}^2 / \text{ml}$



 $A = 1,527 \text{ cm}^2/\text{ml}$

$$A_{min} = 0,23. \text{ b. d.} \frac{f_{c28}}{fe}$$
 $A_{min} = 0,23. 100. 13,5. \frac{2,1}{400} \implies A_{min} = 1,63 \text{ cm}^2/\text{ml}$
 $A = \max(A_{cal}; A_{min}) = 2,623 \text{cm}^2/\text{ml}$
 $Choix : 4T12/ml \implies A = 4,52 \text{ cm}^2/ml \text{ (esp = 25 cm)}.$

• En appuis:
$$M_a = 7076,6$$
 N.m

$$\mu = \frac{M_a}{b.d_x^2.\sigma_{bc}} = \frac{7076,6}{100.13,5^2.14,2} = 0,027 < \mu_{AB} = 0,186 \Rightarrow A' = 0$$

$$\alpha = 0,035 \text{ et } \beta = 0,986$$

• Condition de non fragilité :

$$A_{min} = 0.23. 100. 13.5. \frac{2.1}{400} \implies A_{min} = 1.63 \text{ cm}^2/\text{ml}$$

$$A = max (A_{cal}; A_{min}) = 1,63 \text{ cm}^2/\text{ml}$$

$$\underline{\text{Choix}}: 4\text{T}12 \rightarrow \text{A} = 4,52 \text{ cm}^2/\text{ml} \qquad (\text{esp} = 25\text{cm})$$

> E.L.S:

La fissuration est peu nuisible

Flexion simple

$$\Rightarrow \alpha \leq \frac{\gamma - 1}{2} + \frac{f_{c28}}{100} \Rightarrow \sigma_b < \overline{\sigma}_b = 0.6 f_{c28}$$

Section rectangulaire

FeE400

• En travée

$$\gamma = \frac{M_u}{M_s} = 1,184$$

$$\frac{\gamma - 1}{2} + \frac{f_{c28}}{100} = 0,342$$

$$\alpha = 0.06 < 0.342 \rightarrow \text{Condition vérifiée}$$

• En appuis:

$$\alpha = 0.035 < \frac{1.184 - 1}{2} + \frac{25}{100} = 0.342 \rightarrow \text{Condition vérifiée}$$

Donc les armatures calculées à L'E.L.U conviennent à l'E.L.S

\Leftrightarrow Sens y - y:

> E.L.U:

• En travée :
$$M_t = 12030,3$$
 N.m

• En travée:
$$M_t = 12030,3$$
 N.m

$$\mu = \frac{M_t}{b.d_x^2.\sigma_{bc}} = \frac{12030,3}{100.13,5^2.14,2} = 0,046 < \mu_{AB} = 0,186 \Rightarrow A' = 0$$

$$\alpha = 0.06$$
 ; $\beta = 0.976$

$$\Rightarrow A_s = \frac{12030,3}{348,0.976,13.5} \Rightarrow A = 2,623 \text{ cm}^2 / \text{ml}$$

• Condition de non fragilité :

$$A_{min} = 0,23. \text{ b. d.} \frac{f_{c28}}{fe}$$

$$A_{min} = 0,23.\ 100.\ 13,5. \frac{2,1}{400} \implies A_{min} = 1,63\ cm^2/ml$$

$$A = max (A_{cal}; A_{min}) = 2,623 cm^2/ml$$

Choix :
$$4T12/ml \Rightarrow A = 4,52 \text{ cm}^2/ml \text{ (esp} = 25 \text{ cm)}.$$

• En appuis : $M_a = 7076,6$ N.m

$$\mu = \frac{M_a}{b.d_x^2.\sigma_{bc}} = \frac{7076.6}{100.13.5^2.14.2} = 0.027 < \mu_{AB} = 0.186 \Rightarrow A' = 0$$

$$\alpha = 0.035$$
 et $\beta = 0.986$

$$A = 1,527 \text{ cm}^2/\text{ml}$$

• Condition de non fragilité :

$$A_{min} = 0.23. 100. 13.5. \frac{2.1}{400} \implies A_{min} = 1.63 \text{ cm}^2/\text{ml}$$

$$A = max (A_{cal}; A_{min}) = 1,63 \text{ cm}^2/\text{ml}$$

$$\underline{\text{Choix}}: 4\text{T}12 \rightarrow \text{A} = 4,52 \text{ cm}^2/\text{ml} \qquad (\text{esp} = 25\text{cm})$$

> E.L.S:

La fissuration est peu nuisible

Flexion simple

Section rectangulaire

$$\Rightarrow \alpha \leq \frac{\gamma - 1}{2} + \frac{f_{c28}}{100} \Rightarrow \sigma_b < \overline{\sigma}_b = 0.6 f_{c28}$$

FeE400

• En travée

$$\gamma = \frac{M_u}{M_s} = 1,184$$

$$\frac{\gamma - 1}{2} + \frac{f_{c28}}{100} = 0.342$$

$$\alpha = 0.06 < 0.342 \rightarrow \text{Condition vérifiée}$$

• En appuis :

$$\alpha = 0.035 < \frac{1.184 - 1}{2} + \frac{25}{100} = 0.342 \rightarrow \text{Condition vérifiée}$$

Donc les armatures calculées à L'E.L.U conviennent à l'E.L.S

- Vérification de la contrainte de cisaillement :
- ❖ Sens x-x:

$$T_{u} = \frac{q_{u}.L}{2} = \frac{15384.5}{2} = 38460 N$$

$$\tau_{u} = \frac{T_{u}^{\text{max}}}{100.b.d} = \frac{38460}{100.100.13,5} = 0,285 MPa$$

$$\tau_{l} = \min\left(\frac{0,2f_{c28}}{\gamma_{b}}, 5 MPa\right) = 3,33 MPa$$

$$\begin{array}{l} \tau_u = 0.285 MPa < \tau_l = 3.33 \, MPa \\ \text{Pas de reprisede bétonnage} \end{array} \Rightarrow \text{Les armatures transversales ne sont pas nécessaires}$$

❖ Sens y-y :

$$T_u = 38460N$$

$$\tau_u = 0.285MPa < \tau_l = 3.33MPa$$
Pas de reprise de bétonnage \Rightarrow Les armatures transversales ne sont pas nécessaires

d) Vérification de la flèche:

❖ Sens x-x:

Avant calculer la flèche, on doit vérifiée les conditions suivantes:

1°)
$$\frac{h_d}{L} \ge \frac{1}{16} \to \frac{15}{500} = 0,03 \ge 0,0625$$
 C.N.V
2°) $\frac{h_d}{L} \ge \frac{1}{10} \frac{M_{ser}^t}{M_{ser}^a} \to 0,03 \ge 0,17$ C.N.V
3°) $\frac{h_d}{h_d} \le \frac{4,2}{f} \to \frac{15}{100,13.5} = 0,011 \le 0,0105$ C.N.V

Ces trois conditions ne sont pas vérifiées, Donc le calcul de la flèche est nécessaire.

$$y = \frac{15 \times (A_S + A_S')}{b} \left[\sqrt{1 + \frac{b \times (d \times A_S + d' \times A_S')}{7.5 \times (A_S^2 + A_S'^2)}} - 1 \right]$$

Pour
$$A_S = 4,52cm^2$$
; $A'_S = 0$

$$y = \frac{15 \times 4,52}{100} \left[\sqrt{1 + \frac{100 \times 13,5}{7,5 \times 4,52}} - 1 \right] \implies y = 3,65 \text{ cm}$$

$$I = \frac{b \times y^{3}}{3} + 15 \times \left[A_{S} \times (d - y)^{2} + A_{S}'(y - d')^{2} \right]$$

$$I = \frac{100 \times (3,65)^3}{3} + 15 \times 4,52 \times (13,5 - 3,65)^2 \implies I = 8199,02 \text{ cm}^4$$

• Flèche à calculer : Solon la méthode général (B.A.E.L 91 modifier 99) :

Calcul de
$$\sigma_{bc}$$
, σ_{s} : $I = 8199,02cm^{4}$; $y = 3,65 cm$

$$k = \frac{Mt_{ser}}{I} = \frac{10158,4}{8199,02} = 1,23 \text{ N/mm}^3$$

$$\sigma_{bc} = k \times y = 1,23 \times 3,65 \implies \sigma_{bc} = 4,52 \text{ MPa}$$

$$\sigma_{\rm s} = 15. \frac{M_t^{\rm ser}}{I}.(d-y) = 15. \frac{10158,4}{8199,02}.(13,5-3,65) = 183 \text{ MPa.}$$

$$E_i = 11000 . \sqrt[3]{(f_{c28})} = 32164,20 \text{ MPa}$$

$$\mathcal{E}_{bc} = \frac{\sigma_{bc}}{E_i} = 1,41.10^{-4}$$

$$\mathcal{E}_{s} = \frac{\sigma_{s}}{15.E_{i}} = 3,79 \times 10^{-4}$$

$$\rho_{f} = \frac{A_{s}}{b_{0.C_{0}}} \; ; \; c_{0} = \max (0,3d,2d'') = 4,05 \text{cm}$$

$$\rho_{f} = \frac{4,52}{100.4,05} = 0,011$$

$$\frac{f_{ij}}{\sigma_{s}} = \frac{2,1}{183,06} = 11,45.10^{-3}$$
On a $\rho_{f} > \frac{f_{ij}}{\sigma_{s}} \longrightarrow \Delta \mathcal{E}_{s} = \frac{f_{ij}}{2.Es.\rho_{f}} = \frac{2,1}{2.200000.0,011} = 4,78.10^{-4}$

$$\mathcal{E}_{s}^{*} = \mathcal{E}_{s} - \Delta \mathcal{E}_{s} = 3,79 \times 10^{-4} - 4,78 \times 10^{-4} = -0,98 \times 10^{-4}$$

$$\frac{1}{r} = \frac{\mathcal{E}_{s}^{*} + \mathcal{E}_{bc}}{d} = \frac{(-0,98 + 1,41)}{13,5} \cdot 10^{-4} = 0,31.10^{-5} \text{ cm}^{-1}$$

$$f_{2} = (\frac{3}{r} + \frac{14}{r} + \frac{12}{r} + \frac{6}{r} + \frac{1}{r}).L^{2}/384 = 0,74 \text{ cm} \qquad L = 500 \text{ cm}$$

$$f_{3} = (\frac{2}{r} + \frac{12}{r} + \frac{20}{r} + \frac{12}{r} + \frac{2}{r}).L^{2}/384 = 0,99 \text{ cm}$$

$$f_{4} = (\frac{1}{r} + \frac{6}{r} + \frac{12}{r} + \frac{14}{r} + \frac{3}{r}).L^{2}/384 = 0,74 \text{ cm}$$

$$f_{calculé} = \max (f_{2}, f_{3}, f_{4}) = \max (0,74 \text{cm}, 0,99 \text{cm}, 0,74 \text{cm}) = 0,99 \text{ cm}$$

$$f_{adm} = L/500 = 500/500 = 1 \text{ cm} \qquad f_{adm} \geq f_{calculé} \longrightarrow cv.$$

❖ Sens v-v:

Avant calculer la flèche, on doit vérifiée les conditions suivantes:

1°)
$$\frac{h_d}{L} \ge \frac{1}{16} \to \frac{15}{500} = 0.03 \ge 0.0625$$
 C.N.V
2°) $\frac{h_d}{L} \ge \frac{1}{10} \frac{M_{ser}^t}{M_{ser}^a} \to 0.03 \ge 0.17$ C.N.V
3°) $\frac{h_d}{b.d} \le \frac{4.2}{f_s} \to \frac{15}{100.13.5} = 0.011 \le 0.0105$ C.N.V

Une des conditions n'est pas vérifiée, on passe donc au calcul de la flèche

• Flèche à calculer : Solon la méthode général (B.A.E.L 91 modifier 99) :

Le calcule de la flèche en sens Y si le même en sens X

3.2.2.2) <u>Dalle pleine pour terrasse (toiture)</u>:

D'après la descente de charges effectuée au chapitre précédent on à :

Plancher terrasse

$$G = 5310 \text{ N/ } \text{m}^2$$

$$P = 1000 \text{ N/ m}^2$$

a) Évaluation des charges :

Le calcule se fait pour une bande de 1m de largeur.

E.L.U:
$$q_u = 1,35 \cdot G + 1,5 \cdot P = 1,35 \cdot 5310 + 1,5 \cdot 1000 = 8668,5 N/m^2 \cdot 1 m = 8668,5 N/ml$$

E.L.S:
$$q_S = G + P = 5310 + 1000 = 6310 \text{ N/m}^2 \cdot 1 \text{ m} = 6310 \text{ N/ml}$$

b) Détermination des sollicitations:

> **E.L.**U:
$$M_{ux} = \mu_{ux} \cdot q_u \cdot l_x^2$$

 $M_{uy} = \mu_{uy} \cdot M_{ux}$

> **E.L.S**:
$$M_{Sx} = \mu_{Sx} . q_S . l_x^2$$

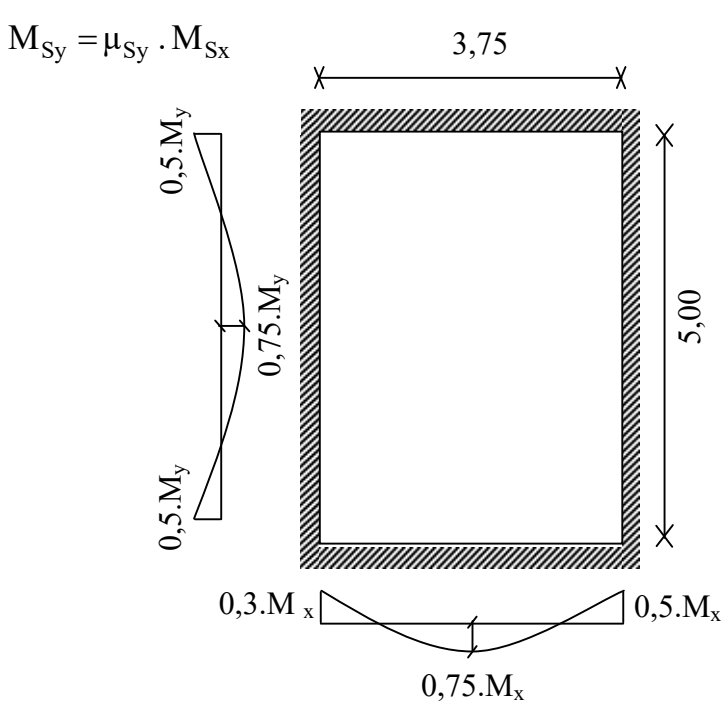


Figure (3.10) : Schéma statique des panneaux toiture

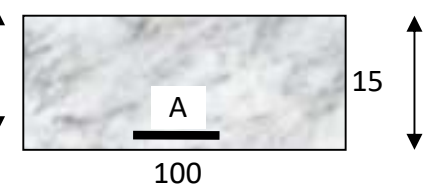
$$\begin{split} L_x &= 3,75m \\ L_y &= 5,00m \\ \varphi &= \frac{L_x}{L_y} = \frac{3,75}{5,00} = 0,75 > 0,4 \quad \left(\text{La dalle travaille dans les 2 sens} \right) \\ E.L.U \begin{cases} \mu_x &= 0,0621 \\ \mu_y &= 0,5105 \end{split}$$

$$E.L.S \begin{cases} \mu_x = 0.0684 \\ \mu_y = 0.6447 \end{cases}$$

$$E.L.U$$
 $M_{ux} = 7570,04$ $M_{ux} = 3864,50$ $M_{ux} = 3864,50$ $M_{ux} = 3912,96$ $M_{ux} = 3912,96$

c) Calcul de ferraillage:





• En travée:
$$M_t = 0.75.M_{ux} = 5677.53$$
 N.m

$$\mu = \frac{M_t}{b.d_x^2.\sigma_{bc}} = \frac{5677,53}{100.13,5^2.14,2} = 0,021 < \mu_{AB} = 0,186 \Rightarrow A' = 0$$

$$\alpha = 0.027$$
; $\beta = 0.988$

$$\Rightarrow A_s = \frac{5677,53}{348.0,988.13,5} \Rightarrow A = 1,22 \ cm^2 \ / \ ml$$

• Condition de non fragilité :

$$A_{min} = 0.23$$
. b. d. $\frac{f_{c28}}{fe}$

$$A_{min} = 0,23.\ 100.\ 13,5. \frac{2,1}{400} \implies A_{min} = 1,63 \ cm^2/ml$$

$$A = max (A_{cal}; A_{min}) = 1,63 cm^2/ml$$

Choix:
$$4T10/ml \Rightarrow A = 3,14 \text{ cm}^2/ml$$

• En appuis :
$$M_a = 0.5.M_{ux} = 3785.02$$
 N.m

$$\mu = \frac{M_a}{b.d_x^2.\sigma_{bc}} = \frac{3785,02}{100.13,5^2.14,2} = 0,014 < \mu_{AB} = 0,186 \Rightarrow A' = 0$$

$$\alpha = 0.018$$
 et $\beta = 0.992$

$$A = 0.81 \text{ cm}^2/\text{ml}$$

• Condition de non fragilité :

$$A_{min} = 0.23. \ 100. \ 13.5. \frac{2.1}{400} \implies A_{min} = 1.63 \ \text{cm}^{2}/\text{ml}$$

$$A = max (A_{cal}; A_{min}) = 1,63 \text{ cm}^2/\text{ml}$$

Choix:
$$4T10 \rightarrow A = 3,14 \text{ cm}^2/\text{ml}$$

> E.L.S:

La fissuration est peu nuisible

Flexion simple

$$\Rightarrow \alpha \leq \frac{\gamma - 1}{2} + \frac{f_{c28}}{100} \Rightarrow \sigma_b < \overline{\sigma}_b = 0.6 f_{c28}$$

Section rectangulaire

FeE400

• En travée

$$\gamma = \frac{M_u}{M_s} = 1,24$$

$$\frac{\gamma - 1}{2} + \frac{f_{c28}}{100} = 0.37$$

$$\alpha = 0.027 < 0.37 \rightarrow \text{Condition vérifiée}$$

• En appuis :

$$\alpha = 0.018 < \frac{1.24 - 1}{2} + \frac{25}{100} = 0.37 \rightarrow \text{Condition vérifiée}$$

Donc les armatures calculées à L'E.L.U conviennent à l'E.L.S

\Leftrightarrow Sens y - y:

► E.L.U:

• En travée:
$$M_t = 0.75.M_{ux} = 2898.38 \text{ N.m}$$

$$\mu = \frac{M_t}{b.d_x^2.\sigma_{bc}} = \frac{2898,38}{100.13,5^2.14,2} = 0,011 < \mu_{AB} = 0,186 \Rightarrow A' = 0$$

$$\alpha = 0.014$$
 ; $\beta = 0.994$

$$\Rightarrow A_s = \frac{2898,38}{348,0.988,13.5} \Rightarrow A = 0.62 \text{ cm}^2 / \text{ml}$$

• Condition de non fragilité :

$$A_{min} = 0,23. \text{ b. d.} \frac{f_{c28}}{fe}$$

$$A_{min} = 0.23. \ 100. \ 13.5. \frac{2.1}{400} \implies A_{min} = 1.63 \ \text{cm}^{2}/\text{ml}$$

$$A = max (A_{cal}; A_{min}) = 1,63 cm^2/ml$$

Choix:
$$4T10/ml \Rightarrow A = 3,14 \text{ cm}^2/ml$$

• En appuis :
$$M_a = 0.5.M_{ux} = 1932,25$$
 N.m

$$\mu = \frac{M_a}{b.d_x^2.\sigma_{bc}} = \frac{1932,25}{100.13,5^2.14,2} = 0,007 < \mu_{AB} = 0,186 \Rightarrow A' = 0$$

$$\alpha = 0,0093$$
 et $\beta = 0,996$

$$A = 0.41 \text{ cm}^2/\text{ml}$$

• Condition de non fragilité :

$$A_{min} = 0.23. 100. 13.5. \frac{2.1}{400} \implies A_{min} = 1.63 \text{ cm}^2/\text{ml}$$

$$A = max (A_{cal}; A_{min}) = 1,63 \text{ cm}^2/\text{ml}$$

Choix:
$$4T10 \rightarrow A = 3,14 \text{ cm}^2/\text{ml}$$

> E.L.S:

La fissuration est peu nuisible

Flexion simple

$$\Rightarrow \alpha \leq \frac{\gamma - 1}{2} + \frac{f_{c28}}{100} \Rightarrow \sigma_b < \overline{\sigma}_b = 0.6 f_{c28}$$

Section rectangulaire FeE400

• En travée

$$\gamma = \frac{M_u}{M_s} = 0.98$$

$$\frac{\gamma - 1}{2} + \frac{f_{c28}}{100} = 0.24$$

$$\alpha = 0.014 < 0.24 \rightarrow \text{Condition vérifiée}$$

• En appuis:

$$\alpha = 0.0093 < \frac{0.98 - 1}{2} + \frac{25}{100} = 0.24 \rightarrow \text{Condition v\'erifi\'ee}$$

Donc les armatures calculées à L'E.L.U conviennent à l'E.L.S

• Vérification de la contrainte de cisaillement :

❖ Sens x-x :

$$T_{u} = \frac{q_{u}.L}{2} = \frac{8668,5.3,75}{2} = 16253 N$$

$$\tau_{u} = \frac{T_{u}^{\text{max}}}{100.b.d} = \frac{16253}{100.100.13,5} = 0,12 MPa$$

$$\tau_{r} = \min\left(\frac{0,2f_{c28}}{\gamma_{b}},5 MPa\right) = 3,33 MPa$$

$$\tau_u = 0.12MPa < \tau_l = 3.33 MPa$$
 Pas de reprisede bétonnage
$$\Rightarrow \text{Les armatures transversales ne sont pas nécessaires}$$

❖ Sens y-y:

$$T_u = 21671,3N$$
 $\tau_u = 0,16MPa < \tau_l = 3,33MPa$
Pas de reprise de bétonnage

Table 2 Les armatures transversales ne sont pas nécessaires

d) Vérification de la flèche:

❖ Sens x-x :

Avant calculer la flèche, on doit vérifiée les conditions suivantes:

1°)
$$\frac{h_d}{L} \ge \frac{1}{16} \to \frac{15}{375} = 0.04 \ge 0.0625$$
 C.N.V
2°) $\frac{h_d}{L} \ge \frac{1}{10} \frac{M_{ser}^t}{M_{ser}^a} \to 0.04 \ge 0.18$ C.N.V
3°) $\frac{h_d}{h_d} \le \frac{4.2}{f} \to \frac{15}{100.13.5} = 0.011 \le 0.0105$ C.N.V

Ces trois conditions ne sont pas vérifiées, Donc le calcul de la flèche est nécessaire.

C.N.V

$$y = \frac{15 \times (A_S + A_S')}{b} \left[\sqrt{1 + \frac{b \times (d \times A_S + d' \times A_S')}{7.5 \times (A_S^2 + A_S'^2)}} - 1 \right]$$

Pour $A_S = 3.14cm^2$; $A'_S = 0$

$$y = \frac{15 \times 3,14}{100} \left[\sqrt{1 + \frac{100 \times 13,5}{7,5 \times 3,14}} - 1 \right] \implies y = 3,12 \text{ cm}$$

$$I = \frac{b \times y^{3}}{3} + 15 \times \left[A_{S} \times (d - y)^{2} + A'_{S} (y - d')^{2} \right]$$

$$I = \frac{100 \times (4,5)^3}{3} + 15 \times 3,14 \times (13,5-4,5)^2 \implies I = 6087,13 \text{ cm}^4$$

• Flèche à calculer : Solon la méthode général (B.A.E.L 91 modifier 99) :

Calcul de σ_{bc} , σ_{s} : $I = 6087,13cm^{4}$; y = 3,12 cm

$$k = \frac{Mt_{ser}}{I} = \frac{4552,073}{6087.13} = 0,75 \,\text{N/mm}^3$$

$$\sigma_{bc} = k \times y = 0.75 \times 3.12 \implies \sigma_{bc} = 2.34 \text{ MPa}$$

$$\sigma_{\rm s} = 15. \frac{M_t^{ser}}{I}.(d-y) = 15. \frac{4552,073}{6087,13}.(13,5-3,12) = 116,38 \text{ MPa}$$

$$E_i = 11000 .3 \sqrt{(f_{c28})} = 32164,20 \text{ MPa}$$

$$\mathcal{E}_{bc} = \frac{\sigma_{bc}}{F_{i}} = 0,73.10^{-4}$$

$$\varepsilon_{\rm s} = \frac{\sigma_{\rm s}}{15.E_i} = 2,41 \times 10^{-4}$$

$$\rho_f = \frac{A_s}{h_0 c_0}$$
; $c_0 = \max(0.3d, 2d'') = 4.05cm$

$$\rho_{f} = \frac{3,14}{100.4,05} = 0,0077$$

$$\frac{f_{ij}}{\sigma_{s}} = \frac{2,1}{116,37} = 0,018$$
On a $\rho_{f} > \frac{f_{ij}}{\sigma_{s}}$ \longrightarrow $\Delta \mathcal{E}_{s} = \frac{f_{ij}}{2.Es.\rho_{f}} = \frac{2,1}{2.200000.0,018} = 2,9.10^{-4}$.

$$\mathcal{E}_{s}^{*} = \mathcal{E}_{s} - \Delta \mathcal{E}_{s} = 2,41 \times 10^{-4} - 2,9 \times 10^{-4} = -4,97 \times 10^{-5}$$

$$\frac{1}{r} = \frac{\mathcal{E}_{s}^{*} + \mathcal{E}_{bc}}{d} = \frac{(-0,497 + 0,75)}{13,5} \cdot 10^{-4} = 0,017.10^{-5} \text{ cm}^{-1}$$

$$f_{2} = (\frac{3}{r} + \frac{14}{r} + \frac{12}{r} + \frac{6}{r} + \frac{1}{r}).L^{2}/384 = 0,022 \text{ cm}$$

$$f_{3} = (\frac{2}{r} + \frac{12}{r} + \frac{20}{r} + \frac{12}{r} + \frac{2}{r}).L^{2}/384 = 0,029 \text{ cm}$$

$$f_{4} = (\frac{1}{r} + \frac{6}{r} + \frac{12}{r} + \frac{14}{r} + \frac{3}{r}).L^{2}/384 = 0,022 \text{ cm}$$

$$f_{calcul\acute{e}} = max (f_{2}, f_{3}, f_{4}) = max (0,022cm, 0,029cm, 0,029cm) = 0,029 \text{ cm}$$

$$f_{adm} = L/500 = 375/500 = 0,75cm \qquad f_{adm} \ge f_{calcul\acute{e}} \longrightarrow cv.$$

❖ Sens y-y:

Vérification de la flèche est nécessaire si une des conditions n'est pas vérifiée

Avant calculer la flèche, on doit vérifiée les conditions suivantes:

1°)
$$\frac{h_d}{L} \ge \frac{1}{16} \to \frac{15}{375} = 0.03 \ge 0.0625$$
 C.N.V
2°) $\frac{h_d}{L} \ge \frac{1}{10} \frac{M_{ser}^t}{M_{ser}^a} \to 0.03 \ge 0.15$ C.N.V
3°) $\frac{h_d}{b.d} \le \frac{4.2}{f_e} \to \frac{15}{100.13.5} = 0.011 \le 0.0105$ C.N.V

Une des conditions n'est pas vérifiée, on passe donc au calcul de la flèche

• Flèche à calculer : Solon la mét hode général (B.A.E.L 91 modifier 99) : Calcul de σ_{bc} , σ_{s} : I = 6087,13cm⁴; y = 3,12 cm

$$k = \frac{M_{ser}}{I} = \frac{2934,72}{6087,13} = 0,48 \text{ N/mm}^3$$

$$\sigma_{bc} = k \times y = 048 \times 3,12 \implies \sigma_{bc} = 1,51 \text{ MPa}$$

$$\sigma_{c} = 15 \frac{M_{t}^{ser}}{I} (d - v) = 15 \frac{2934,72}{I} (13.5 - 3.12) = 7$$

$$\sigma_{\rm s} = 15. \frac{M_t^{ser}}{I}.(d-y) = 15. \frac{2934,72}{6087,13}.(13,5-3,12) = 75,02 {\rm MPa}$$

$$E_i = 11000.^3 \sqrt{({\rm f}_{\rm c28})} = 32164,20 {\rm MPa}$$

$$\varepsilon_{\rm bc} = \frac{\sigma_{bc}}{E_i} = 0,47.10^{-4}$$

$$\begin{split} & \varepsilon_{\rm s} = \frac{\sigma_{\rm s}}{15.E_i} = 1,55 \times 10^{-4} \\ & \rho_f = \frac{A_{\rm s}}{b_{0.C_0}} \; ; \; c_0 = \max{(0,3\rm{d},2\rm{d''})} = 4,05\rm{cm} \\ & \rho_f = \frac{3,14}{100.4,05} = 0,0077 \\ & \frac{f_{\,\, y}}{\sigma_{\,\, s}} = \frac{2,1}{75,02} = 0,028 \\ & \text{On a } \rho_f > \frac{f_{\,\, y}}{\sigma_{\,\, s}} \longrightarrow \Delta \; \varepsilon_{\rm s} = \frac{f_{\,\, y}}{2.Es.\rho_{\,\, f}} = \frac{2,1}{2.200000.0,028} = 1,87.10^{-4} \; . \\ & \varepsilon_{\rm s}^* = \; \varepsilon_{\rm s} - \Delta \; \varepsilon_{\rm s} = 1,55 \times 10^{-4} - 1,87 \times 10^{-4} = -0,32 \times 10^{-4} \\ & \frac{1}{r} = \frac{\varepsilon_{\,\, s}^* + \varepsilon \, bc}{d} = \frac{(-0,32 + 0,46)}{13,5} \; .10^{-4} = 0,109.10^{-5} \; \rm{cm}^{-1} \\ & f_2 = (\frac{3}{r} + \frac{14}{r} + \frac{12}{r} + \frac{6}{r} + \frac{1}{r}).L^2/384 = 0,025 \; cm \qquad L = 500 \; cm \\ & f_3 = (\frac{2}{r} + \frac{12}{r} + \frac{20}{r} + \frac{12}{r} + \frac{2}{r}).L^2/384 = 0,034 \; cm \\ & f_4 = (\frac{1}{r} + \frac{6}{r} + \frac{12}{r} + \frac{14}{r} + \frac{3}{r}).L^2/384 = 0,025 \; cm \\ & f_{calcule} = \max{(f_2, f_3, f_4)} = \max{(0,025cm, 0,034cm, 0,025cm)} = 0,034 \; cm \\ & f_{adm} = \frac{L}{1000} + 0,5 = \frac{500}{1000} + 0,5 = 1 \; cm \; ; \qquad f_{adm} \geq f_{calcule} \longrightarrow C \; V \end{split}$$

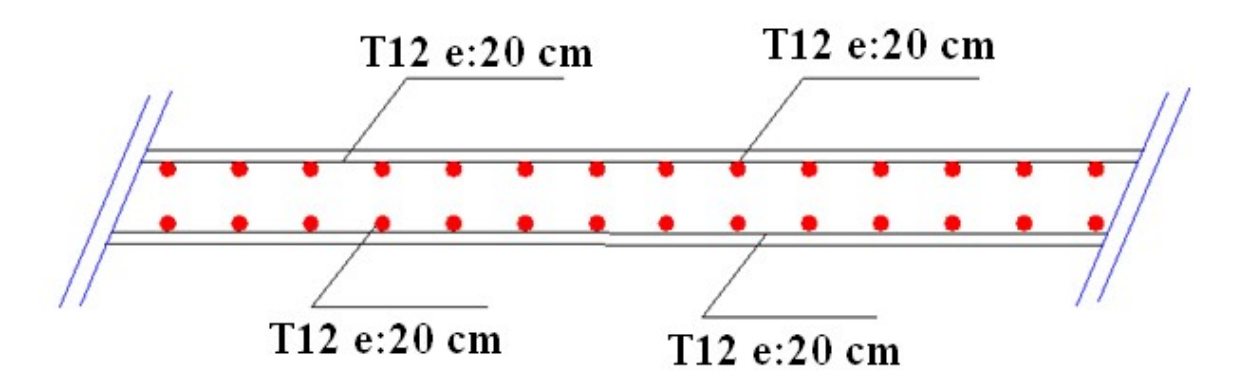


Figure (3.11): Ferraillage de la dalle pleine en plancher RDC

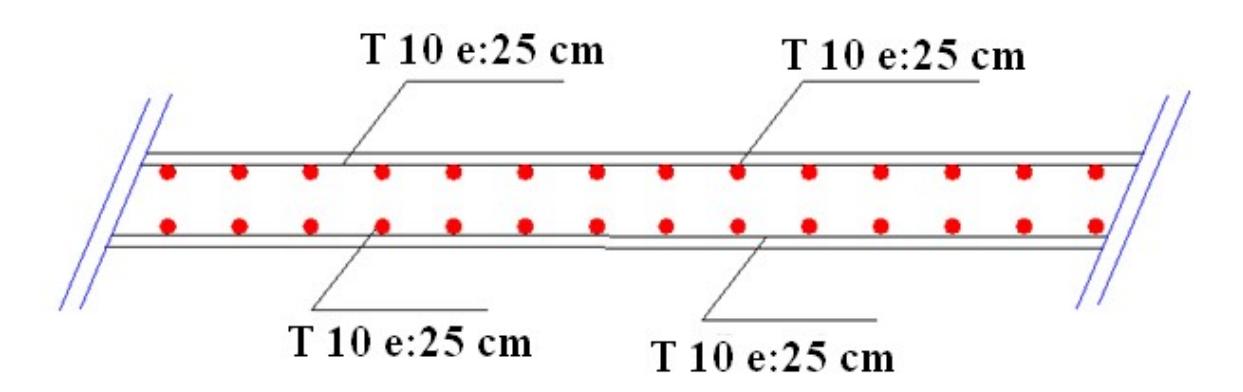


Figure (3.12): Ferraillage de la dalle pleine pour toiture

Chapitre IV

Étude des éléments non structuraux

4.1) Eude des escaliers :

4.1.1) Définition

Les escaliers sont des ouvrages essentiels dans la structure, ils permettent la circulation verticale entre les différents étages.

4.1.2) les différents éléments de l'escalier sont illustrés dans la figure suivante :

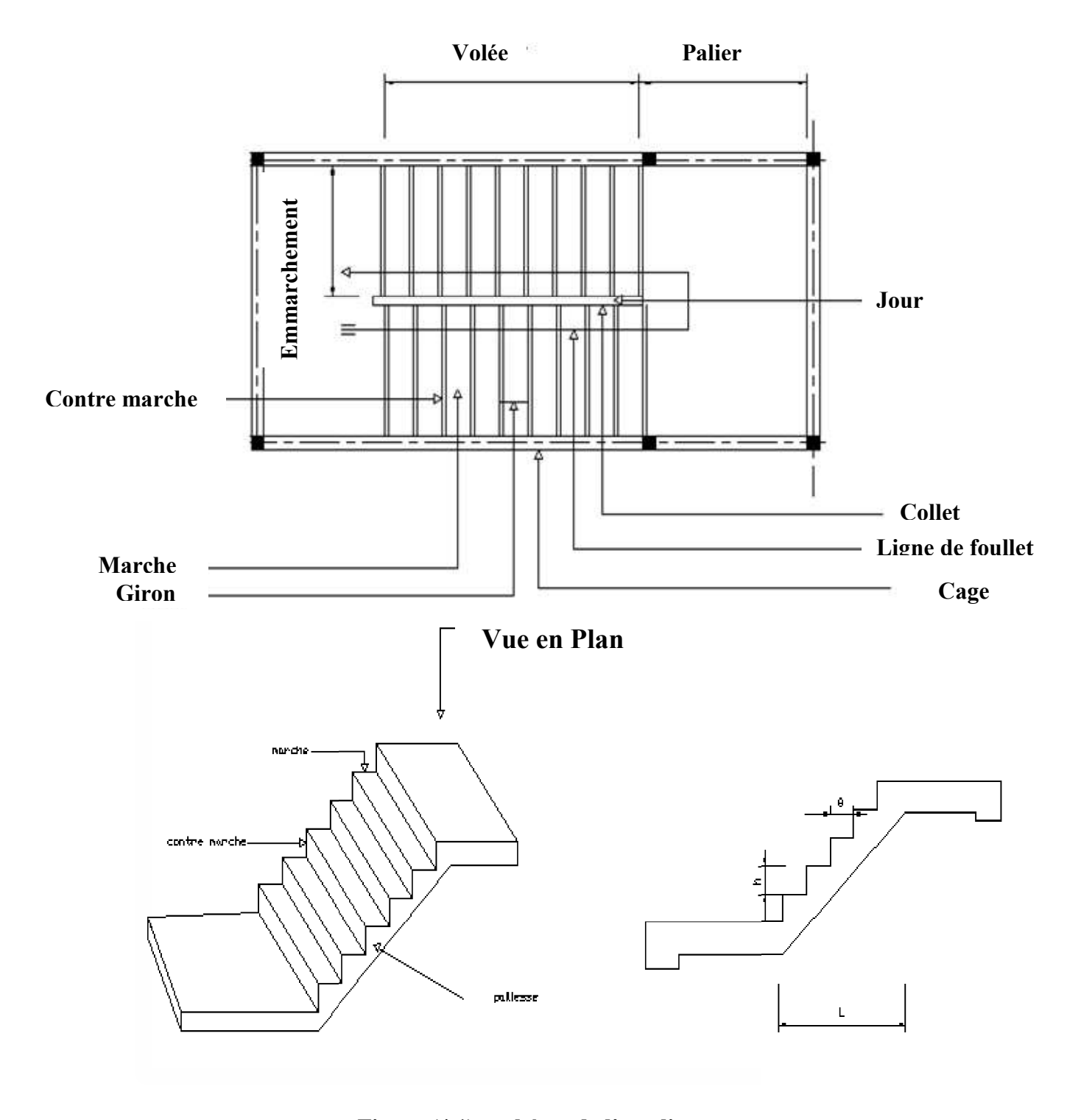


Figure (4.1) : schéma de l'escalier.

4.1.3) NOTATION :

- n = nombre de contre marches
- (n-1)= nombre de marches
- h= la hauteur de la marche
- g= giron
- H = hauteur entre les faces supérieurs de deux paliers successifs
- L = portée en plan de la volée
- e= épaisseur de la paillasse
- e'= épaisseur de palier

4.1.4) Pré dimensionnement de l'escalier:

a) Vérification de la loi de BLONDEL:

$$g + 2h = 64$$

$$H_t = 3,06m$$
; $L = 2,4 m$

$$H_A = 1,53 \text{ m}$$

$$n = n + 1 = 8 + 1 = 9$$
 contremarches;

$$h = H/n' = 1,53/9 = 0,17 \text{ m}$$

$$g = L/n = 2,4/8 = 0,30 \text{ m}$$

AN:
$$g + 2.h = 30 + 2x17 = 64$$
 (C.V)

b) Dimension de la paillasse:

L'épaisseur de la paillasse est déterminée par l'expression suivante :

$$\frac{L_p}{30} \le e_{paillasse} \le \frac{L_p}{20} \quad \text{Avec} \quad L_p = \frac{L}{\cos \alpha} \dots (4-2) [1]$$

$$\frac{L}{30 \times \cos \alpha} \le e_{paillasse} \le \frac{L}{20 \times \cos \alpha} \quad \Rightarrow \quad 13.7 \le e_{paillasse} \le 20.6$$

On prend une épaisseur $e_{pallaisse} = 15cm$.

c) dimension du palier de repos:

Pour le palier de repos, on adopte une épaisseur $e_{palier}=15cm$.

4.1.5) Descente des charges :

Paillasse :

Carrelage horizontal $e = 2c$	cm	0,02 × 22 × 1	=0,44~KN/ml	
Carrelage vertical $e = 2 cm$		$0.02 \times 22 \times tg \alpha \times 1$	$=0.25\ KN/ml$	
Mortier de pose horizontal.	• • • • • • •	0,02 × 20 × 1	=0,40~KN/ml	
Mortier de pose vertical		$0.02 \times 20 \times tg \alpha \times 1$	=0,23 KN / ml	
Poids propre de la paillasse		$25 \times \frac{0,15}{\cos \alpha} \times 1 \dots$	=4,31~KN/ml	
Poids propre de la marche		$0.5 \times 0.17 \times 22 \times 1 \dots$	$= 1,87 \ KN / ml$	
Enduit en ciment		$0.18 \times \frac{0.01}{\cos \alpha}$	=0.21KN/ml	
Charge permanente	• • • • • • •		G = 7,71 KN / ml	
Charge d'exploitation			$P = 2,50 \ KN / ml$	
Combinaison d'action	E.L.U	$q_u = 1,35G + 1,5P$	=14,15~KN/ml	
Comomaison d'action	E.L.S	$q_{ser} = G + P$	=10,21KN/ml	

Tableau (4.1): Tableau récapitulatif des charges appliquées sur la paillasse.

• Palier:

Carrelage $e = 2 cm$		0,02 × 22 × 1	$= 0,44 \; KN / ml$	
Mortier de pose $e = 2 cm$		0,02 × 20 × 1	=0,40~KN/ml	
Poids propre du palier $e = 1$	5 cm	0,15 × 25 × 1	=3,75 KN / ml	
Enduit en ciment $e = 1 cm$.		0,18×1	= 0.18 KN / ml	
Charge permanente	• • • • • • •		$G = 4,77 \ KN / ml$	
Charge d'exploitation			$P = 2,50 \ KN / ml$	
Combinaison d'action	E.L.U	$q_u = 1,35G + 1,5P$	=10,18 KN / ml	
Comomaison d'action	E.L.S	$q_{ser} = G + P$	$=7,27 \ KN / ml$	

Tableau (4.2): Tableau récapitulatif des charges appliquées sur le palier

4.1.6) schémas statiques des volées:

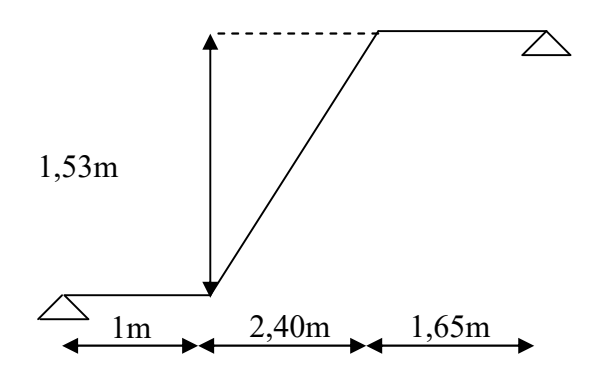
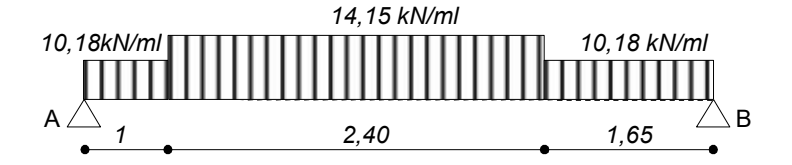


Figure (4.2): schémas statique du volée

4.1.7) Exemple de calcul:

a) Évaluation des charges :



➤ Calcul à l'ELU:

a) Les réactions sur appuis:

$$\sum F/y = q_{u1} + 2.4 \ q_{u2} + 0.4 q_{u1} = R_A + R_B$$

$$R_A + R_B = 1 \times 10.18 + 2.40 \times 14.15 + 1.65 \times 10.18 = 60.937 KN$$

$$R_A + R_B = 60.937KN$$

$$\sum M/A=0$$

$$R_B \times L = \frac{q_u^1}{2} + q_u^2 \times 2.4 \times \left(\frac{2.4}{2} + 1\right) + q_u^1 \times 1.65 \times (1 + 2.4 + \frac{1.65}{2})$$

$$R_B \times 4.1 = 10.18 \times 0.5 + 14.15 \times 2.4 (1.20 + 1) + 10.18 \times 1.65 (1 + 2.40 + 0.825)$$

$$R_B \times 4.1 = 150.769 \text{ KN.m}$$

$$R_B = \frac{150.769}{5.05} = 29.85 \, KN$$

$$R_A = 60.937 - 29.85 = 31.087 \text{ KN}$$

$$R_A = 31.087 \text{ KN}$$
 $R_B = 29.85 \text{ KN}$

b) Calcul des efforts tranchants et moments fléchissant :

$$1^{er}$$
 troçon : $0 \le x \le 1$ m

$$T(x) = R_A - qu^1 \times x$$

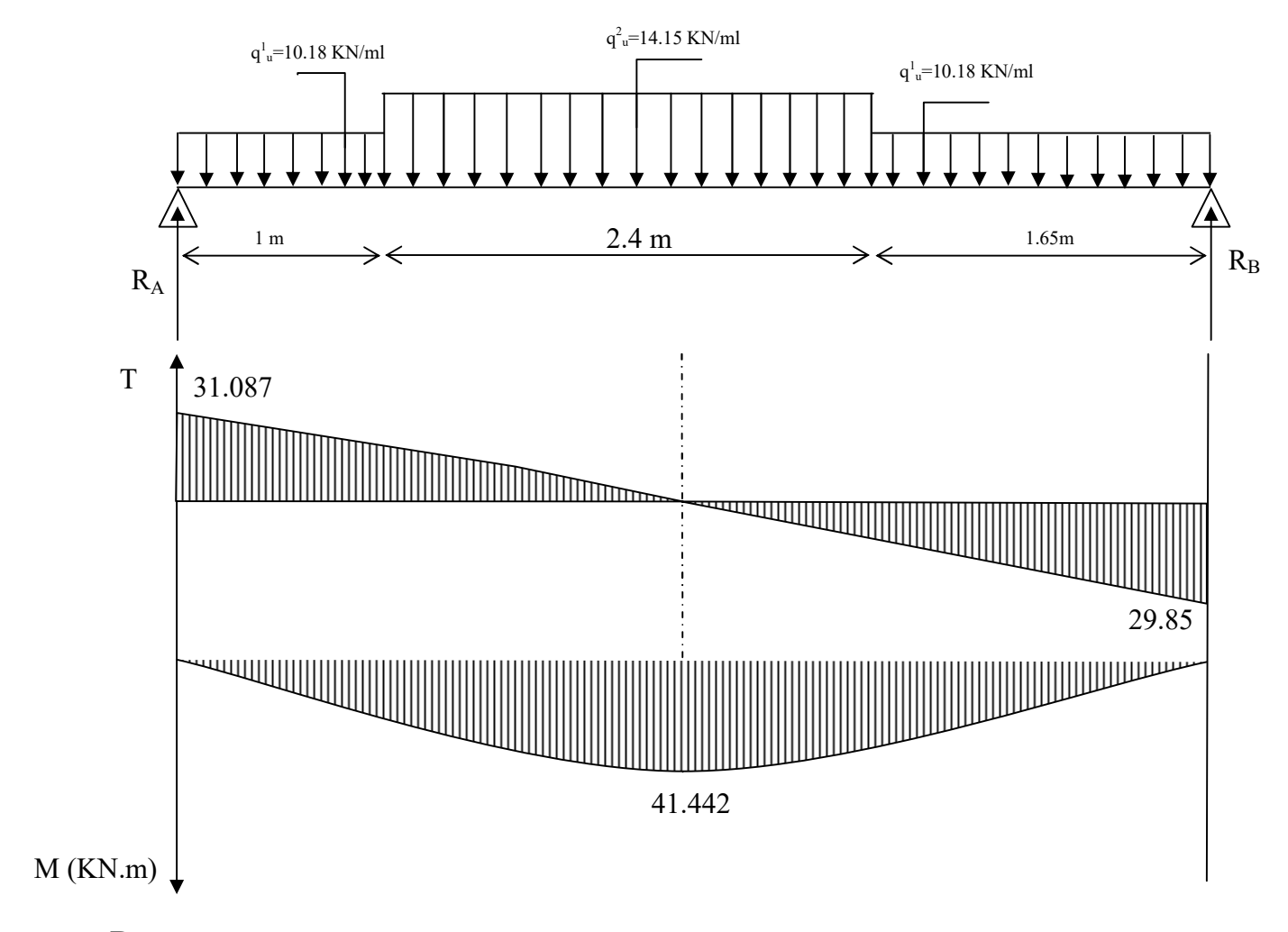
$$T(x) = 31.087 - 10.18 x$$

$$T(x=0) \rightarrow T_Y = 31.087 \text{ KN}$$
 $T(x=1) = 31.087 - 10.18 \times 1 = 20.907 \text{ KN}$

$$\begin{array}{ll} \underline{Chapitre \, IV:} & \underline{Etude \, des \, \'el\'ements \, non \, structuraux} \\ \sum M/c = 0 \leftrightarrow M(x) = R_A x - qu^1 \frac{x^2}{2} = 31.087 \, x - \frac{10.18}{2} \, x^2 \\ X = 0 \leftrightarrow M_z = 0 \\ X = 1 \leftrightarrow Mz = 31.087 \times 1 - 10.18 \times \frac{1^2}{2} = 25.997 \, \text{KN. m} \\ M_z(x) \text{max} \rightarrow T_y(x) = 0 \rightarrow x = \frac{R_A}{q_z^1} = \frac{31.087}{10.18} = 3.05 \, \notin [0\,;1] \text{m} \\ & \frac{2^{\text{enve}} \, \text{tropon} : 1 \le x \le 3.4 \text{m}}{\sum F/y = 0 \leftrightarrow T(x) = R_A - qu^1(1) - qu^2 \times (x-1)} \\ T(x = 1) \rightarrow T_Y = 31.087 \cdot (10.18 \times 1) = 20.907 \, \text{KN} \\ T(x = 3.4) = 31.087 - (10.18 \times 1) - 14.15 \times (3.4 - 1) = -13.053 \, \text{KN} \\ \sum M/c = 0 \leftrightarrow M(x) = R_A x - qu^1(1) \times (x - 0.5) - qu^2 \times (\frac{(x-1)^2}{2}) \\ X = 3.4 \leftrightarrow Mz(3.4) = 31.087(1) - 10.18 \times (1) \times (0.5) - 14.15 \times (\frac{(1-1)^2}{2}) \\ X = 3.4 \leftrightarrow M(3.4) = 31.087(3.4) - 10.18 \times (1) \times (3.4 - 0.5) - 14.15 \times (\frac{(3.4 - 1)^2}{2}) \\ X = 1 \leftrightarrow M(1) = 25.997 \, \text{KN. m} \\ X = 3.4 \leftrightarrow M(3.4) = 35.422 \, \text{KN. m} \\ Mz(x) \text{max} \leftrightarrow T_Y(x) = 0 \leftrightarrow T_Y(x) = R_A \cdot qu^1(1) - qu^2(x-1) = 0 \\ X = \frac{R_A + 1q_0^2 - 1q_0^2}{q_0^2} = \frac{21.087 + (1.14.15) - (1.10.18)}{14.15} = 2.48 \, m \rightarrow x \in [1; 3.4] m \\ M_z(2.48) \text{max} = 31.087 \times (2.48) - 10.18 \times (1) \times (2.48 - 0.5) - 14.15 \times (\frac{(2.48 - 1)^2}{2}) \\ M_z(2.48) \text{max} = 31.087 \times (2.48) - 10.18 \times (1) \times (2.48 - 0.5) - 14.15 \times (\frac{(2.48 - 1)^2}{2}) \\ M_z(2.48) \text{max} = 31.087 \times (2.48) - 10.18 \times (1) \times (2.48 - 0.5) - 14.15 \times (\frac{(2.48 - 1)^2}{2}) \\ M_z(2.48) \text{max} = 31.087 \times (2.48) - 10.18 \times (1) \times (2.48 - 0.5) - 14.15 \times (\frac{(2.48 - 1)^2}{2}) \\ M_z(2.48) \text{max} = 31.087 \times (2.48) - 10.18 \times (1) \times (2.48 - 0.5) - 14.15 \times (\frac{(2.48 - 1)^2}{2}) \\ M_z(2.48) \text{max} = 31.087 \times (2.48) - 10.18 \times (1) \times (2.48 - 0.5) - 14.15 \times (\frac{(2.48 - 1)^2}{2}) \\ M_z(2.48) \text{max} = 31.087 \times (2.48) - 10.18 \times (1) \times (2.48 - 0.5) - 14.15 \times (\frac{(2.48 - 1)^2}{2}) \\ M_z(2.48) \text{max} = 31.087 \times (2.48) - 10.18 \times (1) \times (2.48 - 0.5) - 14.15 \times (\frac{(2.48 - 1)^2}{2}) \\ M_z(2.48) \text{max} = 31.087 \times (2.48) - 10.18 \times (1) \times (2.48 - 0.5) - 14.15 \times (\frac{(2.48 - 1)^2}{2}) \\ M_z(2.48) \text{max} = 31.087 \times (2.48) - 10.18 \times (1) \times (2.48 - 0.5) - 14.15 \times (\frac{(2.48 - 1)^2}{2}) \\ M_z(2.48) \text{max}$$

Le moment max dans les trois tronçons est de 41.442 KN.m à x=2.48 m

 $M_Z(x)max \to T_y(x) = 0 \to x = \frac{R_B}{a^{\frac{1}{2}}} = \frac{29.85}{10.18} = 2.93 \notin [0; 1.65]m$



Remarque:

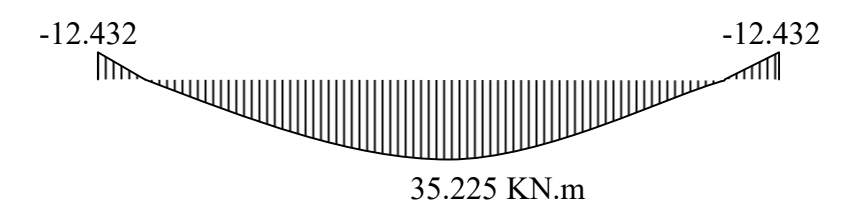
Pour tenir compte des encastrements partiels aux extrémités, on porte une correction à l'aide des coefficients réducteurs pour le moment Mumax aux appuis et en travée.

• Moments aux appuis:

$$M_{u(appuis)} = (-0.3) M_u^{max} = -0.3(41.442) = -12.432 \text{ KN.m}$$

Moment en travée:

$$M_{u(trav\acute{e}e)} = (0.85) M_u^{max} = 0.85 (41.442) = 35.225 \text{ KN.m}$$



Chapitre IV: ➤ Calcul à l'ELS:

a) Les réactions sur appuis:

$$\sum F/y = q_{u1} + 2.4 \ q_{u2} + 0.4 q_{u1} = R_A + R_B$$

$$R_A + R_B = 1 \times 7.27 + 2.40 \times 10.21 + 1.65 \times 7.27 = 43.77 \ KN$$

$$R_A + R_B = 43.77 \ KN$$

$$\sum M/A = 0$$

$$R_B \times L = \frac{q_u^1}{2} + q_u^2 \times 2.4 \times \left(\frac{2.4}{2} + 1\right) + q_u^1 \times 1.65 \times (1 + 2.4 + \frac{1.65}{2})$$

$$R_{\rm B} \times 5.05 = 7.27 \times 0.5 + 10.21 \times 2.4 (1.20 + 1) + 7.27 \times 1.65 (1 + 2.40 + 0.825)$$

$$R_B \times 5.05 = 108.22 \text{ KN.m}$$

$$R_B = \frac{108.22}{5.05} = 21.43 \ KN$$

$$R_A = 43.77 - 21.43 = 22.34 \text{ KN}$$

$$R_A = 22.34 \text{ KN}$$

$$R_B = 21.43 \text{ KN}$$

b) Calcul des efforts tranchants et moments fléchissant :

$$1^{\text{er}} \operatorname{trocon} : 0 \le x \le 1$$
m

$$T(x) = R_A - qu^1 \times x$$

$$T(x) = 22.34 - 7.27 x$$

$$T(x=0) \rightarrow T_Y = 22.34 \text{ KN}$$

$$T(x=1) = 22.34 - 7.27 \times 1 = 15.07 \text{ KN}$$

$$\sum M/c = 0 \leftrightarrow M(x) = R_A x - qu^1 \frac{x^2}{2} = 22.34x - \frac{7.27}{2}x^2$$

$$X=0 \leftrightarrow M_z=0$$

$$X=1 \leftrightarrow Mz = 22..34 \times 1 - 7.27 \times \frac{1^2}{2} = 18.705 \text{ KN. m}$$

$$M_z(x)$$
max $\to T_Y(x)=0 \to x = \frac{R_A}{q_u^1} = \frac{22.34}{7.27} = 3.07 \notin [0;1]$ m

$$2^{\text{eme}} \text{ trocon} : 1 \le x \le 3.4 \text{m}$$

$$\sum F/y=0 \leftrightarrow T(x) = R_A - qu^1(1) - qu^2 \times (x-1)$$

$$\int T(x=1) \rightarrow T_Y = 22.34-(7.27\times1)=15.07 \text{ KN}$$

$$\begin{cases} T(x=1) \rightarrow T_Y = 22.34 - (7.27 \times 1) = 15.07 \text{ KN} \\ T(x=3.4) = 22.34 - (7.27 \times 1) - 10.21 \times (3.4-1) = -9.434 \text{ KN} \end{cases}$$

$$\sum M/c = 0 \leftrightarrow M(x) = R_A x - qu^1(1) \times (x - 0.5) - qu^2 \times (\frac{(x-1)^2}{2})$$

$$\int X=1 \leftrightarrow Mz(1) = 22.34(1) - 7.27 \times (1) \times (0.5) - 10.21 \times (\frac{(1-1)^2}{2})$$

$$X=3.4 \leftrightarrow Mz(3.4) = 22.34(3.4) - 7.27 \times (1) \times (3.4 - 0.5) - 10.21 \times (\frac{(3.4-1)^2}{2})$$

$$X=1 \leftrightarrow M(1)=18.705 \text{ KN.m}$$

$$X=3.4 \leftrightarrow M(3.4)=25.468 \text{ KN.m}$$

Chapitre IV:
$$Mz(x)max \leftrightarrow T_Y(x) = 0 \leftrightarrow T_Y(x) = R_A - q_u^{-1}(1) - q_u^{-2}(x-1) = 0$$

$$X = \frac{R_A + 1q_u^2 - 1q_u^4}{q_u^2} = \frac{22.34 + (1 \times 10.21) - (1 \times 7.27)}{10.21} = 2.48 \ m \to x \in [1; 3.4] m$$

$$M_Z(2.48) \max = 22.34 \times (2.48) - 7.27 \times (1) \times (2.48 - 0.5) - 10.21 \times (\frac{(2.48 - 1)^2}{2})$$

 $M_Z(2.48)$ max=29.82 KN.m

3éme tronçon : $0 \le x \le 1.65m$.

$$\sum F/y=0 \leftrightarrow T_y(x) = q_{u1}x - R_B$$

$$T(x) = 7.27 x - 21.43$$

$$\int T(x=0) \Rightarrow T_Y = -21.43 \text{ KN}$$

$$\begin{cases} T(x = 0) \Rightarrow T_Y = -21.43 \text{ KN} \\ T(x=1.65) = 7.27 \times 1.65 - 21.43 = -9.434 \text{ KN} \end{cases}$$

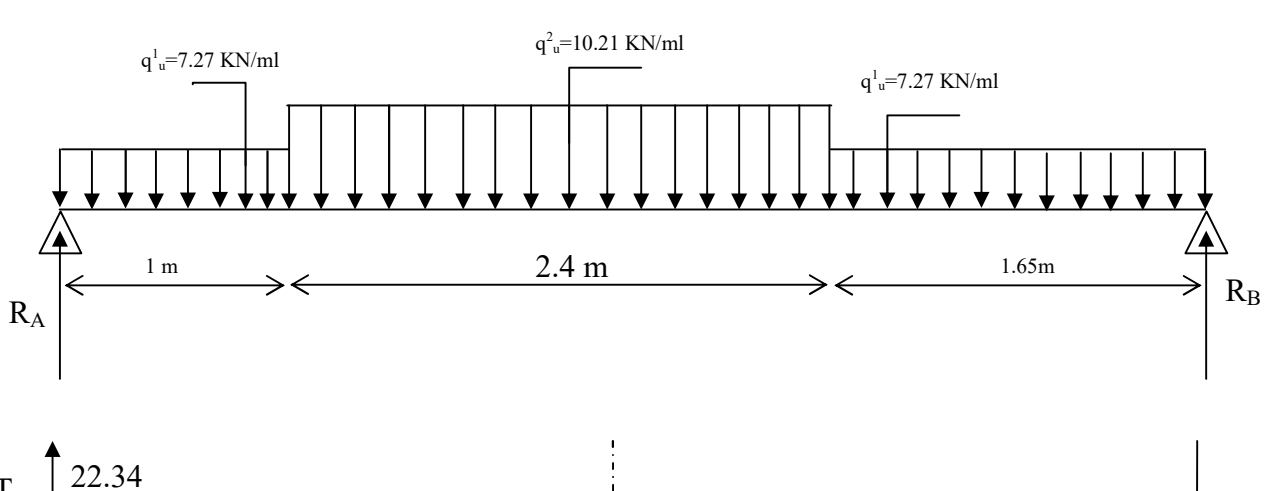
$$M_Z(x) = R_B x - q_u^1 \frac{x^2}{2} = 21.43x - \frac{7.27}{2}x^2$$

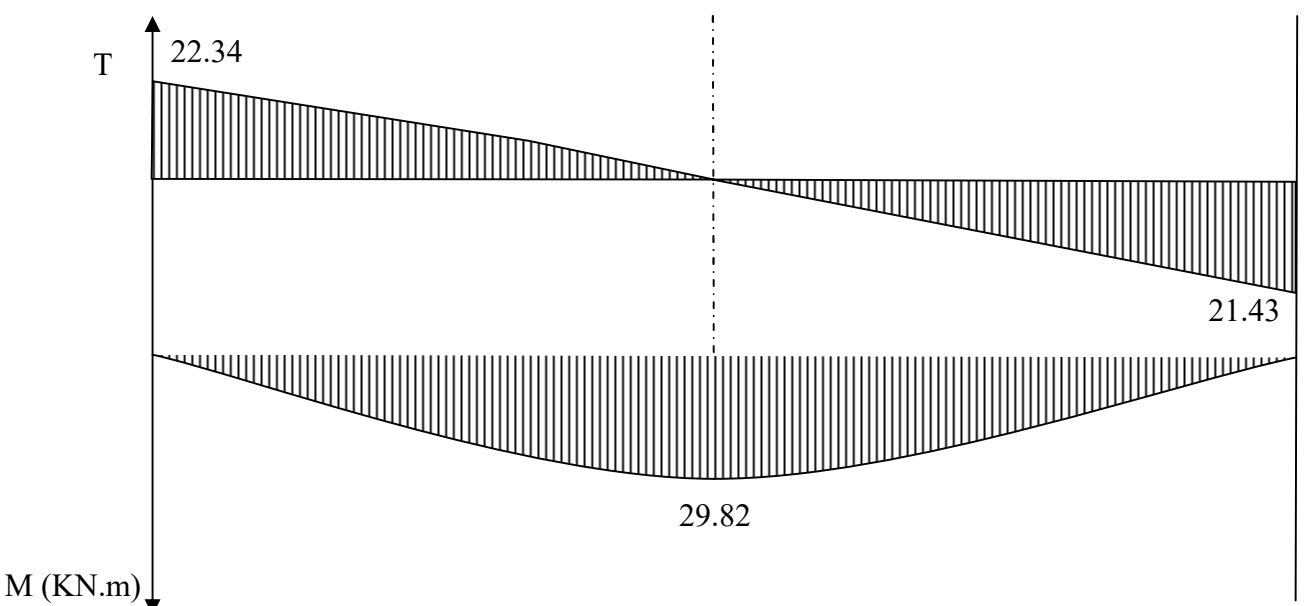
$$X=0 \rightarrow M(x=0)=0 \text{ KN.m}$$

$$X=1.65 \text{ m} \rightarrow M(x=1.65)=25.46 \text{ KN.m}$$

$$M_Z(x)max \to T_y(x) = 0 \to x = \frac{R_B}{a_x^2} = \frac{21.43}{7.27} = 2.95 \notin [0; 1.65]m$$

Le moment max dans les trois tronçons est de 29.82 KN.m à x=2.48 m





Remarque:

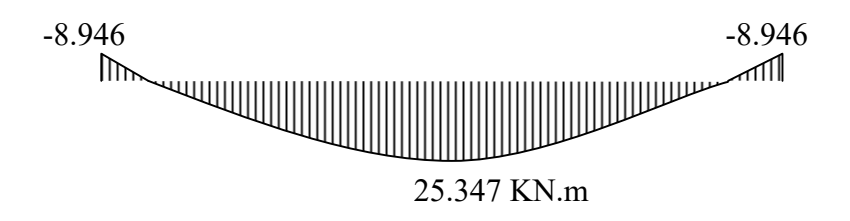
Pour tenir compte des encastrements partiels aux extrémités, on porte une correction à l'aide des coefficients réducteurs pour le moment Mumax aux appuis et en travée.

• Moments aux appuis:

$$M_{u(appuis)} = (-0.3) M_u^{max} = -0.3(29.82) = -8.946 \text{ KN.m}$$

Moment en travée:

$$M_{u(trav\acute{e}e)} = (0.85) M_u^{max} = 0.85 (29.82) = 25.347 \text{ KN.m}$$



г 1111		E.L.	. <i>U</i>	E.L.S		
Exemple d	e calcul	$M^{u}[kN.m]$	$V_{\rm max}[kN]$	$M^{s}[kN.m]$	$V_{\text{max}}[kN]$	
Volée	travée	35.225	31.09	25.347	22.34	
v otee	appuis	12.432	31.07	8.946		

Tableau (4.3): les moments fléchissant et d'efforts tranchant.

b) Ferraillage:

► E.L.U:

• En travée:

$$\mu = \frac{M_t}{b d^2 \cdot \sigma_{bc}} = \frac{35225}{100 \times 13.5^2 \times 14.2} = 0.136 < 0.186$$

→ A'= 0 et
$$\sigma_s = \frac{f_e}{\gamma_s} = 400/1,15 = 348 \text{ MPa.}$$

$$\alpha = 0.1835$$
 ; $\beta = 0.927$

$$A_{cal} = \frac{Mt}{\sigma_s \cdot \beta \cdot d} = \frac{35225}{348.0,927.13,5}$$

$$A_{cal} = 8.09 \text{ cm}^2/\text{ml}$$

• Condition de non fragilité:

$$A_{\min} = 0.23.b.d. \frac{f_{t28}}{f_e} = 0.23.100.13, 5. \frac{2.1}{400} = 1.63 \text{ cm}^2$$

$$A_s = \max(A_{cal}; A_{\min}) = 8.09 cm^2$$

Le choix est:
$$6T14 (A_s = 9.24 \text{ cm}^2)$$
 $e = 20cm$

• Armatures de répartitions :

$$A_{Rt} > \frac{A_S}{4} = 2.02 \, cm^2 / ml$$

Le choix:
$$4T10 (3,14cm^2/ml)$$
 $e = 25cm$

• En appui

$$\mu = \frac{M_a}{b.d^2.\sigma_{bc}} = \frac{12432}{100 \times 13.5^2 \times 14.2} = 0.048 < 0.186$$

→ A'= 0 et
$$\sigma_s = \frac{f_e}{\gamma_s} = 400/1,15 = 348 \text{ MPa.}$$

$$\alpha = 0.0615$$
 ; $\beta = 0.975$

$$A_{cal} = \frac{Ma}{\sigma_s \cdot \beta \cdot d} = \frac{12432}{348.0,975.13,5}$$

$$A_{cal} = 2.71 \text{ cm}^2/\text{ml}$$

• Condition de non fragilité:

$$A_{\min} = 0,23.b.d. \frac{f_{t28}}{f_e} = 0,23.100.13,5. \frac{2,1}{400} = 1,63 \text{ cm}^2$$

$$A_s = \max(A_{cal}; A_{\min}) = 2.71 cm^2$$

Le choix est:
$$4T12 (A_s = 4,52 \text{ cm}^2)$$
 $e = 25cm$

• Armatures de répartitions :

$$A_{Rt} > \frac{A_S}{4} = 0.68 \, cm^2 / ml$$

Le choix:
$$4T10 \ (3,14cm^2/ml)$$
 $e = 25cm$

➤ E.L.S:

Fissuration peu nuisible
Flexion simple
Section rectangulaire
FE400

Fissuration peu nuisible
$$\Rightarrow \alpha < \frac{\gamma - 1}{2} + \frac{f_{c28}}{100} \Rightarrow \sigma_b < \overline{\sigma}_b$$

• En travée :

$$\gamma = \frac{M_u}{M_{sor}} = 1,39$$

$$\alpha = 0.169 < 0.45$$
 Condition vérifiée.

• En appui:

$$\alpha = 0.076 < 0.45$$
 — Condition vérifiée.

Donc les armatures calculées à E.L.U conviennent à E.L.S.

c) Vérification de l'effort tranchant:

$$V_{\text{max}} = 31090N$$

$$\tau_u = \frac{V_{\text{max}}}{b \times d} = \frac{31090}{10^3 \times 135} = 0,23 MPa$$

Chapitre IV :Pour fissuration non préjudiciable :

$$\bar{\tau}_u = \min\left\{0.2 \times \frac{f_{c28}}{\gamma_b}; 5MPa\right\} = \min\left\{0.2 \times \frac{25}{1.5}; 5MPa\right\} = 3.33MPa$$

 $\tau_u = 0.23 MPa \le \overline{\tau}_u = 3.33 \implies \text{Les armatures transversales ne sont pas nécessaires}$

4.1.8) Etude de la poutre palière:

a) Pré dimensionnement de la poutre palière :

L=5 m

$$\frac{l}{15} \le h_t \le \frac{l}{10} \qquad \qquad 33,33 \le h_t \le 50$$

$$33,33 \le h_t \le 50$$

Soit
$$h_t = 40 cm$$

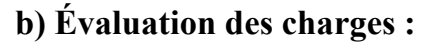
$$b = 30cm$$

La section de la poutre palière (30x40) cm²

D'après RPA99:

- 40cm > 30cmC.V

Donc la section de la poutre palière (30x x40).



Poids propre de la poutre

$$0.4 \times 0.3 \times 25 \times 1 \cdots 3 \ KN/ml$$

Réaction due au palier

 $7.07 \, KN/ml$

$$q_u = 1,35 \times 3 + 7,07 = 11.12 \ KN/m$$

$$q_{ser} = 8.08 \ KN/m^2$$

c) Évaluation des moments :

$$M_t^u = \frac{q_u \cdot L^2}{12} = 17.94 \ KN/ml$$

$$M_a^u = \frac{q_u \cdot L^2}{24} = 8.97 \ KN/ml$$

$$M_t^{ser} = \frac{q_{ser} \cdot L^2}{12} = 13.04 \ KN/ml$$

$$M_a^{ser} = \frac{q_{ser} \cdot L^2}{24} = 6.52 \ KN/ml$$

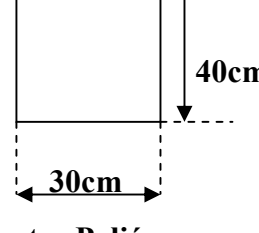


Figure (4.3): Poutre Paliére

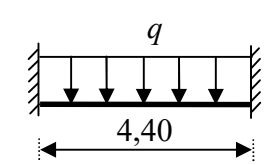


Figure (4.4): Schéma statique de la poutre palière.

d) Calcul du ferraillage:

► E.L.U:

• En travée :

$$\mu = \frac{Mt}{b \cdot d^2 \cdot \sigma_{bc}} = \frac{17940}{14,2 \cdot 30 \cdot 37^2} = 0,03$$

$$\alpha = 0,0381 \quad ; \quad \beta = 0,985$$

$$A_{cal} = \frac{Mt}{\sigma_s \cdot \beta \cdot d} = \frac{17940}{348 \cdot 0,985 \cdot 37}$$

$$A_{cal} = 1,41 \text{ cm}^2$$

$$A_{\min} = 0,23 \cdot b \cdot d \cdot \frac{f_{t28}}{f_e} = 0,23 \cdot 30 \cdot 37 \cdot \frac{2,1}{400} = 1,34 \text{ cm}^2$$

$$A = \max \left(A_{cal} \; ; \; A_{\min} \right) = 1,41 \text{ cm}^2$$

• En appui:

Choix: 3T12

$$\mu = \frac{Ma}{b \cdot d^2 \cdot \sigma_{bc}} = \frac{8970}{14,2.30.37^2} = 0,015$$

$$\alpha = 0,019 \quad ; \quad \beta = 0,992$$

$$A_{cal} = \frac{Ma}{\sigma_s \cdot \beta \cdot d} = \frac{8970}{348.0,992.37}$$

$$A_{cal} = 0,7 \text{ cm}^2$$

$$A_{\min} = 0,23 \cdot b \cdot d \cdot \frac{f_{t28}}{f_e} = 0,23.30.37 \cdot \frac{2,1}{400} = 1,34 \text{ cm}^2$$

$$A = \max(A_{cal}; A_{\min}) = 1,34 \text{ cm}^2$$

Choix: 3T12

► E.L.S :

Fissuration peu nuisible Section rectangulaire Flexion simple $Si \ \alpha < \frac{\gamma - 1}{2} + \frac{f_{c28}}{100} \ \Rightarrow \ \sigma_b < \overline{\sigma}_b$ FE400

• En travée :

$$\gamma = 1,38$$

 $\alpha = 0,045 < 0,44$ Condition vérifiée.

• En appui:

 $\alpha = 0.023 < 0.44$ Condition vérifiée. Donc les armatures calculées à E.L.U conviennent à E.L.S.

e) Vérification de l'effort tranchant:

$$T_{\text{max}} = \frac{q_u \cdot l}{2} = 24.46 \text{ KN}.$$

$$\tau_u = \frac{T_{\text{max}}}{b_o \cdot d} = 0,22 \text{ MPa}$$

$$\tau_\ell = \min\left(\frac{0,2 \cdot f_{c28}}{\gamma_b}; 5 \text{ MPa}\right) = 3,33 \text{ MPa}.$$

$$\tau_u = 0,22 \text{ MPa} < 3,33 \text{ MPa}. \dots \text{Condition vérifié}$$

f) Armatures transversales:

$$\phi = \min \begin{cases} \frac{h}{35} = 11,42 \ mm \\ \frac{b}{10} = 30 \ mm \\ \phi_{\ell} = 12 \ mm \end{cases}$$

Soit $\phi = 8 \, mm$

Choix: $2T8 \rightarrow 1,00 \text{ cm}^2$

g) Calcul de l'espacement :

$$\delta_{t} \leq \min \begin{cases} \min (0.9 d, 40 cm) = 33.3 cm \\ \frac{A_{t} \cdot f_{e}}{b_{o} \cdot 0.4} = 17.91 cm. \\ \frac{A_{t} \cdot 0.3 f_{e}}{b_{o} \cdot \gamma_{s} (\tau_{u} - 0.3 \cdot f_{t28})} = 27.86 cm \end{cases}$$

Soit $\delta_t = 15 \, cm$.

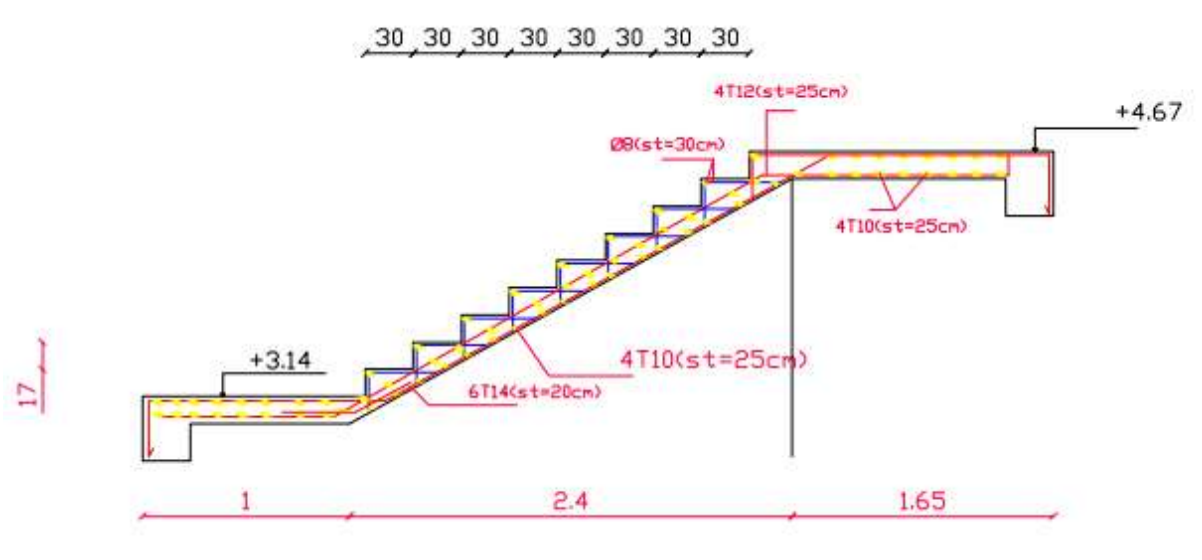


Figure (4.5) : Ferraillage de la volée.

4.2) Etude des balcons :

Le balcon est une dalle pleine, plaque porteuse en béton armé coulé sur place d'épaisseur de 8 à 20cm qui repose que sur un appuis murs ou poutres.

4.2.1) Type des balcons :

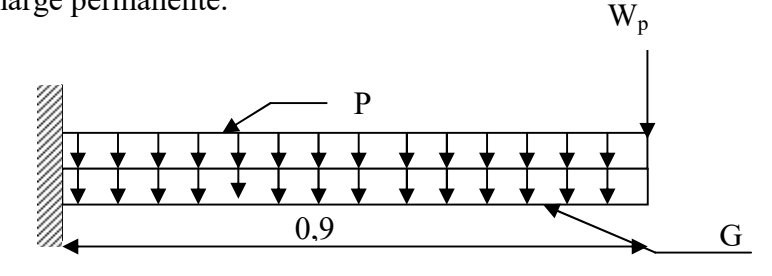
On a une seul type de balcon considéré comme console encastrée, constitués d'une dalle pleine, d'épaisseur e=12 cm et sollicités par les efforts G, P et le poids W_p suivants :

G: charge permanent du balcon

P : surcharge d'exploitation du balcon.

W_p: charge concentrée du mur = charge permanente.

• Type 1:



4.2.2) Evaluation des charges:

Chargement	Epaisseur(m)	Poids surfaciques (Kg/m²)
Carrelage	0,02	44
Mortier de pose	0,02	40
Enduit en ciment	0,01	18
Dalle pleine	0,12	300

Charge permanente totale: $G = 402 \text{ kg}/\text{m}^2$.

Charge d'exploitation : $Q = 350kg/m^2$.

Tableau (4.4) : descente des charges du balcon

 $W_p = 1400.0,1 = 140 dan$ (Poids propre du mur)

4.2.3) Combinaisons des charges :

> E.L.U:

$$q_u = 1.[1,35G + 1,5Q] = 1,35.4020 + 1,5.3500 = 10677 \frac{N}{ml}$$

$$W_{pu} = 1,35.1400 = 1890N$$

> E.L.S:

$$q_{ser} = 1.[G + Q] = 4020 + 3500 = 7520 \frac{dan}{ml}$$

$$W_{pser} = 1400N$$

4.2.4) Ferraillage:

On calcul le balcon en flexion simple comme une section rectangulaire (100x12) cm²

Chapitre IV: Étude de
$$M_{u \max} = q_u \cdot \frac{l^2}{2} + W_u \cdot l = 10677 \cdot \frac{(0.9)^2}{2} + 1890.0.9 = 6025,185 N.m$$

$$M_{s \text{max}} = q_s \cdot \frac{l^2}{2} + W_s \cdot l = 7520 \cdot \frac{(0.9)^2}{2} + 1400.0.9 = 4305.6 \text{N.m}$$

> E.L.U:

$$\mu = \frac{Mu}{b.d^2.\sigma_{bc}} = \frac{6025,185}{14,2.100.10^2} = 0,042$$

$$\alpha = 0.054$$
; $\beta = 0.978$

$$A_{cal} = \frac{Mu}{\sigma_s.\beta.d} = \frac{6025,185}{348.0,978.10}$$

$$A_{cal} = 1,77 \text{ cm}^2$$

$$A_{\min} = 0.23.b.d. \frac{f_{t28}}{f_e} = 0.23.100.10. \frac{2.1}{400} = 1.2 \text{ cm}^2$$

$$A = \max (A_{cal}; A_{min}) = 1,77 \text{ cm}^2$$

$$\underline{\text{Choix}}: 4\text{T10} \quad esp \quad 20 \text{ cm} \quad \longrightarrow \quad 3,14 \text{ cm}^2$$

• Armature de répartition :

$$A_r \ge \frac{A}{4} = \frac{3.14}{4} = 0.785 \, \text{cm}^2 / \text{ml}$$

Le choix :
$$A_r = \frac{5\phi 8}{ml} = 2.51 \frac{cm^2}{ml}$$
. avec $St = 25cm$

► E.L.S:

Fissuration peu nuisible

Flexion simple
Section rectangulaire $\Rightarrow \alpha \leq \frac{\gamma - 1}{2} + \frac{f_{c28}}{100} \Rightarrow \sigma_b < \overline{\sigma}_b$

$$\gamma = \frac{M_u}{M_{ser}} = 1,40$$

Donc les armatures calculées à E.L.U conviennent à E.L.S

4.2.5) Vérification de l'effort tranchant :

$$T_{\text{max}} = 1,35Q + (1,35G + 1,5P) \times L = 11499,3 N.$$

$$\tau_u = \frac{T_{\text{max}}}{b \cdot d} = 0.115 \, MPa.$$

$$\tau_{\ell} = \min\left(0.2 \frac{fc28}{\gamma_b}; 5 MPa\right) = 3.33 MPa.$$

 $\tau_u = 0.115 \; MPa \le \tau_\ell = 3.33 \; MPa...$ Condition vérifiée.

4.3) Étude d'ascenseur:

4.3.1) Introduction:

L'ascenseur est un moyen mécanique destiné à transporter les personnes entre les différents étages où l'utilisation des escaliers devient très fatiguant.

Le choix apporté sur un ascenseur de charge nominale de 630 kg à transporter 8 personnes au maximum avec une vitesse de 1,2 m/s dont les dimensions, ainsi les poids sont les suivants :

Largeur \longleftrightarrow 1,1 m Profondeur \longleftrightarrow 1,40 m Largeur du passage libre \longleftrightarrow 0,80 m Hauteur du passage libre \longleftrightarrow 2,00 m Hauteur \longleftrightarrow 2,20 m Vitesse \longleftrightarrow 1,20 m/s

Hauteur de course → 29,48 m

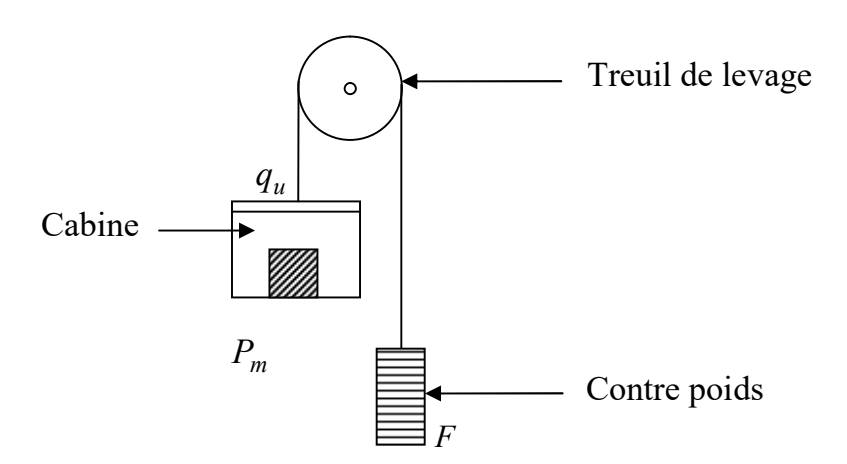


Figure (4.6): Schéma simplifié du mécanisme d'un ascenseur.

Dans un ascenseur, le contre poids (P_p) équilibre une demi charge restante et le poids mort (P_m) sera supporté par le moteur.

Soit alors : $P_p = P_m + \frac{Q}{2}$

Avec:

 P_p : Contre poids.

 P_m : Poids mort.

Q : Charge d'exploitation : $Q = 600 \, kg$, (8 personnes).

4.3.2) Évaluation des masses :

• Masse de la cabine M_1

Surface latérale S_1

$$S_1 = (1,4 \cdot 2 + 1,1) \cdot 2,2 = 8,58 m^2$$

 $M_1 = 11,5 (kg/m^2) \times 8,58 = 98,67 kg$

Cette masse doit être majorée de 10%

$$M_1 = 11,5 \times 8,58 \times 1,1 = 108,54 \, kg.$$

Masse du plancher M₂

Surface latérale S_2

$$S_2 = (1,1\times1,4) = 1,54 m^2$$

 $M_2 = 110\times1,54 = 169,4 kg$.

■ Masse du toit M₃

Surface latérale
$$S_3 = 1,54 \text{ m}^2$$

 $M_3 = 20 \times 1,54 = 30,8 \text{ kg}.$

■ Masse de l'arcade M₄

$$M_4 = 60 + (80 \times 1,1) = 148 kg.$$

• Masse des accessoires M_5

$$M_5 = 80 \text{ kg}.$$

■ Masse de la porte M_6

$$S_6 = 0.8 \cdot 2 = 1.6 \text{ m}^2$$

 $M_6 = 1.6 \times 25 + 80 = 120 \text{ kg}.$

• Masse des poulies de mouflage : M_7

$$M_7 = 30 \times 2 = 60 \text{ kg.}$$
 (n = 2 poulies).

• Masse du parachute M_8

$$M_8 = 100 \, kg$$
.

La masse du treuil + moteur : P = 1200 kg

Le poids mort total est : $P_m = \sum M_1 = 816,74 \text{ kg}$

Le contre poids est :
$$P_P = P_m + \frac{Q}{2} = 816,74 + \frac{630}{2} = 1131,74 \text{ kg}$$

4.3.3) Calcul de la charge de rupture :

$$C_r = C_{rc} \times n \times m$$
$$C_{rc} = Cs \times M$$

Tel que:

 C_r : Charge de rupture totale.

 C_{rc} : Charge de rupture d'un seul câble.

n : Nombre de câbles.

m: Nombre mouflage; m = 2.

Cs: Coefficient de sécurité supérieur ou égal à 12.

M: La somme des charges Q et P_m .

D'où

$$C_r = \frac{12 \times (630 + 816,74)}{0.85} = 20424,56 \text{ kg.}$$
 avec : 0,85 coefficient de câblage.

La norme **NFP82-210** impose un rapport $\frac{D}{d} > 40$. (On prend $\frac{D}{d} = 45$.)

Avec:

D: Diamètre de poulies de monflage = 450 mm.

$$d$$
: Diamètre du câble. $\left(d = \frac{D}{45} = 10 \text{ mm}\right)$

D'après le tableau des ascenseurs et montes charges : d = 9.45 mm.

Ayant les caractéristiques suivantes :

- La charge admissible totale = 4650 kg...
- Masse linéaire $0,293 \, kg/m$

(1)
$$\Rightarrow n = \frac{C_r}{C_{r_o} \times m} = \frac{20424,56}{4650.2} = 2,2$$

Soit n = 3 câbles.

Pour compenser les efforts de torsion des câbles, on prévoit en général un nombre pair.

On prend donc n = 4.

• Masse des câbles : M_{o}

$$M_9 = 0.293 \times 4 \times 33.74 = 39.54 \text{ kg}.$$

• Charge permanente totale : G

$$G = P_m + P_P + P_{c\hat{a}ble} + P_{(treuil + moteur)}$$

$$G = 816,74 + 1131,74 + 39,54 + 1200 = 3188,02 \ kg.$$

$$Q = 630 \ kg$$
On a :
$$\begin{cases} E.L.U : q_u = 1,35G + 1,5Q = 5248,827 \ kg \\ E.L.S : q_{ser} = G + Q = 3818,02 \ kg \end{cases}$$

4.3.4) Vérification de la dalle vis-à-vis le poinçonnement :

La dalle de l'ascenseur risque de se poinçonner à cause de la force concentrée appliquée par l'un des appuis de moteur (4 appuis).

Chaque appui reçoit :
$$\begin{cases} q_{au} = \frac{q_u}{4} = 1312,2 \ kg. \\ q_{aser} = \frac{q_{ser}}{4} = 954,505 \ kg. \end{cases}$$

Cette charge doit être inférieure ou égale à : $q_u \le 0.045 U_C \cdot h \cdot \frac{f_{C28}}{\gamma_h}$

Avec:

U_C: Périmètre de conteur.

h : Épaisseur de la dalle.

$$U_C = 2 \times (u + v)$$

Où:

$$u = u_0 + h + h_t$$
 avec $u_0 = v_0 = 10 \text{ cm}$. et h_t : épaisseur de revêtement.

Si on néglige les revêtements;

$$v = u = 10 + 15 = 25$$
 cm.

Donc
$$U_c = 2 \times (25 + 25) = 25 \text{ cm}.$$

$$\overline{Q}_u = 0.045 \times 100 \times 15 \times \frac{25}{1.5} \times 100 = 112.5 \text{ kn}.$$

$$q_u = 13,122 \text{ kn} < \overline{Q} = 112,5 \text{ kn}.$$
 Condition vérifiée.

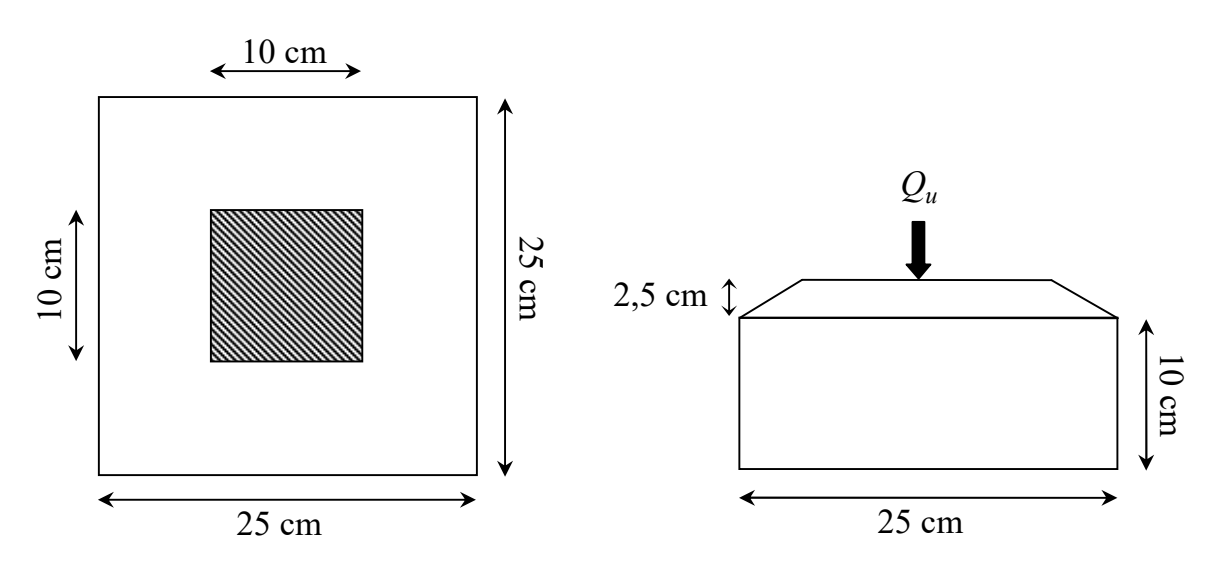


Figure (4.7): Schéma de l'appui du moteur de l'ascenseur.

4.3.5) Calcul des sollicitations à ELU:

Sous charge concentrée :

D'après les abaques de **PIGEAUD**, on peut déterminer les moments dus aux charges localisées sur quatre côtés par un mètre linéaire comme ce suit :

$$M_x = (M_1 + \upsilon M_2) \cdot P'$$

$$M_v = (M_2 + \upsilon M_2) \cdot P'$$

Tel que:

 $\upsilon : \text{Coefficient du poison } \begin{cases} \upsilon = 0 & \textit{pour l'E.L.U} \\ \upsilon = 0,2 & \textit{pour l'E.L.S} \end{cases}$

P': La force appliquée sur la surface considérée.

$$E.L.U : \begin{cases} M_x^u = P_u' \cdot M_1 \\ M_y^u = P_u' \cdot M_2 \end{cases}$$

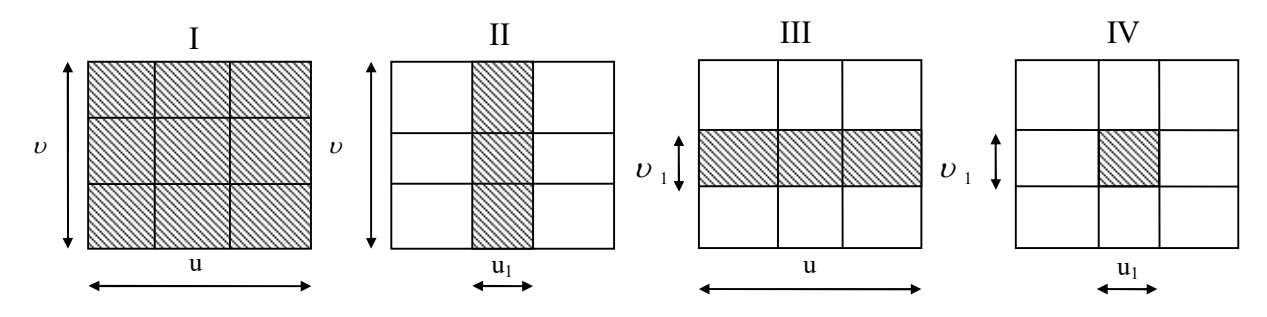


Figure (4.8): Charge des panneaux.

$$\rho = \frac{L_x}{L_y} = \frac{1.91}{2.25} = 0.849$$

$$P = \frac{13122}{0.25^{-2}} = 209952$$
 N / m

Rectangle	μ (m)	(m)	$\frac{\mu}{l_x}$	$\frac{\mathrm{v}}{l_y}$	<i>M</i> ₁ (<i>N.m</i>)	M_2 $(N.m)$	$\binom{S}{m^2}$	$P' = P \cdot s $ (N)	M_x $(N.m)$	M_y $(N.m)$
I	0,70	0,70	0,366	0,311	0,133	0,115	0,49	102876,48	13682,572	11830,795
II	0,70	0,20	0,366	0,088	0,142	0,145	0,14	29393,28	4173,8458	4262,0256
III	0,20	0,70	0,104	0,311	0,178	0,141	0,14	29393,28	5232,0038	4144,4525
IV	0,20	0,20	0,104	0,088	0,21	0,198	0,04	8398,08	1763,5968	1662,8198

Tableau (4.5): Tableau récapitulatif des sollicitations à E.L.U.

• Les moments seront :

$$\begin{cases} M_{xc} = M_{xI} - M_{xII} - M_{xIII} + M_{xIV} \\ M_{yc} = M_{yI} - M_{yII} - M_{yIII} + M_{yIV} \\ M_{x}^{c} = 13682,572 - 4173,8458 - 5232,0038 + 1763,5968 = 6040,319 \ N.m \\ M_{y}^{c} = 11830,795 - 4262,0256 - 4144,4525 + 1662,8198 = 5087,137 \ N.m \end{cases}$$

Sous charge répartie :

4.3.6) Évaluation des moments :

$$\begin{cases} M_x = \mu_x \cdot q \cdot l_u^2 \\ M_y = \mu_y \cdot M_x \end{cases} \text{ Avec } \begin{cases} \mu_{xu} = 0,0506 \\ \mu_{xs} = 0,0576 \end{cases} \text{ et } \begin{cases} \mu_{yu} = 0,6884 \\ \mu_{ys} = 0,7794 \end{cases}$$

► E.L.U:

$$\begin{cases} M_{xr} = 1211,39 \ N \cdot m \\ M_{yr} = 833,93 \ N \cdot m \end{cases}$$

E.L.S:
$$q_s = G + P \Rightarrow q_s = 475 \text{ kg} \cdot \text{m}$$

$$\begin{cases} M_{xr} = 99,81 \, kg \cdot m \\ M_{yr} = 77,79 \, kg \cdot m \end{cases}$$

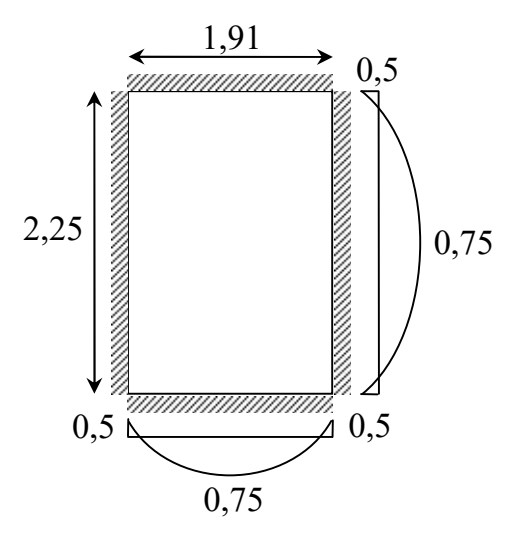


Figure (4.9): Panneau de la dalle

Les moments appliqués au centre de la plaque seront donc : M = Mc + Mr

> **E.L.U**:
$$\Rightarrow \begin{cases} M_x = 7251,7162N \cdot m \\ M_y = 5921,0628 N \cdot m \end{cases}$$

Les moments en appui et en travée valent alors :

$$M_t = 0.75 M$$
 ; $M_a = 0.5 M$

• En travée :

$$\begin{cases} M_{tx} = 0.75 \cdot M = 5438,79 \ N \cdot m \\ M_{ty} = 0.75 \cdot M = 4440,79 \ N \cdot m \end{cases}$$

• En appui :

$$\begin{cases} M_{ax} = 0.5 \cdot M = 3625,86N \cdot m \\ M_{ay} = 0.5 \cdot M = 2960,53 \ N \cdot m \end{cases}$$

4.3.7) Détermination des ferraillages :

- \Leftrightarrow Sens x x :
- > E.L.U:
- En travée :

$$\mu = \frac{M_x^u}{\sigma_{bc} \cdot b \cdot d^2} = \frac{5438,79}{14,2 \times 100 \times (13,5)^2} = 0,021 < \mu_l = 0,392 \implies \exists A_s'$$

$$\alpha = 0,026 \quad ; \quad \beta = 0,989.$$

$$A_s = \frac{M_{xt}^u}{\sigma_{bc} \cdot \beta \cdot d} = \frac{5438,79}{13,5 \times 0,989 \times 348} = 1,17 \text{ cm}^2$$

• Condition de la non fragilité :

$$A_{\min} = 0.23 \cdot b \cdot d \cdot \frac{f_{t28}}{f_e} = 1.63 \text{ cm}^2/\text{ml}.$$

$$A = \max(A_{cal}, A_{\min}) = 1,63 \text{ cm}^2/\text{ml}.$$

Choix:
$$4T12/ml$$
 $A = 4,52 cm^2/ml$

• En appui:

$$\mu = \frac{M_{xa}^{u}}{\sigma_{bc} \cdot b \cdot d^{2}} = \frac{3625,85}{14,2 \times 100 \times (13,5)^{2}} = 0,014 < \mu_{l} = 0,392 \implies \exists A_{s}'$$

$$\alpha = 0,017 \quad ; \quad \beta = 0,992.$$

$$A_{s} = \frac{M_{xa}^{u}}{\sigma_{bc} \cdot \beta \cdot d} = \frac{3625,85}{13,5 \times 0,992 \times 348} = 0,77 \text{ cm}^{2}$$

• Condition de la non fragilité :

$$A_{\min} = 1,63 \ cm^2$$
.

$$A = \max(A_{cal}, A_{\min}) = 1,63 \text{ cm}^2/\text{ml}.$$

$$\underline{\text{Choix}}: 4\text{T}12/\text{ml} \qquad A = 4,52 \text{ } cm^2/ml$$

Chapitre IV: ❖ Sens y - y:

➤ E.L.U:

• En travée:

$$\mu = \frac{M_x^u}{\sigma_{bc} \cdot b \cdot d^2} = \frac{4440,79}{14,2 \times 100 \times (13,5)^2} = 0,017 < \mu_l = 0,392 \implies \exists A_s'$$

$$\alpha = 0,021 \quad ; \quad \beta = 0,991.$$

$$A_s = \frac{M_{xt}^u}{\sigma_{bc} \cdot \beta \cdot d} = \frac{4440,79}{13.5 \times 0.989 \times 348} = 0,95 \text{ cm}^2$$

• Condition de la non fragilité :

$$A_{\min} = 0.23 \cdot b \cdot d \cdot \frac{f_{t28}}{f_e} = 1.63 \text{ cm}^2/ml.$$

$$A = \max(A_{cal}, A_{\min}) = 1.63 \text{ cm}^2/ml.$$
Choix: $4\text{T}12/\text{ml} \longleftrightarrow A = 4.52 \text{ cm}^2/ml$

• En appui:

$$\mu = \frac{M_{xa}^{u}}{\sigma_{bc} \cdot b \cdot d^{2}} = \frac{2960,57}{14,2 \times 100 \times (13,5)^{2}} 3 = 0,011 < \mu_{l} = 0,392 \implies \mathbb{Z} A_{s}'$$

$$\alpha = 0,014 \quad ; \quad \beta = 0,994.$$

$$A_{s} = \frac{M_{xa}^{u}}{\sigma_{bc} \cdot \beta \cdot d} = \frac{2960,53}{13,5 \times 0,994 \times 348} = 0,63 \text{ cm}^{2}$$

• Condition de la non fragilité :

$$A_{\min} = 1,63 \text{ cm}^2.$$
 $A = \max(A_{cal}, A_{\min}) = 1,63 \text{ cm}^2/ml.$
Choix: $4T12/ml \longleftrightarrow A = 4,52 \text{ cm}^2/ml$

4.3.8) Vérification de l'effort tranchant :

❖ Sens x-x:

$$T_{\text{max}} = Q_u + \frac{q_u \cdot L_x}{2} = 1311,19 + \frac{6562,5 \times 1,91}{2} = 7579,088 \text{ N.}$$

$$\tau = \frac{T_{\text{max}}}{b \cdot d} = \frac{7579,088}{1000 \times 135} = 0,056 \text{ MPa.}$$

$$\tau_l = \min\left(0,2\frac{f_{c28}}{\gamma_b}, 5 \text{ MPa}\right) = \min\left(3,33;5\right) \text{ MPa.}$$

$$\tau_1 = 3.33 \, MPa > \tau = 0.056 \, MPa$$
........................ Condition vérifiée.

❖ Sens y-y:

$$T_{\text{max}} = Q_u + q_u \frac{L_y}{2} = 1311,19 + \frac{6562,5 \times 2,25}{2} = 8694,713 \text{ N}.$$

$$\tau = \frac{T_{\text{max}}}{b \cdot d} = \frac{8694,713}{1000 \times 135} = 0,064 \text{ MPa}.$$

$$\tau_l = 3,33 \, MPa > \tau = 0,064 \, MPa$$
..... Condition vérifiée.

4.3.9) Calcul des sollicitations à E.L.S:

Sous charge concentrée :

Comme
$$v = 0.2$$

$$\begin{cases} M_x^{ser} = P' \cdot (M_1 + 0.2 \cdot M_2) \\ M_y^{ser} = P' \cdot (M_2 + 0.2 \cdot M_2) \end{cases}$$
$$\rho = \frac{q_{ser}}{S} = \frac{954,505}{0.25^2} = 15272,1 \text{ N/ml}$$

Rectangle	μ	υ	μ	υ	M_1	M_2	S	$P' = P \cdot s$	M_{x}	M_{ν}
	(m)	(m)	$\overline{l_x}$	$\overline{l_y}$	(<i>N.m</i>)	(N.m)	(m^2)	(N)	(N.m)	(N.m)
I	0,70	0,70	0,366	0,311	0,133	0,115	0,490	7483,319	1167,398	1032,698
II	0,70	0,20	0,366	0,089	0,142	0,145	0,140	2138,091	365,614	372,028
III	0,20	0,70	0,105	0,311	0,178	0,141	0,140	2138,091	440,874	361,765
IV	0,20	0,20	0,105	0,089	0,210	0,198	0,040	610,883	152,476	145,146

Tableau (4.6): Tableau récapitulatif des sollicitations à E.L.S.

$$M_x^c = 1167,398 - 365,614 - 440,874 + 152,476 = 513,386 \ N.m$$

 $M_y^c = 1032,698 - 372,028 - 361,765 + 145,146 = 444,051 \ N.m$

	Sei	ns x	Sens y			
	Travée	Appui	Travée	Appui		
$M_u(N \cdot m)$	5438,79	3625,86	4440,79	2960,53		
$M_{ser}(N \cdot m)$	459,89	306,59	391,38	260,92		
$\gamma = \frac{M_u}{M_{ser}}$	11,83	11,83	11,35	11,35		
$\frac{\gamma - 1}{2} + \frac{f_{c28}}{100}$	5,66	5,66	5,42	5,42		
α	0,026	0,017	0,021	0,014		

Tableau (4.7): Tableau récapitulatif de vérification des contraintes à E.L.S.

*Chapitre IV :*D'après le tableau ci-dessus on a :

$$\frac{\gamma - 1}{2} + \frac{f_{c28}}{100} > \alpha \quad \Rightarrow \quad \sigma_b < \overline{\sigma}_b$$

Donc les armatures calculées à E.L.U convient à E.L.S.

Les armatures transversales ne sont pas nécessaires.

4.4) Étude de l'acrotère :

4.4.1) Introduction:

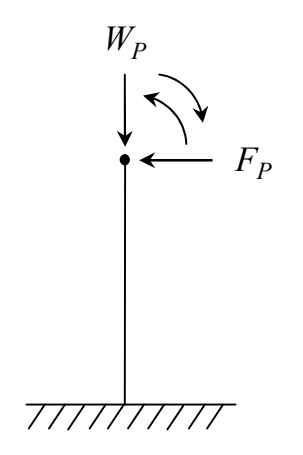
L'acrotère est un mur en béton armé disposé au niveau terrasse inaccessible, son rôle est de protéger les constituants du terrasse et comme un garde-corps.

L'acrotère est considéré comme console encastrée sur le plancher.

Géométrie:

Hauteur h = 100 cm.

Épaisseur $e = 10 \, cm$.



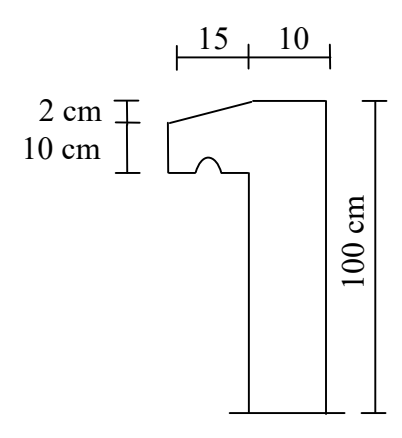


Figure (4.10) : Schéma statique

Figure (4.11): Coupe verticale sur l'acrotère

Selon R.P.A on a : $F_P = 4 \cdot A \cdot C_P \cdot W_P$

Avec:

A : Coefficient d'accélération de la zone (A = 0.15 Zone II_a).

 C_p : Facteur de forces horizontales $C_P = 0.8$.

 W_P : L'effort normal dû au du poids propre.

$$W_P = \gamma_b \cdot S_{surface}$$
.

$$W_P = 25 \times \left[(1 \times 0.1) + \left(\frac{0.02 \times 0.15}{2} \right) + (0.15 \times 0.1) \right] = 2.9125 \, KN$$

$$F_p = 1,398 \ KN$$

Chapitre IV: 4.4.2) Calcul des ferraillages :

➤ E.L.U:

$$M_u = 1,50 \cdot F_P \cdot L = 1,5.1,398.1 = 2,097 \text{ KN} \cdot m.$$

 $N_u = 1,35 \cdot W_P = 1,35.2,9125 = 3,93 \text{ KN}.$
 $e_1 = \frac{M_u}{N_u} = \frac{2,097}{3,93} = 0,533m \Rightarrow e_1 = 53cm$

 $e_1 = 53cm > \frac{H}{6} = 16,66cm \Rightarrow$ Donc la section est partiellement comprimée; ainsi le calcul se fait à la flexion simple avec un moment fictif M_f .

• L'excentricité total de calcul :

$$e = e_a + e_1 + e_2$$

$$e_a=Max(2cm, \frac{l}{250})$$

$$= Max(2cm, \frac{100}{250}) \Rightarrow e_a=2cm.$$

$$e_2 = (3x \frac{Lf^2}{10000xh})(2+a.\phi)$$
 ; $l_f = 2.h_0 = 2.1 = 2m$

car : G ne crée aucun moment.

 $\varphi=2$

donc:
$$e_2 = (3x \frac{(2)^2}{10000x0,1})x2 \implies e_2 = 0,024 \text{ m}$$

Alors:
$$e=e_a+e_1+e_2$$

=2+53+2.4 \Rightarrow **e=57 cm**

$$M_f = N_u \left(e_o + \frac{h}{2} - c \right) = 3,93 \left(0,57 + \frac{0,1}{2} - 0,01 \right) = 2,43 \text{ KN} \cdot \text{m}.$$

c: L'enrobage = 1 cn

$$u = \frac{M_f}{\sigma_b \times b \times d^2} = \frac{2,43.10^3}{14,2.100.9^2} = 0,021$$

$$\sigma_b = 14,2 MPa$$
.

$$b = 100 cm$$
.

$$d = 0.9 h = 9 cm.$$

$$\mu < \mu_L \implies \mathbb{Z} A'_s$$
.

$$\alpha = (1 - \sqrt{1 - 2\mu}) \times 1,25 = 0,026$$

$$\beta = 1 - 0.4 \alpha = 0.989$$

$$A_s = \frac{M_f}{\sigma_s \times \beta \times d} = \frac{2,43.10^3}{348_s \times 0,989 \times 9} = 0,78 \text{ cm}^2/\text{ml}.$$

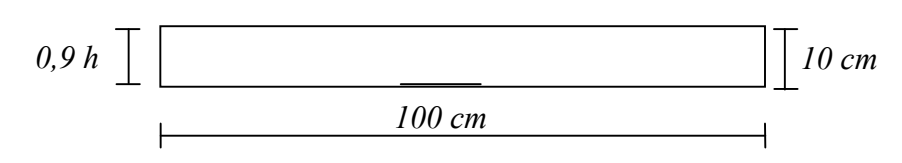


Figure (4.12): Section de calcul.

Chapitre IV:
 Condition de la non fragilité: Cette condition consiste à déterminer la section minimale.

$$A_{\min} = 0.23 \times b \times d \times \frac{f_{c28}}{f_e} = 1.09.$$

$$A_{\min} > A_s$$
.

> E.L.S:

$$M_{ser} = F_p \times L = 1,398.1 = 1,398 \text{ KN}.$$

 $N_{ser} = 1,91 \text{ KN} = W_p.$

• Excentricité : $e = 0.48 \ m \ge \frac{h}{6} = 0.16 \ m$

Section partiellement comprimée, le calcul se fera à la flexion simple avec un moment fictif $M_{f_{ser}}$. L'acrotère est exposée aux charges climatique ce qui implique la fissuration est préjudiciable.

• Sollicitation réelle :

$$\overline{\sigma}_{s} = \min \left\{ \frac{2}{3} f_{e}, 110 \sqrt{n \cdot f_{ij}} \right\}$$

$$\begin{cases} n = 1,6 \\ f_{ij} = f_{t28} = 2,1 MPa \\ \overline{\sigma}_{s} = 202 MPa \end{cases}$$

$$M_{f_{ser}} = N_{ser} \left(e + \frac{h}{2} - c \right)$$

$$M_{f_{ser}} = 2,9125 \left(0,48 + \frac{0,1}{2} - 0,01 \right) = 1,5145KN \cdot m$$

$$\overline{\sigma}_{b} = 0.6 \ f_{c28} = 15 \ MPa$$

$$\mu = \frac{M_{f_{ser}}}{\sigma_{b} \times b \times d^{2}} = \frac{1.5145 \times 10^{3}}{202 \times 100 \times 9^{2}} = 0.00092 < \mu_{\ell}$$

$$\sigma_{bc} = \frac{\overline{\sigma}_{s}}{k}$$

$$k = \frac{15 \times (1 - \alpha)}{\alpha} = 80.5$$

$$\alpha = 1 + 2\sqrt{\lambda} \cdot \cos\left(240 + \frac{\varphi}{3}\right) = 0.157^{\circ}$$

$$\cos \varphi = \lambda^{-\frac{3}{2}}$$

$$\cos \varphi = \lambda^{-2}$$
$$\lambda = 1 + 30 \cdot u_1 = 1.0$$

$$\lambda = 1 + 30 \cdot u_1 = 1,027$$

$$\sigma_{bc} = 2,5 MPa$$

$$A_{ser} = \frac{M_{ser}}{\sigma_s \times \beta \times d} = \frac{1,398 \times 10^3}{202 \times 0,99 \times 9} = 0,76 \text{ cm}^2$$

$$A = \max(A_s; A_{\min}; A_{ser}) = \max(0.75; 1.09; 0.76)$$

On adopte une section $A = 1.09 \text{ cm}^2$

Choix d'armature longitudinale 4T8 esp 25 cm \longrightarrow $A = 2.01 cm^2$

Chapitre IV :• Armature de répartition

$$A_r = \frac{A}{4} = 0,50 \text{ cm}^2$$

Choix: 4T8 esp 20 cm

4.4.3) Vérification de l'effort tranchant :

$$T_{\text{max}} = 1.5 F_p = 1.5 \times 1.398 = 2.097 \text{ KN}.$$

$$\tau_u^{\text{max}} = \frac{T_{\text{max}}}{h \cdot d} = \frac{2097}{1000 \cdot 90} = 0,0233$$

$$\overline{\sigma}_u = \min\left(\frac{0.15 \times f_{c28}}{\gamma_b}; 4 MPa\right) = \min(2.5; 4)$$

$$\tau_u^{\text{max}} = 0,00233 \; MPa \le \overline{\tau}_u = 4 \; MPa$$
 — Condition vérifiée

Les armatures transversales ne sont pas nécessaires.

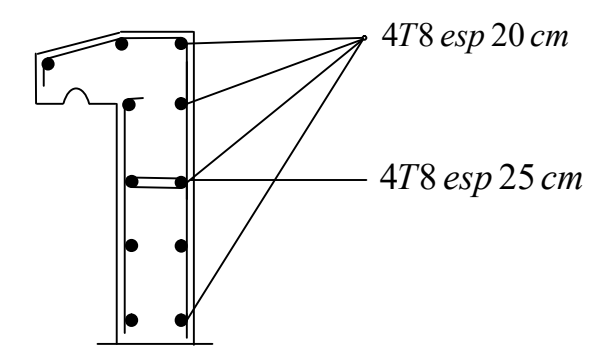


Figure (4.13) : Schéma de ferraillage de l'acrotère

Chapitre V

Etude sismigue

Chapitre V: Étude sismique

5.1) Introduction:

Le séisme est un phénomène naturel caractérisé par des secousses qui se propagent sous forme d'ondes dites : « ondes sismiques » engendrant à leur tour un mouvement du sol.

Toute construction en béton doit être conçue de façon à résister au séisme, il est donc important d'étudier son comportement vis à vis des actions sismiques.

En présence de ce dernier, le bâtiment aura un comportement élastique et il sera considéré comme un système à plusieurs degrés de liberté.

D'après le règlement parasismique Algérien (RPA99 modifié 2003) il existe deux méthodes de calculs :

5.1.1) Méthode statique équivalente:

Les forces réelles dynamiques qui se développent dans la construction sont remplacées par un système des forces statiques fictives dont les effets sont considérés équivalents à ceux de l'action sismique.

Le RPA99/version2003 permet sous certaines conditions de faire les calculs par cette méthode, qui consiste à considérer la structure comme soumise à un effort tranchant à sa base donné par la formule suivante :

$$V = \frac{A \times D \times Q}{R} W$$

Avec:

A : Coefficient d'accélération de zone

D: Facteur d'amplification dynamique moyen

Q : Facteur de qualité.

R : Coefficient de comportement

W: Poids total de la structure

5.1.2) Méthode dynamique:

La méthode dynamique modale spectrale peut être utilisée dans tous les cas, et en particulier dans le cas où la méthode statique équivalent n'est permise.

Le terme dynamique peut se définir simplement comme variable dans le temps (l'intensité, la direction et point d'application), de même la réponse de la structure à une charge dynamique ; c'est-à-dire les déplacements, les efforts et les contraintes qui en résultent également variables dans le temps.

• Conclusion:

La méthode statique équivalente n'est pas applicable, dans ce cas on va appliquer la méthode dynamique (le calcul se fait par le logiciel « Robot»).

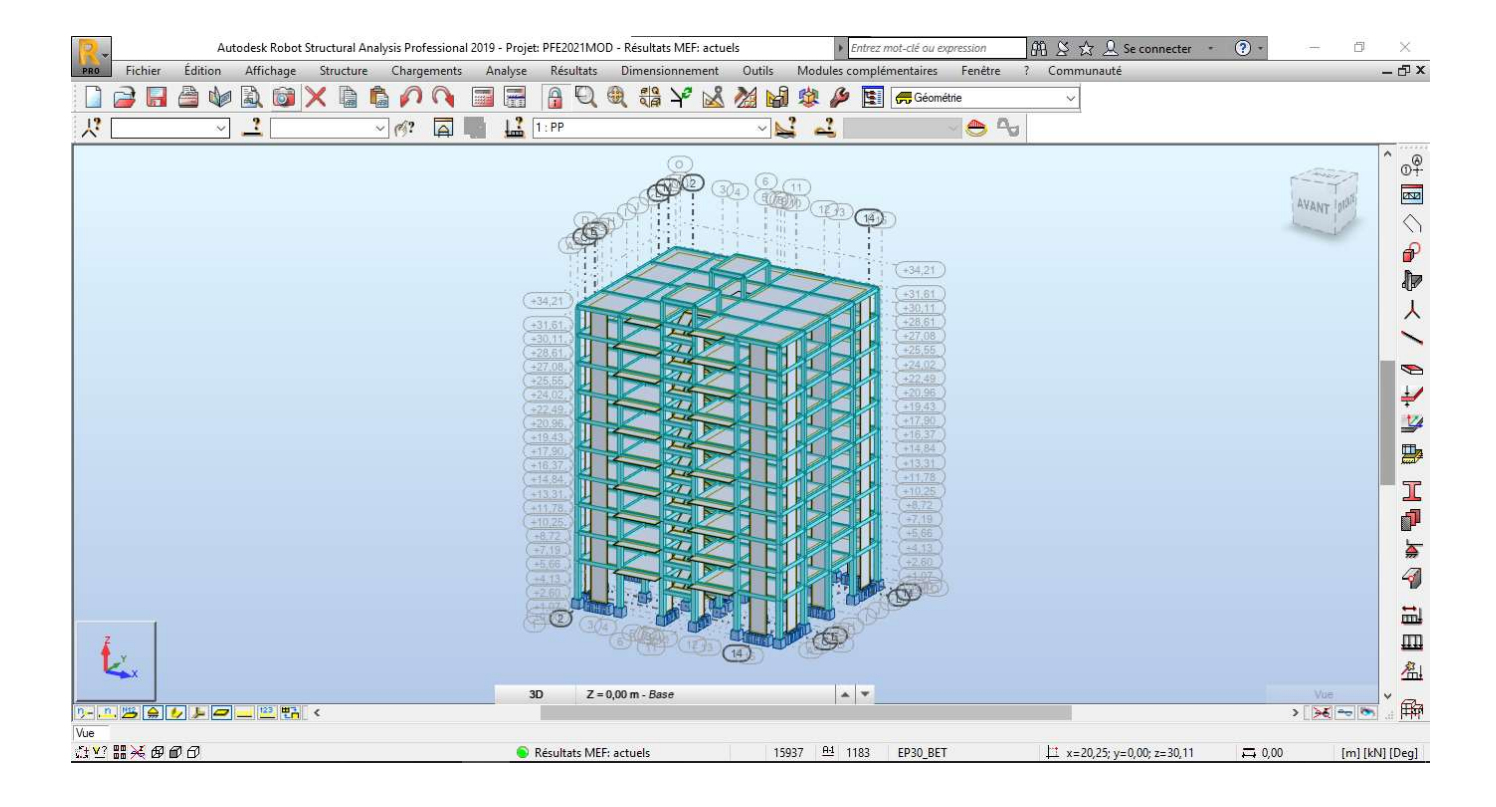
• Robot:

Robot est un logiciel de calcul, d'analyse et de conception d'une variété très large de structures.

Ce système qui est basé sur la méthode des éléments finis, possède plusieurs caractéristiques qui facilitent le travail de l'ingénieur :

- Il donne plusieurs possibilités de création du modèle ;
- Il calcul automatiquement le centre de gravité et le centre d'inertie de chaque niveau ainsi que le poids total de la structure ;
- Contient une instruction qui détermine les erreurs et spécifie leur position « vérifier structure» ;

Il permet un affichage des résultats sous forme de tableaux et graphique bien détaillés comme il donne le maximum des efforts internes (moments fléchissant M, efforts tranchants T, efforts normales, contraintes σ ...



5.2) définition des valeurs des coefficients:

a) coefficient d'accélération de zone A:

Le facteur A dépend des groupes d'usages de la construction et de la zone sismique. Notre bâtiment est implanté dans la (zone II a) et appartient au groupe d'usage 2.

b) coefficient de comportement global de la structure R:

il est en fonction du système de contreventement

R= 4..... (Tableau 4-3 RPA 99 modifié 2003)

c) facteur de qualité Q:

• **Q**: Facteur de qualité (Article 4-4 R.P.A 99) : $Q = 1 + \sum_{1}^{6} p_q$

 P_a : Pénalité retenue selon le critère de qualité q.

Critère q		P_q	Bloc
	observé	N/observé	S/sol+R+8
Condition minimale sur les files de contreventement	0	0,05	0,05
Redondance en plan	0	0,05	0,05
Régularité en plan	0	0,05	0,05
Régularité en élévation	0	0,05	0,00
Control de la qualité de matériau	0	0,05	0,05
Control de la qualité d'exécution	0	0,10	0,10
$Q = 1 + \sum_{1}^{6} p_q =$			1,30

Tableau (5.1): Tableau valeurs des pénalités.

d) facteur d'amortissement critique:

Pourcentage d'amortissement critique en fonction des matériaux constitutifs du type de structure et de l'importance de remplissage voile en béton armé

$$\xi = 10\%$$
 (tableau 4-2 RPA99 modifié 2003)

e) la période fondamentale T:

$$T = Ct. H_N^{3/4}$$
 (4-6 RPA99 modifié 2003)

H: hauteur totale de la structure.

Ct : coefficient en fonction du système de contreventement et du type de remplissage

Ct = 0,05 (contreventement par des voiles Tableau 4-6 RPA 99 modifié 2003)

$$H = 34,21 \text{ m}$$

$$T = 0.05 \times (34.21)^{3/4} = 0.71s$$

f) facteur d'amplification dynamique moyen D:

Le facteur "D" est en fonction de la catégorie de site "S", de facteur de correction d'amortissement " η " et de période fondamentale de la structure "T".

$$D = \begin{cases} 2.5 \times \eta & 0 \le T \le T_2 \\ 2.5 \times \eta \times \left(\frac{T_2}{T}\right)^{\frac{2}{3}} & T_2 \le T \le 3.0s \\ 2.5 \times \eta \left(\frac{T_2}{30}\right)^{\frac{2}{3}} \times \left(\frac{30}{T}\right)^{\frac{5}{3}} & T \ge 3.0s \end{cases}$$
 (4-6 RPA99 modifié 2003)

Avec:
$$\eta = \sqrt{\frac{7}{(2+\zeta)}} \ge 0.7$$

$$=> \xi = 10\%$$

=>
$$\eta = \sqrt{7/(2+10)} = 0.764 \ge 0.7...$$
Condition vérifiée

Site 3 (site meuble)
$$\Rightarrow$$

$$\begin{cases} T_1 = 0.15s \\ T_2 = 0.5s \end{cases}$$
 (tableau 4-7 R.P.A.99

$$T_2 = 0.5s \le T = 0.71s \le 3s \Longrightarrow D = 2.5\eta (T_2/T)^{2/3} \Longrightarrow D = 1.515$$

g) Calcul du poids de la structure W:

$$W = \sum W_{Gi} + \beta \sum W_{Qi}$$

[RPA99version2003/formule 4.5]

avec:

 W_{Gi} : Poids du aux charge permanentes;

 W_{Oi} : Poids du aux charges d'exploitation;

 $\sum W_{GI}$: Résultante des réactions verticales dues aux charges permanentes

 $\sum W_{Qi}$; Résultante des réactions verticales dues aux charges d'exploitation

Remarque : Le poids total de la structure est donné par le logiciel Robot

$$W=27057,74 \text{ KN}.$$

Donc:

$$V = \frac{0,15 \times 1,515 \times 1,25}{4} \times 27057,74 = 1921,52KN$$
$$80\%V = 1537,22KN$$

• la résultante des forces sismiques :

Après l'interprétation des résultats du fichier Robot, la résultante des forces sismiques à la base est égale à :

$$V = 3011,26KN > 80\%V = >$$

Condition vérifiée.

5.3) Nombre de modes à considérer [RPA99version 2003/4.3.4] :

Pour les structures représentées par des modèles plans dans 2 directions orthogonales, le nombre de modes de vibration à retenir dans chacune des 2 directions d'excitation doit être tel que la somme des masses modales effectives supérieur à 90% au moins de la masse totale de la structure (le nombre minimum de modes à retenir est de 03 dans chaque direction considérée).

Dans notre cas, la condition décrite ci-dessus n'est pas satisfaite pour 3 modes.

=> le nombre minimal de modes (K) à retenir doit être tel que :

 $K \ge 3\sqrt{N}$

Avec: N: le nombre de niveaux au dessus du sol (N = 9 niveaux)

 $=> K \ge 3\sqrt{9} => K \ge 9 \mod es$ alors on prend 10 modes.

Cas/	Mode	Frequence		Masses Cumulées UX [%]	ımulées UX Cumulées UY		Masse Modale UY [%]	
4/	1	1,11	0,90	73,98	0,33	73,98	0,33	
4/	2	1,13	0,89	74,28	73,28	0,30	72,96	
4/	3	1,48	0,67	74,30	73,33	0,02	0,04	
4/	4	3,58	0,28	88,31	73,61	14,00	0,28	
4/	5	3,72	0,27	88,60	88,15	0,29	14,54	
4/	6	4,59	0,22	88,66	88,20	0,06	0,05	
4/	7	6,97	0,14	93,59	88,23	4,93	0,04	
4/	8	7,37	0,14	93,62	93,38	0,03	5,15	
4/	9	8,49	0,12	93,74	93,44	0,12	0,06	
4/	10	9,63	0,10	93,88	93,44	0,14	0,00	

Tableau (5.2) : Tableau de résultat dynamique.

5.4) <u>Vérification de la période</u> [RPA99version 2003/4.2.4.4] :

La valeur de (T) calculé à partir de la méthode numérique ne doit pas dépasser celle estimée à partir des formules empiriques appropriées de plus de 30%.

$$T = max \ (T_{mode1}; \ T_{mode2} \ ; \ T_{mode3}) = \ max \ (0.90 \ ; \ 0.89 \ ; \ 0.67) \ sec$$

T=0.9 sec.

$$T_{dyn} = 0.90s < 1.3 \times T_{amp} = 1.3 \times 0.71s = 0.92s => Condition Verifier$$

5.5) Calcul et vérification des déplacements :

D'après le RPA 99 version 2003 [art.4.4.3] le déplacement horizontale de chaque niveau

(K) de la structure est calculé comme suit : $\delta_K = R \times \delta_{eK}$

Avec:

 δ_k : déplacement horizontal au niveau k.

 δ_{ek} : déplacement horizontal dû aux forces sismiques obtenu par Robot.

R : coefficient de comportement de la structure.

Le déplacement horizontal relatif au niveau (K) par rapport au niveau (K-1) est égal :

$$\Delta K = \delta_K - \delta_{(K-1)}$$

• Déplacement relatif admissible (toléré) : [RPA99version2003/5.10]

$$\Delta_{radm} = 1\% h_e$$

h_e: hauteur d'étage

✓ Exemple de calcul (Niveau : 34,21m – 31,61m)

Suivant X-X:
$$\delta_{ek} = 2.2$$
cm

$$\delta_{e(k-1)} = 2,1$$
cm

$$\Rightarrow \Delta K = \delta_{eK} - \delta_{e(K-1)} = 0.4cm$$

Suivant Y-Y: $\delta_{ek} = 2.2 \text{cm}$

$$\delta_{e(k-1)}$$
= 2,1cm

$$\Rightarrow \Delta K = \delta_{eK} - \delta_{e(K-1)} = 0.4cm$$

• Vérification :

$$\Delta_{radm} = 1\% h_e = \frac{300}{100} = 3cm$$

$$\Delta K_x = 0.4cm < \Delta_{radm}$$

$$\Delta K_y = 0.4cm < \Delta_{radm}$$

❖ Poutre principale (30x45)cm²:

> Note de calcul:

1 Niveau:

• Nom : Niveau(+31,61 m)

Cote de niveau : ---Tenue au feu : 0 h

Fissuration : peu préjudiciableMilieu : non agressif

2 Poutre: Poutre734...737 Nombre: 1

2.1 Caractéristiques des matériaux :

• Béton : fc28 = 25,00 (MPa) Densité = 2501,36 (kG/m3)

Aciers longitudinaux : type HA 400 fe = 400,00 (MPa)
 Aciers transversaux : type RL 235 fe = 235,00 (MPa)

2.2 Géométrie :

2.2.1 Désignation Position APG L APD (m) (m) (m)

P1 Travée 0,35 4,65 0,35

Section de 0,00 à 4,65 (m) 30,0 x 45,0 (cm)

Pas de plancher gauche Pas de plancher droit

2.2.2 Désignation Position APG L APD

(m) (m) (m)

P2 Travée 0,35 4,65 0,35

Section de 0,00 à 4,65 (m) 30,0 x 45,0 (cm)

Pas de plancher gauche Pas de plancher droit

2.2.3 Désignation Position APG L APD

(m) (m) (m) P3 Travée 0,35 4,65 0,35

Section de 0,00 à 4,65 (m) 30,0 x 45,0 (cm)

Pas de plancher gauche
Pas de plancher droit

2.2.4 Désignation Position APG L APD (m) (m) (m) P4 Travée 0,35 4,65 0,35

Section de 0,00 à 4,65 (m) 30,0 x 45,0 (cm) Pas de plancher gauche Pas de plancher droit

2.3 Hypothèses de calcul:

Règlement de la combinaison
CM66 Avril 2000
Calculs suivant
BAEL 91 mod. 99

Dispositions sismiques : ouiPoutres préfabriquées : non

• Enrobage : Aciers inférieurs c = 2,4 (cm)

: latéral c1 = 2,4 (cm)

: supérieur c2 = 2,4 (cm)

Tenue au feu : forfaitaire

• Coefficient de redistribution des moments sur appui : 0,80

• Ancrage du ferraillage inférieur :

appuis de rive (gauche) : Auto
appuis de rive (droite) : Auto
appuis intermédiaires (gauche) : Auto
appuis intermédiaires (droite) : Auto

2.4 Chargements:

2.5 Résultats théoriques :

2.5.1 Sollicitations ELU

Désignation	Mtmax. (kN*m)	Mtmin. (kN*m)	Mg (kN*m)	Md (kN*m)	Vg (kN)	Vd (kN)
P1	74,64	0,00	-76,53	-47,01	103,18	-100,24
P2	74,77	0,00	-55,25	-78,67	101,44	-109,90
P3	75,77	0,00	-80,56	-54,35	110,98	-102,24
P4	80 02	0.00	-45 65	-74 93	103 27	-107 35

2.5.2 Sollicitations ELS

Désignation	Mtmax.	Mtmin.	Mg	Md	Vg	Vd
	(kN*m)	(kN*m)	(kN*m)	(kN*m)	(kN)	(kN)
P1	54,67	0,00	-55,68	-34,40	75,36	-73,38
P2	54,80	0,00	-40,33	-57,24	74,19	-80,32
P3	55,52	0,00	-58,58	-39,70	81,09	-74,78
P4	58,56	0,00	-33,39	-54,55	75,57	-78,38

2.5.3 Sollicitations ELU - combinaison rare

Désignation	Mtmax.	Mtmin.	Mg	Md	Vg	Vd
-	(kN*m)	(kN*m)	(kN*m)	(kN*m)	(kN)	(kN)
P1	59,07	-6,95	-73,32	-46,76	83,53	-81,67
P2	58,32	-6,86	-60,61	-76,95	81,40	-89,18
P3	59,17	-6,18	-76,74	-58,46	89,85	-81,46
P4	61,71	-4,64	-46,73	-72,95	83,21	-85,87

2.5.4 Sections Théoriques d'Acier

Désignation Travée (cm2)		cm2)	Appui ga	uche (cm2)	Appui droit (cm2)		
P1	inf. 5,60	sup. 0,00	inf. 0,07	sup. 5,75	inf. 0,12	sup. 3,45	
P2	5,61	0,00	0,13	4,08	0,07	5,92	
P3	5,69	0,00	0,07	6,08	0,13	4,01	
P4	6,03	0,00	0,14	3,35	0,09	5,62	

2.5.5 Flèches

 $\begin{array}{lll} Fgi & \text{- flèche due aux charges permanentes totales} \\ Fgv & \text{- flèche de longue durée due aux charges permanentes} \\ Fji & \text{- flèche due aux charges permanentes à la pose des cloisons} \\ Fpi & \text{- flèche due aux charges permanentes et d'exploitation} \\ \Delta Ft & \text{- part de la flèche totale comparable à la flèche admissible} \\ Fadm & \text{- flèche admissible} \\ \end{array}$

Travée	Fgi	Fgv	Fji	Fpi	ΔFt	Fadm
	(cm)	(cm)	(cm)	(cm)	(cm)	(cm)
P1	0,1	0,3	0,0	0,2	0,4	1,0
P2	0,1	0,2	0,0	0,2	0,3	1,0
P3	0,1	0,2	0,0	0,2	0,3	1,0
P4	0,1	0,3	0,0	0,2	0,4	1,0

2.5.6 Contrainte dans la bielle comprimée

Valeur admissible : 13,33 (MPa)

		a/add (m)	σbc A (MPa)	Atheor (cm2)	Ar (cm2)
Travée P1	Appui gauche Vu = 103,18(kN) Bielle inférieure	0,31	2,25	5,05	7,70
Travée P1	Appui droit Vu = 100,24(kN) Bielle inférieure	0,31	2,16	0,00	6,16
Travée P2	Appui gauche Vu = 101,44(kN) Bielle inférieure	0,31	2,18	0,00	6,16
Travée P2	Appui droit Vu = 109,90(kN) Bielle inférieure	0,31	2,36	0,00	8,59

Travée P3	Appui gauche				
	Vu = 110,98(kN) Bielle inférieure	0,31	2,39	0,00	8,59
Travée P3	Appui droit				
	Vu = 102,24(kN) Bielle inférieure	0,31	2,20	0,00	6,16
Travée P4	Appui gauche				
	Vu = 103,27(kN) Bielle inférieure	0,31	2,22	0,00	6,16
Travée P4	Appui droit				
	Vu = 107,35(kN) Bielle inférieure	0,31	2,34	5,25	7,70

.

2.6 Résultats théoriques - détaillés :

2.6.1 P1 : Travée de 0,35 à 5,00 (m)

2.0.1		avee ue	0,55 a v	J,00 (111 <i>)</i>					
	ELU		ELS		ELU - coi				
Abscisse compr.	M max.	M min.	M max.	M min.	M max.	M min.	A chapeau	A travée	Α
(m)	(kN*m)	(kN*m)	(kN*m)	(kN*m)	(kN*m)	(kN*m)	(cm2)	(cm2)	(cm2)
0,35	0,31	-76,53	0,00	-55,68	1,16	-73,32	5,75	0,07	0,00
0,68	3,19	-76,53	0,00	-30,22	11,95	-73,32	5,75	0,74	0,00
1,18	32,21	-30,02	3,47	0,00	34,85	-35,90	2,23	2,31	0,00
1,68	59,22	0,00	31,62	0,00	51,67	-6,95	0,43	4,39	0,00
2,18	72,09	0,00	48,04	0,00	58,06	0,00	0,00	5,40	0,00
2,68	74,64	0,00	54,67	0,00	59,07	0,00	0,00	5,60	0,00
3,18	74,03	0,00	53,04	0,00	58,78	0,00	0,00	5,55	0,00
3,68	67,88	0,00	41,04	0,00	55,19	0,00	0,00	5,07	0,00
4,18	47,30	-11,13	18,09	0,00	41,87	-15,29	0,95	3,47	0,00
4,68	17,80	-47,01	0,00	-11,31	19,08	-46,76	3,44	1,27	0,00
5,00	1,73	-47,01	0,00	-34,40	1,85	-46,76	3,45	0,12	0,00
-,	.,	,	-,	- 1, 1	.,	,	-,	-,	-,
	ELU		ELS		ELU - coi	mb. acc.			
Abscisse	V max.	V red.	V max.	V red.	V max.	V red.			
(m)	(kN)	(kN)	(kN)	(kN)	(kN)	(kN)			
0,35	103,18	105,99	75,36	77,44	83,53	85,61			
0,68	101,73	104,55	74,28	76,37	82,45	84,54			
1,18	79,45	82,26	57,97	60,05	64,99	67,08			
1,68	43,31	46,13	31,57	33,65	37,43	39,51			
2,18	41,08	43,89	29,91	32,00	35,77	37,86			
2,68	3,22	6,03	2,26	4,34	8,39	10,47			
3,18	-34,47	-31,65	-25,27	-23,19	-31,88	-29,80			
3,68	-36,70	-33,89	-26,93	-24,84	-33,54	-31,45			
4,18	-72,17	-69,36	-52,84	-50,76	-60,18	-58,10			
4,68	-98,79	-95,97	-72,30	-70,22	-80,59	-78,51			
5,00	-100,24	-97,42	-73,38	-71,30	-81,67	-79,58			
-,	,	- ,	-,	,	- /-	- ,			
Abscisse	ϵ_{lpha}	$\epsilon_{\alpha\chi}$	ϵ_{eta}	σ_{α}	$\sigma_{\alpha\chi}$	$\sigma_{\beta}{}^{\star}$			
(m)		,,		(MPa)	(MPa)	(MPa)			
0,35	1,12	0,00	-0,45	223,28	Ò,00 ´	-5,99 [°]			
0,68	0,61	0,00	-0,27	121,88	0,00	-3,55			
1,18	0,02	0,00	-0,02	3,47	0,00	-0,27			
1,68	0,83	0,00	-0,29	165,38	0,00	-3,87			
2,18	1,06	0,00	-0,42	211,63	0,00	-5,53			
2,68	1,20	0,00	-0,45	240,48	0,00	-6,00			
3,18	1,17	0,00	-0,46	233,69	0,00	-6,11			
3,68	0,90	0,00	-0,35	180,79	0,00	-4,73			
4,18	0,08	0,00	-0,10	16,30	0,00	-1,36			
4,68	0,05	0,00	-0,07	10,71	0,00	-0,87			
5,00	0,69	0,00	-0,29	138,70	0,00	-3,90			

2.6.2	P2:	Travée	de 5,35	à 10,0	0 (m)

Abscisse	ELU M max.	M min.	ÉLS M max.	M min.	ELU - co M max.	mb. acc. M min.	A chapeau	A travée	Α
compr. (m) 5,35 5,68 6,18 6,68 7,18 7,68 8,18 8,68 9,18 9,68 10,00	(kN*m) 1,45 14,96 44,98 66,81 73,89 74,77 72,33 59,47 31,60 2,53 0,25	(kN*m) -55,25 -55,25 -15,83 0,00 0,00 0,00 0,00 0,00 -31,29 -78,67 -78,67	(kN*m) 0,00 0,00 15,28 39,86 52,49 54,80 48,46 31,28 2,80 0,00 0,00	(kN*m) -40,33 -15,99 0,00 0,00 0,00 0,00 0,00 0,00 0,00	(kN*m) 2,06 21,18 44,22 55,99 58,32 57,80 55,11 48,10 32,79 12,05 1,17	(kN*m) -60,61 -60,61 -24,44 0,00 0,00 0,00 -6,86 -37,48 -76,95 -76,95	(cm2) 4,08 4,08 1,52 0,00 0,00 0,00 0,00 0,42 2,32 5,92 5,92	(cm2) 0,13 1,32 3,29 4,98 5,54 5,61 5,42 4,41 2,26 0,75 0,07	(cm2) 0,00 0,00 0,00 0,00 0,00 0,00 0,00 0,
Abscisse (m) 5,35 5,68 6,18 6,68 7,18 7,68 8,18 8,68 9,18 9,68 10,00	ELU V max. (kN) 101,44 99,99 71,39 34,38 32,15 -7,47 -47,22 -49,45 -85,81 -108,45 -109,90	V red. (kN) 102,68 101,23 72,64 35,63 33,39 -6,22 -45,97 -48,21 -84,57 -107,20 -108,66	ELS V max. (kN) 74,19 73,11 52,21 25,17 23,51 -5,43 -34,46 -36,12 -62,68 -79,25 -80,32	V red. (kN) 75,11 74,04 53,13 26,09 24,43 -4,51 -33,54 -35,20 -61,76 -78,33 -79,40	ELU - co V max. (kN) 81,40 80,32 60,18 33,74 32,09 -14,43 -43,66 -45,31 -71,82 -88,11 -89,18	mb. acc. V red. (kN) 82,31 81,24 61,10 34,66 33,01 -13,51 -42,74 -44,39 -70,90 -87,19 -88,26			
Abscisse (m) 5,35 5,68 6,18 6,68 7,18 7,68 8,18 8,68 9,18 9,68 10,00	$\begin{array}{c} \epsilon_{\alpha} \\ 0.81 \\ 0.08 \\ 0.07 \\ 0.88 \\ 1.16 \\ 1.21 \\ 1.07 \\ 0.69 \\ 0.01 \\ 0.64 \\ 1.15 \end{array}$	ε _{αχ} 0,00 0,00 0,00 0,00 0,00 0,00 0,00 0,	ε _β -0,34 -0,09 -0,09 -0,34 -0,45 -0,45 -0,42 -0,27 -0,02 -0,27 -0,46	σ _α (MPa) 162,58 15,14 14,25 175,62 231,26 241,07 213,50 137,80 2,65 127,07 230,15	σ _{αχ} (MPa) 0,00 0,00 0,00 0,00 0,00 0,00 0,00 0,	σ _β * (MPa) -4,57 -1,23 -1,17 -4,59 -6,05 -6,01 -5,58 -3,60 -0,21 -3,57 -6,10			

2.6.3 P3 : Travée de 10,35 à 15,00 (m) ELU ELS ELU - comb. acc.

	ELU		ELS		ELU - coi	mb. acc.			
Abscisse	M max.	M min.	M max.	M min.	M max.	M min.	A chapeau	A travée	Α
compr.									
(m)	(kN*m)	(kN*m)	(kN*m)	(kN*m)	(kN*m)	(kN*m)	(cm2)	(cm2)	(cm2)
10,35	0,20	-80,56	0,00	-58,58	1,09	-76,74	6,08	0,07	0,00
10,68	2,09	-80,56	0,00	-32,53	11,19	-76,74	6,08	0,69	0,00
11,18	31,64	-32,33	2,38	0,00	31,81	-36,85	2,32	2,26	0,00
11,68	59,90	0,00	31,51	0,00	47,57	-6,18	0,38	4,45	0,00
12,18	73,19	0,00	48,81	0,00	55,57	0,00	0,00	5,49	0,00
12,68	75,77	0,00	55,52	0,00	58,64	0,00	0,00	5,69	0,00
13,18	75,00	0,00	53,48	0,00	59,17	0,00	0,00	5,63	0,00
13,68	68,08	0,00	40,59	0,00	56,63	0,00	0,00	5,08	0,00
14,18	46,02	-15,07	16,03	0,00	44,23	-22,93	1,43	3,37	0,00
14,68	15,72	-54,35	0,00	-15,25	20,99	-58,46	4,01	1,31	0,00
15,00	1,53	-54,35	0,00	-39,70	2,04	-58,46	4,01	0,13	0,00

Abscisse (m) 10,35 10,68 11,18 11,68 12,18 12,68 13,18 13,68 14,18 14,68 15,00	ELU V max. (kN) 110,98 109,53 86,41 49,51 47,27 6,95 -33,14 -35,37 -72,67 -100,78 -102,24	V red. (kN) 110,05 108,60 85,48 48,58 46,35 6,02 -34,06 -36,30 -73,60 -101,71 -103,16	ELS V max. (kN) 81,09 80,01 63,08 36,13 34,48 5,03 -24,25 -25,90 -53,15 -73,71 -74,78	V red. (kN) 80,40 79,32 62,40 35,45 33,79 4,34 -24,94 -26,59 -53,84 -74,39 -75,47	ELU - cc V max. (kN) 89,85 88,77 71,77 44,60 42,94 13,11 -31,87 -33,53 -60,32 -80,39 -81,46	omb. acc. V red. (kN) 89,16 88,09 71,09 43,91 42,25 12,43 -32,56 -34,21 -61,01 -81,07 -82,15
Abscisse (m) 10,35 10,68 11,18 11,68 12,18 12,68 13,18 13,68 14,18 14,68 15,00	ε _α 1,18 0,66 0,01 0,69 1,08 1,22 1,18 0,89 0,07 0,07 0,80	ε _{αχ} 0,00 0,00 0,00 0,00 0,00 0,00 0,00 0,	$\begin{array}{c} \epsilon_{\beta} \\ -0.47 \\ -0.28 \\ -0.01 \\ -0.27 \\ -0.42 \\ -0.46 \\ -0.35 \\ -0.09 \\ -0.09 \\ -0.34 \\ \end{array}$	σ _α (MPa) 235,51 131,14 2,25 138,80 215,05 244,25 235,59 178,84 14,95 14,44 160,07	$\begin{array}{c} \sigma_{\alpha\chi} \\ (\text{MPa}) \\ 0,00 \\ 0,0$	σ _β * (MPa) -6,25 -3,69 -0,18 -3,63 -5,62 -6,09 -6,16 -4,68 -1,22 -1,17 -4,50
2.6.4	P4 : Tr	avée de	15,35 à	20,00 ((m)	

	ELU		ELS		ELU - co	mb. acc.				
Abscisse	M max.	M min.	M max.	M min.	M max.	M min.	A chapeau	A travée	Α	
compr.										
(m)	(kN*m)	(kN*m)	(kN*m)	(kN*m)	(kN*m)	(kN*m)	(cm2)	(cm2)	(cm2)	
15,35	1,98	-45,65	0,00	-33,39	2,04	-46,73	3,35	0,14	0,00	
15,68	20,34	-45,65	0,00	-9,66	20,97	-46,73	3,34	1,46	0,00	
16,18	51,61	-9,51	20,67	0,00	44,83	-14,78	0,92	3,80	0,00	
16,68	72,69	0,00	44,39	0,00	58,23	0,00	0,00	5,45	0,00	
17,18	79,27	0,00	56,59	0,00	61,53	0,00	0,00	5,97	0,00	
17,68	80,02	0,00	58,56	0,00	61,71	0,00	0,00	6,03	0,00	
18,18	77,54	0,00	52,10	0,00	60,83	0,00	0,00	5,83	0,00	
18,68	64,68	0,00	35,25	0,00	54,81	-4,64	0,29	4,82	0,00	
19,18	37,09	-27,78	6,65	0,00	37,99	-33,72	2,10	2,68	0,00	
19,68	6,38	-74,93	0,00	-28,00	14,22	-72,95	5,62	0,88	0,00	
20,00	0,62	-74,93	0,00	-54,55	1,38	-72,95	5,62	0,09	0,00	
									0,00	
	ЕШ		FLC			mh aaa				
Abasisas	ELU	\/ rod	ELS	\/ rod	ELU - co					
Abscisse	V max.	V red.	V max.	V red.	V max.	V red.				
(m)	V max. (kN)	(kN)	V max. (kN)	(kN)	V max. (kN)	V red. (kN)				
(m) 15,35	V max. (kN) 103,27	(kN) 100,14	V max. (kN) 75,57	(kN) 73,25	V max. (kN) 83,21	V red. (kN) 80,88				
(m) 15,35 15,68	V max. (kN) 103,27 101,82	(kN) 100,14 98,69	V max. (kN) 75,57 74,49	(kN) 73,25 72,17	V max. (kN) 83,21 82,13	V red. (kN) 80,88 79,81				
(m) 15,35 15,68 16,18	V max. (kN) 103,27 101,82 73,81	(kN) 100,14 98,69 70,68	V max. (kN) 75,57 74,49 54,02	(kN) 73,25 72,17 51,70	V max. (kN) 83,21 82,13 61,12	V red. (kN) 80,88 79,81 58,80				
(m) 15,35 15,68 16,18 16,68	V max. (kN) 103,27 101,82 73,81 37,57	(kN) 100,14 98,69 70,68 34,44	V max. (kN) 75,57 74,49 54,02 27,54	(kN) 73,25 72,17 51,70 25,22	V max. (kN) 83,21 82,13 61,12 34,37	V red. (kN) 80,88 79,81 58,80 32,05				
(m) 15,35 15,68 16,18 16,68 17,18	V max. (kN) 103,27 101,82 73,81 37,57 35,34	(kN) 100,14 98,69 70,68 34,44 32,21	V max. (kN) 75,57 74,49 54,02 27,54 25,89	(kN) 73,25 72,17 51,70 25,22 23,57	V max. (kN) 83,21 82,13 61,12 34,37 32,71	V red. (kN) 80,88 79,81 58,80 32,05 30,39				
(m) 15,35 15,68 16,18 16,68 17,18 17,68	V max. (kN) 103,27 101,82 73,81 37,57 35,34 -3,16	(kN) 100,14 98,69 70,68 34,44 32,21 -6,29	V max. (kN) 75,57 74,49 54,02 27,54 25,89 -2,23	(kN) 73,25 72,17 51,70 25,22 23,57 -4,55	V max. (kN) 83,21 82,13 61,12 34,37 32,71 -8,94	V red. (kN) 80,88 79,81 58,80 32,05 30,39 -11,26				
(m) 15,35 15,68 16,18 16,68 17,18 17,68 18,18	V max. (kN) 103,27 101,82 73,81 37,57 35,34 -3,16 -41,94	(kN) 100,14 98,69 70,68 34,44 32,21 -6,29 -45,06	V max. (kN) 75,57 74,49 54,02 27,54 25,89 -2,23 -30,55	(kN) 73,25 72,17 51,70 25,22 23,57 -4,55 -32,87	V max. (kN) 83,21 82,13 61,12 34,37 32,71 -8,94 -37,24	V red. (kN) 80,88 79,81 58,80 32,05 30,39 -11,26 -39,56				
(m) 15,35 15,68 16,18 16,68 17,18 17,68 18,18 18,68	V max. (kN) 103,27 101,82 73,81 37,57 35,34 -3,16 -41,94 -44,17	(kN) 100,14 98,69 70,68 34,44 32,21 -6,29 -45,06 -47,30	V max. (kN) 75,57 74,49 54,02 27,54 25,89 -2,23 -30,55 -32,21	(kN) 73,25 72,17 51,70 25,22 23,57 -4,55 -32,87 -34,53	V max. (kN) 83,21 82,13 61,12 34,37 32,71 -8,94 -37,24 -38,90	V red. (kN) 80,88 79,81 58,80 32,05 30,39 -11,26 -39,56 -41,21				
(m) 15,35 15,68 16,18 16,68 17,18 17,68 18,18 18,68 19,18	V max. (kN) 103,27 101,82 73,81 37,57 35,34 -3,16 -41,94 -44,17 -81,49	(kN) 100,14 98,69 70,68 34,44 32,21 -6,29 -45,06 -47,30 -84,61	V max. (kN) 75,57 74,49 54,02 27,54 25,89 -2,23 -30,55 -32,21 -59,45	(kN) 73,25 72,17 51,70 25,22 23,57 -4,55 -32,87 -34,53 -61,77	V max. (kN) 83,21 82,13 61,12 34,37 32,71 -8,94 -37,24 -38,90 -65,98	V red. (kN) 80,88 79,81 58,80 32,05 30,39 -11,26 -39,56 -41,21 -68,30				
(m) 15,35 15,68 16,18 16,68 17,18 17,68 18,18 18,68	V max. (kN) 103,27 101,82 73,81 37,57 35,34 -3,16 -41,94 -44,17	(kN) 100,14 98,69 70,68 34,44 32,21 -6,29 -45,06 -47,30	V max. (kN) 75,57 74,49 54,02 27,54 25,89 -2,23 -30,55 -32,21	(kN) 73,25 72,17 51,70 25,22 23,57 -4,55 -32,87 -34,53	V max. (kN) 83,21 82,13 61,12 34,37 32,71 -8,94 -37,24 -38,90	V red. (kN) 80,88 79,81 58,80 32,05 30,39 -11,26 -39,56 -41,21				

ϵ_{lpha}	$\epsilon_{\alpha\chi}$	ϵ_{eta}	σ_{lpha}	$\sigma_{\alpha\chi}$	σ_{eta}^{\star}
	,,	•	(MPa)	(MPa)	(MPa)
0,67	0,00	-0,28	134,60	0,00	-3,79
0,05	0,00	-0,06	9,14	0,00	-0,74
0,09	0,00	-0,12	18,62	0,00	-1,56
0,98	0,00	-0,38	195,56	0,00	-5,11
1,25	0,00	-0,49	249,30	0,00	-6,52
1,29	0,00	-0,48	257,61	0,00	-6,43
1,15	0,00	-0,45	229,54	0,00	-6,00
0,78	0,00	-0,30	155,31	0,00	-4,06
0,03	0,00	-0,04	6,65	0,00	-0,52
0,56	0,00	-0,25	112,92	0,00	-3,29
1,09	0,00	-0,44	218,76	0,00	-5,87
	0,67 0,05 0,09 0,98 1,25 1,29 1,15 0,78 0,03 0,56	0,67 0,00 0,05 0,00 0,09 0,00 0,98 0,00 1,25 0,00 1,29 0,00 1,15 0,00 0,78 0,00 0,03 0,00 0,56 0,00	0,67 0,00 -0,28 0,05 0,00 -0,06 0,09 0,00 -0,12 0,98 0,00 -0,49 1,25 0,00 -0,49 1,29 0,00 -0,48 1,15 0,00 -0,45 0,78 0,00 -0,30 0,03 0,00 -0,04 0,56 0,00 -0,25	(MPa) 0,67 0,00 -0,28 134,60 0,05 0,00 -0,06 9,14 0,09 0,00 -0,12 18,62 0,98 0,00 -0,38 195,56 1,25 0,00 -0,49 249,30 1,29 0,00 -0,48 257,61 1,15 0,00 -0,45 229,54 0,78 0,00 -0,30 155,31 0,03 0,00 -0,04 6,65 0,56 0,00 -0,25 112,92	(MPa) (MPa) (MPa) 0,67 0,00 -0,28 134,60 0,00 0,05 0,00 -0,06 9,14 0,00 0,09 0,00 -0,12 18,62 0,00 0,98 0,00 -0,38 195,56 0,00 1,25 0,00 -0,49 249,30 0,00 1,29 0,00 -0,48 257,61 0,00 1,15 0,00 -0,45 229,54 0,00 0,78 0,00 -0,30 155,31 0,00 0,03 0,00 -0,04 6,65 0,00 0,56 0,00 -0,25 112,92 0,00

^{*-} contraintes dans ELS, déformations en ELS

2.7 Ferraillage:

2.7.1 P1 : Travée de 0,35 à 5,00 (m)

Ferraillage longitudinal:

```
Aciers inférieurs
                     HA 400 14
                                       I = 4,61 de 0,02 à 4,39
                                       I = 2,88 de 1,51 à 4,39
                     HA 400 14
                     HA 400 14
                                       I = 2,85 de 3,75 à 6,60
                     HA 400
                             14
                                       I = 1,52 de 0,02 à 0,02
   Chapeaux
                     HA 400 12
                                       I = 3,12 de 0,02 à 2,95
                                       I = 5,55 de 2,40 à 7,95
I = 3,07 de 0,07 à 2,95
                     HA 400 12
                     HA 400
                             12
Aciers de peau :
                                       I = 4,95 de 0,20 à 5,15
                     HA 400 12
   22
            Ep
                     RL 235 6
                                       I = 0.42
   e = 1*0,33 + 10*0,40 (m)
Ferraillage transversal:
                     RL 235 14
                                       I = 1,52
   e = 1*0,16 (m)
                     RL 235 8
   33
           Cad
                                       I = 1,48
   e = 1*0,02 + 8*0,07 + 17*0,20 + 7*0,09 (m)
         Etr
                     RL 235 8
                                       i = 1,06
   e = 1*0,02 + 8*0,07 + 17*0,20 + 7*0,09 (m)
```

2.7.2 P2: Travée de 5,35 à 10,00 (m)

Ferraillage longitudinal:

```
    Aciers inférieurs

                    HA 400 14
                                     I = 6,80 de 3,75 à 10,55
   3
                    HA 400 14
                                     I = 4,59 de 5,96 à 10,55
   Chapeaux
                                     I = 5,55 de 7,40 à 12,95
                    HA 400 12
Aciers de peau :
                    HA 400 12
                                     I = 4,95 de 5,20 à 10,15
           Еp
                    RL 235 6
                                     I = 0.42
   e = 1*0,33 + 10*0,40 (m)
```

Ferraillage transversal:

2.7.3 P3 : Travée de 10,35 à 15,00 (m)

Ferraillage longitudinal:

Aciers inférieurs
 3 HA 400 14 I = 6,80 de 9,80 à 16,60
 1 HA 400 14 I = 4,59 de 9,80 à 14,39
 1 HA 400 14 I = 2,85 de 13,75 à 16,60

Chapeaux

6 HA 400 12 I = 5,55 de 12,40 à 17,95

Aciers de peau :

4 HA 400 12 I = 4,95 de 10,20 à 15,15 22 Ep RL 235 6 I = 0,42 e = 1*0,33 + 10*0,40 (m)

Ferraillage transversal:

2.7.4 P4: Travée de 15,35 à 20,00 (m)

Ferraillage longitudinal:

Aciers inférieurs

3 HA 400 14 I = 4,61 de 15,96 à 20,33 I = 3,28 de 15,96 à 19,24 HA 400 14 HA 400 14 I = 1,52 de 20,33 à 20,33 Chapeaux HA 400 12 I = 3,12 de 17,40 à 20,33 HA 400 12 I = 3,07 de 17,40 à 20,28 Aciers de peau : HA 400 12 I = 4,95 de 15,20 à 20,15 4 Ep RL 235 6 I = 0.42e = 1*0,33 + 10*0,40 (m) Ferraillage transversal: RL 235 14 I = 1,52

1 RL 235 14 I = 1,52 e = 1*4,49 (m) 33 Cad RL 235 8 I = 1,48 e = 1*0,05 + 7*0,09 + 17*0,20 + 8*0,07 (m) 33 Etr RL 235 8 I = 1,06 e = 1*0,05 + 7*0,09 + 17*0,20 + 8*0,07 (m)

3 Quantitatif:

Volume de Béton = 2,75 (m3)
 Surface de Coffrage = 24,17 (m2)

Acier HA 400

Poids total = 300,21 (kG)
 Densité = 109,28 (kG/m3)

• Diamètre moyen = 12,6 (mm)

Liste par diamètres :

Diamètre Longueur Poids (m) (kG)
12 216,23 192,04
14 89,48 108,17

- Acier RL 235
 - Poids total = 146,39 (kG)
 - = 53,29 (kG/m3)Densité
 - Diamètre moyen = 7,9 (mm)
 - Liste par diamètres :

Diamètre	Longueur	Poids
	(m)	(kG)
6	37,11	8,24
8	340,67	134,47
14	3,05	3,69

Poutre secondaire (30x40)cm²:

> Note de calcul:

1 Niveau:

- : Niveau(+31,61 m) Nom
- Cote de niveau Tenue au feu : 0 h
- Fissuration : peu préjudiciable Milieu : non agressif

2 Poutre: Poutre764...768 Nombre: 1

2.1 Caractéristiques des matériaux :

- Béton : fc28 = 25,00 (MPa)Densité = 2501,36 (kG/m3)
- Aciers longitudinaux : type HA 400 fe = 400,00 (MPa)Aciers transversaux fe = 235,00 (MPa): type RL 235

2.2 Géométrie:

- 2.2.1 Désignation **APG APD** Position (m) (m) (m)
 - P1 Travée 0,35 4,65 0,35
 - Section de 0,00 à 4,65 (m) 30,0 x 40,0 (cm)
 - Pas de plancher gauche Pas de plancher droit
- 2.2.2 Désignation Position **APG APD** (m) (m) (m)
 - **P2** Travée 0,35 0,35 4,65
 - Section de 0,00 à 4,65 (m) 30,0 x 40,0 (cm)
 - Pas de plancher gauche Pas de plancher droit

2.2.3	Désignation		Position	APG (m)	L (m)	APD (m)
	P3	Trav	ée	0,35	1,60	0,15
	Section	30,0 Pas (0,00 à 1,6 x 40,0 (cm) de planchei de planchei) r gauche		
2.2.4	Désigr	nation	Position	APG	L (m)	APD
	P4	Trav	ée	(m) 0,15	1,65	(m) 0,35
	Section	30,0 Pas (0,00 à 1,6 x 40,0 (cm) de planchei de planchei) r gauche		
2.2.5	Désigr	nation	Position	APG (m)	L (m)	APD (m)
	P5	Trav	ée	0,35	4,65	0,35
	Section	30,0 Pas (0,00 à 4,6 x 40,0 (cm) de planchei de planchei) r gauche		
2.2.6	Désigr	nation	Position	APG	L (m)	APD (m)
	P6	Trav	ée	(m) 0,35	4,65	0,35
	Section de 0,00 à 4,65 (m) 30,0 x 40,0 (cm) Pas de plancher gauche Pas de plancher droit					

2.3 Hypothèses de calcul:

• Règlement de la combinaison : CM66 Avril 2000 Calculs suivant : BAEL 91 mod. 99

Dispositions sismiques : oui Poutres préfabriquées : non

 Enrobage : Aciers inférieurs c = 2,4 (cm)

: latéral c1 = 2,4 (cm)

: supérieur c2 = 2,4 (cm)

Tenue au feu : forfaitaire

Coefficient de redistribution des moments sur appui : 0,80

Ancrage du ferraillage inférieur :

appuis de rive (gauche) : Auto appuis de rive (droite) : Auto • appuis intermédiaires (gauche) : Auto • appuis intermédiaires (droite) : Auto

2.4 **Chargements:**

2.5 Résultats théoriques :

2.5.1 Sollicitations ELU

Désignation	Mtmax.	Mtmin.	Mg	Md	Vg	Vd
	(kN*m)	(kN*m)	(kN*m)	(kN*m)	(kN)	(kN)
P1	38,96	-73,84	21,96	38,96	-58,25	20,21
P2	34,33	0,00	9,94	-13,82	27,40	-34,16
P3	37,78	-35,88	37,78	-44,76	-51,91	-58,67
P4	0,00	-37,64	-43,25	-14,30	36,31	12,27
P5	31,02	-8,87	-47,67	23,40	45,18	-14,42
P6	44,94	-61,46	44,94	21,44	-21,18	56,62

2.5.2 Sollicitations ELS

Désignation	Mtmax. (kN*m)	Mtmin. (kN*m)	Mg (kN*m)	Md (kN*m)	Vg (kN)	Vd (kN)
P1	28,16	-53,60	16,00	28,16	-42,46	14,51
P2	25,07	0,00	2,53	-10,08	20,11	-24,99
P3	27,46	-13,30	27,46	-32,41	-37,70	-42,63
P4	0,00	-20,02	-31,31	-8,30	26,39	8,88
P5	22,59	0,00	-34,70	13,47	33,00	-10,67
P6	32,53	-44,65	32,53	15,62	-15,23	41,27

2.5.3 Sollicitations ELU - combinaison rare

Désignation	Mtmax. (kN*m)	Mtmin. (kN*m)	Mg (kN*m)	Md (kN*m)	Vg (kN)	Vd (kN)
P1	42.94	-89.50	19.32	42.94	-50.42	31.05
P2	29.57	-5.25	24.80	-35.00	30.90	-35.07
P3	39.93	-51.23	39.93	-61.41	-65.39	-66.12
P4	14.64	-49.24	-58.80	-31.24	57.86	39.09
P5	34,36	-26,14	-66,71	34,36	44,69	-22,75
P6	48.10	-76.92	48.10	18.79	-33.15	48.81

2.5.4 Sections Théoriques d'Acier

Désignation	Travée (cm2)			uche (cm2)	Appui droit (cm2)	
P1	inf. 3,27	sup. 0,00	inf. 1,81	sup. 0,00	inf. 3,27	sup. 0,00
P2	2,87	0,00	1,73	1,43	1,36	2,50
P3	3,17	0,00	3,17	0,00	0,49	4,52
P4	1,03	0,00	0,00	4,32	1,03	2,22
P5	2,58	0,00	0,54	4,94	2,47	0,67
P6	3,79	0,00	3,79	0,00	1,77	0,00

2.5.5 Flèches

Fgi - flèche due aux charges permanentes totales
Fgv - flèche de longue durée due aux charges permanentes
Fji - flèche due aux charges permanentes à la pose des cloisons
Fpi - flèche due aux charges permanentes et d'exploitation

 $\Delta {\sf Ft}~$ - part de la flèche totale comparable à la flèche admissible Fadm - flèche admissible

Travée	Fgi	Fgv	Fji	Fpi	ΔFt	Fadm
	(cm)	(cm)	(cm)	(cm)	(cm)	(cm)
P1	0,0	0,0	0,0	0,0	0,0	-1,0
P2	0,1	0,2	0,0	0,1	0,2	1,0
P3	0,0	0,0	0,0	0,0	0,0	0,4
P4	0,0	0,0	0,0	0,0	0,0	0,4
P5	0,1	0,1	0,0	0,1	0,2	1,0
P6	0.0	0.0	0.0	0.0	0.0	1.0

2.5.6 Contrainte dans la bielle comprimée

Valeur admissible : 13,33 (MPa)

		a/add (m)	σbc A (MPa)	Atheor (cm2)	Ar (cm2)
Travée P1	Appui gauche Vu = 0,00(kN) Bielle inférieure	0,31	0,00	0,00	7,70
Travée P1	Appui droit Vu = 5,46(kN) Bielle inférieure	0,31	0,12	0,27	4,62
Travée P2	Appui gauche Vu = 30,90(kN) Bielle inférieure	0,31	0,66	0,96	4,62
Travée P2	Appui droit Vu = 35,07(kN) Bielle inférieure	0,31	0,75	0,00	4,62
Travée P3	Appui gauche Vu = 0,00(kN) Bielle inférieure	0,31	0,00	0,00	4,62
Travée P3	Appui droit Vu = 66,12(kN) Bielle inférieure	0,11	4,01	0,00	6,93
Travée P4	Appui gauche Vu = 57,86(kN) Bielle inférieure	0,11	3,51	0,00	6,93
Travée P4	Appui droit Vu = 21,34(kN) Bielle inférieure	0,31	0,46	0,00	4,62
Travée P5	Appui gauche Vu = 45,18(kN) Bielle inférieure	0,31	0,97	0,00	4,62
Travée P5	Appui droit Vu = 22,75(kN) Bielle inférieure	0,31	0,49	0,71	4,62

Travée P6	Appui gauche Vu = 6,06(kN) Bielle inférieure	0,31	0,13	0,30	4,62
Travée P6	Appui droit Vu = 0,00(kN) Bielle inférieure	0,31	0,00	0,00	7,70

2.6 Résultats théoriques - détaillés :

2.6.1 P1 : Tra	vée de 0	.35 à 5	.00 (m)	١
----------------	----------	---------	---------	---

Abscisse	ELU M max.	M min.	ELS M max.	M min.	ELU - co M max.	mb. acc. M min.	A chapeau	A travée	Α
compr. (m) 0,35 0,68 1,18 1,68 2,18 2,68 3,18 3,68 4,18 4,68 5,00	(kN*m) 21,96 21,67 1,87 0,00 0,00 0,00 3,08 14,45 27,82 38,86 38,96	(kN*m) 0,00 -2,97 -15,16 -54,84 -73,84 -62,71 -33,36 -10,49 0,00 0,00 0,00	(kN*m) 16,00 2,13 0,00 0,00 0,00 0,00 0,00 3,53 14,41 23,38 28,16	(kN*m) 0,00 0,00 -3,38 -15,31 -53,60 -31,12 -11,85 0,00 0,00 0,00 0,00	(kN*m) 19,32 19,07 1,83 0,00 0,99 4,56 9,32 14,14 26,70 42,78 42,94	(kN*m) 0,00 -3,28 -17,85 -66,28 -89,50 -77,82 -46,69 -19,51 -2,55 0,00 0,00	(cm2) 0,00 0,24 1,27 4,90 6,75 5,82 3,39 1,35 0,18 0,00 0,00	(cm2) 1,81 1,78 0,15 0,00 0,07 0,32 0,66 1,15 2,30 3,26 3,27	(cm2) 0,00 0,00 0,00 0,00 0,00 0,00 0,00 0,
Abscisse (m) 0,35 0,68 1,18 1,68 2,18 3,68 4,18 4,68 5,00	ELU V max. (kN) -58,25 -59,54 -25,29 -84,92 62,84 60,85 43,20 31,09 29,11 21,50 20,21	V red. (kN) -58,25 -59,54 -25,29 -84,92 62,84 60,85 43,20 31,09 29,11 21,50 20,21	ELS V max. (kN) -42,46 -43,42 -18,38 -61,63 45,70 44,22 31,35 22,51 21,04 15,47 14,51	V red. (kN) -42,46 -43,42 -18,38 -61,63 45,70 44,22 31,35 22,51 21,04 15,47 14,51	ELU - co V max. (kN) -50,42 -51,38 -29,75 -104,10 65,61 64,13 49,14 39,29 37,82 32,01 31,05	mb. acc. V red. (kN) -50,42 -51,38 -29,75 -104,10 65,61 64,13 49,14 39,29 37,82 32,01 31,05			
Abscisse (m) 0,35 0,68 1,18 1,68 2,18 2,68 3,18 3,68 4,18 4,68 5,00	ϵ_{α} 0,09 0,01 0,02 0,09 1,24 0,56 0,07 0,02 0,08 0,77 0,93	$\begin{array}{c} \epsilon_{\alpha\chi} \\ 0,00 \\ $	ε _β -0,11 -0,02 -0,02 -0,11 -0,58 -0,31 -0,09 -0,03 -0,10 -0,27 -0,33	σ _α (MPa) 17,99 2,60 4,13 18,71 247,29 111,67 14,49 4,31 16,90 154,45 186,08	σ _{αχ} (MPa) 0,00 0,00 0,00 0,00 0,00 0,00 0,00 0,	σ _β * (MPa) -1,53 -0,21 -0,33 -1,48 -7,72 -4,11 -1,14 -0,34 -1,37 -3,62 -4,36			

Abscisse	ELU M max.	M min.	ELS M max.	M min.	ELU - co M max.	mb. acc. M min.	A chapeau	A travée	Α
compr. (m) 5,35 5,68 6,18 6,68 7,18 7,68 8,18 8,68 9,18 9,68	(kN*m) 9,94 17,51 27,17 32,82 34,31 34,33 33,08 28,06 18,91 7,37 0,00	(kN*m) -2,41 -2,37 0,00 0,00 0,00 0,00 0,00 0,00 -1,97 -13,65 -13,82	(kN*m) 2,53 7,22 15,78 22,04 25,01 25,07 22,55 16,88 8,43 0,00 0,00	(kN*m) -1,86 0,00 0,00 0,00 0,00 0,00 0,00 0,00 0	(kN*m) 24,80 27,04 29,10 29,57 28,88 28,65 29,45 29,17 27,36 23,03 19,34	(kN*m) -20,60 -20,44 -6,69 0,00 0,00 0,00 -5,25 -18,23 -34,82 -35,00	(cm2) 1,43 1,43 0,47 0,00 0,00 0,00 0,00 0,37 1,28 2,48 2,50	(cm2) 1,73 1,90 2,25 2,74 2,87 2,87 2,76 2,32 1,93 1,62 1,36	(cm2) 0,00 0,00 0,00 0,00 0,00 0,00 0,00 0,
Abscisse (m) 5,35 5,68 6,18 6,68 7,18 7,68 8,18 8,68 9,18 9,68 10,00	ELU V max. (kN) 27,40 26,11 18,13 8,21 6,23 -4,65 -15,40 -17,38 -26,22 -32,87 -34,16	V red. (kN) 28,24 26,95 18,97 9,05 7,06 -3,81 -14,56 -16,55 -25,38 -32,03 -33,32	ELS V max. (kN) 20,11 19,15 13,31 6,05 4,58 -3,37 -11,23 -12,70 -19,16 -24,03 -24,99	V red. (kN) 20,73 19,77 13,93 6,67 5,20 -2,75 -10,61 -12,08 -18,54 -23,41 -24,37	ELU - co V max. (kN) 30,90 29,94 23,44 15,81 14,34 -13,03 -20,97 -22,45 -29,07 -34,12 -35,07	mb. acc. V red. (kN) 31,51 30,56 24,06 16,43 14,96 -12,41 -20,35 -21,83 -28,45 -33,50 -34,45			
Abscisse (m) 5,35 5,68 6,18 6,68 7,18 7,68 8,18 8,68 9,18 9,68 10,00	ϵ_{α} 0,02 0,04 0,10 0,73 0,83 0,83 0,74 0,56 0,05 0,01 0,06	εαχ 0,00 0,00 0,00 0,00 0,00 0,00 0,00 0,	ε _β -0,02 -0,05 -0,11 -0,26 -0,29 -0,28 -0,26 -0,20 -0,06 -0,02 -0,07	σ _α (MPa) 3,09 8,83 19,29 145,62 165,24 165,63 148,98 111,51 10,31 2,73 12,32	σαχ (MPa) 0,00 0,00 0,00 0,00 0,00 0,00 0,00 0,	σ _β * (MPa) -0,24 -0,70 -1,52 -3,41 -3,87 -3,70 -3,49 -2,61 -0,81 -0,22 -0,97			

2.6.3 P3 : Travée de 10,35 à 11,95 (m)

	ELU		ELS		ELU - comb. acc.				
Abscisse	M max.	M min.	M max.	M min.	M max.	M min.	A chapeau	A travée	Α
compr.									
(m)	(kN*m)	(kN*m)	(kN*m)	(kN*m)	(kN*m)	(kN*m)	(cm2)	(cm2)	(cm2)
10,35	37,78	0,00	27,46	0,00	39,93	0,00	0,00	3,17	0,00
10,36	37,78	0,00	27,11	0,00	39,93	0,00	0,00	3,17	0,00
10,55	37,78	0,00	20,48	0,00	39,93	0,00	0,00	3,17	0,00
10,73	34,83	0,00	13,74	0,00	36,79	-6,46	0,46	2,91	0,00
10,92	25,64	-6,55	6,99	0,00	27,31	-16,97	1,19	2,09	0,00
11,10	16,35	-15,87	0,32	0,00	18,14	-28,12	1,98	1,32	0,00
11,29	7,07	-25,74	0,00	-6,45	11,48	-39,58	2,85	0,81	0,00
11,47	0,26	-35,88	0,00	-13,30	9,25	-51,23	3,74	0,65	0,00
11,66	0,00	-44,76	0,00	-20,58	8,42	-61,41	4,52	0,59	0,00
11,84	0,00	-44,76	0,00	-27,96	7,60	-61,41	4,52	0,54	0,00
11,95	0,00	-44,76	0,00	-32,41	6,96	-61,41	4,52	0,49	0,00

Abscisse (m) 10,35 10,36 10,55 10,73 10,92 11,10 11,29 11,47 11,66 11,84 11,95	ELU V max. (kN) -51,91 -51,95 -52,69 -53,42 -52,25 -52,99 -53,72 -56,77 -57,50 -58,24 -58,67	V red. (kN) -49,04 -49,08 -49,81 -50,55 -49,38 -50,11 -50,85 -53,89 -54,63 -55,36 -55,80	ELS V max. (kN) -37,70 -37,73 -38,27 -38,81 -37,92 -38,47 -39,01 -41,22 -41,76 -42,30 -42,63	V red. (kN) -35,57 -35,60 -36,14 -36,69 -35,79 -36,34 -36,88 -39,09 -39,63 -40,18 -40,50	ELU - cc V max. (kN) -65,39 -65,42 -65,97 -66,51 -62,66 -63,20 -63,75 -64,70 -65,25 -65,79 -66,12	omb. acc. V red. (kN) -63,27 -63,84 -64,38 -61,07 -61,62 -62,57 -63,12 -63,66 -63,99
Abscisse	ϵ_{lpha}	$\varepsilon_{\alpha\chi}$	ϵ_{eta}	σ_{α}	$\sigma_{\alpha\chi}$	σ_{β}^{*}
(m)		/C	,	(MPa)	(MPa)	(MPa)
10,35	0,91	0,00	-0,32	181,46	Ò,00 ´	-4,25
10,36	0,90	0,00	-0,31	179,12	0,00	-4,20
10,55	0,68	0,00	-0,24	135,28	0,00	-3,17
10,73	0,08	0,00	-0,10	16,80	0,00	-1,33
10,92	0,04	0,00	-0,05	8,55	0,00	-0,68
11,10	0,00	0,00	0,00	0,39	0,00	-0,03
11,29	0,04	0,00	-0,05	7,89	0,00	-0,62
11,47	0,08	0,00	-0,10	16,26	0,00	-1,28
11,66	0,47	0,00	-0,22	94,95	0,00	-2,96
11,84	0,64	0,00	-0,29	128,64	0,00	-3,83
11,95	0,74	0,00	-0,33	148,99	0,00	-4,36
2.6.4	P4 : Tr	avée de	12.10 à	13.75	m)	

2.6.4 P4 : Travée de 12,10 à 13,75 (m) ELU ELS ELU - comb. acc.

	ELU		ELS		ELU - co	mb. acc.			
Abscisse compr.	M max.	M min.	M max.	M min.	M max.	M min.	A chapeau	A travée	Α
(m) [']	(kN*m)	(kN*m)	(kN*m)	(kN*m)	(kN*m)	(kN*m)	(cm2)	(cm2)	(cm2)
12,10	0,00	-43,25 [′]	Ò,00 ′	-31,31	Ò,00 ′	-58,80	4,32	0,00	Ò,00 ′
12,22	0,00	-43,25	0,00	-28,61	0,00	-58,80	4,32	0,00	0,00
12,41	0,00	-43,25	0,00	-24,27	0,00	-58.80	4,32	0,00	0,00
12,60	0,00	-37,64	0,00	-20,02	0,00	-49,24	3,59	0,00	0,00
12,79	0,00	-31,68	0,00	-17,38	0,00	-38,98	2,82	0,00	0,00
12,98	0,00	-26,51	0,00	-14,94	0,00	-29,46	2,20	0,00	0,00
13,17	0,00	-22,94	0,00	-12,61	5,62	-24,99	1,88	0,39	0,00
13,36	0,00	-19,62	0,00	-10,90	12,24	-29,45	2,09	0,86	0,00
13,55	0,00	-16,65	0,00	-9,59	14,64	-31,24	2,22	1,03	0,00
13,74	0,00	-14,45	0,00	-8,39	14,64	-31,24	2,22	1,03	0,00
13,75	0,00	-14,30	0,00	-8,30	14,64	-31,24	2,22	1,03	0,00
	ELU		ELS		ELU - co	mb. acc.			
Abscisse	ELU V max.	V red.	ELS V max.	V red.	ELU - co V max.	mb. acc. V red.			
Abscisse (m)	V max.	V red. (kN)		V red. (kN)					
			V max.		V max.	V red.			
(m)	V max. (kN)	(kN)	V max. (kN)	(kN)	V max. (kN)	V red. (kN)			
(m) 12,10	V max. (kN) 36,31	(kN) 32,42	V max. (kN) 26,39	(kN) 23,51	V max. (kN) 57,86	V red. (kN) 54,98			
(m) 12,10 12,22	V max. (kN) 36,31 35,85	(kN) 32,42 31,97	V max. (kN) 26,39 26,05	(kN) 23,51 23,17	V max. (kN) 57,86 57,52	V red. (kN) 54,98 54,65			
(m) 12,10 12,22 12,41	V max. (kN) 36,31 35,85 35,10 34,34 22,01	(kN) 32,42 31,97 31,21	V max. (kN) 26,39 26,05 25,49	(kN) 23,51 23,17 22,61	V max. (kN) 57,86 57,52 56,96	V red. (kN) 54,98 54,65 54,09			
(m) 12,10 12,22 12,41 12,60	V max. (kN) 36,31 35,85 35,10 34,34 22,01 21,25	(kN) 32,42 31,97 31,21 30,46 18,13 17,37	V max. (kN) 26,39 26,05 25,49 24,93 15,97 15,41	(kN) 23,51 23,17 22,61 22,05 13,09 12,54	V max. (kN) 57,86 57,52 56,96 56,40	V red. (kN) 54,98 54,65 54,09 53,53 43,56 43,00			
(m) 12,10 12,22 12,41 12,60 12,79 12,98 13,17	V max. (kN) 36,31 35,85 35,10 34,34 22,01 21,25 20,50	(kN) 32,42 31,97 31,21 30,46 18,13 17,37 16,62	V max. (kN) 26,39 26,05 25,49 24,93 15,97 15,41 14,85	(kN) 23,51 23,17 22,61 22,05 13,09 12,54 11,98	V max. (kN) 57,86 57,52 56,96 56,40 46,44 45,88 45,32	V red. (kN) 54,98 54,65 54,09 53,53 43,56 43,00 42,44			
(m) 12,10 12,22 12,41 12,60 12,79 12,98 13,17 13,36	V max. (kN) 36,31 35,85 35,10 34,34 22,01 21,25 20,50 13,84	(kN) 32,42 31,97 31,21 30,46 18,13 17,37 16,62 9,96	V max. (kN) 26,39 26,05 25,49 24,93 15,97 15,41 14,85 10,04	(kN) 23,51 23,17 22,61 22,05 13,09 12,54 11,98 7,16	V max. (kN) 57,86 57,52 56,96 56,40 46,44 45,88 45,32 40,25	V red. (kN) 54,98 54,65 54,09 53,53 43,56 43,00 42,44 37,38			
(m) 12,10 12,22 12,41 12,60 12,79 12,98 13,17 13,36 13,55	V max. (kN) 36,31 35,85 35,10 34,34 22,01 21,25 20,50 13,84 13,09	(kN) 32,42 31,97 31,21 30,46 18,13 17,37 16,62 9,96 9,20	V max. (kN) 26,39 26,05 25,49 24,93 15,97 15,41 14,85 10,04 9,48	(kN) 23,51 23,17 22,61 22,05 13,09 12,54 11,98 7,16 6,60	V max. (kN) 57,86 57,52 56,96 56,40 46,44 45,88 45,32 40,25 39,69	V red. (kN) 54,98 54,65 54,09 53,53 43,56 43,00 42,44 37,38 36,82			
(m) 12,10 12,22 12,41 12,60 12,79 12,98 13,17 13,36	V max. (kN) 36,31 35,85 35,10 34,34 22,01 21,25 20,50 13,84	(kN) 32,42 31,97 31,21 30,46 18,13 17,37 16,62 9,96	V max. (kN) 26,39 26,05 25,49 24,93 15,97 15,41 14,85 10,04	(kN) 23,51 23,17 22,61 22,05 13,09 12,54 11,98 7,16	V max. (kN) 57,86 57,52 56,96 56,40 46,44 45,88 45,32 40,25	V red. (kN) 54,98 54,65 54,09 53,53 43,56 43,00 42,44 37,38			

Abscisse	ϵ_{lpha}	$\epsilon_{lpha\chi}$	ϵ_{eta}	σ_{lpha}	$\sigma_{lpha\chi}$	σ_{β}^{*}
(m)		,,	•	(MPa)	(MPa)	(MPa)
12,10	0,72	0,00	-0,32	143,93	0,00	-4,22
12,22	0,66	0,00	-0,29	131,65	0,00	-3,92
12,41	0,56	0,00	-0,26	111,95	0,00	-3,50
12,60	0,46	0,00	-0,22	92,37	0,00	-2,88
12,79	0,40	0,00	-0,19	80,16	0,00	-2,50
12,98	0,09	0,00	-0,11	18,26	0,00	-1,44
13,17	0,08	0,00	-0,09	15,42	0,00	-1,22
13,36	0,07	0,00	-0,08	13,32	0,00	-1,05
13,55	0,06	0,00	-0,07	11,72	0,00	-0,93
13,74	0,05	0,00	-0,06	10,25	0,00	-0,81
13,75	0,05	0,00	-0,06	10,15	0,00	-0,80

2.6.5 P5 : Travée de 14,10 à 18,75 (m)

2.0.0	ELU	u 100 uo	ELS	.0,.0 (ELU - cor	mb acc			
Abscisse	M max.	M min.	M max.	M min.	M max.	M min.	A chapeau	A travée	Α
compr.									
(m)	(kN*m)	(kN*m)	(kN*m)	(kN*m)	(kN*m)	(kN*m)	(cm2)	(cm2)	(cm2)
14,10 14,43	0,00 0,00	-47,67 -47,44	0,00 0,00	-34,70 -24,15	7,70 10,98	-66,71 -66,49	4,94 4,92	0,54 0,78	0,00
14,43	1,88	-26,25	0,00	-10,02	16,88	-45,23	3,28	1,20	0,00
15,43	11,15	-8,87	2,23	0,00	21,56	-26,14	1,83	1,50	0,00
15,93	21,28	0,00	11,57	0,00	23,37	-9,71	0,68	1,73	0,00
16,43	27,75	0,00	17,82	0,00	23,63	-0,50	0,03	2,30	0,00
16,93	30,52	0,00	21,63	0,00	26,18	0,00	0,00	2,54	0,00
17,43	31,02	0,00	22,59	0,00	30,45	0,00	0,00	2,58	0,00
17,93	30,09	0,00	20,65	0,00	33,17	-2,25	0,16	2,50	0,00
18,43 18,75	26,65 23,40	0,00 0,00	16,97 13,47	0,00 0,00	34,36 34,36	-9,47 -9,57	0,67 0,67	2,47 2,47	0,00 0,00
10,75	20,40	0,00	10,47	0,00	J - 1,50	-0,01	0,07	2,41	0,00
	ELU		ELS		ELU - cor	mb. acc.			
Abscisse	V max.	V red.	V max.	V red.	V max.	V red.			
(m)	(kN)	(kN)	(kN)	(kN)	(kN)	(kN)			
14,10	45,18	44,75	33,00	32,68	44,69	44,37			
14,43 14,93	43,89 36,58	43,46 36,16	32,04 26,69	31,72 26,37	43,73 38,13	43,42 37,82			
15,43	27,09	26,67	19,75	19,43	31,03	30,71			
15,93	25,10	24,68	18,28	17,96	29,56	29,24			
16,43	14,54	14,11	10,55	10,24	21,81	21,50			
16,93	4,17	3,75	2,97	2,66	14,37	14,06			
17,43	2,19	1,76	1,50	1,19	12,90	12,58			
17,93 18,43	-6,69 -13,13	-7,11 -13,56	-4,99 -9,71	-5,31 -10,03	-16,69 -21,79	-17,00 -22,10			
18,75	-14,42	-14,84	-10,67	-10,03	-22,75	-23,06			
,	,	,	,	,	,	,			
Abscisse	ϵ_{lpha}	$\epsilon_{\alpha\chi}$	ϵ_{eta}	σ_{α}	$\sigma_{\alpha\chi}$	σ_{β}^{\star}			
(m)		/	r	(MPa)	(MPa)	(MPa)			
14,10	0,80	0,00	-0,37	160,09	0,00	-5,00			
14,43	0,56	0,00	-0,26	111,42	0,00	-3,48			
14,93 15,43	0,06 0,01	0,00 0,00	-0,07 -0,02	12,25 2,72	0,00	-0,97 -0,22			
15,43	0,01	0,00	-0,02 -0,08	2,72 14,15	0,00 0,00	-0,22 -1,12			
16,43	0,59	0,00	-0,20	117,74	0,00	-2,63			
16,93	0,71	0,00	-0,25	142,93	0,00	-3,35			
17,43	0,75	0,00	-0,26	149,28	0,00	-3,50			
17,93	0,68	0,00	-0,24	136,45	0,00	-3,20			
18,43	0,56	0,00	-0,20	112,14	0,00	-2,63			
18,75	0,08	0,00	-0,10	16,47	0,00	-1,30			

2.0.0		avec ac		20,70					
	ELU		ELS		ELU - co	mb. acc.			
Abscisse compr.	M max.	M min.	M max.	M min.	M max.	M min.	A chapeau	A travée	Α
(m) [']	(kN*m)	(kN*m)	(kN*m)	(kN*m)	(kN*m)	(kN*m)	(cm2)	(cm2)	(cm2)
19,10	44,94	0,00	32,53	0,00	48,10	0,00	0,00	3,79	0,00
19,43	44,83	0,00	27,51	0,00	47,93	0,00	0,00	3,79	0,00
19,93	33,29	0,00	18,13	0,00	30,83	-1,08	0,08	2,78	0,00
20,43	19,45	-7,84	7,02	0,00	17,76	-17,22	1,19	1,56	0,00
20,93	6,16	-29,26	0,00	-8,85	12,65	-44,53	3,22	0,89	0,00
21,43	0,00	-53,31	0,00	-28,17	7,07	-69,02	5,12	0,50	0,00
21,93	0,00	-61,46	0,00	-44,65	2,61	-76,92	5,74	0,18	0,00
22,43	0,00	-46,68	0,00	-14,82	0,00	-58,17	4,27	0,00	0,00
22,93	1,88	-14,75	0,00	-3,42	1,83	-17,78	1,26	0,15	0,00
23,43	21,15	-3,01	2,14	0,00	18,55	-3,36	0,24	1,74	0,00
23,75	21,44	0,00	15,62	0,00	18,79	0,00	0,00	1,77	0,00
						_			
	ELU		ELS			mb. acc.			
Abscisse	V max.	V red.	V max.	V red.	V max.	V red.			
(m)	(kN)	(kN)	(kN)	(kN)	(kN)	(kN)			
19,10	-21,18	-21,18	-15,23	-15,23	-33,15	-33,15			
19,43	-22,47	-22,47 -30,12	-16,19	-16,19	-34,10	-34,10 -39,57			
19,93 20,43	-30,12 -42,74	-30,12 -42,74	-21,79 -31,00	-21,79 -31,00	-39,57 -49,59	-39,57 -49,59			
20,43	-42,74 -44,72	-42,74 -44,72	-32,47	-32,47	-49,39 -51,06	-49,39 -51,06			
21,43	-62,53	-62,53	-45,47	-45,47	-66,23	-66,23			
21,93	83,13	83,13	60,38	60,38	104,91	104,91			
22,43	81,14	81,14	58,91	58,91	103,44	103,44			
22,93	24,46	24,46	17,78	17,78	29,65	29,65			
23,43	57,91	57,91	42,23	42,23	49,77	49,77			
23,75	56,62	56,62	41,27	41,27	48,81	48,81			
Abscisse	ϵ_{lpha}	$\epsilon_{lpha\chi}$	εβ	σ_{α}	$\sigma_{lpha\chi}$	σ_{eta}^{\star}			
(m)			•	(MPa)	(MPa)	(MPa)			
19,10	1,07	0,00	-0,38	214,91	0,00	-5,04			
19,43	0,91	0,00	-0,32	181,74	0,00	-4,26			
19,93	0,46	0,00	-0,19	92,91	0,00	-2,55			
20,43	0,04	0,00	-0,05	8,58	0,00	-0,68			
20,93	0,05	0,00	-0,06	10,82	0,00	-0,85			
21,43	0,51	0,00	-0,28	101,08	0,00	-3,72			
21,93	1,03	0,00	-0,48	205,99	0,00	-6,43			
22,43	0,09	0,00	-0,11	18,12	0,00	-1,43			
22,93	0,02	0,00	-0,02	4,18	0,00	-0,33			
23,43	0,01	0,00	-0,02	2,61	0,00	-0,21			
23,75	0,09	0,00	-0,11	17,56	0,00	-1,50			

^{*-} contraintes dans ELS, déformations en ELS

2.7 Ferraillage:

2.7.1 P1 : Travée de 0,35 à 5,00 (m) Ferraillage longitudinal :

,	9 9			
 Aciers 	inférieu	ırs		
3		HA 400	14	I = 4,61 de 0,02 à 4,39
1		HA 400	14	I = 1,52 de 0,02 à 0,02
 Chape 	eaux			
3		HA 400	12	I = 2,92 de 0,03 à 2,95
6		HA 400	12	I = 5,55 de 2,40 à 7,95
3		HA 400	12	I = 3,12 de 0,02 à 2,95
Aciers de	e peau :			
4		HA 400	12	I = 4,95 de 0,20 à 5,15
22	Ep	RL 235	6	I = 0,42
e = 1*0	,33 + 10*0	,40 (m)		

Ferraillage transversal:

```
RL 235 14
                                 I = 1,52
e = 1*0,16 (m)
                 RL 235 6
41
       Cad
                                 I = 1,32
e = 1*0,02 + 8*0,07 + 3*0,16 + 5*0,11 + 15*0,16 + 9*0,07 (m)
       Etr
                 RL 235 6
                                  I = 0.88
e = 1*0.02 + 8*0.07 + 3*0.16 + 5*0.11 + 15*0.16 + 9*0.07 (m)
```

2.7.2 P2: Travée de 5,35 à 10,00 (m)

Ferraillage longitudinal:

Aciers inférieurs

HA 400 14 I = 8,65 de 3,75 à 12,40 3

Aciers de peau :

HA 400 12 I = 4,95 de 5,20 à 10,15 4 Ep RL 235 6 22 I = 0.42e = 1*0,33 + 10*0,40 (m)

Ferraillage transversal:

RL 235 6 Cad e = 1*0,02 + 9*0,07 + 21*0,16 + 9*0,07 (m) 40 Etr RL 235 6 I = 0,88 e = 1*0,02 + 9*0,07 + 21*0,16 + 9*0,07 (m)

2.7.3 P3: Travée de 10,35 à 11,95 (m)

Ferraillage longitudinal:

Aciers de peau :

4 HA 400 12 I = 1,80 de 10,20 à 12,00 RL 235 6 8 Еp I = 0.42e = 1*0,35 + 3*0,40 (m)

Ferraillage transversal:

19 Cad RL 235 6 I = 1,32e = 1*0,02 + 7*0,07 + 3*0,16 + 8*0,07 (m) 19 Etr RL 235 6 I = 0.88e = 1*0.02 + 7*0.07 + 3*0.16 + 8*0.07 (m)

2.7.4 P4: Travée de 12,10 à 13,75 (m)

Ferraillage longitudinal:

Chapeaux

HA 400 12 I = 9,30 de 7,40 à 16,70 6 Aciers de peau :

HA 400 12 I = 1,85 de 12,05 à 13,90 4 RL 235 6 8 Ep I = 0.42e = 1*0.08 + 3*0.40 (m)

Ferraillage transversal:

20 Cad RL 235 6 I = 1,32e = 1*0,01 + 9*0,07 + 3*0,16 + 7*0,07 (m) RL 235 6 ` 1 = 0,88 Etr e = 1*0,01 + 9*0,07 + 3*0,16 + 7*0,07 (m)

P5: Travée de 14,10 à 18,75 (m)

Ferraillage longitudinal:

· Aciers inférieurs

HA 400 14 I = 8,70 de 11,65 à 20,35 • Chapeaux 6 HA 400 12 I = 5,55 de 16,15 à 21,70

Aciers de peau :

HA 400 12 I = 4,95 de 13,95 à 18,90 Ep RL 235 6 I = 0.42e = 1*0,33 + 10*0,40 (m)

Ferraillage transversal:

40 Cad RL 235 6 I = 1,32e = 1*0,02 + 9*0,07 + 21*0,16 + 9*0,07 (m)Etr RL 235 6 e = 1*0,02 + 9*0,07 + 21*0,16 + 9*0,07 (m)

2.7.6 P6: Travée de 19,10 à 23,75 (m)

Ferraillage longitudinal:

Aciers inférieurs

3 HA 400 14 I = 4,61 de 19,71 à 24,08 1 HA 400 14 I = 1,52 de 24,08 à 24,08

Chapeaux

3 HA 400 12 I = 2,92 de 21,15 à 24,07 3 HA 400 12 I = 3,12 de 21,15 à 24,08

Aciers de peau :

Ferraillage transversal:

1 RL 235 14 I = 1,52
e = 1*4,49 (m)
42 Cad RL 235 6 I = 1,32
e = 1*0,02 + 8*0,07 + 12*0,16 + 10*0,11 + 3*0,16 + 8*0,07 (m)
42 Etr RL 235 6 I = 0,88
e = 1*0,02 + 8*0,07 + 12*0,16 + 10*0,11 + 3*0,16 + 8*0,07 (m)

3 Quantitatif:

Volume de Béton = 2,89 (m3)
 Surface de Coffrage = 26,08 (m2)

- Acier HA 400
 - Poids total = 320,55 (kG)
 Densité = 110,84 (kG/m3)
 - Diamètre moyen = 12,5 (mm)
 - Liste par diamètres :

Diamètre	Longueur	Poids
	(m)	(kG)
12	252,45	224,21
14	79,70	96,34

- Acier RL 235
 - Poids total = 112,33 (kG)
 - Densité = 38,84 (kG/m3)
 - Diamètre moyen = 6,0 (mm)
 - Liste par diamètres :

Diamètre	Longueur	Poids		
	(m)	(kG)		
6	489,31	108,64		
14	3,05	3,69		

Chapitre VI

Etude des éléments Structuraux

6.1) Introduction:

Au niveau de ce chapitre nous allons présenter le dimensionnement des éléments structuraux.

Les différentes sollicitations qui seront considérées ultérieurement ont été obtenues lors de l'analyse statique et dynamique de la structure retenue par le biais du logiciel **Robot**.

- Les poutres seront dimensionnées en flexion simple.
- Les poteaux seront dimensionnés en flexion composée.

Notre structure étant couverte et non soumise à un milieu agressif à l'acier, le calcul se fera dans un cas de fissuration jugée peu préjudiciable.

6.2) ferraillage des portiques :

L'étude des portiques set intéresse aux éléments les plus sollicités à condition de reste dans le domaine de sécurité.

G: charge permanente.

P: charge d'exploitation.

E: Effort sismique.

6.2.1) Ferraillage des poteaux :

Combinaisons de calcul:

Les poteaux sont soumis aux efforts suivants :

- Effort normal.
- Effort tranchant.
- Moment fléchissant.

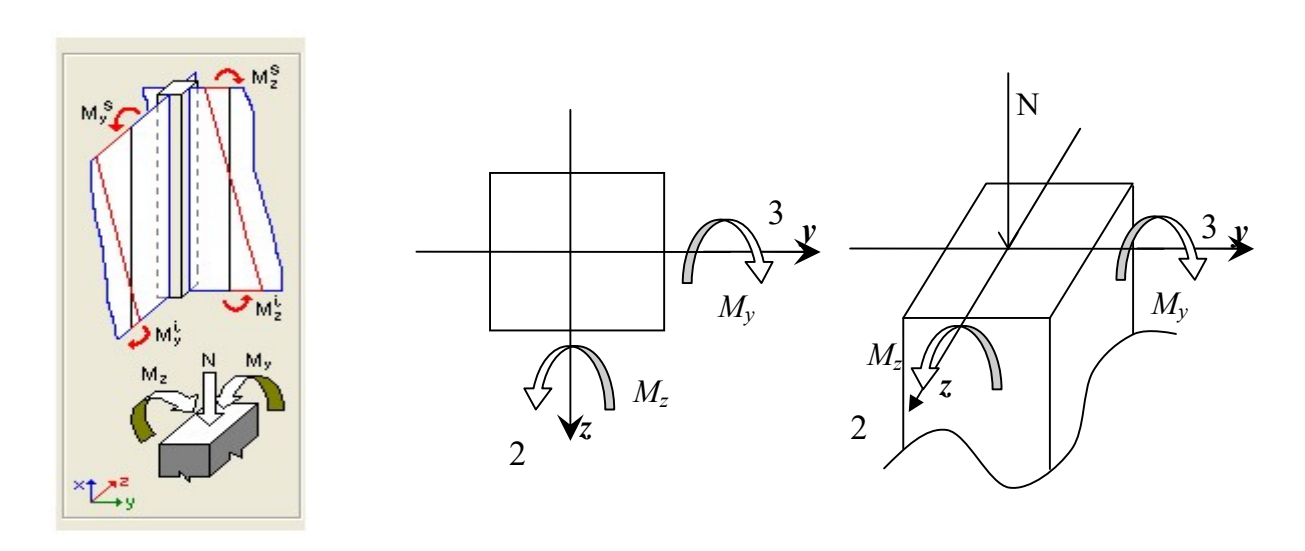


Figure. (6.1): Direction des moments et effort normal dans un poteau.

- Les armatures longitudinales sont déterminées sous trois cas de sollicitations suivantes :
- Disposions constructives exigées par le RPA99V2003:
- Les armatures longitudinales doivent être à haute adhérence, et sans crochets :
- Leur pourcentage minimal sera de 0,8% en (zone IIa)
- Leur pourcentage maximal sera de 4% en zone courante, et 6% en zone de recouvrement.
- ➤ Le diamètre minimum est de 12 mm.
- La longueur minimale de recouvrement est de 40φ (zone IIa)
- ➤ Les jonctions par recouvrement doivent être faites si possible à l'extérieur des zones nodales (zone critiques)
- Pour la conception de nos poteaux, nous avons 4 types de poteaux à ferrailler :
- Poteaux (50×50) cm²: pour les niveaux (sous sol R.D.C–1^{ier}).
- Poteaux (45×45) cm²: pour les niveaux $(2^{\text{ième}} 3^{\text{ième}} 4^{\text{ième}})$ Étage).
- Poteaux (40×40) cm²: pour les niveaux $(5^{\text{ième}} 6^{\text{ième}} 7^{\text{ième}})$ Étage).
- Poteaux (35×35) cm²: pour les niveaux $(8^{i\text{ème}} 9^{i\text{ème}}$ Étage).

Le calcul se fait avec les combinaisons suivantes [2], [3] :

Combinaison fondamentale :

E.L.U:
$$1,35G + 1,5P$$

■ Combinaison accidentelle :

$$\begin{cases} G + P \pm 1, 2E \\ 0.8G \pm E \end{cases}$$

6.2.1.1) Exemple de calcul:

- a) Armatures longitudinales:
- 1^{ier} Cas: Combinaison fondamentale

(1,35
$$G$$
 + 1,5 P)
$$\begin{cases} N_{\text{max}} = 2512,73 \text{ KN} \\ M_{max} = 3,54 \text{ KN} \cdot m \end{cases}$$

• Calcul de l'excentricité :

$$e_1 = \frac{M_{corr}}{N_{max}} = \frac{3,54}{2512,73} = 0,0014 \ cm.$$

$$\frac{h}{12} = \frac{50}{12} = 4{,}16 \text{ cm}$$

$$e_1 < (h/12)$$
 Compression centrée

Ce qui implique que la section va être calculée à la compression simple, donc le calcul se fait à l'état limite ultime de stabilité de forme (E.L.U.S.F).

\triangleright E.L.U.R :

$$A_1' = \frac{N - B \cdot \sigma_{bc}}{\sigma_s} = \frac{2512,73 \times 10^3 - (50 \times 50) \times 14,2 \times 100}{348}$$

$$A_1' = -29.8 \text{ cm}^2 \implies A_1' = 0$$

\triangleright E.L.U.S.F:

$$L_f = 0.7 h_e = 210 cm$$

$$\lambda = \frac{L_f}{i}$$
 avec $i = \frac{h}{\sqrt{12}} = \frac{0.50}{\sqrt{12}} = 0.144$ $\Rightarrow \lambda = \frac{2.1}{0.144} = 14.58$

$$\lambda = 14,58 < 50 \implies \alpha = \frac{0,85}{1 + 0,2 \cdot \left(\frac{\lambda}{35}\right)^2} = 0,821$$

-Selon le B.A.E.L 91 [2]:

$$A_2' \ge \frac{\gamma_s}{f_e} \left(\frac{N}{\alpha} - \frac{B_r \cdot f_{c28}}{0.9 \cdot \gamma_h} \right)$$

$$B_r = (b-2)(h-2) = 2304 \text{ cm}^2$$

$$A_2' \ge \frac{1,15}{400 \times 100} \left(\frac{2512,73 \cdot 10^3}{0,821} - \frac{2304 \times 100 \times 25}{0.9 \times 1,5} \right) \Rightarrow A_2' \ge -34,67 \ cm^2 \Rightarrow A_2' = 0$$

$$A_1 = \max(A_1', A_2') = 0$$

■ 2^{ième} Cas: Combinaison accidentelle

$$(G + P \pm 1.2 E; 0.8 G \pm E)$$

$$\begin{cases} N_{\text{min}} = 1133.12 \text{ KN} \\ M_{\text{max}} = 19.78 \text{ KN} \cdot m \end{cases}$$

$$e_1 = \frac{M_{\text{max}}}{N_{\text{min}}} = \frac{19,78 \times 100}{1133,12} = 1,74 \text{ cm}$$

$$e_1 < (h/12)$$
 Compression centrée

Donc le calcul se fait à l'état limite ultime de stabilité de forme(E.L.U.S.F).

$$A_2 \ge \frac{\gamma_s}{f_e} \left(\frac{N}{\alpha} - \frac{B_r \cdot f_{c28}}{0.9 \cdot \gamma_b} \right)$$

$$A_2 \geq \frac{1{,}15}{400 \times 100} \bigg(\frac{1133\,,12 \times 100}{0{,}821} - \frac{2304 \times 100 \times 25}{0{,}9 \times 1{,}5} \bigg) \Rightarrow A_2 \geq -118\,,69 \,\, cm^2 \Rightarrow A_2 = 0$$

- Armatures minimales :
- Selon le B.A.E.L 99 [2] :

$$A_{\min} = \max \left[\frac{0.2 \cdot b \cdot h}{100}, \frac{8 \cdot (b+h)}{100} \right] cm^2 = 8 cm^2$$

• Selon le R.P.A 99 [3] :

$$A_{\min} = 0.8\% b \cdot h = 20 cm^2$$

• Armatures maximales:

- Selon le B.A.E.L 99 [2]:

$$A_{\text{max}} \le \frac{5 \cdot b \cdot h}{100} = 125 \ cm^2$$

Selon le R.P.A 99 [3]:

$$\begin{cases} A_{\text{max}} = 3\% \ b \cdot h = 75 \ \text{cm}^2 \ \text{en zone courante} \\ A_{\text{max}} = 6\% \ b \cdot h = 150 \ \text{cm}^2 \ \text{en zone de recouvreme} \end{cases}$$

• Ferraillage adopté : $A_{adoptif} = \max(A_1; A_2; A_3; A_{\min(2)}; A_{\min(3)}) = 20 \text{ cm}^2$

On prend $A = 8T16 + 8T14 = 28,4 \text{ cm}^2$

\triangleright E.L.S

$$\begin{cases} N_{\text{max}} = 1834,29 \text{ KN} \\ M_{corr} = 2,58 \text{ KN} \cdot m \end{cases}$$

$$e_1 = \frac{M_{corr}}{N_{max}} = \frac{2,58}{183429} = 0,0014cm < \frac{h}{12} = 4,16cm \implies \text{Compression centrée},$$

Donc le calcul à l'E.L.S n'est pas nécessaire.

• Vérification de l'effort tranchant :

$$T_{\rm max} = 8,02 \ KN$$

$$\tau_u = \frac{T_{\text{max}}}{b \cdot d} = \frac{8,02 \times 10^3}{35 \times 54 \times 100} = 0,0424 \text{ MPa}.$$

$$\overline{\tau_{ad}} = \min(0.1 f_{c28}, 4 MPa) = 2.5 MPa$$

$$\tau_u < \overline{\tau_{ad}}$$
 — Condition vérifiée.

b) Armatures transversales:

- Selon le R.P.A 99 [3]:

$$A_t = \frac{\varphi_a \cdot \delta_t \cdot T_{\text{max}}}{h \cdot f_s}$$

• Calcul des espacements :

$$\begin{cases} \delta_t \leq \min(10 \, \phi_L, 15 \, cm) \, en \, zone \, nodale. \\ \delta_t' \leq 10 \, \phi_L \, en \, zone \, courante. \end{cases}$$

Avec

 ϕ_L : Diamètre minimale des armatures longitudinales du poteau.

Donc on prend:

 $\delta_t = 10 \ cm \rightarrow en \ zone \ nodale$

 $\delta_t' = 15 \ cm \rightarrow en \ zone \ courante$

 φ_a : est en fonction de λ :

$$\lambda = 16,47 \le 35 \quad \Rightarrow \quad \varphi_a = 1,57$$

On a:

$$T_{\text{max}} = 8,02 \text{ KN}.$$
 $f_e = 235 \text{ MPa}$

Donc:
$$A_t = \frac{1,57 \times 15 \times 8,02 \times 10^3}{60 \times 235 \times 100} = 0,13 \text{ cm}^2$$

$$A_{\min} = 0.3\% \cdot b \cdot \delta'_t = 0.3 \times 10^{-2} \times 35 \times 15 = 1.575 \text{ cm}^2$$

On prend:
$$A_t = 4\phi 8 = 2.01 \text{ cm}^2$$
 Soit trois cadres (fig 6.2)

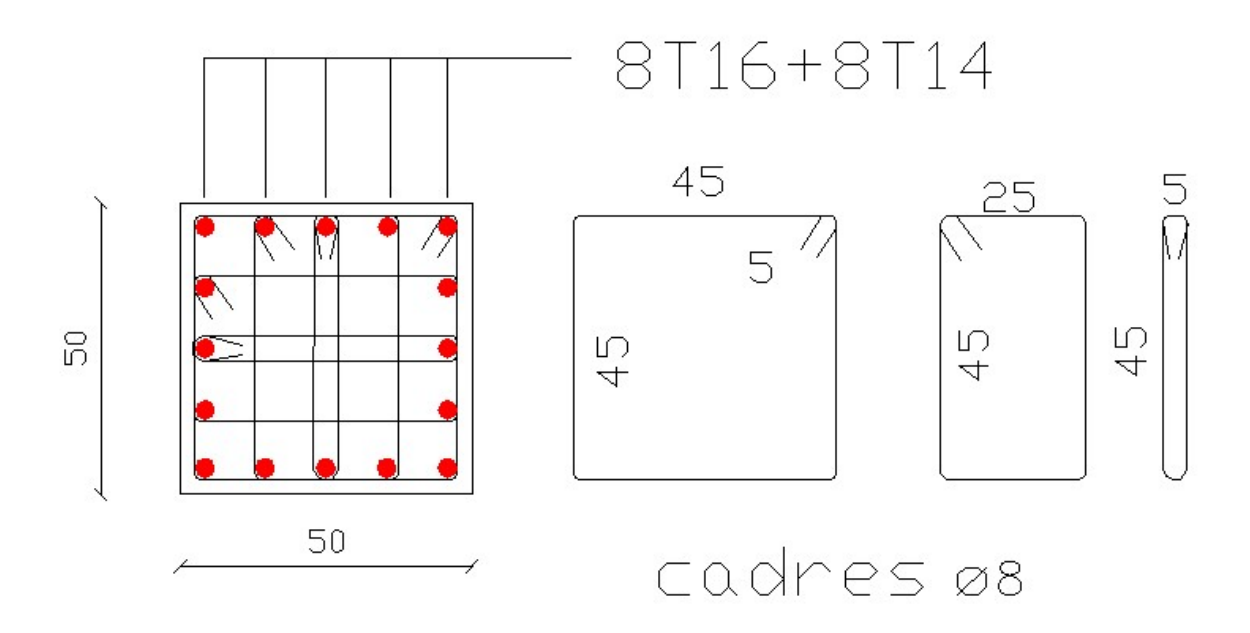


Figure (6.2): Ferraillage du poteau (50x50) cm².

c) Longueur de recouvrement :

- Selon le R.P.A 99 [3]:

 $L_r = 40\phi$ en zone II a

$$L_r = 40 \times 2 = 80 \ cm$$

d) Détermination de la zone nodale :

$$\begin{cases} L' = 2 \cdot h \\ h' = \max \left(\frac{h_e}{6} ; b ; h_i ; 60 cm \right) \end{cases}$$

Donc

$$\begin{cases} L' = 2 \times 45 = 90 \ cm \\ h' = \max \left(\frac{306}{6}; 50; 50; 60 \right) cm = 60 \ cm. \end{cases}$$

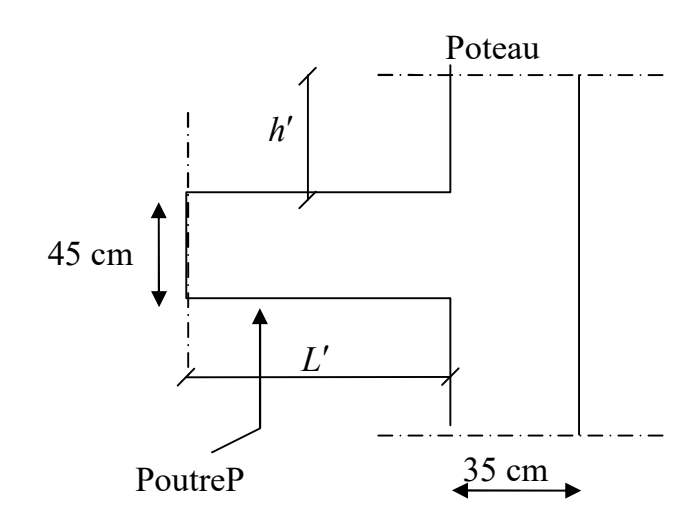


Figure (6.3) : Schéma de la zone nodale.

Vue le nombre important des poteaux à étudier, nous avons présenté un exemple de calcul d'un type de poteau $(50 \times 50 \ cm^2)$. Le reste des calculs est présenté dans le tableau 6.1 qui nous indiquera les différentes sections d'armatures longitudinales et transversales pour chaque type de poteau et selon les règlements utilisés B.A.E.L 91 [2] et le R.P.A 99 [3].

Poteau (cm²)	A_{cal} (cm^2)	A_{\min} (B.A.E.L 91) (cm^2)	$ \begin{array}{c} A_{\min} \\ (R.P.A 99) \\ \left(cm^2\right) \end{array} $	$A_{ m adopt\acute{e}e} \ \left(cm^2 ight)$	Section corresp (cm^2)	A_{trans} (cm^2)	Section corresp (cm ²)	δ_t (cm)	δ'_t (cm)
50×50	0	8	20	8T16 + 8T14	28,4	4 φ 8	2,01	10	15
45×45	0	7,2	16,2	12T16	24,127	4φ8	2,01	10	15
40×40	0	6,4	12,8	8T16	16,085	4 φ 8	2,01	10	15
35×35	0	5,6	9,8	8T14	12,315	4 \phi 8	2,01	10	15

Tableau (6.1): Récapitulation du ferraillage des poteaux.

6.2.2) Ferraillage des poutres :

Le calcul des poutres est effectué pour chaque axe en fonction des moments maximums en travée et en appui,

Le calcul se fait avec les combinaisons suivantes [2], [3] :

■ Combinaison fondamentale:

E.L.U: 1,35G + 1,5P

■ Combinaison accidentelle :

$$\begin{cases} G + P \pm E \\ 0.8 G \pm E \end{cases}$$

• Disposions constructives exigées par le RPA99V2003:

- Le pourcentage total minimum des aciers longitudinaux sur toute la longueur de la poutre est de 0,5% en toute section.
- Le pourcentage total maximum des aciers longitudinaux est de :
 - 4% en zone courante.
 - 6% en zone de recouvrement.

6.2.2.1) Exemple de calcul :

On a deux types de poutres à étudier :

- Poutres principales \longrightarrow P.P $(30 \times 45) cm^2$
- Poutres secondaires \longrightarrow P.S $(30 \times 40) cm^2$
- Étude des poutres principales P.P $(30 \times 45) cm^2$:

			E.I	L.U	-		
	Type	Niveau	M_t [KN.m]	M _a [KN.m]	<i>M</i> , [KN.m]	<i>M</i> _a [KN.m]	T _{max} [KN]
le le	ale cm²	S/sol	58,10	90,39	41,43	63,57	106,31
Poutre	Poutre principale (30x45) cm	Etage courant	64,83	72,86	47,14	52,65	96,82
	pr. (30)	terrasse	80,02	80,56	58,56	58,58	109,9

Tableau (6.2): Tableau récapitulatif des moments maximums et des efforts tranchants

a) Calcul des armatures longitudinales selon le R.P.A 99 :

$$\begin{cases} A_{\min} = 0.5\% \ 45 \times 30 = 6.75 \ cm^2 \\ A_{\max} = 4\% \quad 45 \times 30 = 54 \ cm^2 \ en \ zone \ courante \\ A_{\max} = 6\% \quad 45 \times 30 = 81 \ cm^2 \ en \ zone \ de \ recouvrement \end{cases}$$

b) Calcul des armatures longitudinales selon le B.A.E.L 91:

Le calcul ci-dessous est effectué pour la poutre principale du sous sol.

♦ En travée :

> E.L.U.R :

$$\begin{split} M_{tu} &= 58100 N \cdot m \\ \mu &= \frac{M_{tu}}{\sigma_{bc} \cdot b \cdot d^2} \\ \mu &= \frac{58100}{14.2 \times 30 \times (42)^2} = 0,077 < \mu_{AB} \Rightarrow A' = 0 \end{split}$$

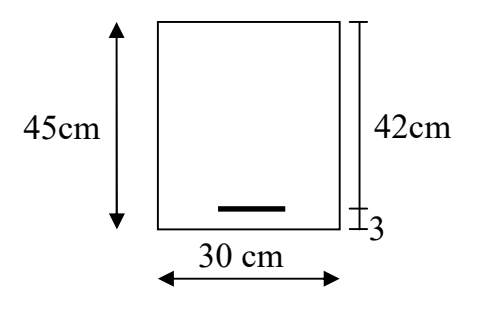


Figure (6.4): Schéma d'une section de calcul.

$$\alpha = 0.1 \rightarrow \beta = 0.959$$

$$A = \frac{M_{tu}}{\sigma_{x} \cdot d \cdot \beta} = \frac{58100}{348 \times 42 \times 0.959} = 4.14 \text{ cm}^{2}$$

• Condition de non fragilité :

$$A_{\min} = 0.23 \cdot b \cdot d \cdot \frac{f_{tj}}{f_e}$$

$$A_{\min} = 0.23 \times 30 \times 42 \times \frac{2.1}{400} = 1.52 \text{ cm}^2$$

Choix des armatures :

$$A = \max(A_{cal}, A_{RPA}, A_{\min})$$

$$A = \max(4,14; 6,75;1,52)$$

$$A = 3T16 + 3T14 = 10,65 cm^{2}$$

> E.L.S:

La fissuration est considérée comme peu nuisible, il suffit de vérifier que $\sigma_{bc} \leq \overline{\sigma}_{bc}$

Section rectangulaire
Flexion simple
Fe400
$$\Rightarrow \gamma = \frac{M_u}{M_{ser}} = \frac{58,1}{41,43} = 1,4$$

$$\alpha = 0.1 \le \frac{\gamma - 1}{2} + \frac{f_{c28}}{100} = 0.45$$
 Condition vérifiée

Donc, il n'est pas nécessaire de vérifier la contrainte du béton ⇒Les armatures calculées à E.L.U.R conviennent à E.L.S.

♦ En appui:

► E.L.U.R :

$$M_{au} = 90390N \cdot m$$

$$\mu = \frac{M_{au}}{\sigma_{bc} \cdot b \cdot d^2} = \frac{90390}{14,20 \times 30 \times (42)^2} = 0,12 < \mu_L = 0,392 \Rightarrow A' = 0$$

$$\alpha = 0.160 \rightarrow \beta = 0.935$$

$$A = \frac{M_{au}}{\sigma_s \cdot d \cdot \beta} = \frac{90390}{348 \times 42 \times 0.935} = 6.6 \text{ cm}^2$$

• Condition de non fragilité :

$$A_{\min} = 0.23 \times b \times d \times \frac{f_{ij}}{f_c} \Rightarrow A_{\min} = 1.52 \text{ cm}^2$$

• Choix des armatures :

$$A = 3T16 + 3T14 = 10,65 \text{ cm}^2$$

> E.L.S:

La fissuration est considérée peu nuisible, il suffit de vérifier que $\sigma_{bc} \leq \overline{\sigma}_{bc}$

Section rectangulaire Flexion simple
$$\Rightarrow \gamma = \frac{M_u}{M_{ser}} = \frac{90,39}{63,57} = 1,42$$
Fe400

$$\alpha = 0.16 \le \frac{\gamma - 1}{2} + \frac{f_{c28}}{100} = 0.46$$
 Condition vérifiée

Donc, il n'est pas nécessaire de vérifier la contrainte du béton ⇒Les armatures calculées à E.L.U.R conviennent à E.L.S.

• Vérification de l'effort tranchant :

$$T_{\text{max}} = 106,31 \, KN$$

$$\tau_u = \frac{T_{\text{max}}}{b \cdot d} = \frac{106310}{300 \times 420} = 0.84 MPa.$$

$$\overline{\tau}_{ad} = \min \left[0.2 \frac{f_{c28}}{\gamma_b}, 5 \, MPa \right] = 3.33 \, MPa \rightarrow \text{(Fissuration peu nuisible)}$$

$$\tau_u \leq \overline{\tau}_{ad}$$
 Condition vérifiée.

Donc, les cadres et les étriers seront perpendiculaires à la ligne moyenne

c) Calcul des armatures transversales :

• Diamètre des armatures transversales :

Selon le B.A.E.L 91 [2]

$$\phi_t \leq \min\left(\frac{h}{35}, Q_{L_{\min}}, \frac{b}{10}\right)$$

$$\phi_t \le \min\left(\frac{45}{35}, 1, 4, \frac{30}{10}\right) = 1,28 \ cm.$$
 On prend $\phi_t = 8 \ mm.$

• Espacement des armatures transversales :

Selon le R.P.A 99 [3]

• En zone nodale:

$$\delta_t \leq \min\left(\frac{h}{4}; 12 \times Q_L\right) \quad \delta_t \leq \min\left(\frac{45}{4}; 12 \times 1, 4\right) = 11,25 \text{ cm. On prend } \delta_t = 15 \text{ cm.}$$

• En zone courante:

$$\delta_t \le \frac{h}{2} = \frac{45}{2} = 22.5 \ cm$$
. On prend $\delta_t = 15 \ cm$.

• Section des armatures transversales :

Selon le R.P.A 99 [3]

$$A_t = 0.003 \cdot \delta_t \cdot b$$

$$A_t = 0.003 \times 15 \times 30 = 1.35 \text{ cm}^2$$

On prend
$$A_t = 4\phi 8 = 2.01 \text{ cm}^2$$

• Vérification des espacements :

Selon le B.A.E.L 83 [1]

$$\bullet \quad \delta_{t_1} \leq \min(0.9 \cdot d, 40 \ cm)$$

$$\delta_{t_1} \le \min(37.8; 40 \ cm) = 37.8 \ cm$$

$$\bullet \quad \delta_{t_2} \leq \frac{A_t \cdot f_e}{b \cdot \max\left(\frac{\tau_u}{2}; 0,4 MPa\right)}$$

$$\delta_{t_2} \le \frac{2,01 \times 235}{30 \times 0.435} = 36,19 \ cm$$

$$\bullet \quad \delta_{t_3} \leq \frac{0.9 \cdot A_t \cdot f_e}{b \cdot \gamma_s \left(\tau_u - 0.3 \cdot f_{t_i}^* \cdot k\right)}$$

Avec:
$$\begin{cases} k = 1 \text{ pour la flexion simple} \\ \alpha = 90^{\circ} \\ f_{ij}^{*} = \min(f_{ij}; 3,3) MPa \end{cases}$$

$$\delta_{t_3} \leq 51,34 \ cm$$

• $\delta_{t_4} \leq \min(\delta_{t_1}, \delta_{t_2}, \delta_{t_3}) = 28,66 \text{ cm}.$

$$\delta_t \le \min(\delta_{t_{RPA}}, \delta_{t_4}) \Rightarrow \delta_t = 15 \ cm \rightarrow \text{ Condition vérifiée.}$$

d) Recouvrement des barres longitudinales :

Pour une barre en acier à haute adhérence Fe400, nous pouvons prendre :

$$L_r = 40\phi$$

$$L_r = 40 \cdot 1, 4 = 56 \text{ cm}.$$

e) Ancrage des armatures tendues :

• Valeur limite de la contrainte d'adhérence pour l'ancrage des armatures en barres :

$$\overline{\tau}_s = 0.6 \cdot \psi_s^2 \cdot f_{ti}$$

 $\psi_s = 1.5$ barres à H. A courantes.

$$\overline{\tau}_s = 0.6 \times (1.5)^2 \times 2.1 = 2.84 \ MPa.$$

• Longueur de scellement droit :

$$L_s = \frac{\phi \cdot f_e}{4 \cdot \overline{\tau}_s} = \frac{1.6 \times 400}{4 \times 2.84} = 49.3 \text{ cm}.$$

En appui

3T16 3T14chap cadre T8ep 10/15 cm 3T16

En travée

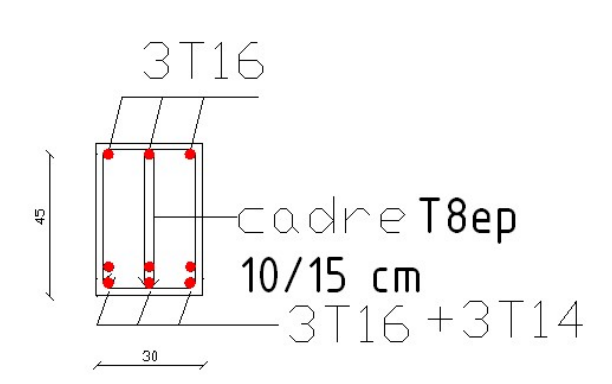


Figure (6.5) : Schéma de ferraillage de la poutre principale

Remarque : de la même façon, on obtient le ferraillage pour les autres poutres, le ferraillage sera résumé dans le tableau suivant :

TYP	PE	NIVEAU		A_{cal}	$A_{\min_{(BAEL)}}$	$A_{\min_{(RPA)}}$	$A_{choisie}$	Q_t	$\delta_t(cm)$	δ_t (cm)
				$(cm)^2$	$(cm)^2$	$(cm)^2$	$(cm)^2$	(cm)	ZONE	ZONE
				(* ')	(<i>cm</i>)	(<i>cm</i>)	(6111)		COURANTE	NODALE
P.P		S/Sol	Travée	4,14	1,52	6,75	3T16+3T14	ф8	15	10
	cm^2		Appui	6,6	1,52	6,75	3T16+3T14	ф8	15	10
principale		Étage	Travée	4,64	1,52	6,75	3T16+3T14	ф8	15	10
prii	(30X45)	courante	Appui	5,25	1,52	6,75	3T16+3T14	ф8	15	10
Poutre	(3)	Terrasse	Travée	5,8	1,52	6,75	3T16+3T14	ф8	15	10
Pe			Appui	5,84	1,52	6,75	3T16+3T14	ф8	15	10

Tableau (6.3): Tableau récapitulatif du ferraillage des poutres principales.

6.2.2.2) Étude des poutres secondaires P.S (30×40) cm²:

Le calcul des poutres secondaires est similaire à celui des poutres principales. Pour cela, nous avons regroupé les calculs effectués dans cette partie dans les deux tableaux récapitulatifs cidessous qui nous indiquent les différents moments fléchissant, efforts tranchants dans chaque niveau d'étage (Tableau 6.4) ainsi que les différentes sections d'armatures longitudinales et transversales pour chaque niveau d'étage (Tableau 6.5):

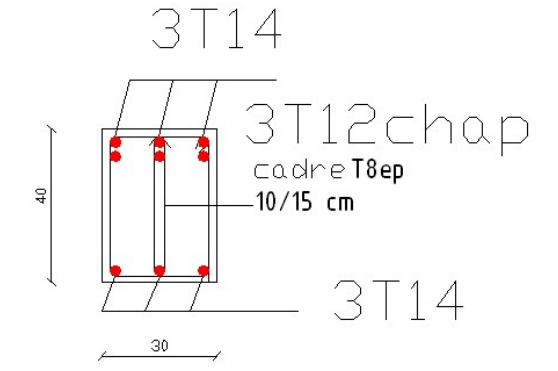
Туре		Niveau	E.L.U		<i>E</i> .1	L.S	T _{max} [KN]
		M_{t}	M_a	M_{t}	M_a		
			[KN.m]	[KN.m]	[KN.m]	[KN.m]	
	ire cm²	S/sol	54,20	82,49	38,43	60,58	95,31
Poutre	secondaire (30x40) cm	Etage courant	50,52	75,72	35,99	53,23	89,66
	sea (30)	terrasse	44,94	47,67	32,53	34,7	58,67

Tableau (6.4): Tableau récapitulatif des moments maximums et des efforts tranchants

TYF	PΕ	NIVEAU		A_{cal} $(cm)^2$	$\frac{A_{\min_{(BAEL)}}}{(cm)^2}$	$\begin{array}{c c} A_{\min_{(RPA)}} \\ (cm)^2 \end{array}$	$A_{choisie} \ (cm)^2$	Q_t (cm)	δ_t (cm) ZONE	$\begin{array}{c c} \delta_t \ (cm) \\ \text{ZONE} \end{array}$
				, ,	(cm)	(cm)	, ,		COURANTE	NODALE
P.P		S/Sol	Travée	4,42	1,52	6	3T14+3T12	ф8	15	10
	cm^2		Appui	6,93	1,52	6	3T14+3T12	ф8	15	10
Poutre principale		Étage	Travée	4,11	1,52	6	3T14+3T12	ф8	15	10
prii	0X45)	courante	Appui	6,32	1,52	6	3T14+3T12	ф8	15	10
outre	(3)	Terrasse	Travée	3,63	1,52	6	3T14+3T12	ф8	15	10
Pc			Appui	3,86	1,52	6	3T14+3T12	ф8	15	10

Tableau (6.5): Tableau récapitulatif du ferraillage des poutres secondaire.

En appui En travée



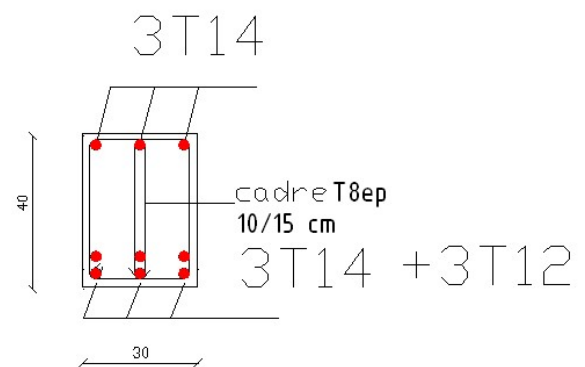


Figure (6.6) : Schéma de ferraillage de la poutre secondaire.

6.3) Ferraillage des voiles:

Le ferraillage des voiles se fera avec une fissuration peu nuisible sans les sollicitations calculées à partir des combinaisons d'action dues aux charges verticales et horizontales.

6.3.1) Exposé de la méthode:

• Section entièrement tendue (S.E.T)

Une section est entièrement tendue si :

 $\ll N$ » effort de traction et le centre de pression $\ll C$ »

se trouve entre les armatures — pivot A

Donc on a deux nappes d'armatures :

$$A_{1} = \frac{N \cdot (d - e)}{100 (d - c) \cdot \sigma_{1}} \text{ et } A_{2} = \frac{N}{100 \sigma_{2}} - A_{1}$$

$$avec \quad \sigma_{1} = \sigma_{2} = \frac{fe}{\gamma_{c}}$$

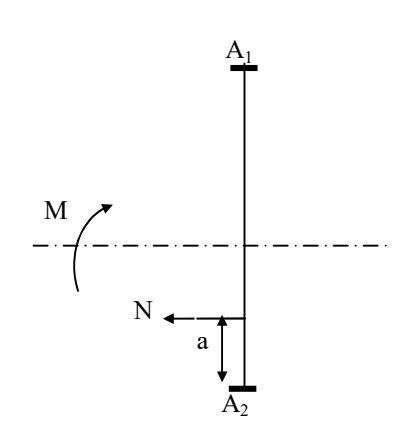


Figure (6.7): Traduire les Sollicitations M₁ et N

• Section entièrement comprimée : (S.E.C)

Une section est entièrement comprimée, lorsque « N » est un effort de compression et le centre de pression se trouve entre les armatures ; et la condition suivante doit être vérifieé:

$$(0,337h - 0,81c_1)_{\sigma_b}^-$$
. b. $h < N.(d - c_1).10^{-2} - M_1$
et $M_1 = N.e = N(e_o + \frac{h}{2} - \frac{c}{2})$

et les sections des armatures sont calculées comme suite :

$$\begin{split} \bullet & \text{Si} \left(0.5h - c_1\right)_{\sigma_b}^{-}.b.h > N(d - c_1).10^{-2} - M_1 \\ \Rightarrow & \text{La S.E.C et } A_2' = 0 \quad \Rightarrow \psi = ? \\ & 0.3571 + \frac{N(d - C_1) - 100 \, M_1}{\frac{-}{\sigma_b}.b.h^2.100} \leq 1 \\ \Rightarrow & A_1' = \frac{N' - 100 \psi_{\sigma_b}^{-}.b.h}{100 \, \sigma_{s1}} \quad \text{et } \quad A_2' = 0 \\ \bullet & \text{Si} : & (0.5h - C_1)_{\sigma_b}^{-}.b.h < & (d - C_1).10^{-2} \, M_1 \\ \Rightarrow & A_2' \neq 0 \quad \text{et } \quad A_1' = \frac{M_1 - \left(d - 0.5h\right)_{\sigma_b}^{-}.b.h}{\sigma_2 - \left(d - c\right)} \\ & A_2' = \frac{N - 100 \, \sigma_b}{100 \, \sigma_2}.b.h}{100 \, \sigma_2} - A_1' \end{split}$$

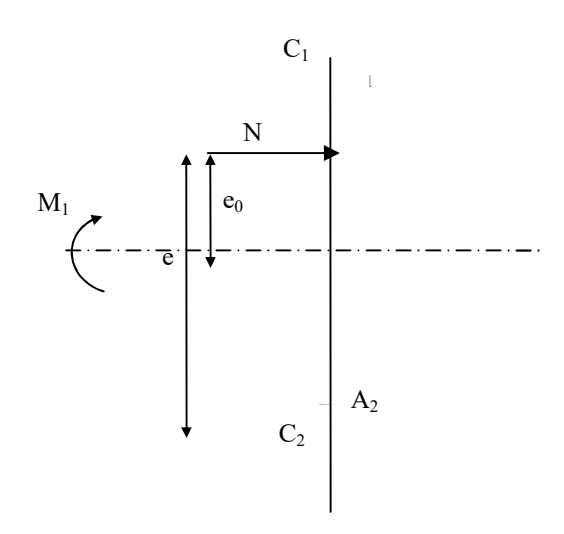


Figure (6.8): Shéma Traduire des Sollicitation M₁ etN

• Section partiellement comprimée (S.P.C)

Une section est dite partiellement comprimée :

Si N effort de traction ou compression et le centre de pression se trouve à l'extérieur du segment limite par les armatures.

Si « N » effort de compression et le centre de pression « C » se trouve à l'intérieur du segment limité par les armatures et la condition suivante doit être vérifiée

$$N.(d-c_1)-M_1 \le \left(0,337-0,81\frac{c_1}{h}\right).b.h^2.\sigma_b$$

Donc le calcul peut être assimilé au calcul en flexion simple avec un effort du moment fictif :

$$M_1 = N'.e$$

Avec:

e : la distance entre le centre de pression et le centre de gravité des armatures tendues.

Donc: $A_1 = \frac{M_1}{\sigma_s \cdot \beta \cdot d} \Rightarrow \begin{cases} A = A_1 + \frac{N}{100 \sigma_s} \text{ si } N > 0 \\ A = A_1 - \frac{N}{100 \sigma_s} \text{ si } N < 0 \end{cases} \text{ et } A' = 0$

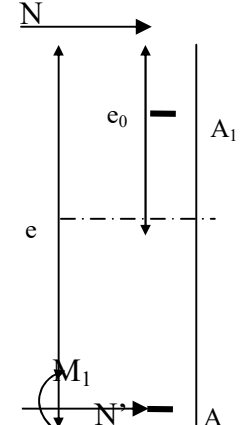


Figure (6.9): Position des efforts N'et N.

• Ferraillage minimal:

Lorsque le calcul des sections d'acier est trop faible, on faitappel aux reglements de calcul des sections minimales (préconisé par RPA99);

Avec:
$$A_{min} = 0.15\% (b.h_t)$$

 h_t : hauteur de la zone tendue et $e = min(1,5a \text{ et } 30)\text{cm} \longrightarrow (RPA 99)$

• Disposition des armatures:

Le diamètre des barres horizontales et verticales ne dépasser pas le 10% de l'épaisseur du voile.

- * Les deux nappes d'armatures doivent être reliées avec quatre épingles au mètre carré, et les barres horizontales doivent être disposées vers l'exterieur.
- * Les armatures de traction seront concentreés aux extrémités des trumeaux. Ces barres verticales des zones extrêmes devraient ligaturées avec des cadres horizontaux dont l'espacement ne doit pas être supérieure à l'épaisseur du voile.

* Les longueurs de recouvrement sont :

40¢pour les barres situées dans les zones où le changement de signe des efforts sous 1'action des différentes combinaisons est possible.

20φ pour les barres situées dans les zones comprimées sous l'action des différentes combinaisons.

Les résultats des feraillages des voiles de contreventement avec le logiciel de robot v18 comme suite :

• Feraillage horizontal: T12 e = 20cm

• Feraillage vertical: T12 e = 20cm

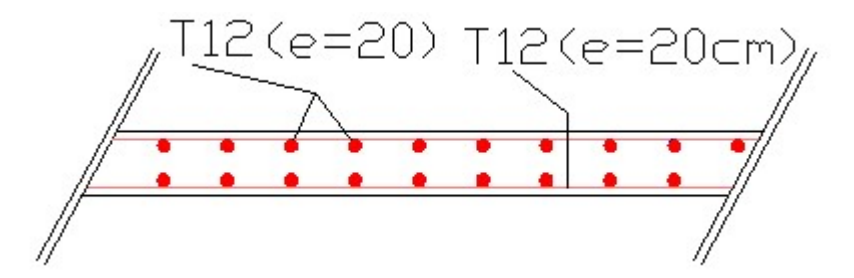


Figure (6.10): Feraillage des voiles de contreventement.

Chapitre VII

Etude de l'infrastructure

7.1) Introduction:

Ce chapitre consiste à étudier l'infrastructure de notre bâtiment (les fondations+ mur périphérique), son rôle principal est de supporter la totalité des charges et les transmettre au sol.

7.2) Calcule du voile périphérique:

Pour reprendre les efforts de poussées des terres et pour augmenter la rigidité du sous sol, il est nécessaire de prévoir un voile périphérique en béton armé ayant les caractéristiques suivant : [3]

- Épaisseur ep≥15cm,
- Les armatures sont constitues de deux nappes,
- Le pourcentage minimum des armatures est de 0.1% dans les deux sens (horizontal et Verticale),
 - Les ouvertures dans ce voile ne doivent pas réduire sa rigidité,
 - Le calcule se fait selon une bande de 1m de largeur.

a) Calcul de la poussée de terre derrière le mur:

Remblai: $\gamma_{sol} = 18KN/m^3$

L'angle de frottement: $\phi = 35^{\circ}$

La cohésion c=0

Q : surcharge d'exploitation $Q=5 KN / m^3$

$$K_a = tg^2 \left(\frac{\pi}{4} - \frac{\phi}{2}\right) = 0.33$$
.

Avec:

 K_a : Coefficient de poussée des terres

 K_q : Coefficient de poussée des surcharges $(\beta = 0; \lambda = 0) K_q = \frac{K_a}{\cos^2(\beta - \lambda)} = 0,270$

H: La hauteur de mur.

b) Évaluation des charges:

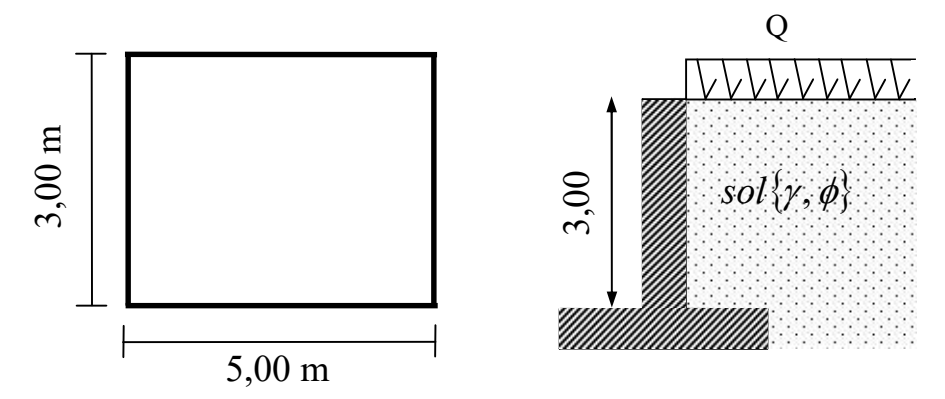


Figure (7.1) coupe sur mur périphérique.

• Force due à la surcharge P₁:

$$P_1 = K_q \times 500$$

$$P_1 = 0.27 \times 5 = 1.35 \, KN / m^2$$

• Force due à la poussée des terres :

$$P_2 = K_a \times \gamma \times H$$

$$P_2 = 0.27 \times 18 \times 3 = 14.58 KN / m^2$$

Charge à ELU:
$$q_u = 1,35P_2 + 1,5P_1 = 21,708KN/m^2$$

Charge à ELS:
$$q_s = P_2 + P_1 = 15,93 KN / m^2$$

c) Évaluation du moment:

On a :
$$\left\{ \rho = \frac{l_x}{l_y} = \frac{3,00}{5,00} = 0,6 \ge 0,4 \right\}$$

La dalle à étudier travaille dans deux sens

Le calcul se fait pour une bande de 1 m de largeur.

$$q_u = 21,708 \times 1 = 21,708 KN / ml$$

$$q_{ser} = 15,93 \times 1 = 15,93 KN / ml$$

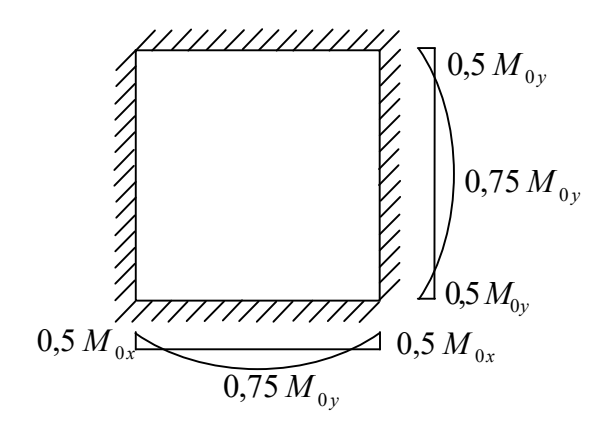


Figure (7.2) : Schéma statique du panneau.

> ELU:
$$v = 0 \begin{cases} \mu_x = 0.0822 \\ \mu_y = 0.2948 \end{cases}$$
 $\begin{cases} M_{UX} = \mu_{xu} \times q_u \times l_x^2 \\ M_{UY} = \mu_{yu} \times M_{UX} \end{cases}$
> ELS: $v = 0.2 \begin{cases} \mu_x = 0.087 \\ \mu_y = 0.4672 \end{cases}$ $\begin{cases} M_{sx} = \mu_{xs} \times q_s \times l_x^2 \\ M_{sy} = \mu_{ys} \times M_{sx} \end{cases}$

$$\begin{cases} M_{UX} = 0.0822 \times 21.708 \times 3^2 = 16.06 \, KN.m \\ M_{UY} = 0.2948 \times 16.06 = 4.73 \, KN.m \end{cases}$$

$$\begin{cases} M_{sx} = 0.087 \times 15.93 \times 3^2 = 12.47 \, KN.m \\ M_{sy} = 0.4672 \times 12.47 = 5.83 \, KN.m \end{cases}$$

	En tı	avée	En appuie		
	ELU	ELS	ELU	ELS	
Sens x-x	12,045	9,35	8,03	6,235	
Sens y-y	3,55	4,37	2,37	2,915	

Tableau (7.1): Tableau récapitulatif des sollicitations.

d) Calcule de ferraillage:

- $\star Sens(x-x)$:
- En travée:
- > ELU:

$$M_{tx}^{u} = 12045N.m$$

$$\mu = \frac{M_{tx}^{u}}{b \cdot d^{2} \cdot \sigma_{bc}} = \frac{12045}{100 \times (13.5)^{2} \times 14.20} = 0.046 \le \mu_{AB} = 0.186$$

Donc (A') n'existe pas.

$$\alpha = 1.25 \left(1 - \sqrt{1 - 2 \mu}\right) = 0.059$$

$$\beta = 1 - 0.40 \alpha = 0.976$$

$$\sigma_s = \frac{f_e}{\gamma_s} = 348 \text{ MPa}.$$

$$A = \frac{M_{tx}^{u}}{\beta \cdot d \cdot \sigma_{s}} = \frac{12045}{0.976 \times 13.5 \times 348} = 2.62 \text{ cm}^{2}$$

• condition de non fragilité :

$$A_{\min} = 0.23 \cdot b \cdot d \cdot \frac{f_{t28}}{f_e} = 1.63 cm^2 / ml$$

• Armatures minimales (RPA 99)

$$A_{min} = 0.10\% \cdot b.e = 0.1 \cdot \frac{100 \cdot 20}{100} = 2 cm^2 / ml$$

$$A_{adopt} = \max(A_t; A_{min}; A_{minRPA}) = 2,62 cm^2 / ml$$

$$\underline{\text{Choix}}: 5\text{T}12 \longrightarrow 5,66 \text{ cm}^2/\text{ml} \quad (\text{esp20cm})$$

• En appuis:

$$M_{ax}^{u} = 8030N.m$$

$$\mu = \frac{M_{ax}^u}{b \cdot d^2 \cdot \sigma_{bc}} = \frac{8030}{100 \times (13.5)^2 \times 14.20} = 0.031 \le \mu_{AB} = 0.186$$

Donc (A') n'existe pas.

$$\alpha = 1.25 \left(1 - \sqrt{1 - 2\mu}\right) = 0.039$$

$$\beta = 1 - 0.40 \alpha = 0.984$$

$$\sigma_s = \frac{f_e}{\gamma_s} = 348 \text{ MPa}.$$

$$A = \frac{M_{ax}^{u}}{\beta \cdot d \cdot \sigma_{a}} = \frac{8030}{0.984 \times 13.5 \times 348} = 1,73 \text{ cm}^{2}$$

• condition de non fragilité :

$$A_{\min} = 0.23 \cdot b \cdot d \cdot \frac{f_{t28}}{f_e} = 1.63 cm^2 / ml$$

• Armatures minimales (RPA 99)

$$A_{\min} = 0.10\% \cdot b.e = 0.1 \cdot \frac{100 \cdot 20}{100} = 2 cm^2 / ml$$

$$\mathbf{A}_{adopt} = \max(\mathbf{A}_t; \mathbf{A}_{\min}; \mathbf{A}_{\min_{RPA}}) = 2 \, cm^2 / ml$$

Choix:
$$5T10 \longrightarrow 3.92 \, cm^2 / ml$$
 (esp20cm)

> ELS:

• On va vérifier les conditions suivantes:
$$\begin{cases} \sigma_{bc} = k \times y \le \overline{\sigma}_{bc} = 0.6 \times f_{c28} \\ \sigma_{s} = 15 \times k \times (d - y) \le \overline{\sigma}_{s} \text{ (fissuration)} \end{cases}$$

Sens (x-x) :

• En travée: $M_{tx}^{ser} = 9.35 KN.m$

Pour le sous sol la fissuration est préjudiciable donc :

$$\overline{\sigma}_{s} = \zeta = \min \left\{ \frac{2}{3} \times f_{e}; \max \left(0.5 \times f_{e}; 110 \times \sqrt{\eta \times f_{t28}} \right) \right\}$$

Pour
$$\eta = 1.6$$
; $f_e = 400 \text{ MPa}$; $f_{t28} = 2.1 \text{ MPa}$

On adopte:
$$\bar{\sigma}_s = \min\{266,66; \max(200;201,63)\} \implies \bar{\sigma}_s = 201,63 \text{ MPa}$$

• Centre de graviter :

$$y = \frac{15 \times A_s}{b} \times \left[\left(\sqrt{1 + \frac{b \times d}{7,5 \times A_s}} \right) - 1 \right] = \frac{15 \times 5,65}{100} \times \left[\left(\sqrt{1 + \frac{100 \times 13,5}{7,5 \times 5,65}} \right) - 1 \right]$$

$$v = 4.01cm$$

• Moment d'inertie :

$$I = \frac{b \times y^3}{3} + 15 \times A_s \times (d - y)^2 = \frac{100 \times (4,01)^3}{3} + 15 \times 5,65 \times (13,5 - 4,01)^2$$

$$I = 9781,967cm^4$$

Donc:
$$k = \frac{M_{ser}}{I} = \frac{9,35 \times 10^3}{9781,967} = 0,956$$

$$\sigma_{bc} = k \times y = 0.956 \times 4.01 = 3.83MPa$$

$$\sigma_s = 15 \times k \times (d - y) = 15 \times 0.956 \times (13.5 - 4.01) \implies \sigma_s = 136.05 \text{ Mpa}$$

$$\int \sigma_{bc} = 3.83 MPa \le \overline{\sigma}_{bc} = 15 MPa \dots \text{condition vérifier.}$$

$$\sigma_s = 136,05 MPa \le \overline{\sigma}_s = 201,63 MPa$$
condition vérifier.

Donc le ferraillage à l'ELU est maintenu

• En appuis: $M_{ax}^{ser} = 6,235KN.m$

Fissuration préjudiciable $\Rightarrow \overline{\sigma}_s = \min\{266,66; \max(200;201,63)\} \Rightarrow \overline{\sigma}_s = 201,63 \text{ MPa}$

• Centre de graviter :

$$y = \frac{15 \times A_s}{b} \times \left[\left(\sqrt{1 + \frac{b \times d}{7.5 \times A_s}} \right) - 1 \right] = \frac{15 \times 3.92}{100} \times \left[\left(\sqrt{1 + \frac{100 \times 13.5}{7.5 \times 3.92}} \right) - 1 \right]$$

$$y = 3,43cm$$

• Moment d'inertie :

$$I = \frac{b \times y^3}{3} + 15 \times A_s \times (d - y)^2 = \frac{100 \times (3,43)^3}{3} + 15 \times 3,92 \times (13,5 - 3,43)^2$$

$$I = 7307.69cm^4$$

Donc:
$$k = \frac{M_{ser}}{I} = \frac{6,235 \times 10^3}{7307,69} = 0,85$$

$$\sigma_{bc} = k \times y = 0.85 \times 3.43 = 2.93 MPa$$

$$\sigma_s = 15 \times k \times (d - y) = 15 \times 0.85 \times (13.5 - 3.43) \implies \sigma_s = 128.75 \text{ MPa}$$

$$\int \sigma_{bc} = 2.93 MPa \le \overline{\sigma}_{bc} = 15 MPa$$
condition vérifier.

$$\begin{cases} \sigma_{bc} = 2,93 MPa \leq \overline{\sigma}_{bc} = 15 MPa \dots \text{condition vérifier.} \\ \sigma_{s} = 128,75 MPa \leq \overline{\sigma}_{s} = 201,63 \text{ MPa} \dots \text{condition vérifier.} \end{cases}$$

Donc le ferraillage à l'ELU est maintenu

- **Sens (y-y):**
- En travée:
- > ELU:

$$M_{tv}^{u} = 3550N.m$$

$$\mu = \frac{M_{ty}^u}{b \cdot d^2 \cdot \sigma_{bc}} = \frac{3550}{100 \times (13.5)^2 \times 14.20} = 0.0137 \le \mu_{AB} = 0.186$$

Donc (A') n'existe pas.

$$\alpha = 1,25 \left(1 - \sqrt{1 - 2\mu}\right) = 0,017$$

$$\beta = 1 - 0.40 \alpha = 0.993$$

$$\sigma_{\rm s} = \frac{f_{\rm e}}{\gamma_{\rm s}} = 348 \, \mathrm{MPa}.$$

$$A = \frac{M_{ty}^u}{\beta \cdot d \cdot \sigma_a} = \frac{3550}{0.993 \times 13.5 \times 348} = 0.76 \text{ cm}^2$$

• condition de non fragilité :

$$A_{\min} = 0.23 \cdot b \cdot d \cdot \frac{f_{t28}}{f_c} = 1.63 cm^2 / ml$$

• Armatures minimales (RPA 99)

$$A_{min} = 0.10\% \cdot b.e = 0.1 \cdot \frac{100 \cdot 20}{100} = 2 cm^2 / ml$$

$$A_{adopt} = \max(A_t; A_{min}; A_{minRPA}) = 2 cm^2 / ml$$

$$\underline{\text{Choix}}: 5\text{T10} \longrightarrow 3.93 \, \text{cm}^2 \, / \, \text{ml} \quad \text{(esp20cm)}$$

• En appuis :

$$M_{ay}^u = 2365N.m$$

$$\mu = \frac{M_{ay}^{u}}{b \cdot d^{2} \cdot \sigma_{bc}} = \frac{2365}{100 \times (13.5)^{2} \times 14,20} = 0,009 \le \mu_{AB} = 0,186$$

Donc (A') n'existe pas.

$$\alpha = 1,25(1 - \sqrt{1 - 2\mu}) = 0,011$$

$$\beta = 1 - 0.40 \alpha = 0.995$$

$$\sigma_s = \frac{f_e}{\gamma_s} = 348 \text{ MPa}.$$

$$A = \frac{M_{ax}^u}{\beta \cdot d \cdot \sigma} = \frac{2365}{0.995 \times 13.5 \times 348} = 0.5 \text{ cm}^2$$

• condition de non fragilité :

$$A_{\min} = 0.23 \cdot b \cdot d \cdot \frac{f_{t28}}{f_e} = 1.63 cm^2 / ml$$

• Armatures minimales (RPA 99)

$$A_{min} = 0.10\% \cdot b.e = 0.1 \cdot \frac{100 \cdot 20}{100} = 2 cm^2 / ml$$

$$\mathbf{A}_{adopt} = \max(\mathbf{A}_t; \mathbf{A}_{\min}; \mathbf{A}_{\min RPA}) = 2 \, cm^2 / ml$$

Choix:
$$5T10 \longrightarrow 3.93 \, cm^2 / ml$$
 (esp20cm)

> ELS:

• On va vérifier les conditions suivantes:
$$\begin{cases} \sigma_{bc} = k \times y \le \overline{\sigma}_{bc} = 0.6 \times f_{c28} \\ \sigma_{s} = 15 \times k \times (d - y) \le \overline{\sigma}_{s} \text{ (fissuration)} \end{cases}$$

* Sens (x-x):

• En travée: $M_{tv}^{ser} = 4,37 KN.m$

Pour le sous sol la fissuration est préjudiciable donc :

$$\overline{\sigma}_{s} = \zeta = \min \left\{ \frac{2}{3} \times f_{e}; \max \left(0.5 \times f_{e}; 110 \times \sqrt{\eta \times f_{t28}}\right) \right\}$$

Pour
$$\eta = 1.6$$
; $f_e = 400 \text{ MPa}$; $f_{t28} = 2.1 \text{ MPa}$

On adopte: $\overline{\sigma}_s = \min\{266,66; \max(200;201,63)\} \Rightarrow \overline{\sigma}_s = 201,63 \text{ MPa}$

• Centre de graviter :

$$y = \frac{15 \times A_s}{b} \times \left[\left(\sqrt{1 + \frac{b \times d}{7.5 \times A_s}} \right) - 1 \right] = \frac{15 \times 3.93}{100} \times \left[\left(\sqrt{1 + \frac{100 \times 13.5}{7.5 \times 3.93}} \right) - 1 \right]$$

$$y = 3,44cm$$

• Moment d'inertie :

$$I = \frac{b \times y^3}{3} + 15 \times A_s \times (d - y)^2 = \frac{100 \times (3,44)^3}{3} + 15 \times 3,93 \times (13,5 - 3,44)^2$$

$$I = 7322.86cm^4$$

Donc:
$$k = \frac{M_{ser}}{I} = \frac{4,37 \times 10^3}{7322.86} = 0,597$$

$$\sigma_{bc} = k \times y = 0.597 \times 3.44 = 2.05 MPa$$

$$\sigma_s = 15 \times k \times (d - y) = 15 \times 0.597 \times (13.5 - 3.44) \implies \sigma_s = 90.02 \text{ Mpa}$$

$$\begin{cases} \sigma_{bc} = 2,05 MPa \leq \overline{\sigma}_{bc} = 15 MPa \dots \text{condition v\'erifier.} \\ \sigma_{s} = 90,02 MPa \leq \overline{\sigma}_{s} = 201,63 \text{ MPa} \dots \text{condition v\'erifier.} \end{cases}$$

$$\sigma_s = 90,02MPa \le \overline{\sigma}_s = 201,63 \text{ MPa} \dots \text{condition vérifier}$$

Donc le ferraillage à l'ELU est maintenu

• En appuis: $M_{ay}^{ser} = 2,915 KN.m$

Fissuration préjudiciable \Rightarrow $\overline{\sigma}_s = \min\{266,66; \max(200;201,63)\}$ \Rightarrow $\overline{\sigma}_s = 201,63 \text{ MPa}$

• Centre de graviter :

$$y = \frac{15 \times A_s}{b} \times \left[\left(\sqrt{1 + \frac{b \times d}{7,5 \times A_s}} \right) - 1 \right] = \frac{15 \times 3,93}{100} \times \left[\left(\sqrt{1 + \frac{100 \times 13,5}{7,5 \times 3,93}} \right) - 1 \right]$$

$$y = 3,44cm$$

• Moment d'inertie :

$$I = \frac{b \times y^3}{3} + 15 \times A_s \times (d - y)^2 = \frac{100 \times (3,44)^3}{3} + 15 \times 3,93 \times (13,5 - 3,44)^2$$

 $I = 7322,86cm^4$

Donc:
$$k = \frac{M_{ser}}{I} = \frac{2,915 \times 10^3}{9781,967} = 0,398$$

$$\sigma_{bc} = k \times y = 0.398 \times 3.44 = 1.37 MPa$$

$$\sigma_s = 15 \times k \times (d - y) = 15 \times 0.398 \times (13.5 - 3.44) \implies \sigma_s = 60.04 \text{ MPa}$$

$$\int \sigma_{bc} = 1,37MPa \le \overline{\sigma}_{bc} = 15MPa \dots \text{condition vérifier.}$$

Donc le ferraillage à l'ELU est maintenu

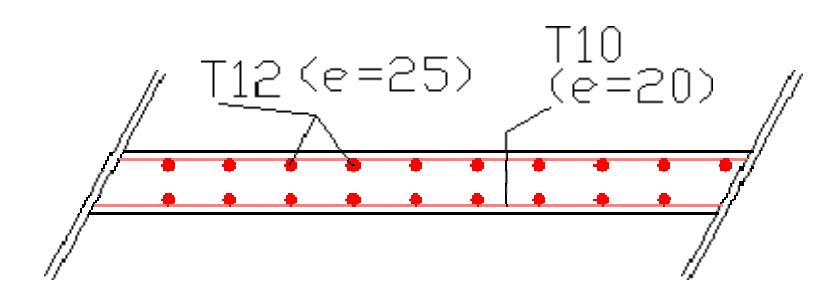


Figure (7.3): Ferraillage du voile périphérique.

7.3) Voile périphérique de la cage d'ascenseur:

7.3.1) Epaisseur du mur :

Cette épaisseur sera donnée par la condition suivante :

$$e \ge \frac{h_e}{20} = \frac{306}{20} = 15,3cm$$

Soit par exemple : e = 15cm.

Les armatures sont constituées de deux nappes; le pourcentage minimal est de:

A_{min}=0,1% de la section total dans les deux sens (horizontal, vertical)

7.3.2) Calcul de l'armature minimale:

• Selon RPA99:

$$A_{min}$$
= (0,1.b.e)/100 = (0,1.100.15)/100
= 1,5 cm²

On prévoit un double quadrillage en : 4T10; espacement de 20 cm

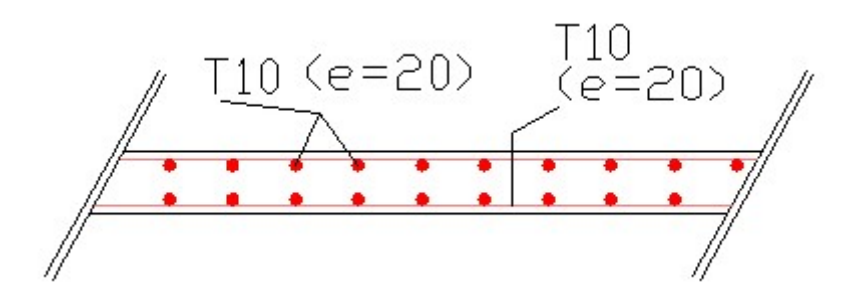


Figure (7.4): Ferraillage du voile périphérique de la cage d'ascenseur

7.4) Étude des fondations :

7.4.1) Introduction:

Les fondations d'une construction sont constituées par les parties de l'ouvrage qui sont en contact avec le sol auquel elles transmettent les charges de la superstructure ; elles constituent donc la partie essentielle de l'ouvrage puisque de leur bonne conception et réalisation découle la bonne tenue de l'ensemble.

Ces fondations transmettent les charges au sol, soit directement cas des semelles reposant sur l e sol ou cas des radiers), soit par l'intermédiaire d'autre organes (cas des semelles sur pieux par exemple).

7.4.2) Choix du type de fondation:

Avec un taux de travail admissible du sol d'assise qui est égale à 2 bars, il y a lieu de projeter à priori, des fondations superficielles de type :

- * Semelle filante.
- * Radier évidé.
- * Radier général.

Le choix du type de fondation se fait suivant trois paramètres :

- ❖ La nature et le poids de la superstructure.
- ❖ La qualité et la quantité des charges appliquées sur la construction.
- ❖ La qualité du sol de fondation.

Nous proposons en premier cas des semelles filantes pour cela, nous allons procéder à une petite vérification telle que :

La surface des semelles doit être inférieure à 50% de la surface totale du bâtiment

$$(S_{Semelle} / S_{Bâtiment} < 50\%)$$

La surface de la semelle est donnée par :

$$S \geq \frac{N}{\sigma_{sol}}$$

S:la surface total de la semelle.

$$\sigma_{sol} = 2 \text{ bars} = 20 \text{ t/m}^2$$

> A l'ELU:

$$N = 1,35 N_G + 1,5 N_Q$$
.
 $N = 78059,66 KN$
 $S = 390,29 m^2$

> A l'ELS:

$$N_s = N_G + N_Q$$
 .
 $N_S = 56677,1 \text{ KN}$
 $S = 283,3855 \text{ m}^2$

7.4.3) Vérification du chevauchement:

On a : la Surface totale du bâtiment : $S_b = 488,215 \text{ m}^2$

Faisant le rapport S_s / S_b on déduit :

La surface totale des semelles dépasse 50 % de la surface d'emprise du bâtiment ce qui induit le chevauchement de ces semelles, pour cela j'ai opté pour un

radier général comme type de fondation, ce type de fondation présente plusieurs avantages qui sont:

- L'augmentation de la surface de la semelle, minimise la forte pression apportée par la structure.
- La réduction des tassements différentiels.
- La facilité d'exécution.

7.4.4) Radier générale :

7.4.4.1) Pré dimensionnement du radier :

Le radier est assimilé à un plancher renversé appuyé sur les murs de l'ossature. Ce radier est supposé infiniment rigide et soumis à la réaction uniforme du sol.

a- Epaisseur du radier :

L'épaisseur (h_r) du radier doit satisfaire les conditions suivantes :

• Condition forfaitaire:

$$L/8 \le h \le L/5$$

L : est la plus grande portée entre axes des poteaux

$$L=5m \Rightarrow 62,5 \le h \le 100 \ cm$$

On prend h=80 cm

• Surface du radier

La surface du radier est donnée par la formule suivante : $\frac{N}{S} \le \sigma_{sol}$

$$N = N_{ser} = 56677,1 \text{ KN}.$$

$$S \ge N/\sigma_{sol} = 283,3855m^2$$

On prend un débord de 50 cm de chaque coté dans les deux directions ce qui nous donne une surface d'assise $S_{radier} = 533,565 \text{ m}^2$.

• Condition de rigidité :

On adopte un radier rigide $L \leq \frac{\pi}{2} \cdot L_e$

$$L_e$$
 : Longueur élastique donnée par : $L_e = \sqrt[4]{\frac{4 \cdot E \cdot I}{k \cdot b}}.$

k : Coefficient de Raideur de sol.

$$I$$
: Inertie du radier $I = b \cdot H^3 / 12$

$$\begin{split} L_e &= \sqrt[4]{\frac{4 \cdot E \cdot H^3}{12 \cdot k}} \quad \Rightarrow \quad L \leq \frac{\pi}{2} \sqrt[4]{\frac{4 \cdot E \cdot H^3}{12 \cdot k}} \\ h &\geq \sqrt[3]{\frac{3 \cdot k}{E} \left(\frac{2L}{\pi}\right)^4} \end{split}$$

AN:

$$k = 40 \, MN/m^3$$

$$E = 32,164 \cdot 10^4 Mpa$$
.

$$L = 5 m$$
.

On obtient : $h \ge 0.63 m \rightarrow h \ge 63 cm$.

• Conditions de cisaillement :

$$\tau_{u} \leq \tau_{l} = \min\left(\frac{0.2 \cdot f_{c28}}{\gamma_{s}}, 4Mpa\right) = 3.33 Mpa$$

$$\tau_{u} = \frac{T_{\text{max}}}{b \times d} = \frac{T_{\text{max}}}{b \times 0.9h} \leq \tau_{l}$$

$$\Rightarrow h \geq \frac{T_{\text{max}}}{0.9 \times b \times \tau_{l}} \quad et \quad T_{\text{max}} = \max\left(T_{x}, T_{y}\right)$$

$$\frac{l_x}{l_y} = \frac{300}{500} = 0.6$$
 \Rightarrow Le panneau travaille suivant deux directions.

 $q\,$: Poids de la superstructure y compris le poids du mur périphérique

N = 78059,66 KN.

$$S_{Radier} = 533,565 \, m^2$$

Donc:
$$q = \frac{N}{S_{Radier}} = 146,29 \, KN/m^2$$
.

$$T_x = q \frac{l_x l_y}{(2 l_x + l_y)}$$
 $T_x = 199,48 \text{ KN/m}.$ $T_y = q.\frac{l_x}{3}$ $T_y = 146,29 \text{ KN/m}.$

Donc:
$$h \ge \frac{T_x}{0.9 \times b \times \overline{\sigma}_{ad}} = 0.126m$$
.

• Condition de non poinçonnement :

$$N_u \le 0.045 \cdot U_c \cdot h \cdot \frac{fc28}{\gamma_h} \dots (1)$$

 U_c : périmètre du contour cisaillé sur le plan moyen du radier;

h: épaisseur du radier;

N_u: charge maximale appliquée par les poteaux sur le radier, calculée à l'E.L.U.R.

Pour notre structure, N_{u max}=2512,73 KN appliquée par un poteau

de section rectangulaire (50x50) cm²

$$Uc = 2(a' + b')$$

Avec:

$$a' = a + h$$
 et $b' = b + h$

Donc:

$$Uc= 2 (a+b+2h) = 2 (0.50+0.50+2h) = 2+4h$$

L'inégalité (1) devient :

$$1500h + 3000h^2 - 2512,73 \ge 0$$

$$\Rightarrow h = 0.698m$$

Remarque:

Pour satisfaire les quatre conditions,

Soit
$$h = 80cm$$

• La hauteur des nervures : h_n

$$h_n \ge \frac{L}{10} = \frac{500}{10} = 40$$
cm

On prendra $h_n = 50$ cm.

• Epaisseur de la dalle :

$$e \ge \frac{L}{20} = \frac{500}{20} = 25$$
cm

On prendra e= 30cm



On distingue deux types de poutres apparentes :

- poutres principales;
- Poutres secondaire.

Les dimensions des poutres doivent satisfaire les conditions suivantes :

$$0.3h \le b_0 \le 0.4h$$

$$b_1 \le \frac{Ly - b_0}{2} \qquad \text{et} \qquad b_1 \le \frac{Lx}{10}$$

$$b = 2b_1 + b_0$$

Lx = 300 cm; Ly = 500 cm.

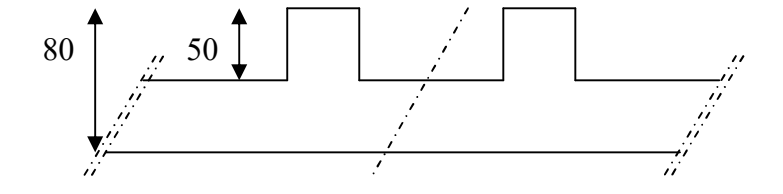


Figure (7.5): Dimensions du radier.

	Poutres principales	Poutres secondaires
h (cm)	90	90
h0 (cm)	50	50
b0 (cm)	50	50
b1 (cm)	50	50
b (cm)	150	150

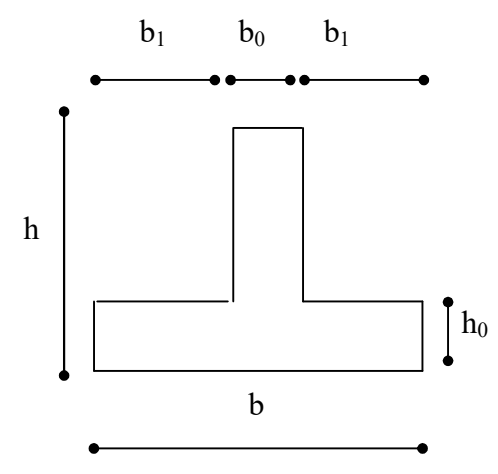


Figure (7.6): Dimensions des poutres.

Tableau (7.2): Dimensions des poutres.

7.5) Etude du radier :

7.5.1) <u>Détermination des sollicitations</u>:

• Caractéristiques du radier :

h = 80 cm; e = 30 cm; $h_n = 50 \text{cm}$

Surface du radier S=533,565 m²

 $I_{xx} = 80691,0349 \text{ m}^4$

 $I_{yy} = 111604,4571$ m⁴

Vx = 12,525m

Vy = 10,65 m

Avec:

Vx, Vy : abscisse du centre de gravité du radier ;

Ixx, Iyy: inerties du radier;

• Poids unitaire du radier :

$$\sigma_{raid} = \gamma_b \times h = 2,5 \times 0,3 = 0,75 \; KN/m^2. \label{eq:sigma_raid}$$

$$Q = \sigma_{max} - \sigma_{rad} = 146,\!29 - 0,\!75 = 145,\!54\,KN/m^2.$$

Donc la charge en « m^2 » à prendre en compte dans le calcul du ferraillage du radier est :

 $Q = 145,54 \text{ KN/m}^2$.

• Vérification de l'effet de sous pression :

On doit vérifier que sous l'effet de sous pression hydrostatique,

le bâtiment ne soulève pas, c'est-à-dire :

$$P>1,5 \times S \times \gamma \times Z$$

Avec:

P: poids du bâtiment;

S : surface d'assise du bâtiment ;

 γ : poids volumique de l'eau ($\gamma = 10KN/m^3$);

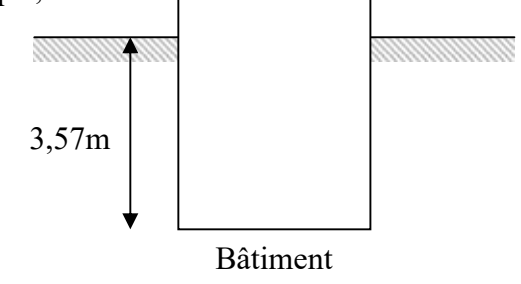


Figure (7.7): Ancrage du bâtiment.

Z : ancrage du bâtiment dans le sol.

P = 31548,07KN

$$1,5 \times S \times \gamma \times Z = 1,5 \times 533,565 \times 10 \times 3 = 24010,425 \text{KN}.$$

 $P > 1,5 \times S \times \gamma \times Z =$ la structure est stable.

7.5.2) Ferraillage du radier :

a) Ferraillage des dalles

Soit une dalle reposant sur 4 cotés de dimensions entre nus des appuis L_x et L_y avec

 $L_x \leq L_v$.

Pour le ferraillage des dalles on a deux cas :

✓ 1 ère cas:

Si : $\alpha = L_x/L_y \ge 0.4$ La dalle travaille suivant les deux directions.

• Les moments sont données par :

$$M_{ox} = \mu_x.q.L_x^2$$
; $M_{oy} = \mu_y.M_{ox}$.

• Moment en travée :

 $M_t = 0.85M_o.$ panneau de rive.

 $M_t = 0.75 M_o$panneau intermédiaire.

• Moment sur appuis :

 $M_a = 0.35M_o$appuis de rive.

✓ 2^{éme} cas:

Si: $\alpha = 1_x/L_y < 0.4$ la dalle se calcule comme une poutre continue dans les sens de la petite portée.

Pour notre cas, on prend le panneau le plus défavorable (le plus grand).

• Exemple de calcul

$$\alpha = 1_x/L_v = 5/5 = 1 > 0.4$$

La dalle porte dans les deux sens.

$$\rho = 1 \Longrightarrow \mu_x = 0.0368; \mu_v = 1.$$

$$M_{0x} = \mu_x \cdot Q \cdot L_x^2$$

$$M_{ox} = 0.0368 \times 145.54 \times (5)^2 = 133.89 \text{KN.m}$$

$$M_{0\mathrm{y}} = \mu_{\mathrm{y}}.M_{0\mathrm{x}}$$

$$M_{oy} = 1 \times 133,89 = 133,89 \text{ KN.m}$$

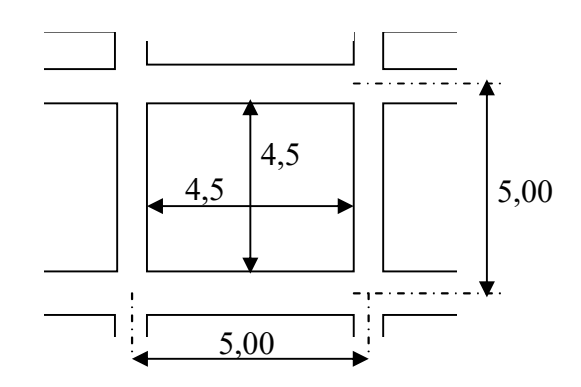


Figure (7.8):Cheema de voile

• En travée:

$\star Sens(x-x)$:

 $M_{tx} = 113,8 \text{ KN.m}$

$$\mu = 0.109 < \mu_l = 0.392$$

$$A'=0$$

$$\alpha = 0.145$$
. $\beta = 0.941$ m

$$A = 15.314 \text{cm}^2$$

On adopte 8T16 A = $16,085 \text{ cm}^2/\text{ml}$, $S_t = 12,5 \text{ cm}$

Sens (y-y) :

 $M_{ty} = 113,8 \text{ KN.m}$

$$\mu = 0.109 < \mu_l = 0.392 \hspace{1cm} A' = 0$$

$$\Delta' = 0$$

$$\alpha = 0.145$$
. $\beta = 0.941$ m

$$A = 15.314 \text{cm}^2$$

On adopte 8T16 A =16,085 cm²/ml, $S_t = 12,5$ cm

• En appuis:

♦ Sens (x-x):

$$M_{ax} = 66,945 \text{ KN.m}$$

$$\mu = 0.064 < \mu_l = 0.392$$

$$A'=0$$

$$\alpha = 0.083$$
. $\beta = 0.966$ cm $A = 7.37$ cm²

$$A = 7.37 \text{cm}^2$$

On adopte
$$6T14 \dots A = 9,23 \text{ cm}^2/\text{ml}$$
 , $S_t = 16,6 \text{ cm}$

$$S_t = 16.6 \text{ cm}$$

Sens (y-y):

$$M_{ay} = 66,945 \text{ KN.m}$$

$$\mu = 0.064 < \mu_1 = 0.392$$

$$\alpha = 0.083$$
. $\beta = 0.966$ cm $A = 7.37$ cm²

On adopte
$$6T14 ... A = 9,23 \text{ cm}^2/\text{ml}$$
, $S_t = 16,6 \text{ cm}$

On adopte le même ferraillage pour tous les panneaux du radier

b) Ferraillage des poutres de libages

Le rapport $\alpha = L_x/L_y > 0,4$ pour tous les panneaux constituants le radier, donc les charges transmises par chaque panneau se subdivise en deux charges trapézoïdales et deux charges triangulaires pour le calcul du ferraillage on prend le cas le plus défavorable dans chaque sens et on considère des travées isostatiques.

b.1) Sens longitudinal (y)

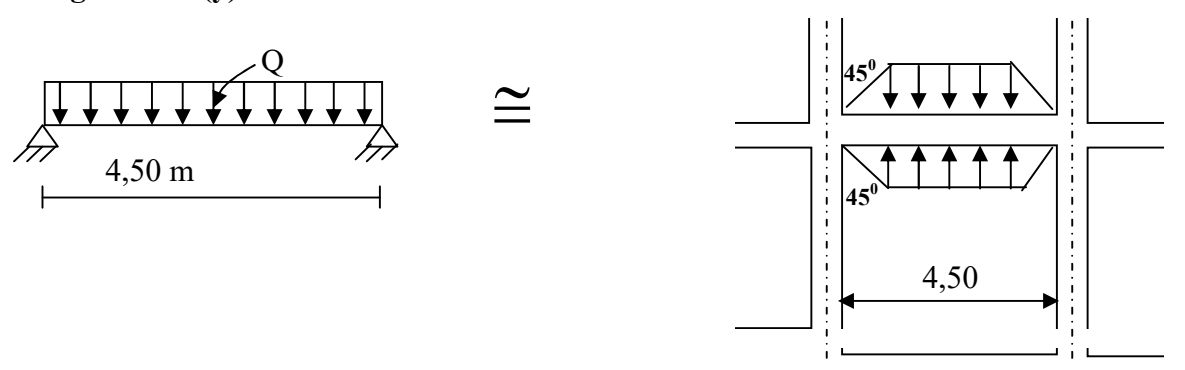


Figure (7.9): Répartition des charges sur les poutres.

- Les lignes de rupture
- Calcul de Q':

C'est la charge uniforme équivalente pour le calcul des moments.

$$Q' = \frac{Q}{2} \left[\left(1 - \frac{Lx_1^2}{3.Ly_1^2} \right) . Lx_1 + \left(1 - \frac{Lx_2^2}{3.Ly_1^2} \right) . Lx_2 \right]$$

$$Avec: Lx_1 = 4.5m$$

$$Ly_1 = 4.5m$$

$$Q = 145,54 \text{ KN/m}^2$$

 $Lx_2 = 4.5m$

Donc:
$$Q' = \frac{145,54}{2} \left[\left(1 - \frac{4,5^2}{3 \times 4,5^2} \right) \cdot 4,5 + \left(1 - \frac{4,5^2}{3 \times 4,5^2} \right) \cdot 4,5 \right] = 436,62 \text{ KN/m}$$

$$M_0 = \frac{Q' \cdot L^2}{8} = \frac{436,62 \times 5^2}{8} = 1364,44 \text{ KN.m}$$

• Calcul du ferraillage

• En travée:

$$\begin{split} &M_{t} = 0.80 M_{o} = 1091,55 \quad KN.m, \quad b = 50 \, cm, \quad h = 80 \, cm, \quad d = 0.9. h = 72 \, cm \\ &\mu = \frac{M_{t}}{b.d^{2}.\sigma_{bc}} = \frac{1091,55.1 \, 0^{3}}{50.(72)^{2}.1 \, 4.2} = 0,296 < \mu_{l} = 0,392 \rightarrow A'n' \, existe.pas \\ &\alpha = 1,25 \Big(1 - \sqrt{1 - 2\mu}\Big) = 0,452 \\ &\beta = 1 - 0,4\alpha = 0,818. \\ &A_{t} = \frac{M_{t}}{\beta.d.\sigma_{s}} = \frac{1091,55.1 \, 0^{3}}{0,818.72 \quad .348} = 53,19 \, cm^{2}. \end{split}$$
 on adopte:
$$\begin{cases} 1^{ere} \, lit \, 4T25 \\ 2^{\'eme} \, lit \, 4T25 \; ; A = 58,91 cm^{2} \\ 3^{eme} \, lit \, 4T25 \end{cases}$$

• En appuis:

Appuis intermédiaires:

$$\begin{split} &M_a = 0.5 M_o = 0.5 \text{ x.} 1364,44 = 682,22 \text{ KN.m} \\ &\mu = \frac{M_a}{\text{b.d}^2.\sigma_{bc}} = \frac{682,22.10^{-3}}{50.(72)^2.14,2} = 0.185 < \mu = 0.392 \rightarrow \text{A'}n'\text{ existe.pas} \\ &\alpha = 1.25 \Big(1 - \sqrt{1 - 2\mu}\Big) = 0.258 \\ &\beta = 1 - 0.4\alpha = 0.896. \\ &A_a = \frac{M_a}{\beta.\text{d.}\sigma_s} = \frac{682,22.10^{-3}}{0.896.72.348} = 30.36 \text{ cm}^2 \end{split}$$

On adopte :
$$(4T25)$$
 Fil+ $(4T20)$ chap. ; A =32,21 cm².

b.2) Sens transversal(x)

$$L_{max} = 4.5m$$

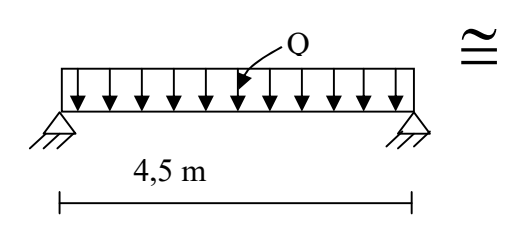
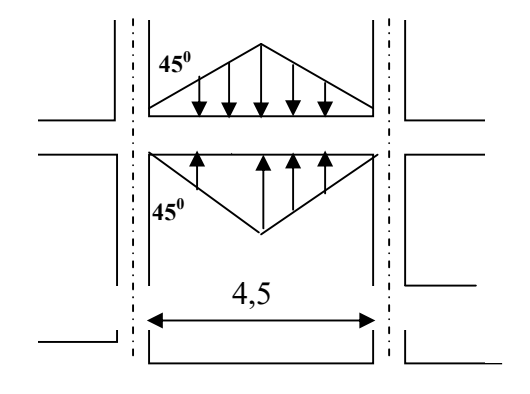


Figure (7.10): Répartition des charges sur les poutres



• Calcul de Q':

C'est la charge uniforme équivalente pour le calcul des moments.

$$Q' = \frac{2}{3}.Q.Lx_1$$

Tel que :
$$Q = 145,54 \text{ KN/m}^2$$

$$Lx_1 = 4.5 \text{ m}$$

$$Q' = 2/3x145,54x4,5 = 436,62 \text{ KN/m}$$

$$M_0 = QL^2/8 = 1364,44 \text{ KN.m}$$

• Calcul du ferraillage

• En travée:

$$M_t = 0.80 M_o = 1091.55 KN.m.$$

$$\mu = \frac{M_t}{b.d^2.\sigma_{bc}} = 0.296 < \mu_1 = 0.392 \rightarrow A'n' \text{ existe.pas}$$

$$\alpha = 1,25(1-\sqrt{1-2\mu}) = 0,452$$

$$\beta = 1 - 0.4\alpha = 0.818$$
.

$$A_{t} = \frac{M_{t}}{\beta . d. \sigma_{S}} = 53,19 \text{ cm}^{2}.$$

on adopte:
$$\begin{cases} 1^{ere} \text{ lit } 4T25 \\ 2^{\text{\'eme}} \text{ lit } 4T25 \text{ ; } A = 58,91 \text{cm}^2 \\ 3^{eme} \text{ lit } 4T25 \end{cases}$$

• En appuis:

Appuis intermédiaires:

$$M_a = 0.5 M_o = 0.5 \times 1364,44 = 682,22 \text{ KN.m}$$

$$\mu = \frac{M_a}{b.d^2.\sigma_{bc}} = 0.185 < \mu = 0.392 \rightarrow A'n'$$
existe.pas

$$\alpha = 1,25(1 - \sqrt{1 - 2\mu}) = 0,254.$$

$$\beta = 1 - 0.4\alpha = 0.896.$$

$$A_a = 30,36 \text{ cm}^2$$

On adopte : (4T25) Fil+ (4T20) chap. ; A =32,21 cm²

• Contrainte de cisaillement

$$T_{max} = 263,54 \text{ KN}$$

$$\tau_{\rm u} = \frac{T_{\rm max}}{h d} = \frac{263540}{40x72x100} = 0.91 \text{MPa}.$$

$$\overline{\tau}_{\rm u} = \min(0.10f_{\rm c28}; 4\text{MPa}) = 2.50\text{MPa}.$$

$$\tau_{\rm u} = 0.91 MPa < \bar{\tau}_{\rm u} = 2.50 MPa$$
.....condition vérifiée.

• Armatures transversales

Diamètre:
$$\phi_t \le \min(h/35; \phi_1; b/10) = \min(22,86;14;40) = 14 \text{ mm}$$

on prend $\phi_t = 10 \text{ mm}$

• Espacement:

$$S_t = min\left(\frac{h}{4}, 12\phi_1\right) = min(20, 14, 4) = 16,8cm$$

on prend $S_t = 15$ cm.

$$S_{t} \leq \frac{0.8.A_{t}.f_{e}}{b(\tau_{u} - 0.3f_{c28})} \Rightarrow fe \geq \frac{b(\tau_{u} - 0.3f_{t28})S_{t}}{0.8A_{t}}$$

$$fe \ge \frac{40.(0.91 - 0.3 \times 2.1)15}{0.8 \times 3.14} = 66.87 MPa.$$

Donc on utilise des armatures, Fe325, soit 4T10, A= 3,14cm².

$$\frac{A_{t}.f_{e}}{b_{0}.S_{t}} \ge max\left(\tau_{u}/2\ ;0,4\ MPa\ \right) = max\left(0,455;\ 0,4MPa\ \right) = 0,455MPa$$

$$\frac{3,14x325}{40.15}$$
 = 1,7 > 0,44 MPa..... condition vérifiée.

c) calcul de débord :

Le débord est considéré comme une console encastrée, d'une longueur $d=0.5m\,\mathrm{et}$ d'épaisseur h=30cm

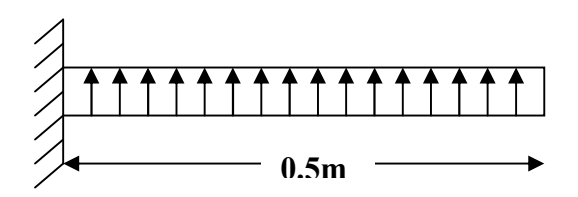


Figure (7.11): schéma statique de débord

• Sollicitation maximale:

$$M_u = \frac{q_u \cdot L^2}{2} \Rightarrow q_u = \frac{N}{S} \cdot 1 \Rightarrow M_u = 145,54.(0.5)^2 \cdot 1 = 36,385KN/m \Rightarrow M_u = 18,19KN.m$$

$$M_{ser} = \frac{q_{ser}.L^2}{2} \implies M_{ser} = \frac{56677.1}{533,565}.(0.5)^2.1 = 26,55KN/m \implies M_{ser} = 13,27KN.m$$

• Calcul de ferraillage :

$$\mu_u = 0.0351 < \mu_{\text{lim}} = 0.392$$

$$\alpha = 0.044$$
 ; $\beta = 0.982$

$$A_s = 1,97cm^2$$

• Armatures de répartitions A_r:

$$A_r = \frac{A_s}{4}$$
 \Rightarrow $A_r = \frac{1,97}{4}$ \Rightarrow $A_r = 0,49cm^2$

• Section minimale:

$$A_{\min} = 0.23.b.d. \frac{f_{t28}}{f_e}$$
 \Rightarrow $A_{\min} = 1.63cm^2$

• Choix d'armature :

Le ferraillage sera calcul pour une bonde de 1m.

On prend : $4T10 \Rightarrow A_s = 3,14cm^2$ Pour les armatures longitudinales et de répartitions.



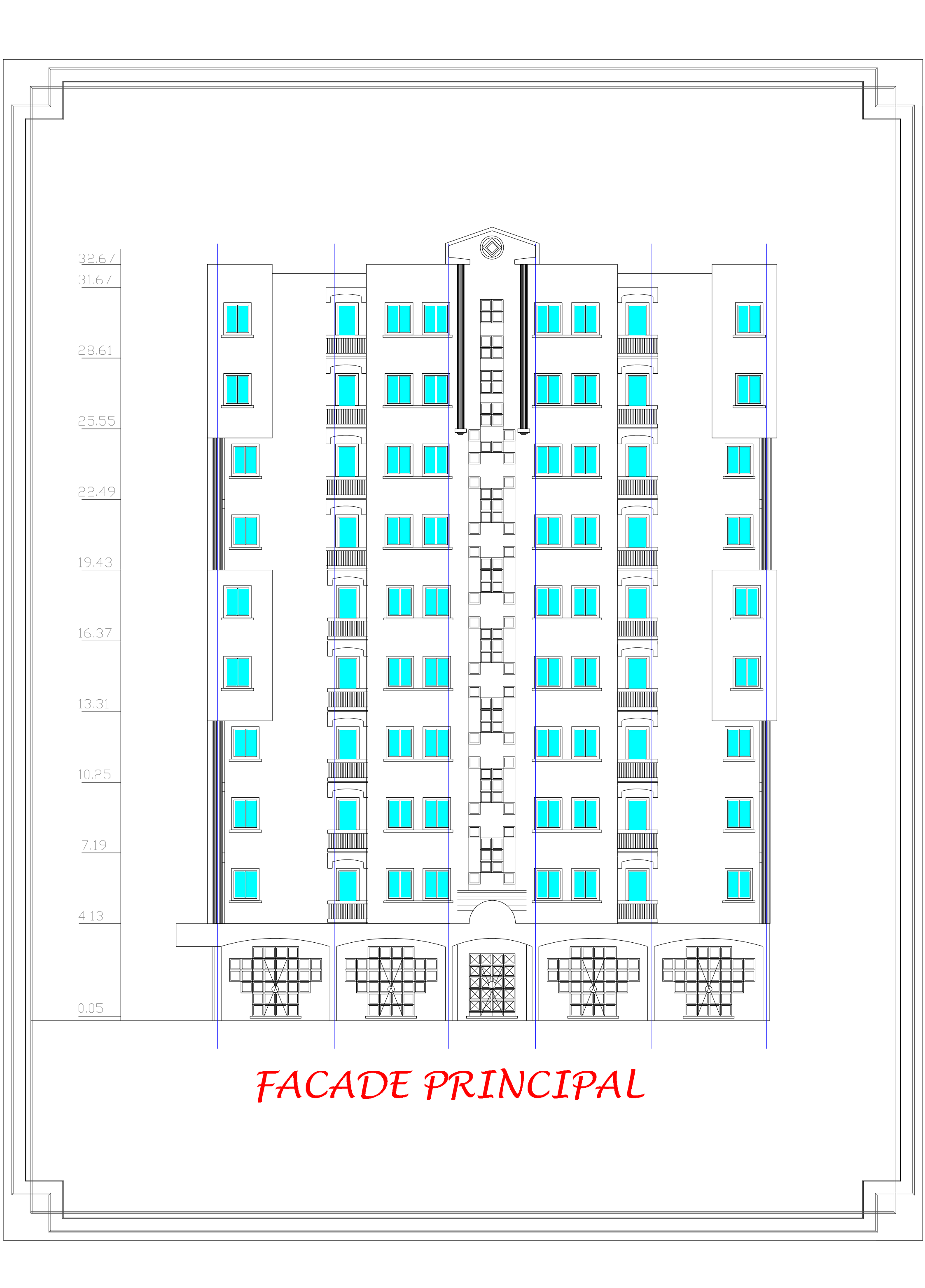
ANNEXE

Dossier d'architecture :

- Plan de façade principale et postérieure
- Vue en plan de RDC
- Vue en plan de l'étage courant.

Dossier de génie civil:

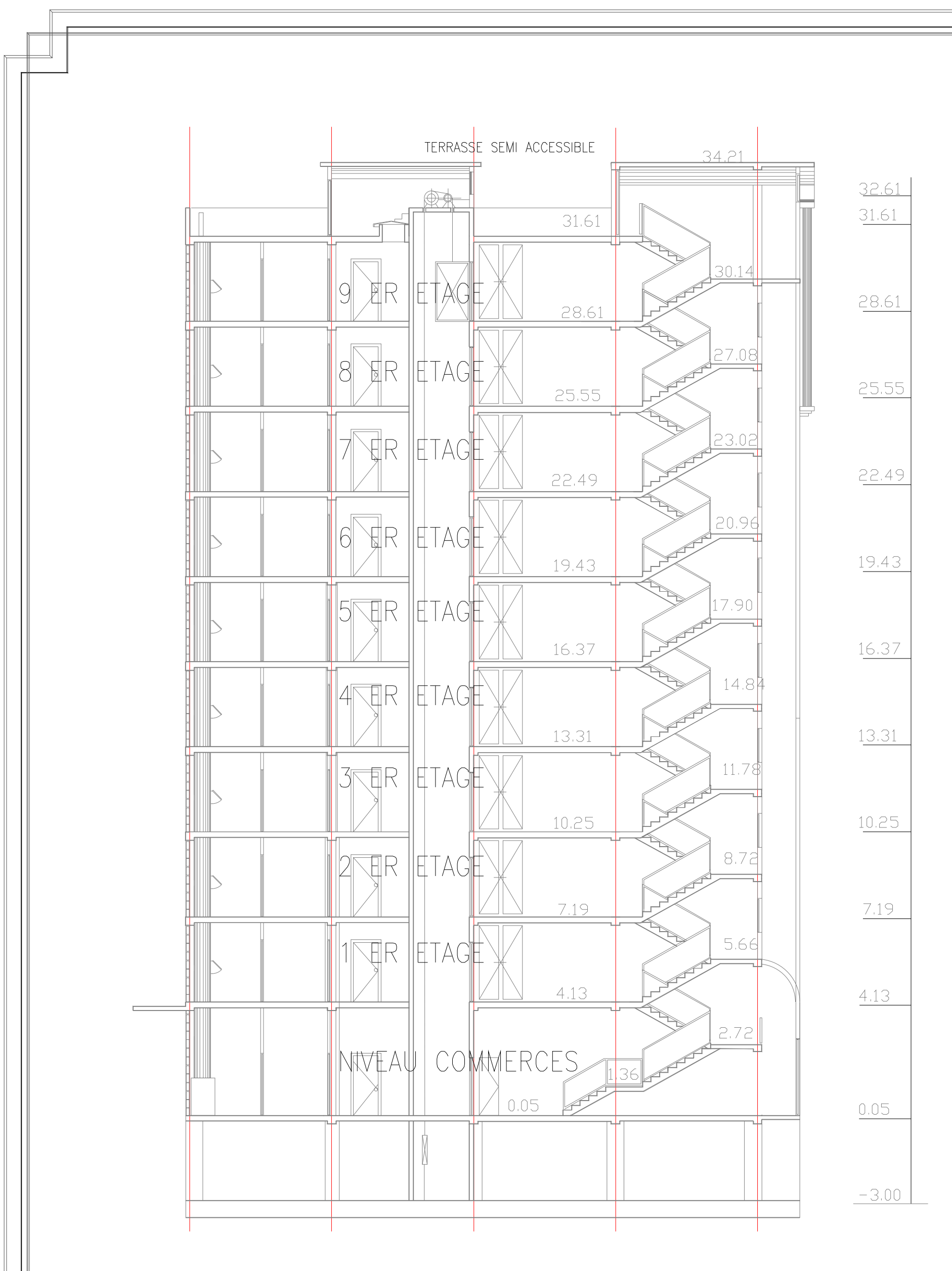
- Plan du coffrage et ferraillage des poteaux.
- Plan du coffrage et ferraillage des poutres.
- Plan du coffrage et ferraillage de plancher.
- Plan du coffrage et ferraillage de fondation.
- Plan du coffrage et ferraillage de l'escalier.





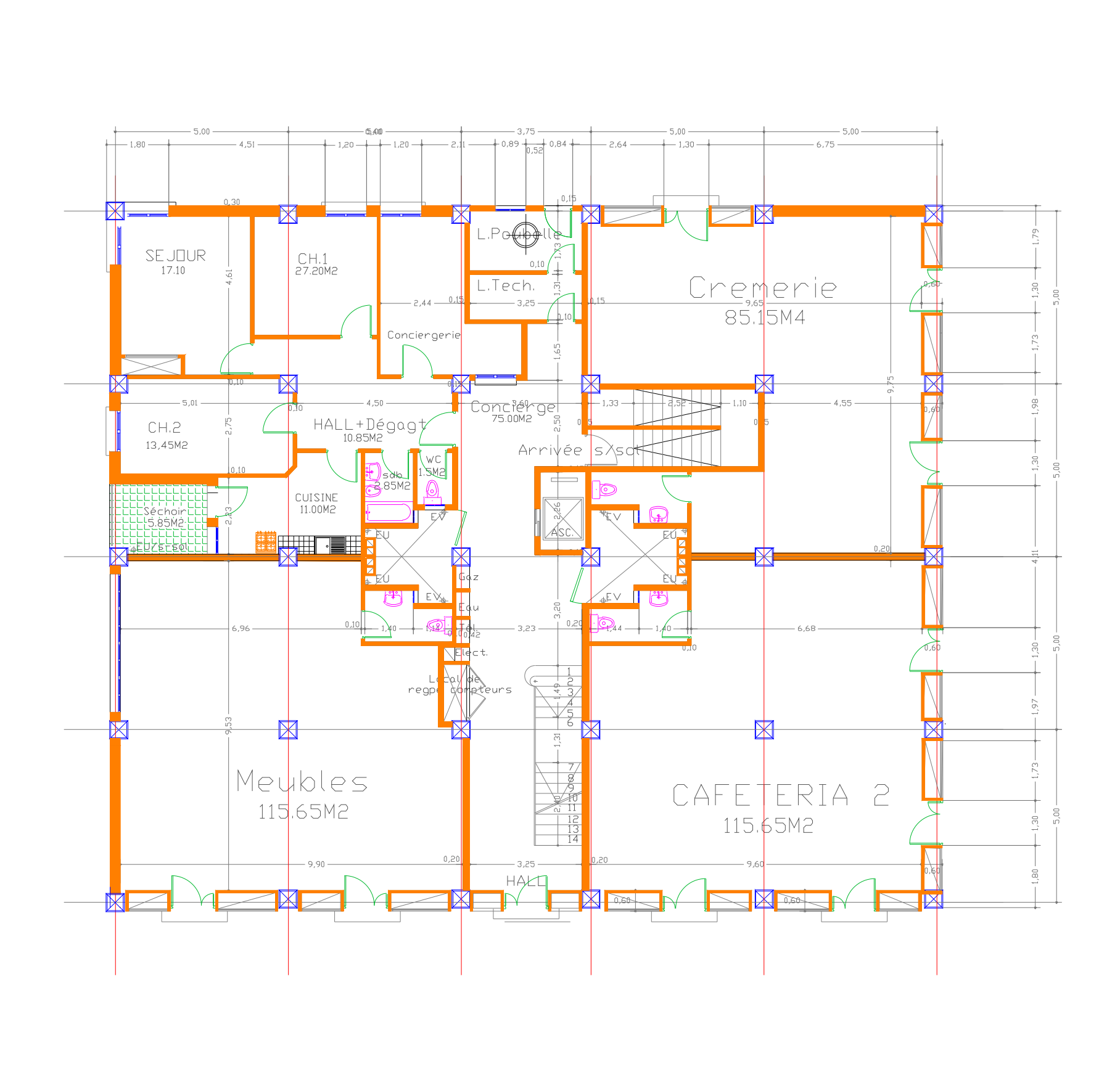
FACADE POSTERIEURE

TOUR EN R+9



COUPE A*A

TOUR EN R+9



TOUR EN R+9

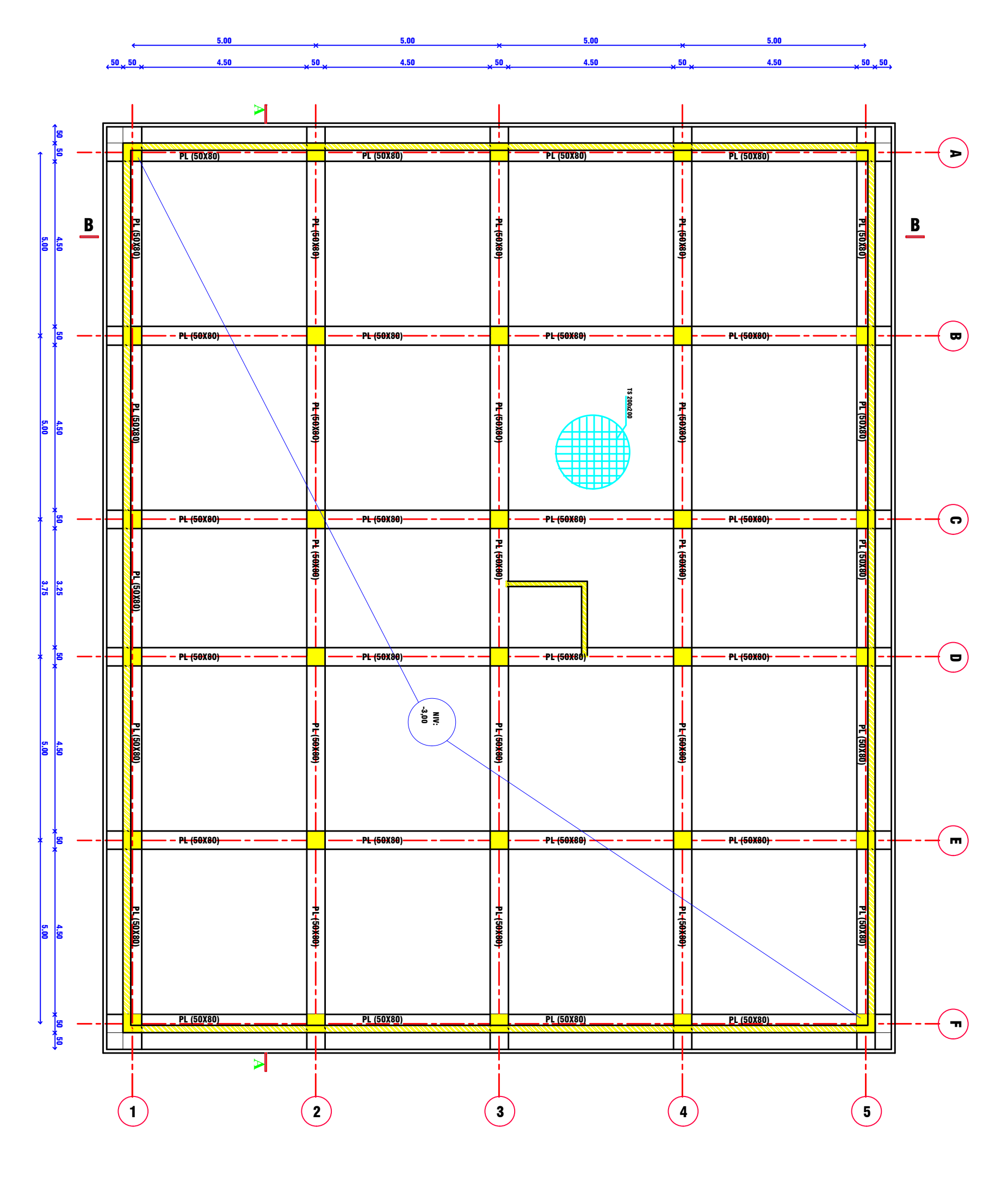
PLAN R*D*C



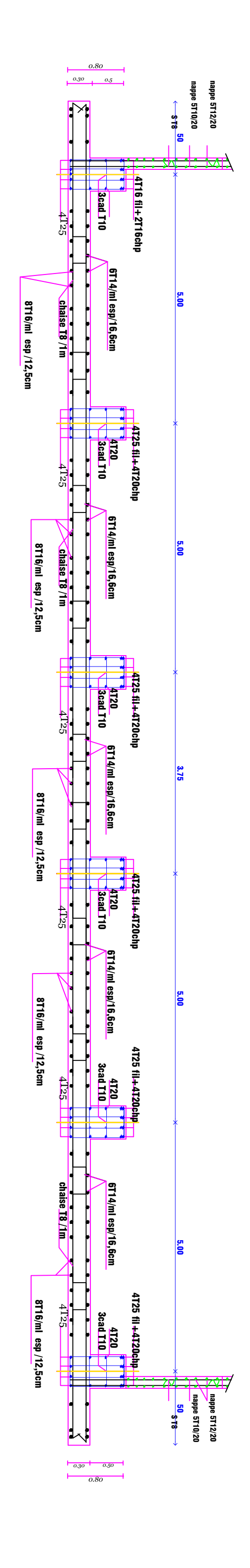
TOUR EN R+9

PLAN D'ETAGE COURANT

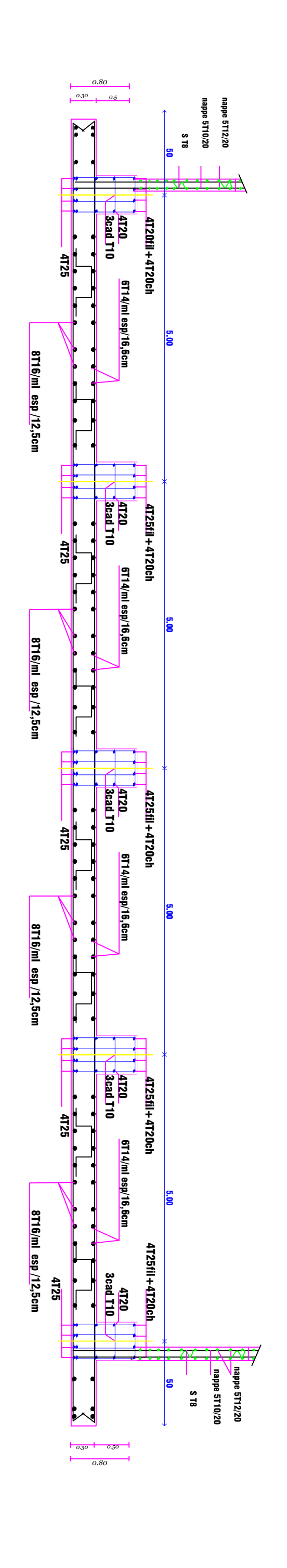
PLAN DE FERRAILLAGE ET COFFRAGE FON NIV:-3.00M DATION



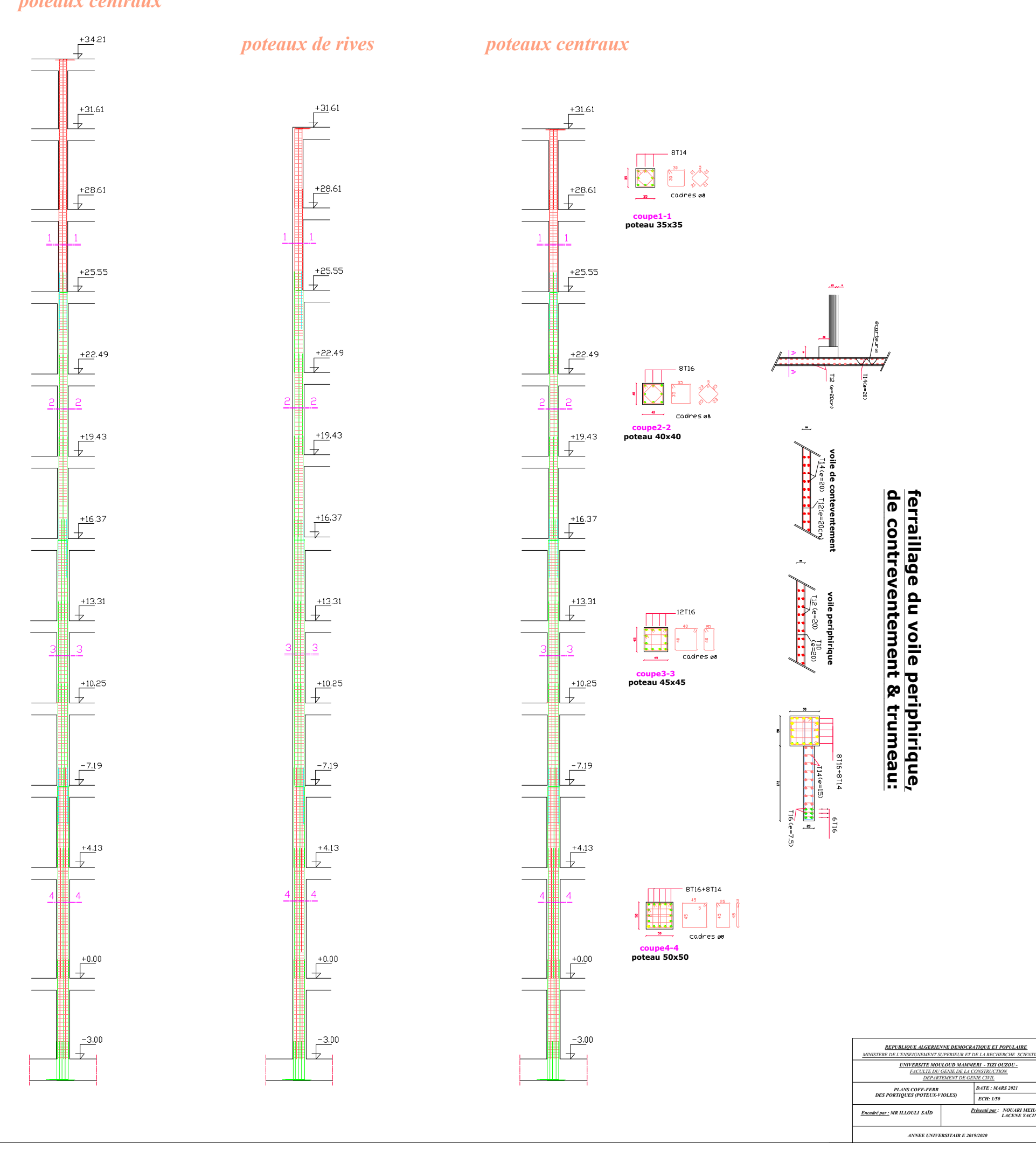
FERRAILLAGE et COFFRAGE RADIER Coupe A-A

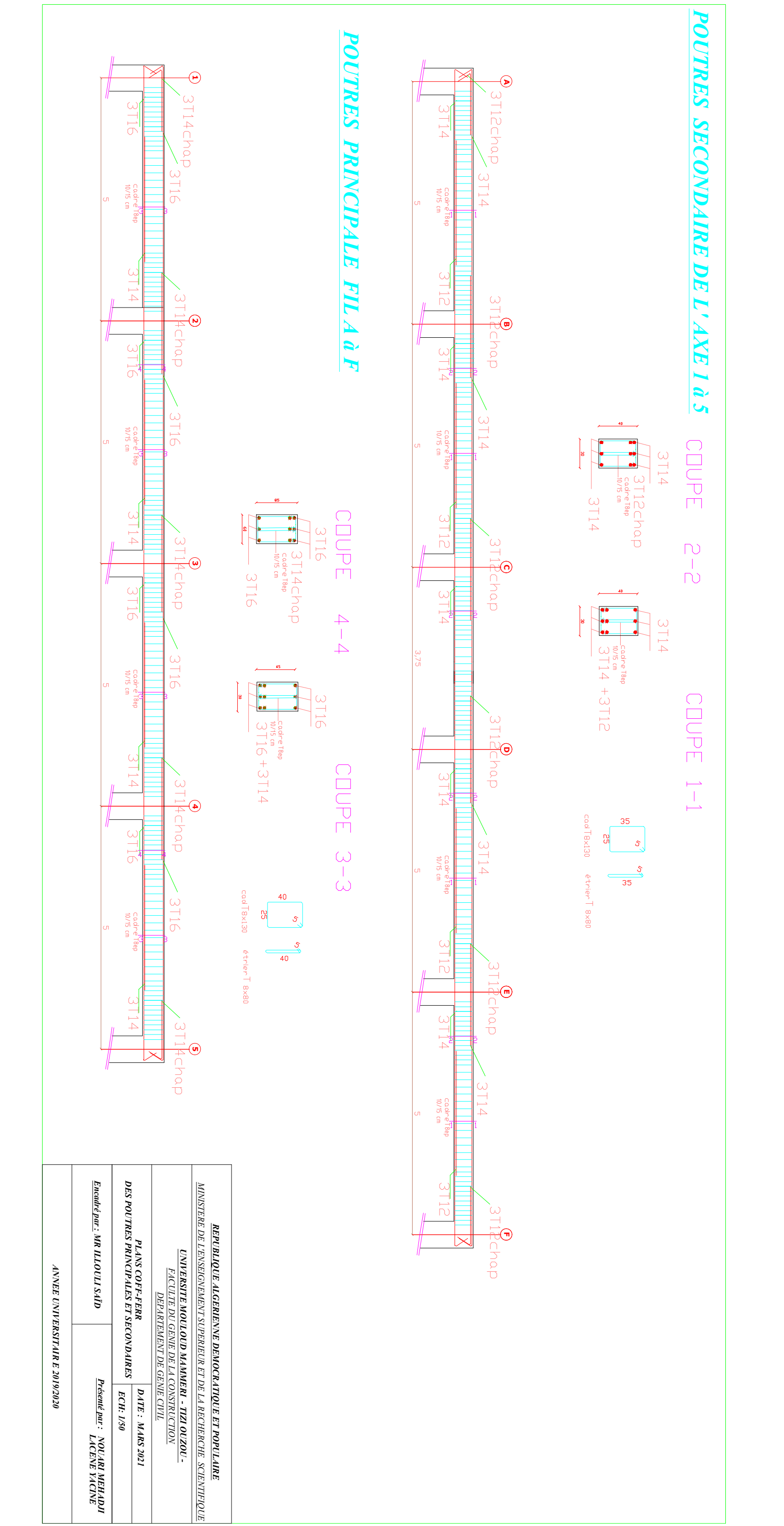


FERRAILLAGE et COFFRAGE RADIER Coupe B-B

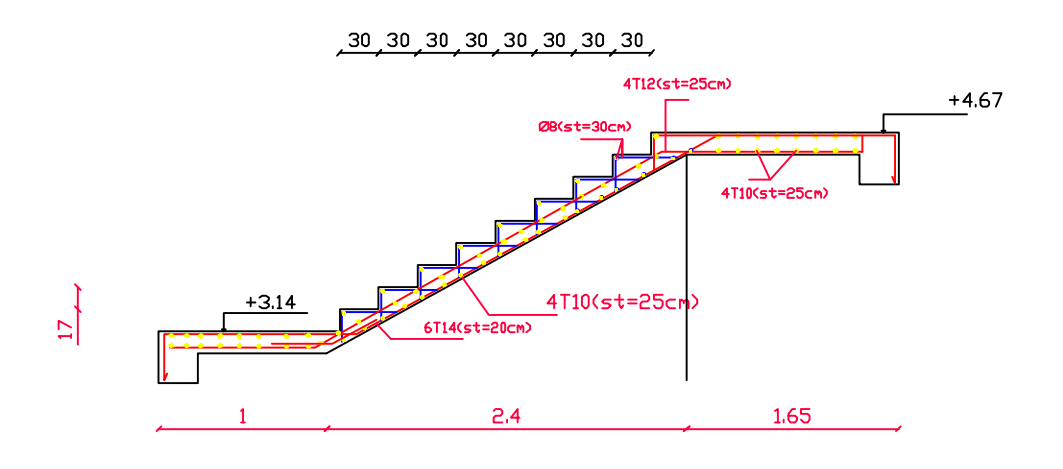


poteaux centraux

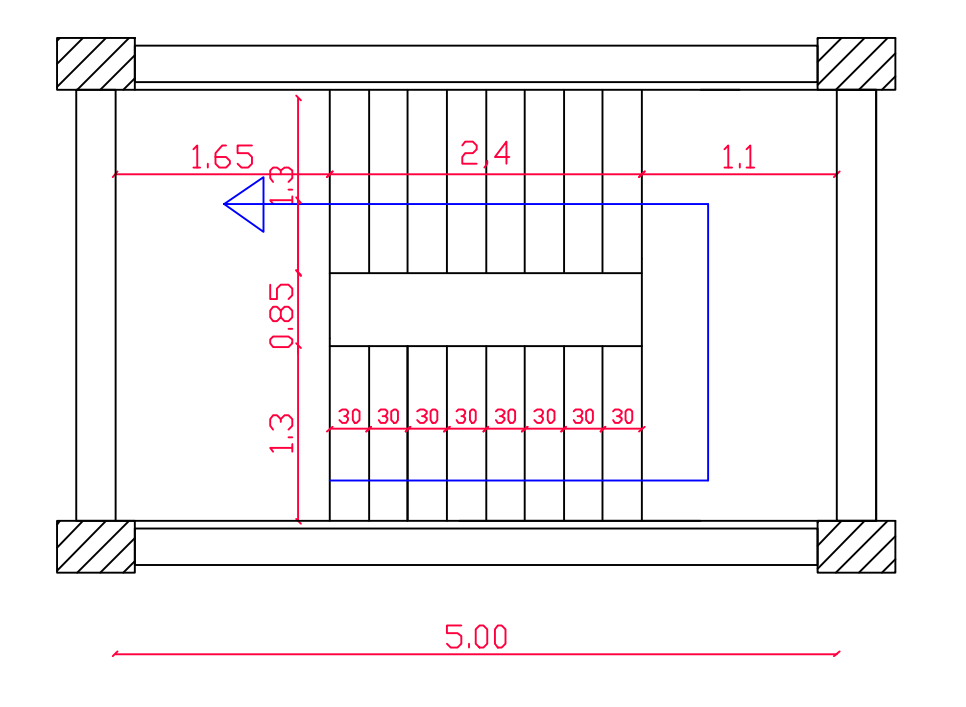




<u>Volée:</u>

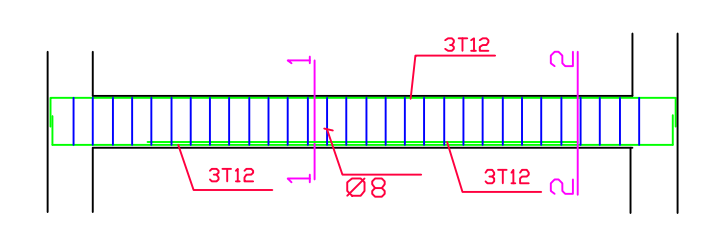


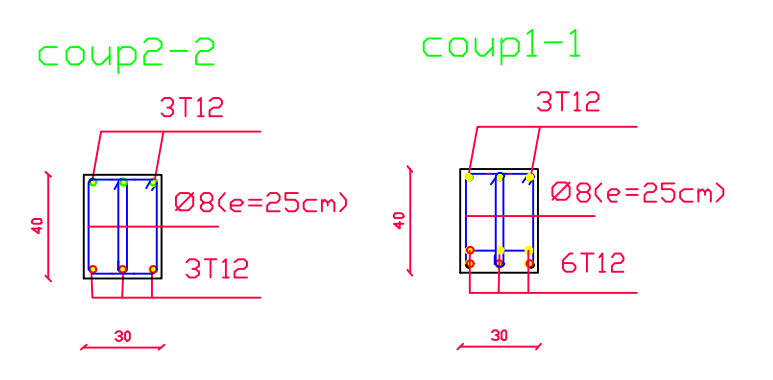
CAGE ESCALIER

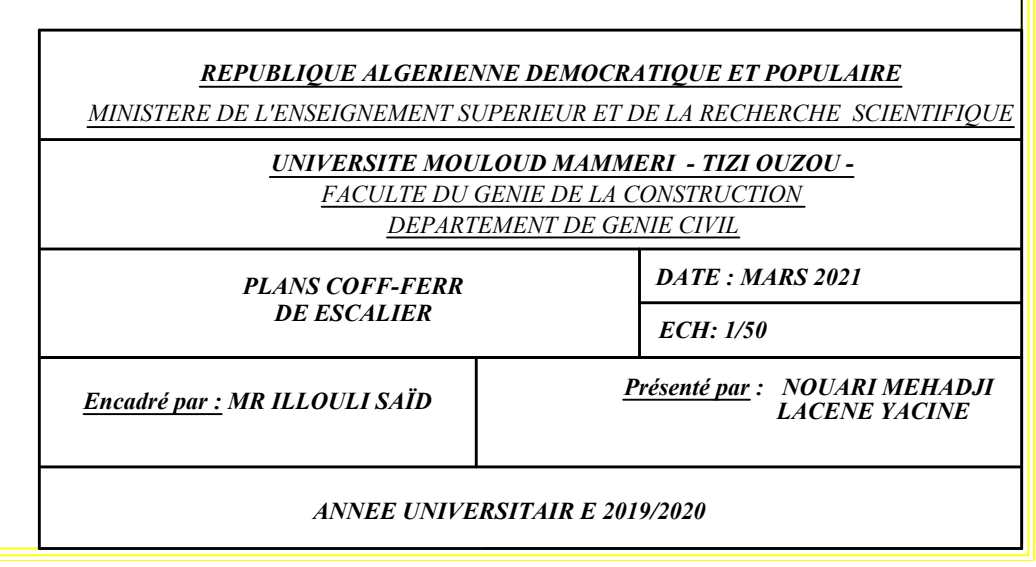


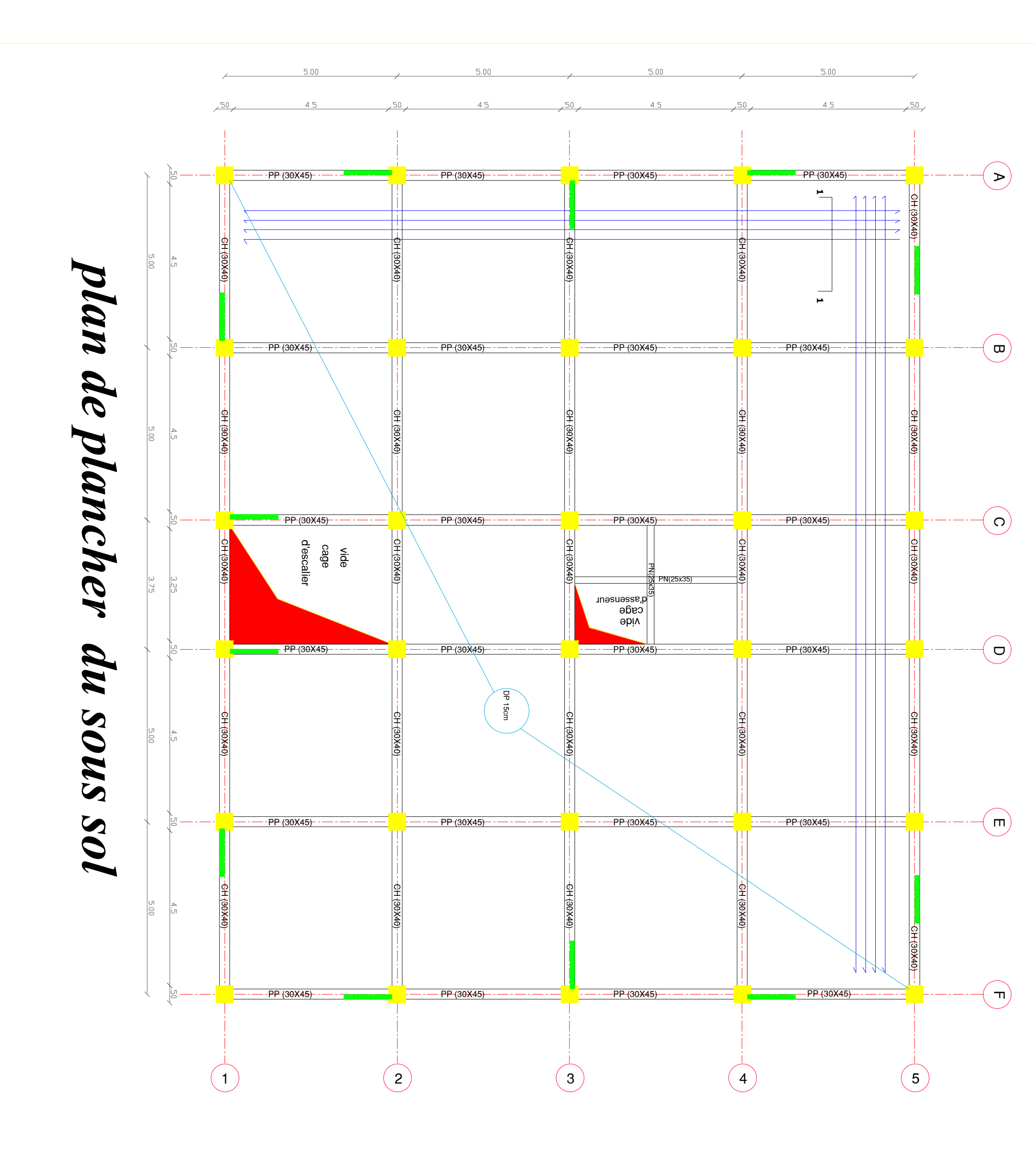
75

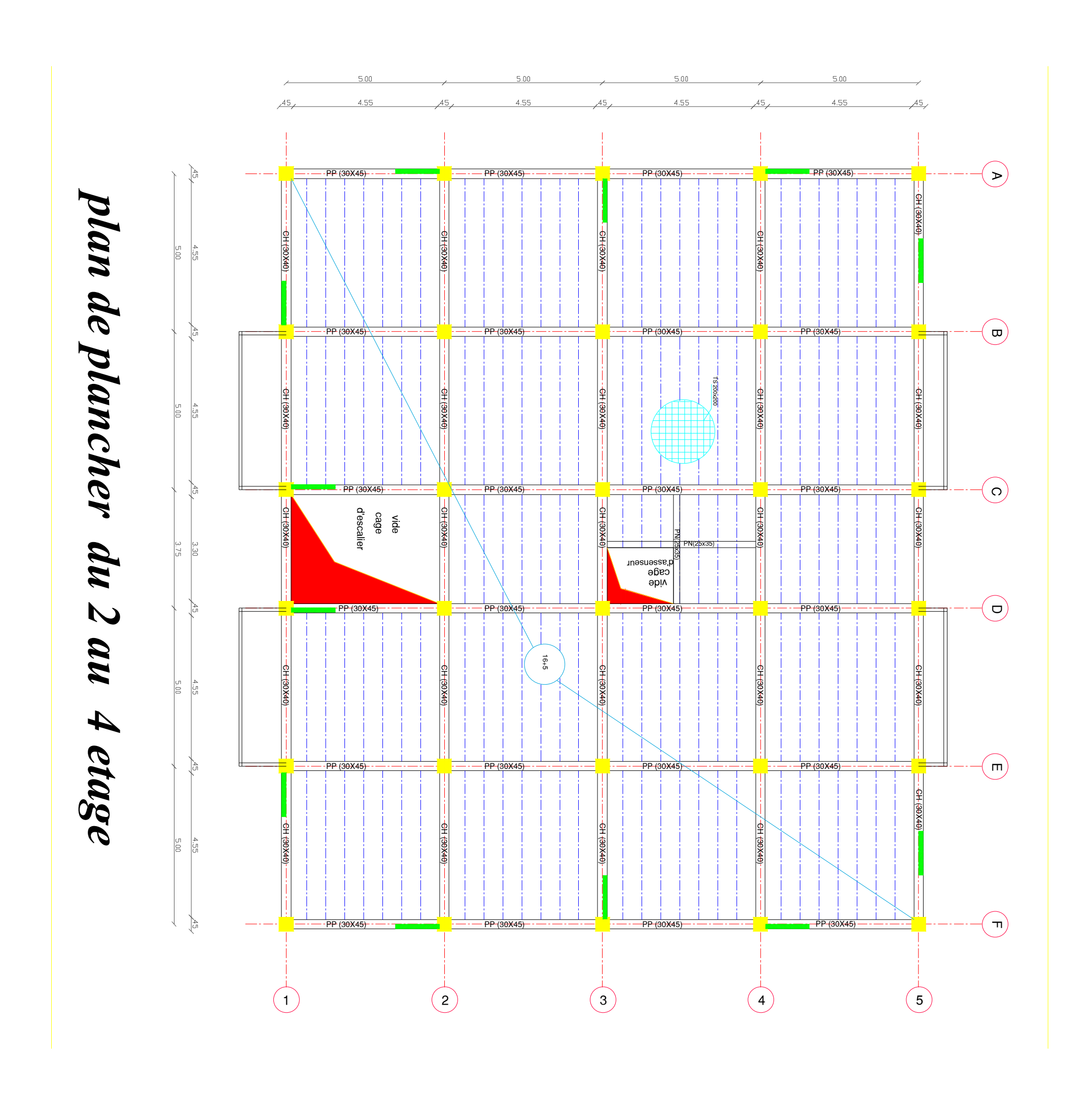
detaille poutre paliére:

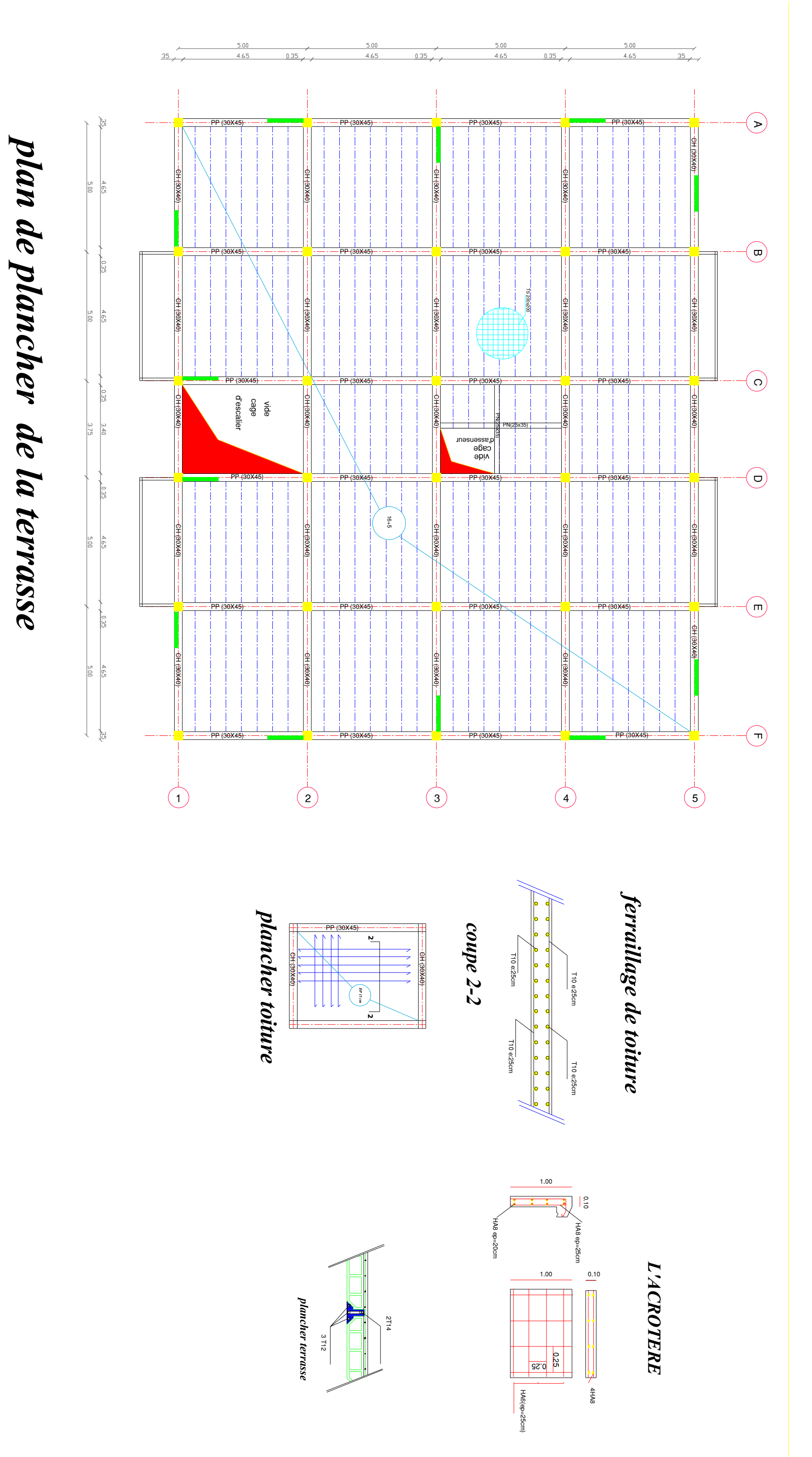












Conclusion

Au cours de notre projet, nous avons été confrontés par manque d'expérience à pas mal de défie et problèmes, que nous avons essayé tant bien que mal de surmonté.

Ce projet présente trois intérêts pour tout étudiant en fin de formation :

- Le premier intérêt porte sur la mise en pratique des connaissances théoriques acquises durant le cursus de formation universitaire en matière Génie Civil.
- Le deuxième intérêt porte l'utilisation et l'exploitation des règlements techniques.
- Le troisième intérêt porte sur la résolution des problèmes tenant compte la sécurité de l'ouvrage et point de vue économique; en vigueur l'effet sismique.

Il y'a lieu de noter que le métier d'ingénieur ou bien de technicien ne se limite pas au calcul et le ferraillage, mais doit résoudre de la meilleure façon possible les difficultés existant.

Nous espérons que ce modeste travail sera utile et un point de départ pour nous dans notre vie professionnelle et qu'il servira les étudiants des futures promotions.

Bibliographie

- **↓** [1] : Béton armé aux états limites BAEL 83 − Pierre Charon Eyrolles 1984.
- 4 [2]: Béton armé BAEL 91 et DTU Associes Jean-Pierre Mougin Eyrolles 1995.
- ↓ [3]: DTR-BC.2.48 règles parasismiques Algériennes (RPA 99).

 DTR-BC.2.48 ADDENDA 2003.
- ♣ Exercice de béton armé selon BAEL 83 Pierre Charon Eyrolles 1991.
- ♣ Pratique du BAEL 91 Jean Perchat Jean Roux Eyrolles 2002.
- ♣ Ouvrage béton armé H. Renauld et Fletertre Foucher 1978.
- ♣ Contreventement du bâtiment par des voiles Amar Chanti OPUI 1989.
- ♣ Circulation mécanique des personnes (ascenseurs) Jaques Durandeau.
- **♣** DTR-BC.2.2 Charges permanentes et charges d'exploitation.
- Manuel de Autodesk Robot Structural Analysis Professional.

Mémoires de fin d'études :

♣ Différents mémoires de promotions précédentes.